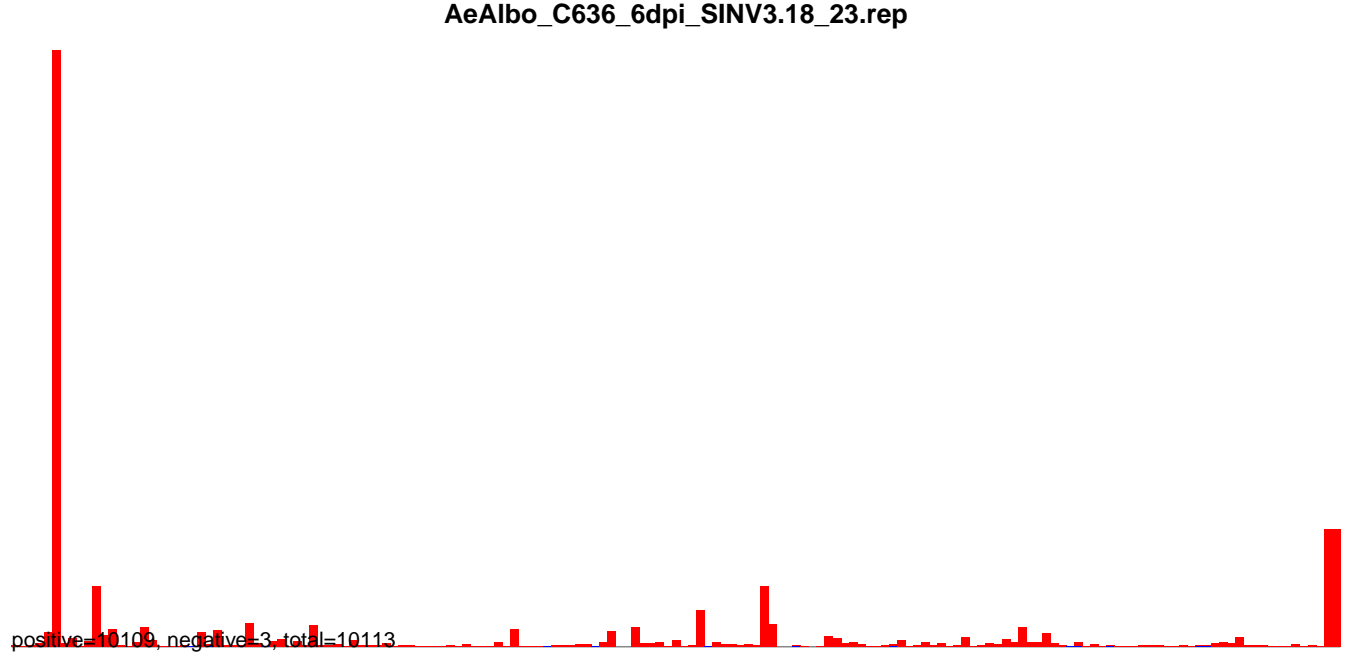
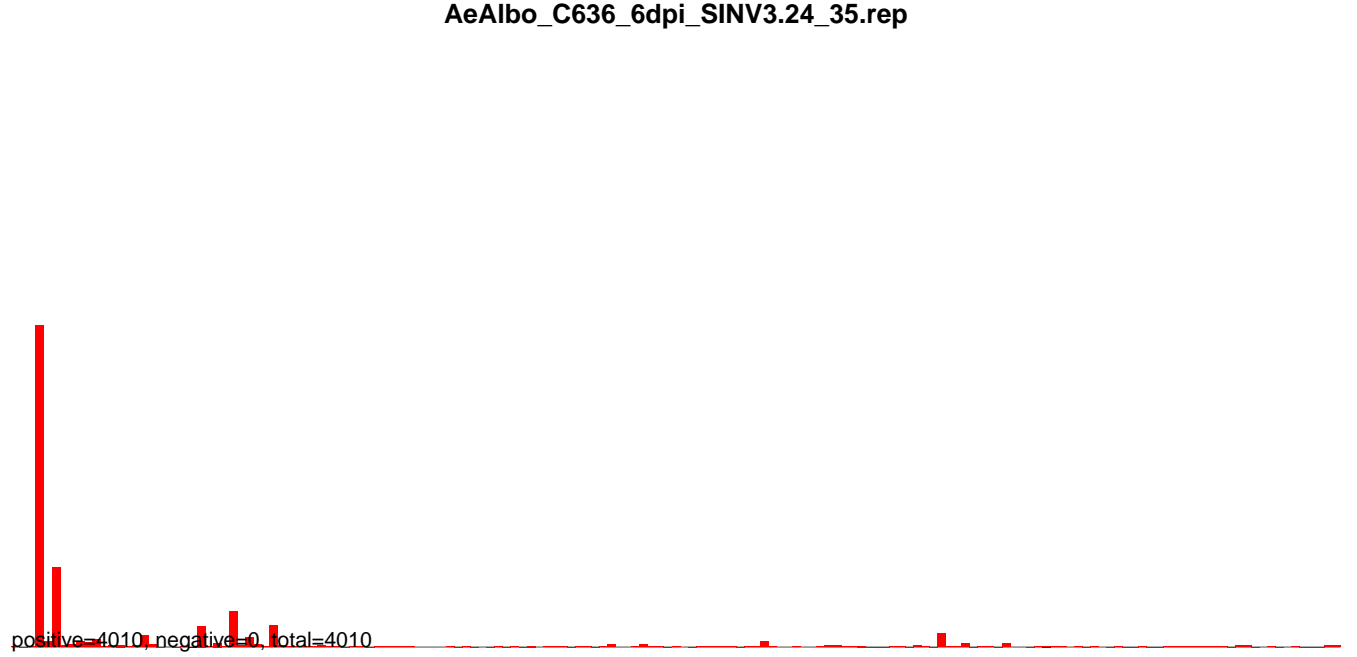


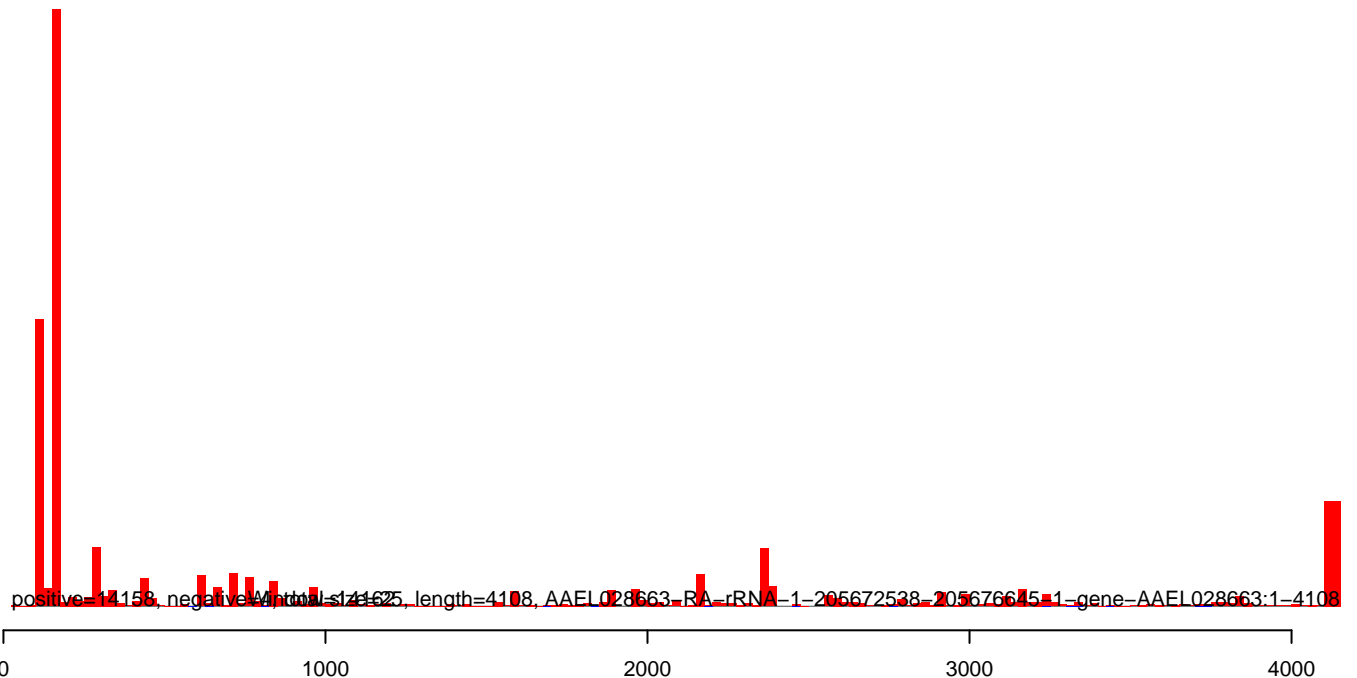
AeAlbo\_C636\_6dpi\_SINV3.18\_23.rep



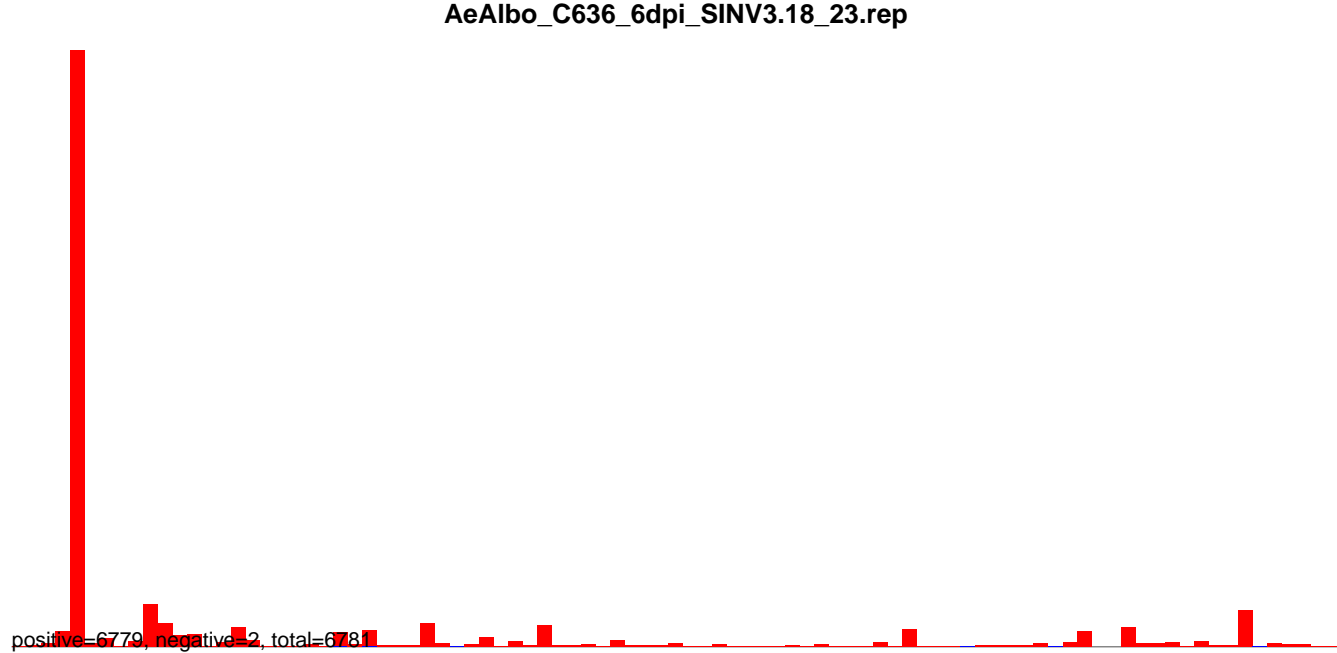
AeAlbo\_C636\_6dpi\_SINV3.24\_35.rep



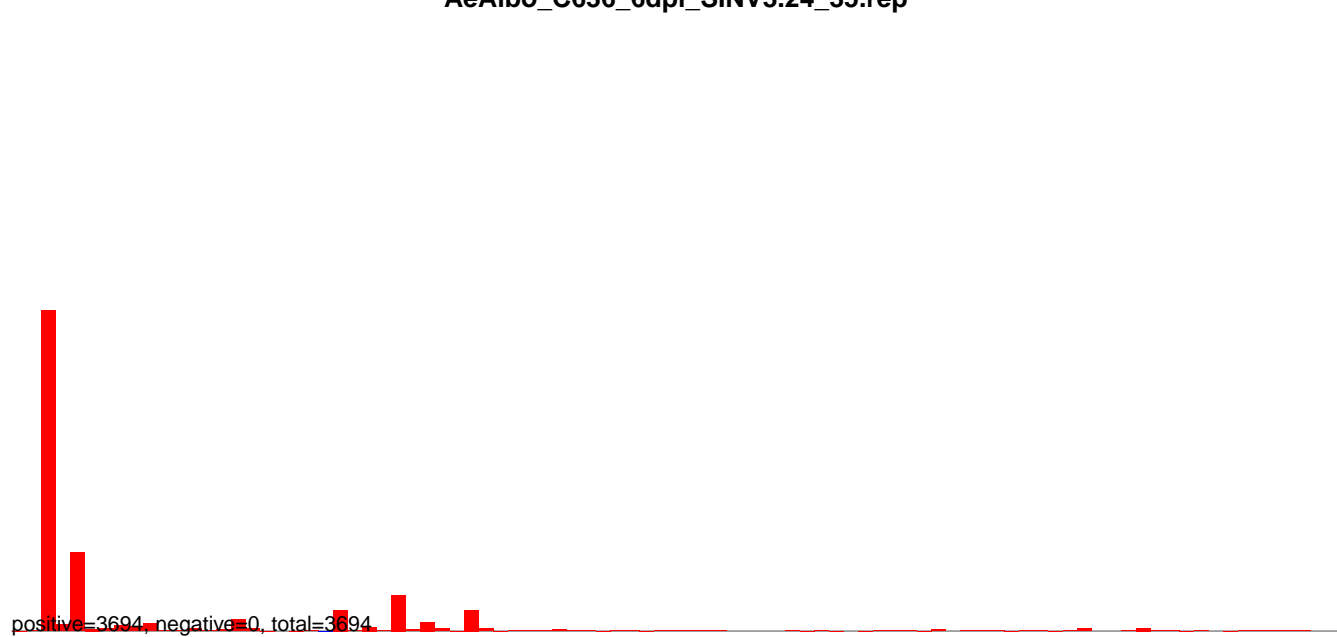
AeAlbo\_C636\_6dpi\_SINV3.rep



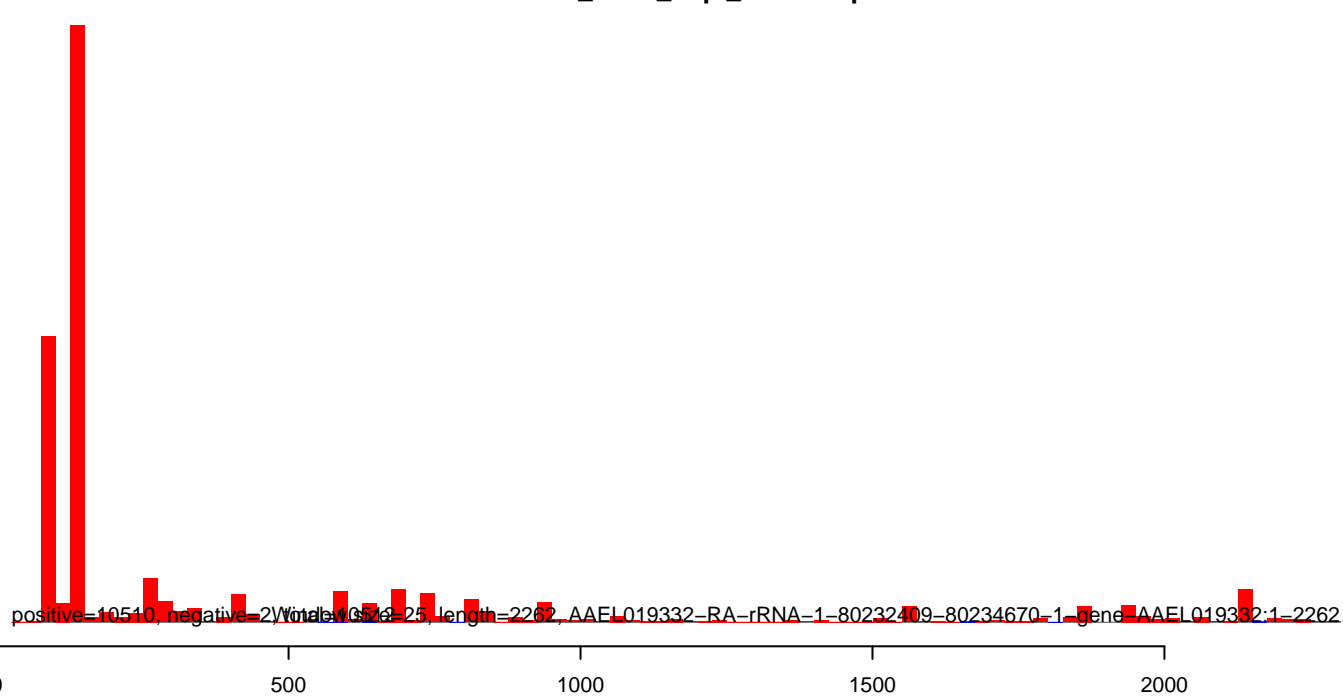
AeAlbo\_C636\_6dpi\_SINV3.18\_23.rep



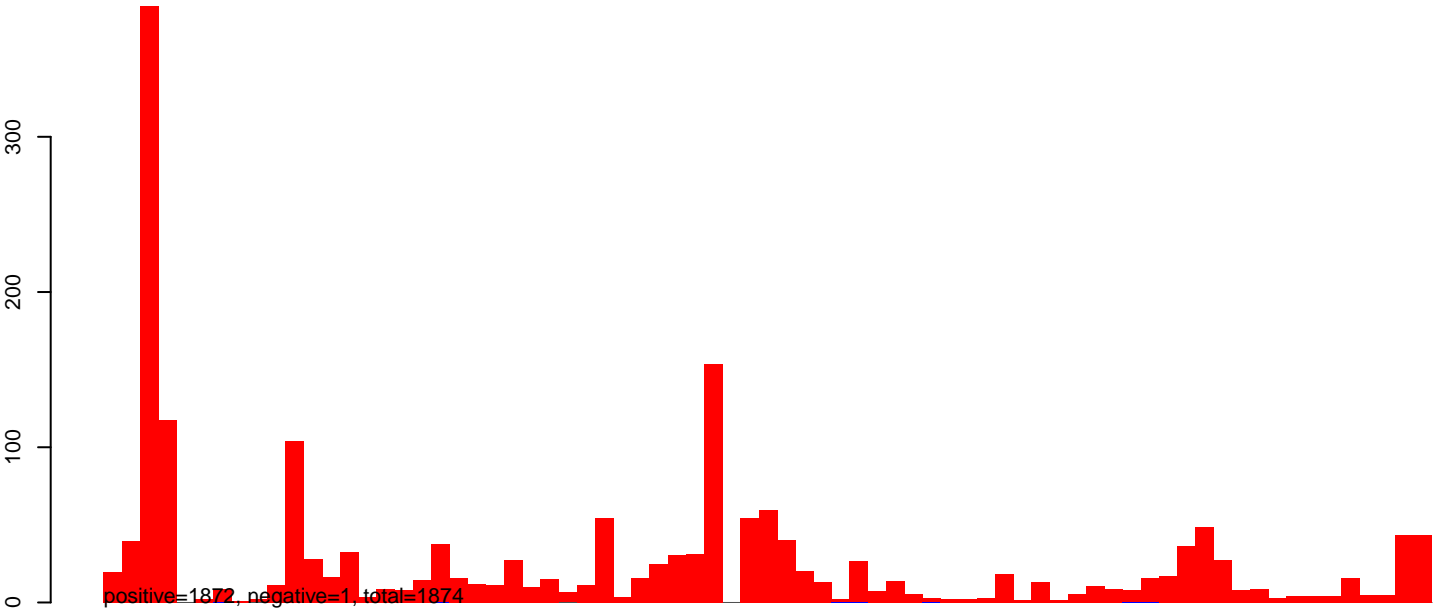
AeAlbo\_C636\_6dpi\_SINV3.24\_35.rep



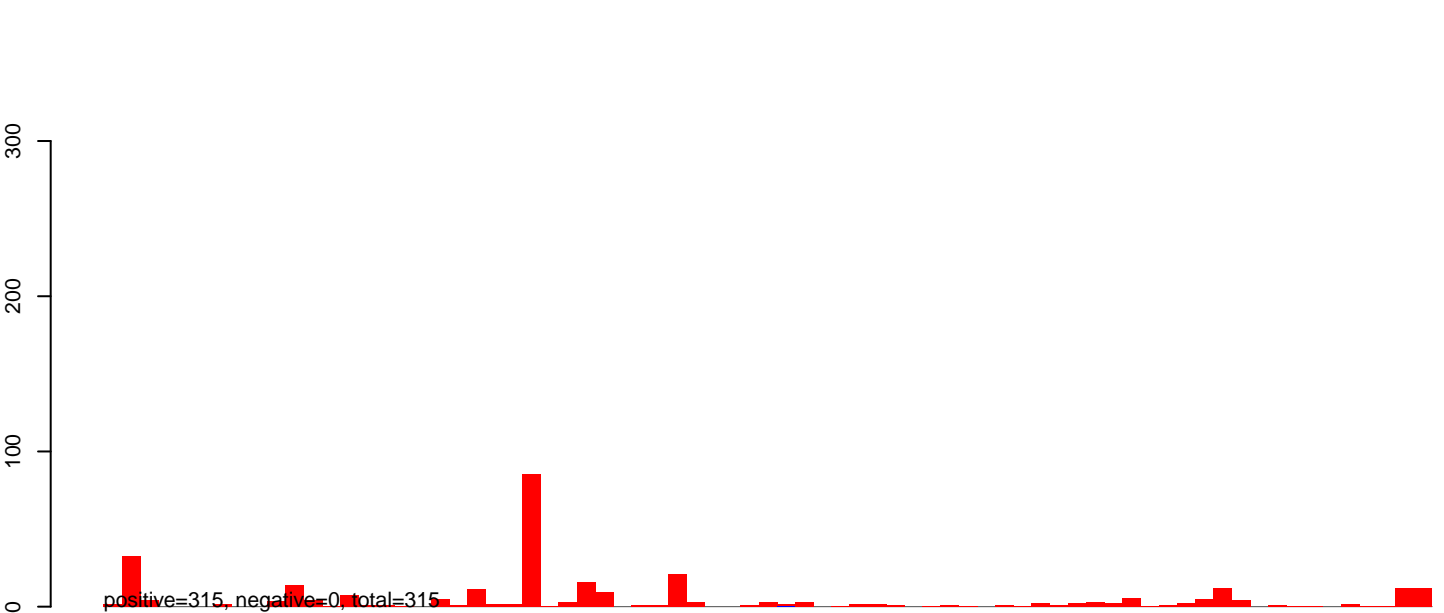
AeAlbo\_C636\_6dpi\_SINV3.rep



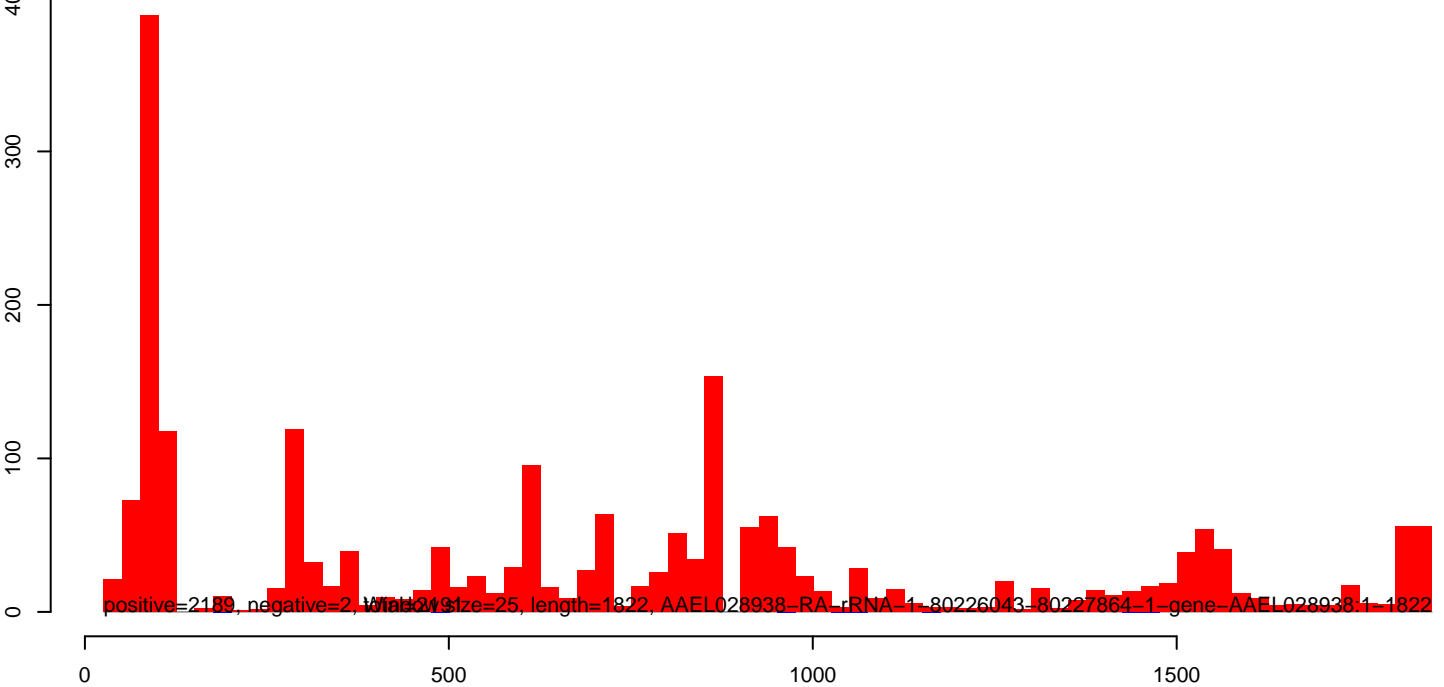
AeAlbo\_C636\_6dpi\_SINV3.18\_23.rep



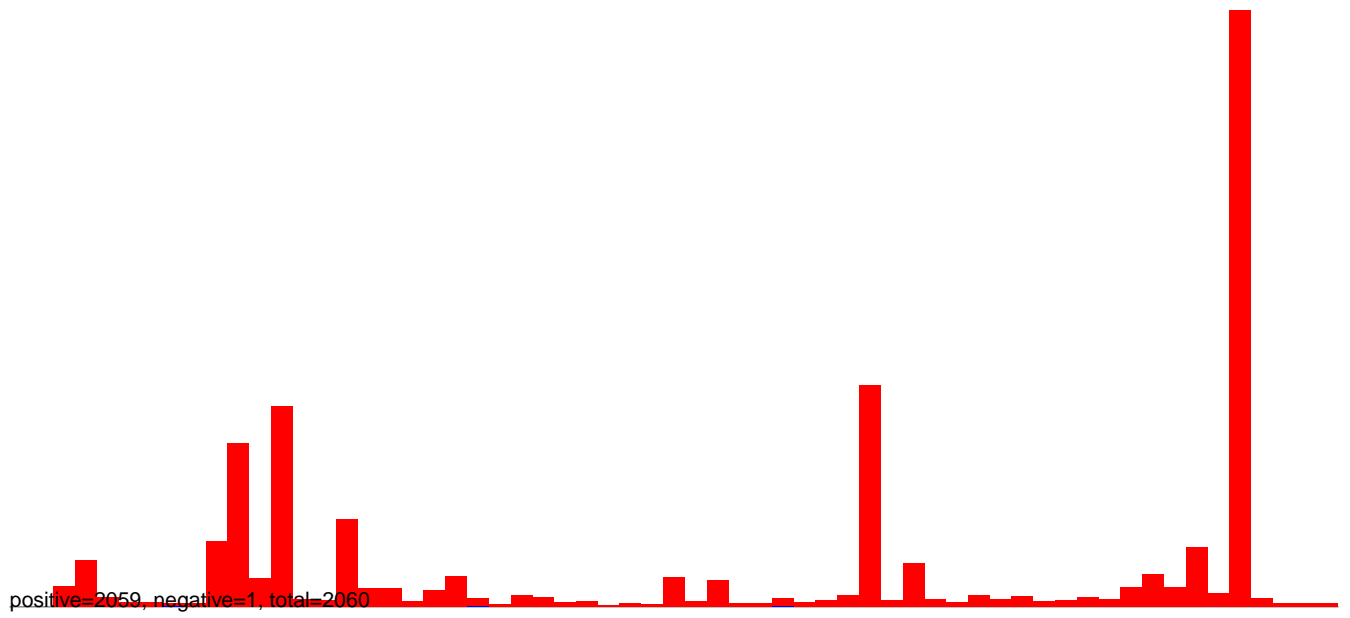
AeAlbo\_C636\_6dpi\_SINV3.24\_35.rep



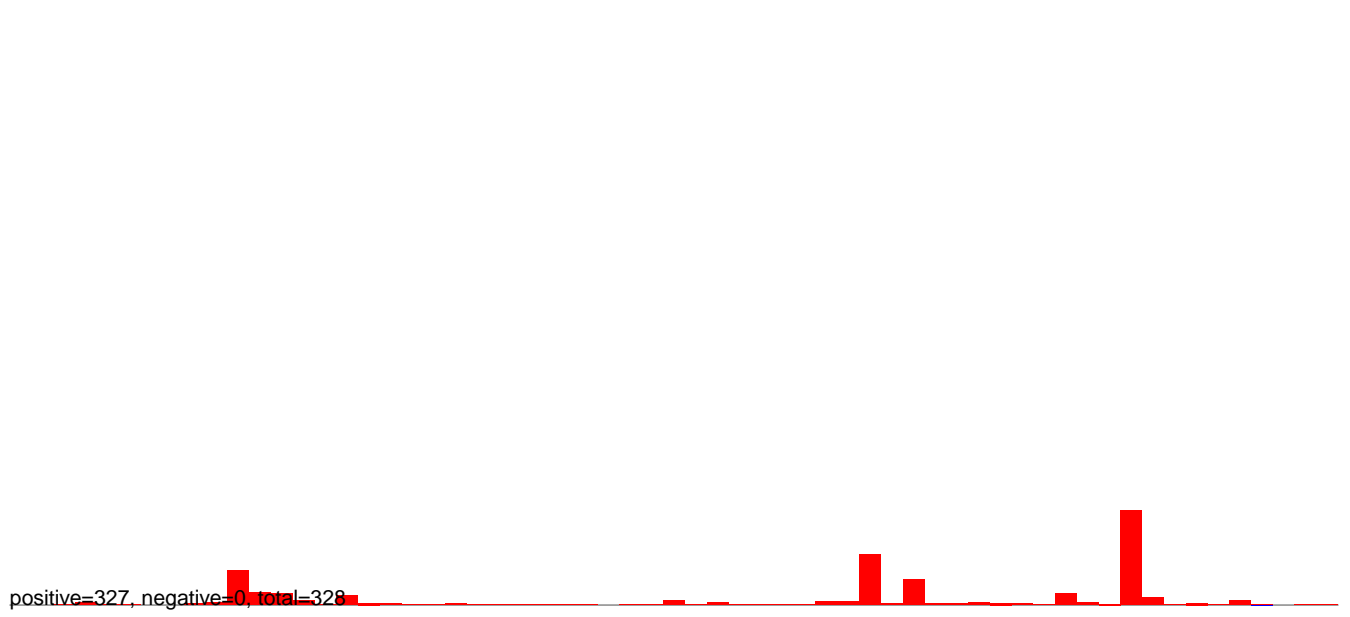
AeAlbo\_C636\_6dpi\_SINV3.rep



AeAlbo\_C636\_6dpi\_SINV3.18\_23.rep



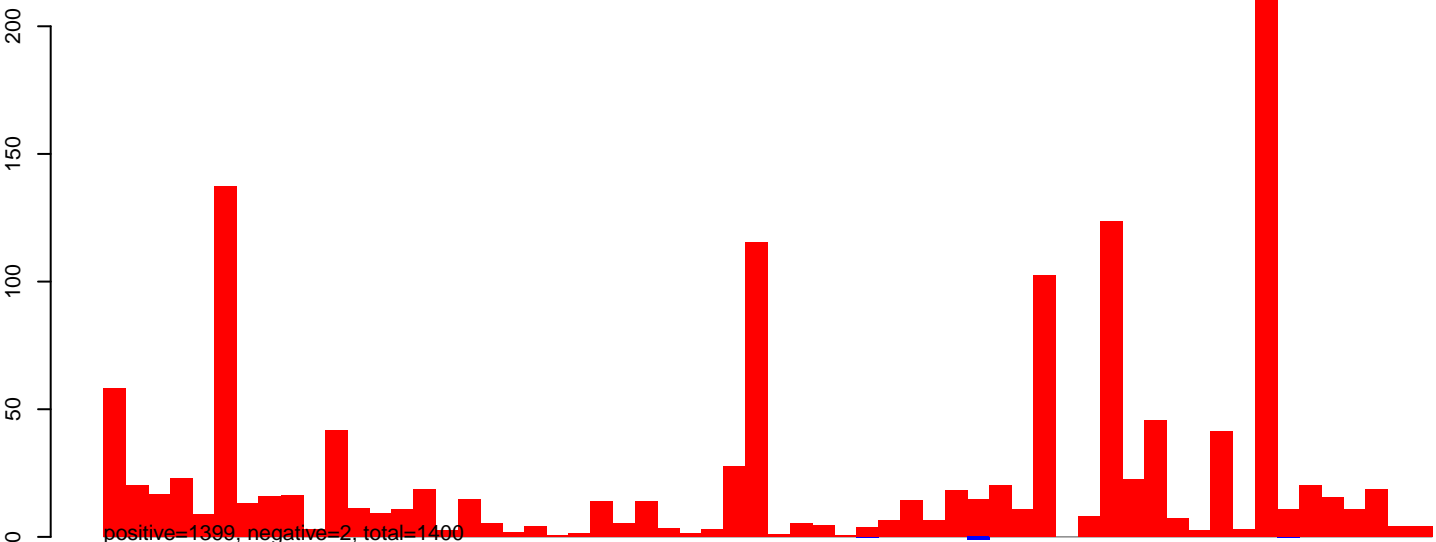
AeAlbo\_C636\_6dpi\_SINV3.24\_35.rep



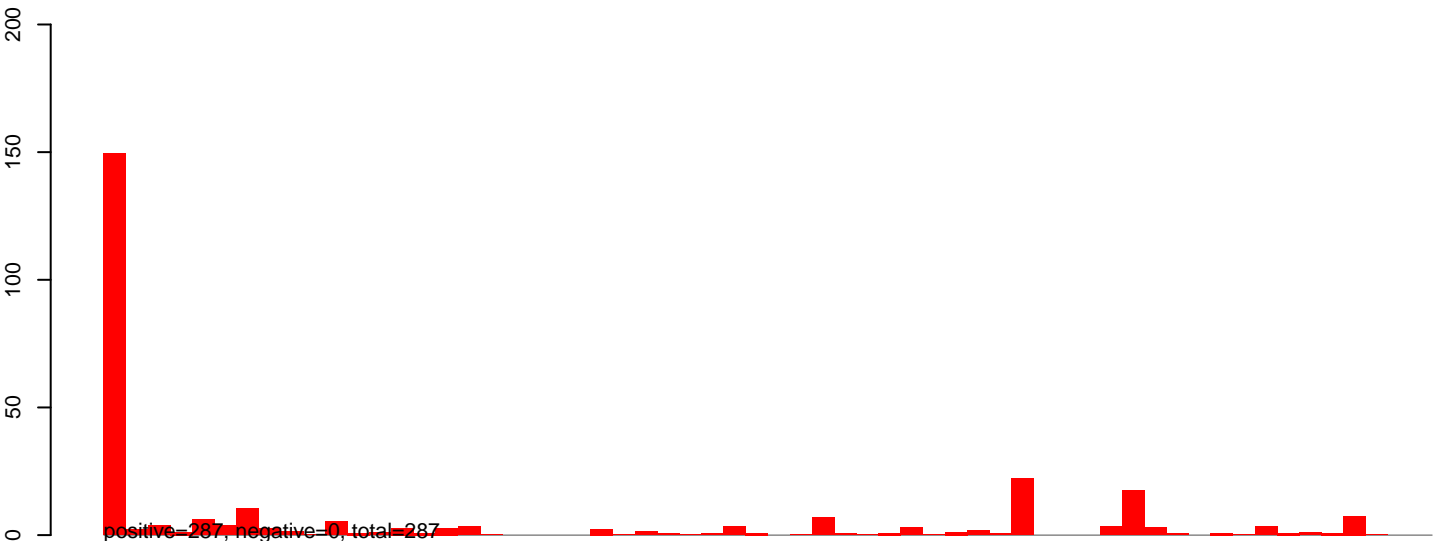
AeAlbo\_C636\_6dpi\_SINV3.rep



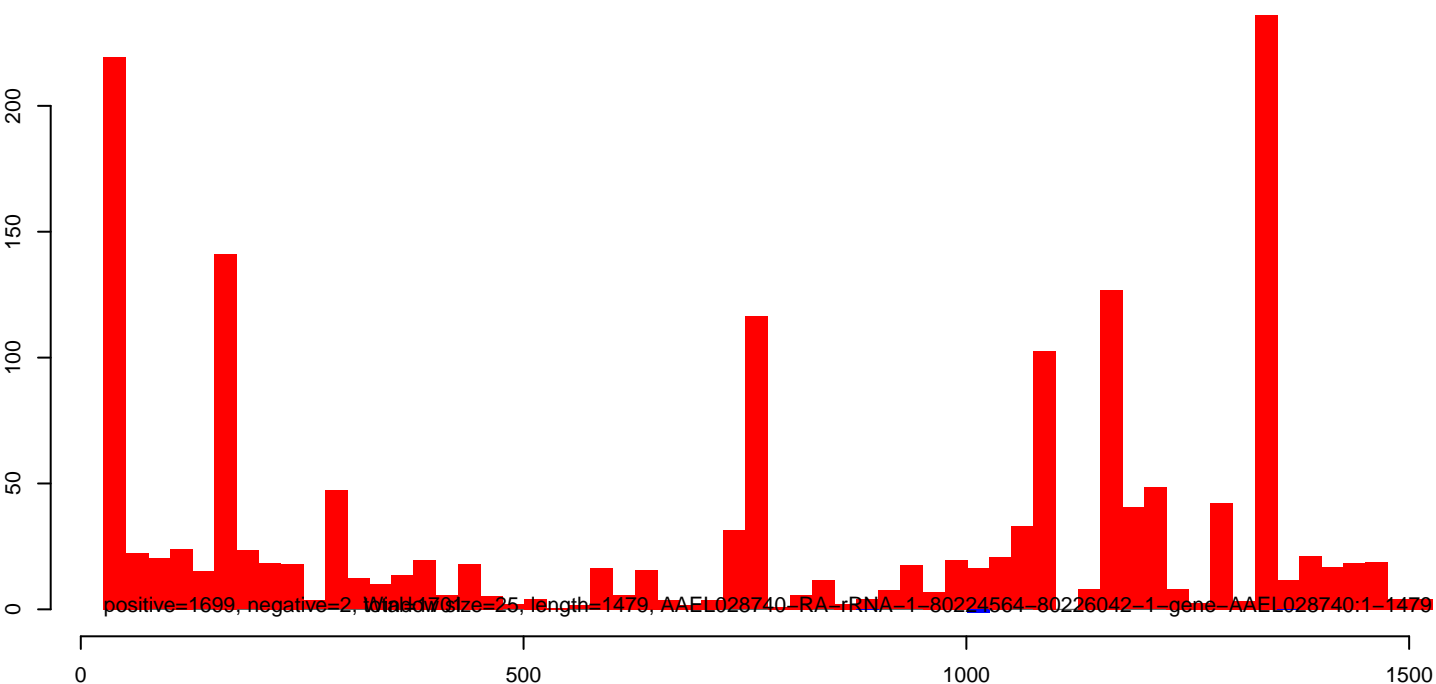
AeAlbo\_C636\_6dpi\_SINV3.18\_23.rep



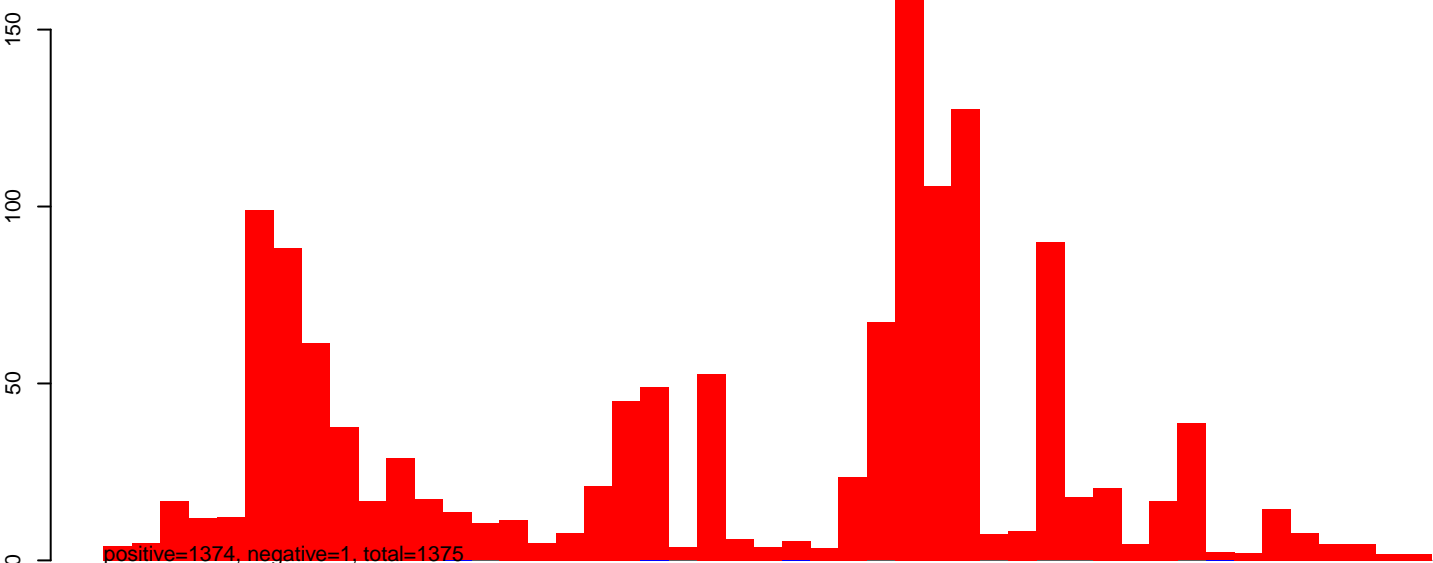
AeAlbo\_C636\_6dpi\_SINV3.24\_35.rep



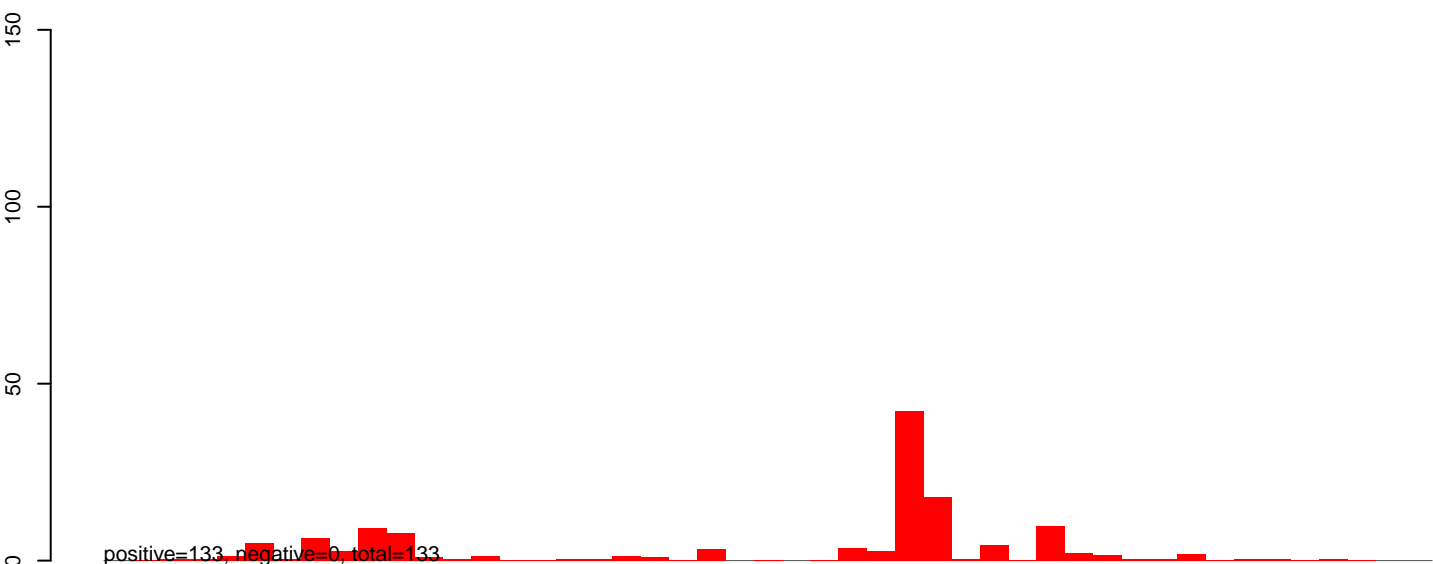
AeAlbo\_C636\_6dpi\_SINV3.rep



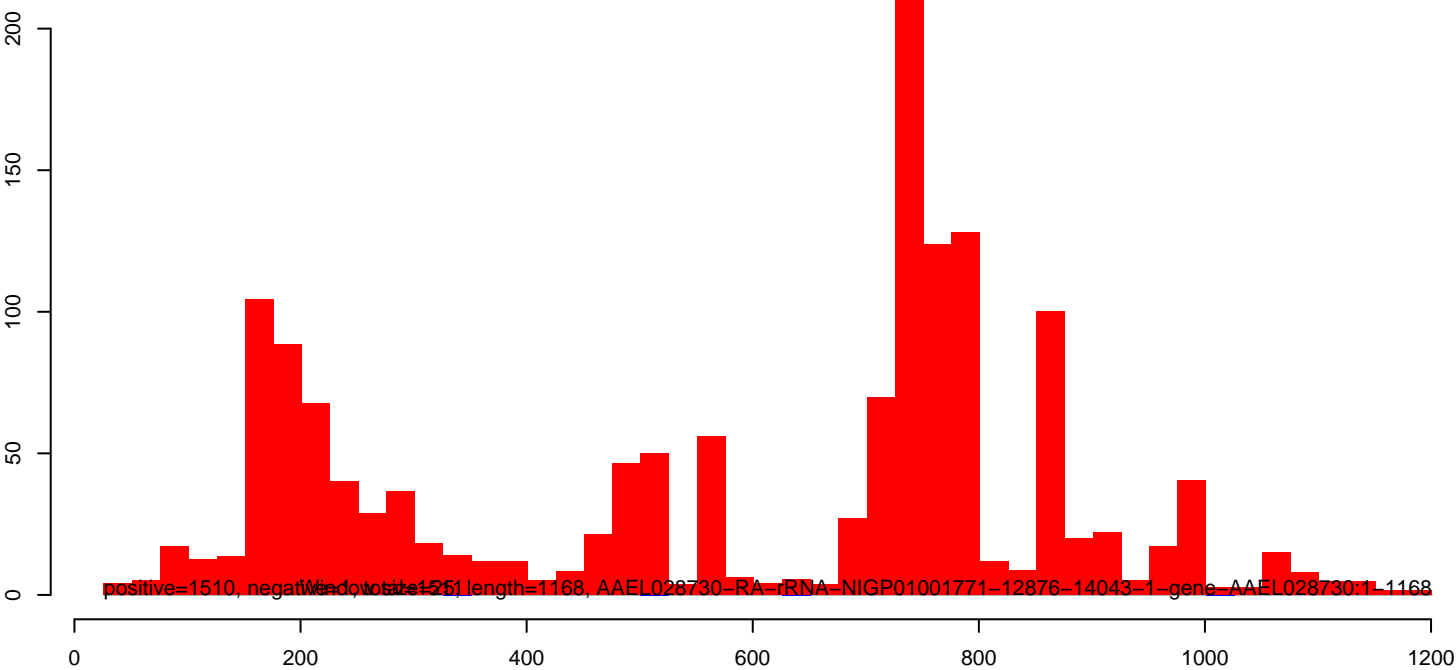
AeAlbo\_C636\_6dpi\_SINV3.18\_23.rep



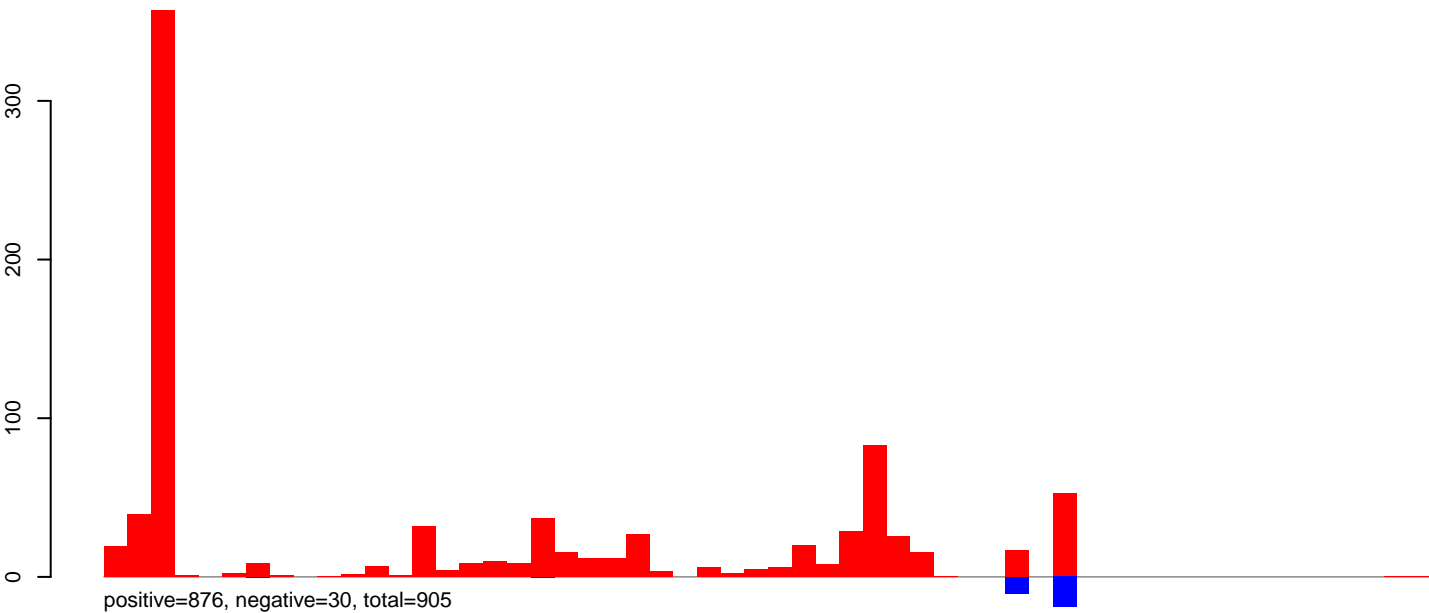
AeAlbo\_C636\_6dpi\_SINV3.24\_35.rep



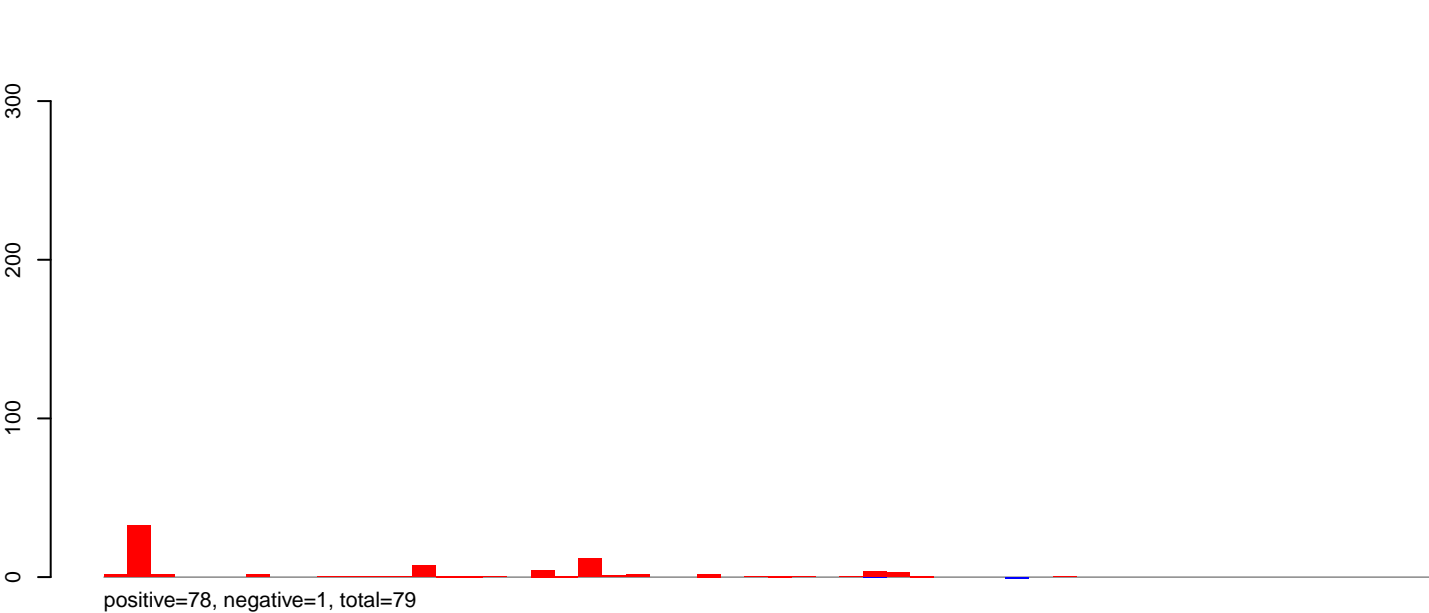
AeAlbo\_C636\_6dpi\_SINV3.rep



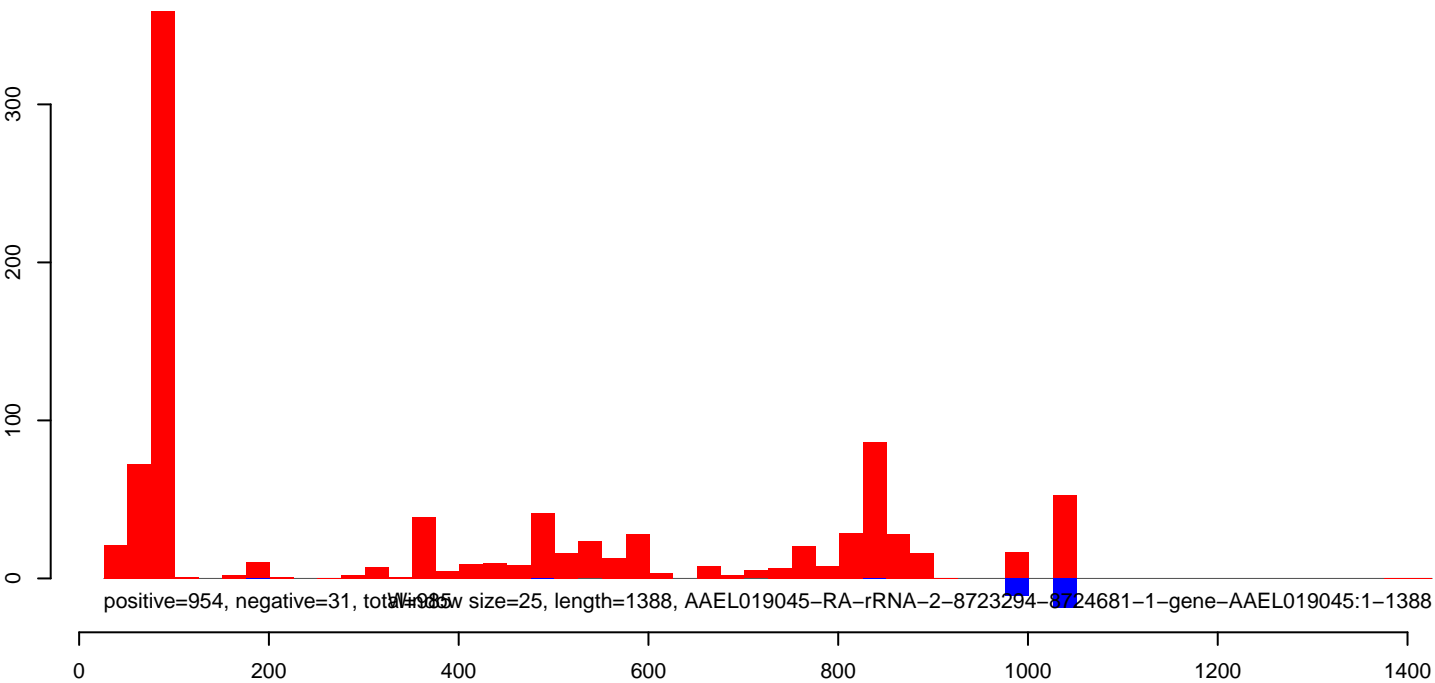
AeAlbo\_C636\_6dpi\_SINV3.18\_23.rep



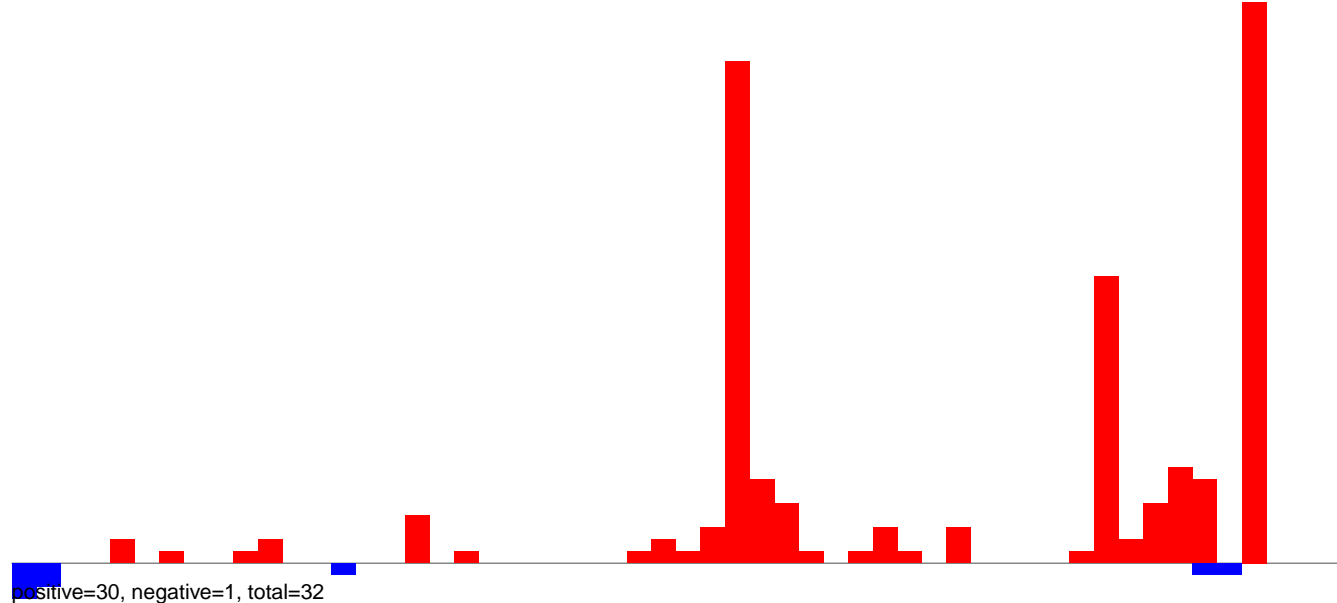
AeAlbo\_C636\_6dpi\_SINV3.24\_35.rep



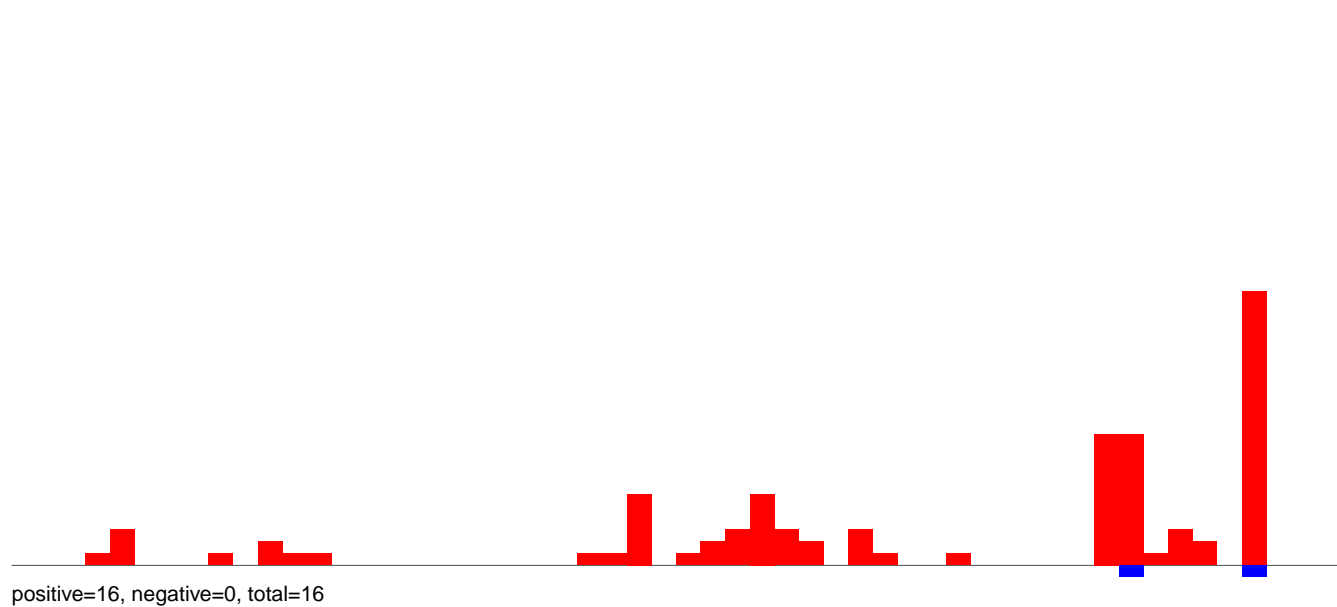
AeAlbo\_C636\_6dpi\_SINV3.rep



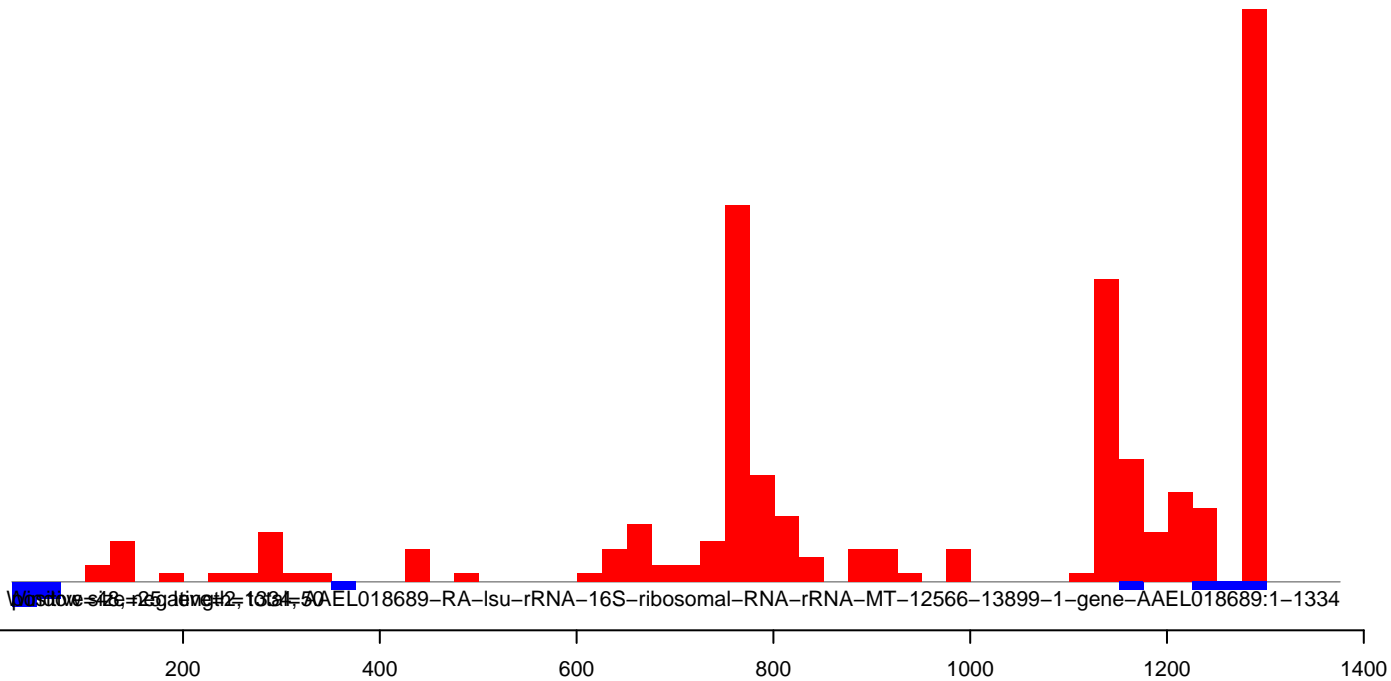
AeAlbo\_C636\_6dpi\_SINV3.18\_23.rep



AeAlbo\_C636\_6dpi\_SINV3.24\_35.rep

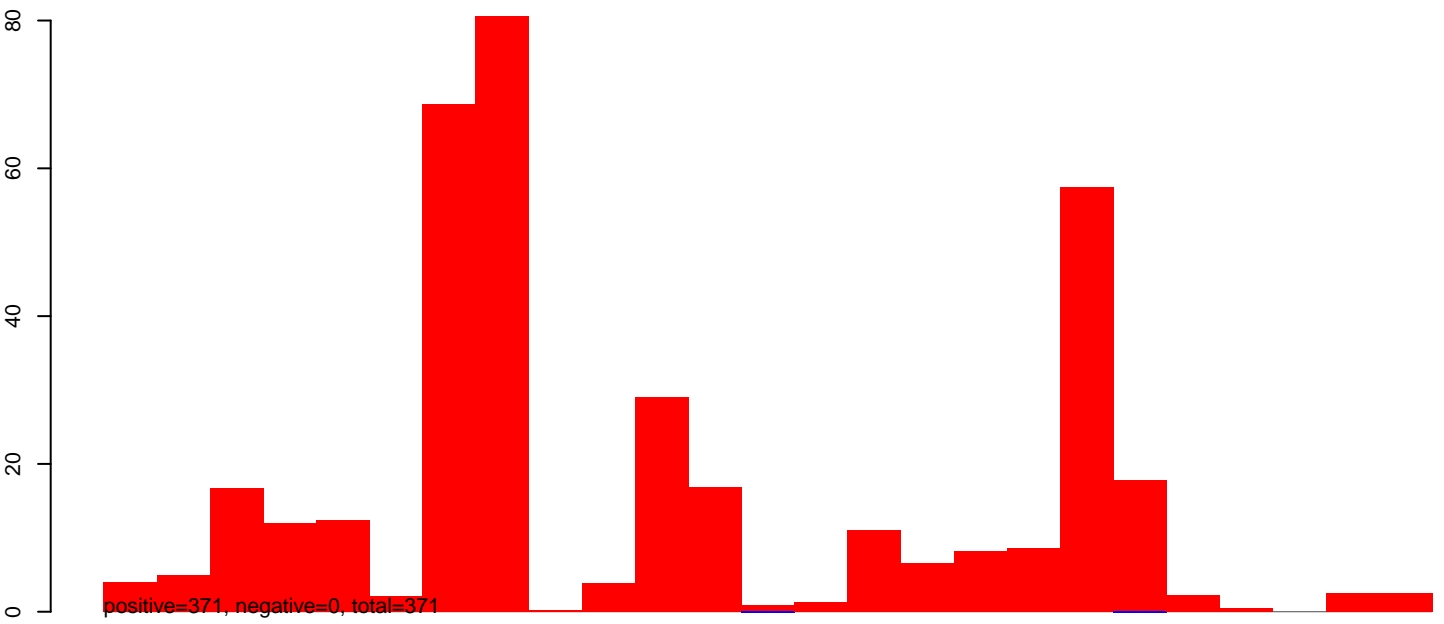


AeAlbo\_C636\_6dpi\_SINV3.rep

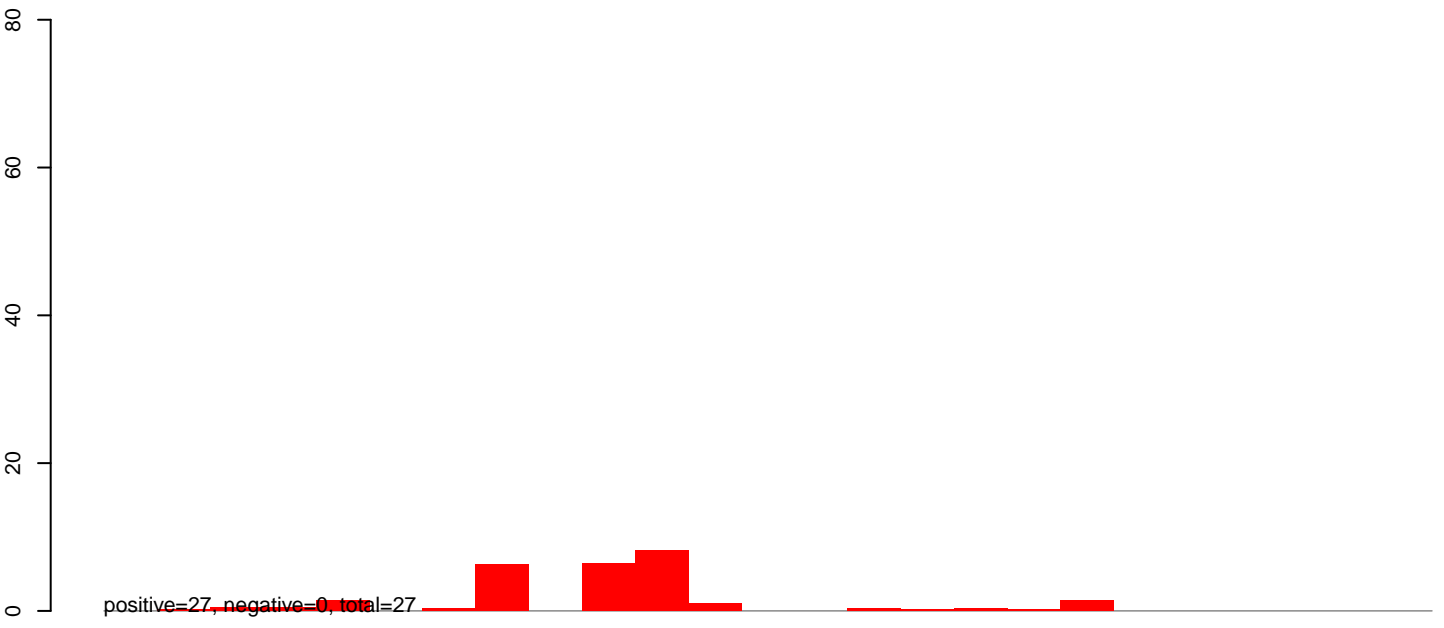




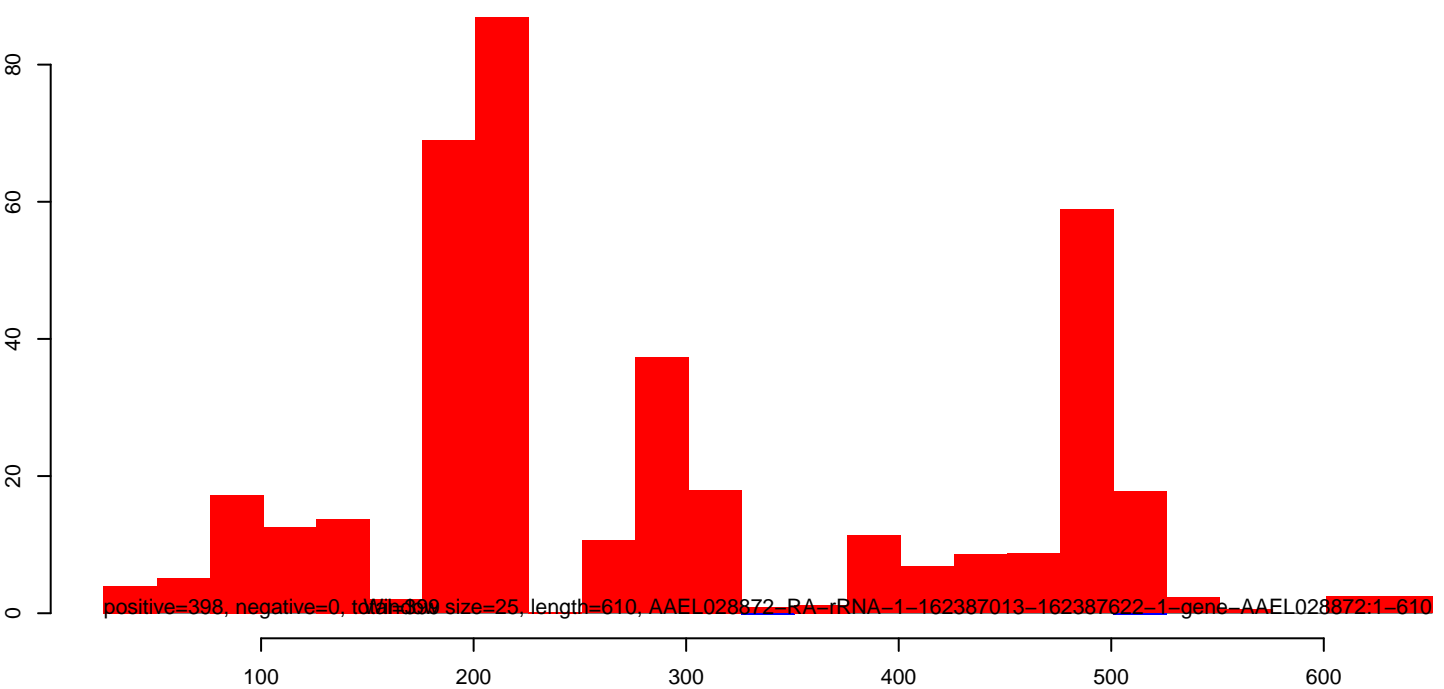
AeAlbo\_C636\_6dpi\_SINV3.18\_23.rep



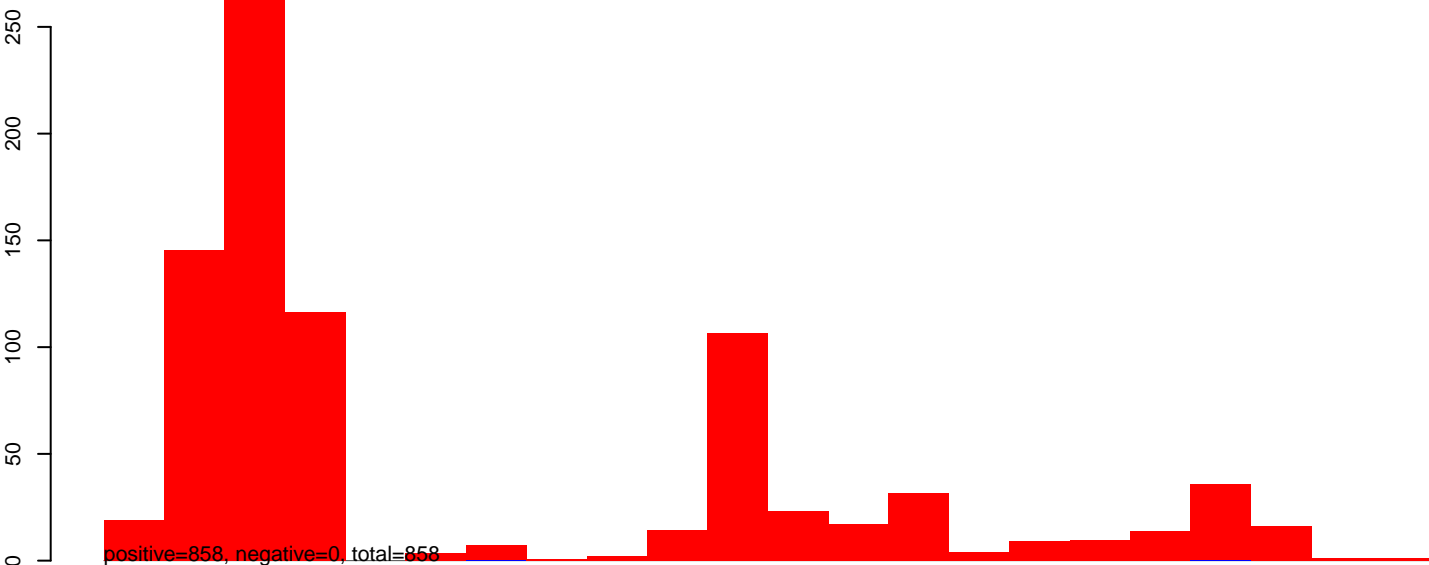
AeAlbo\_C636\_6dpi\_SINV3.24\_35.rep



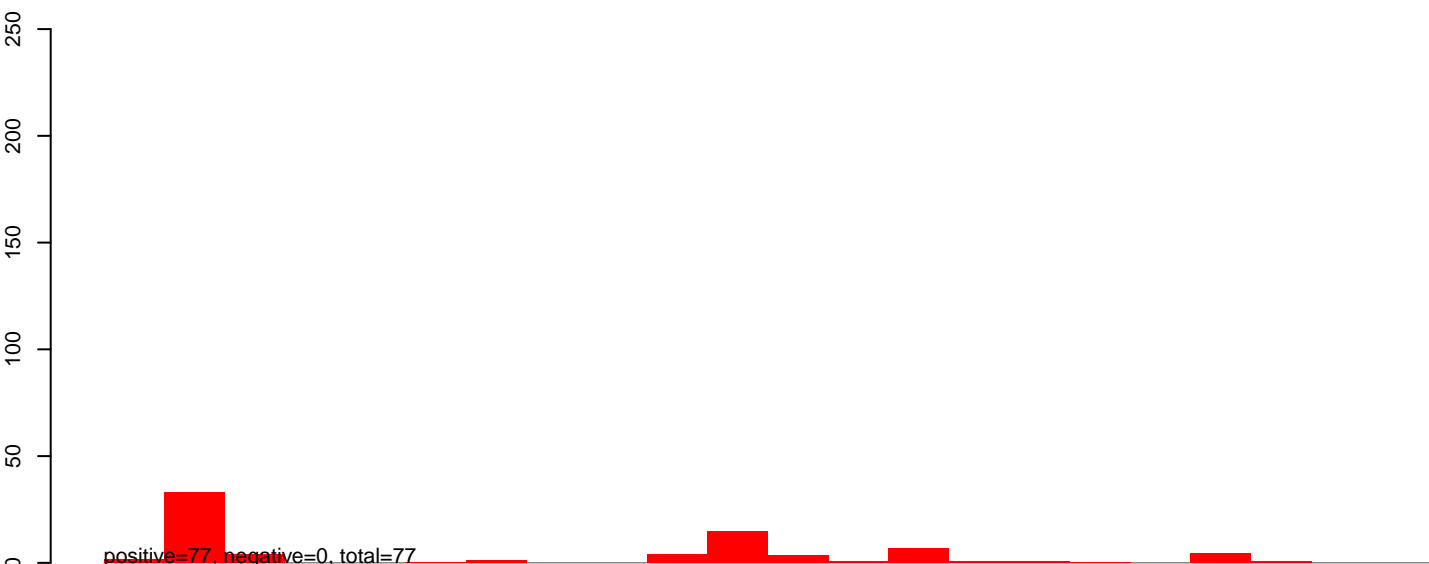
AeAlbo\_C636\_6dpi\_SINV3.rep



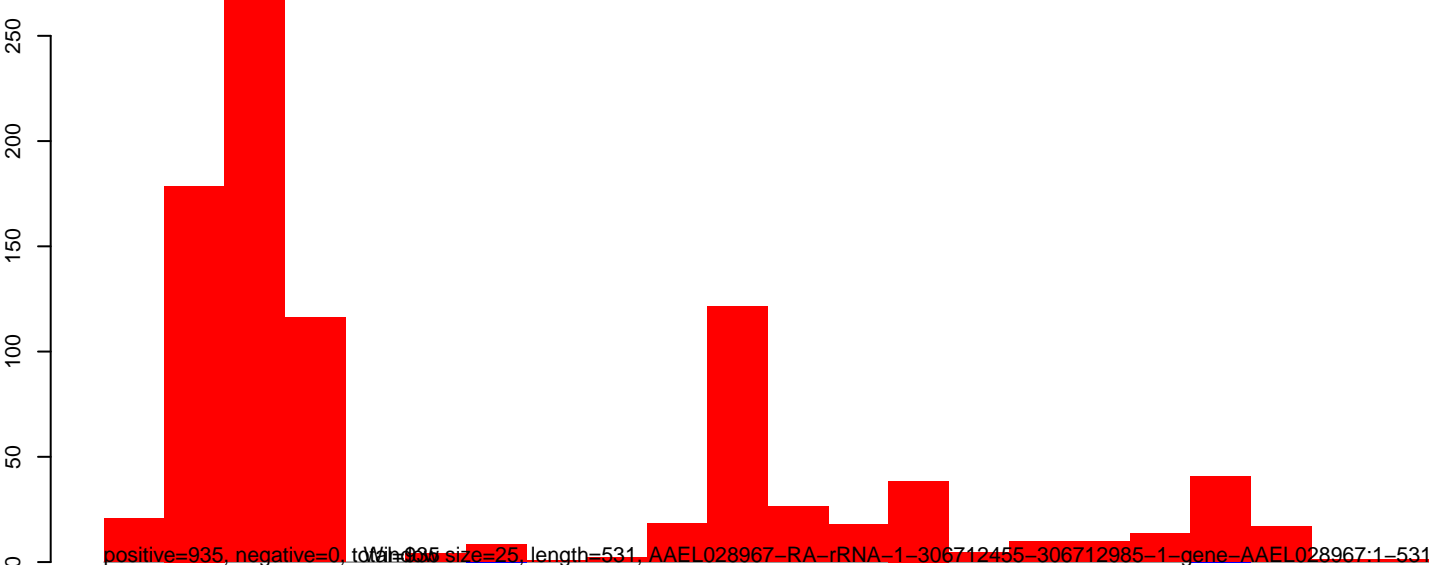
AeAlbo\_C636\_6dpi\_SINV3.18\_23.rep



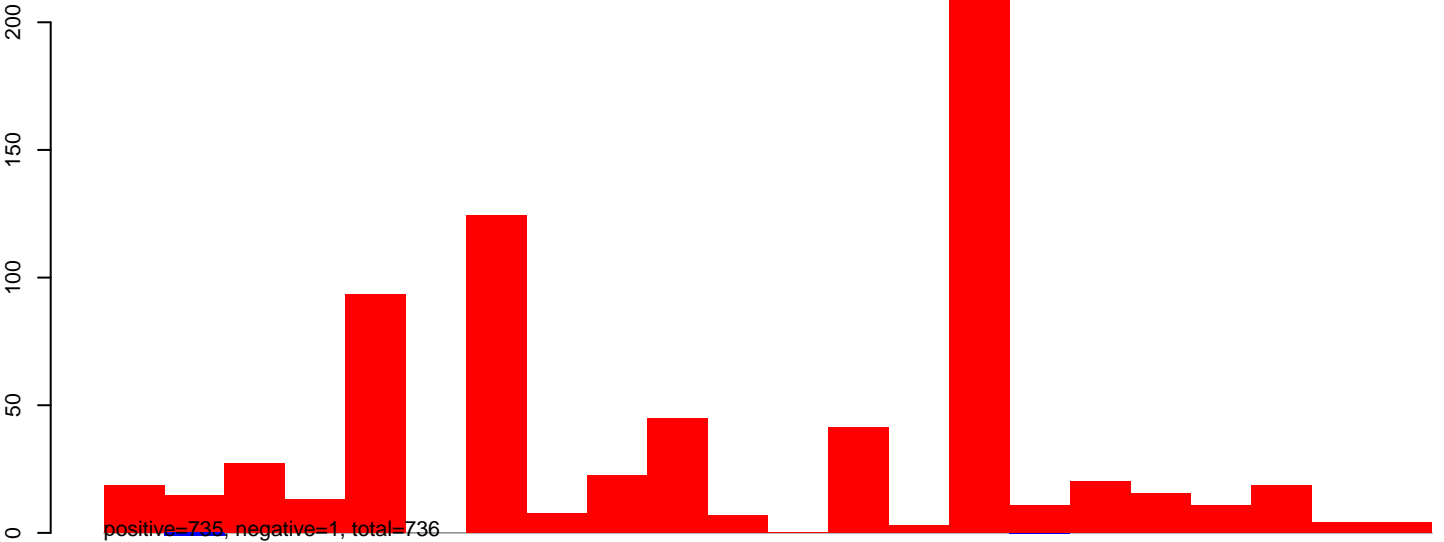
AeAlbo\_C636\_6dpi\_SINV3.24\_35.rep



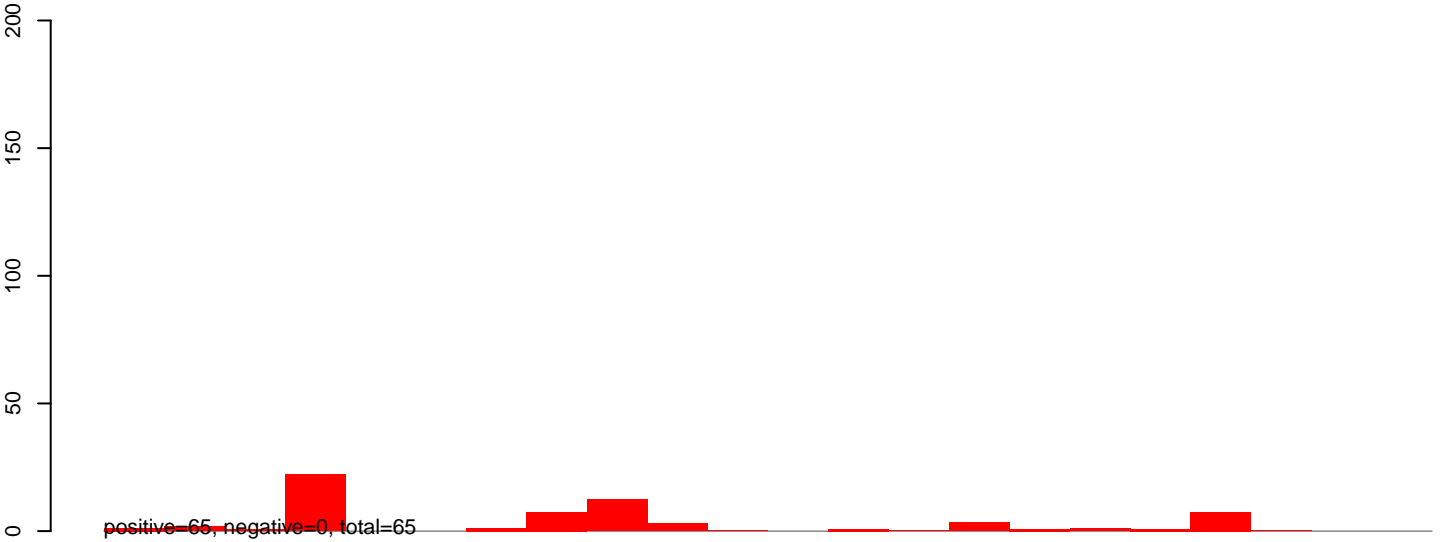
AeAlbo\_C636\_6dpi\_SINV3.rep



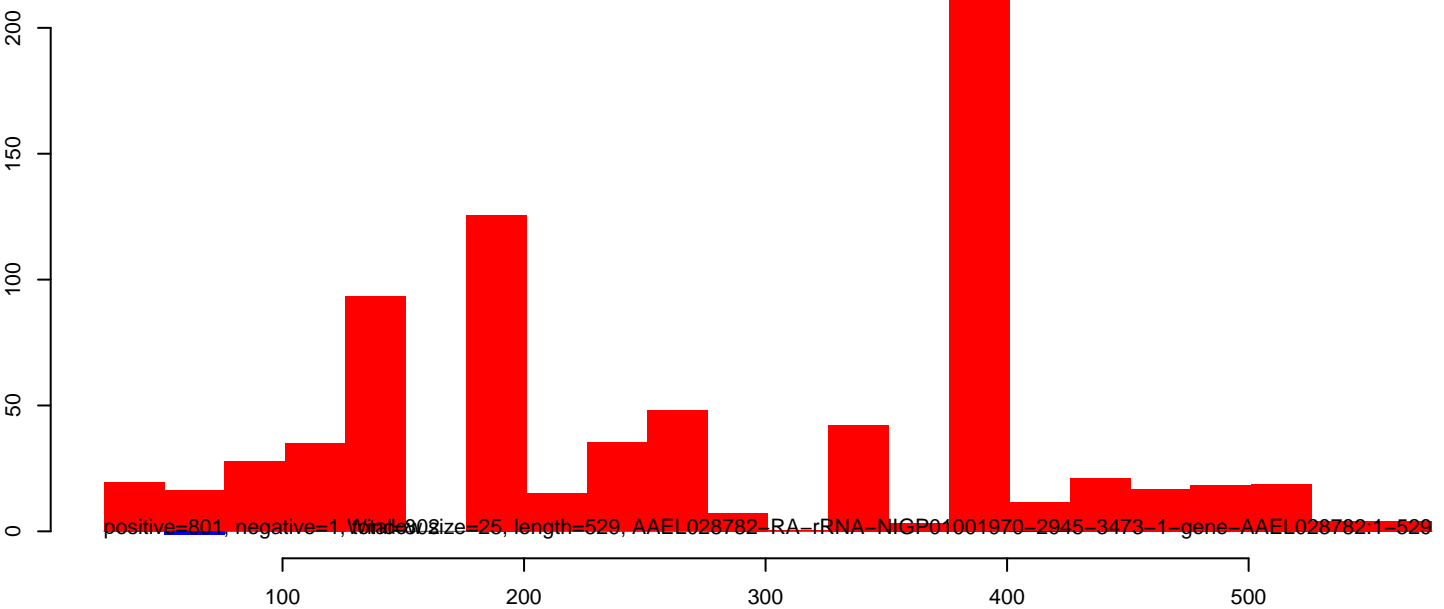
AeAlbo\_C636\_6dpi\_SINV3.18\_23.rep



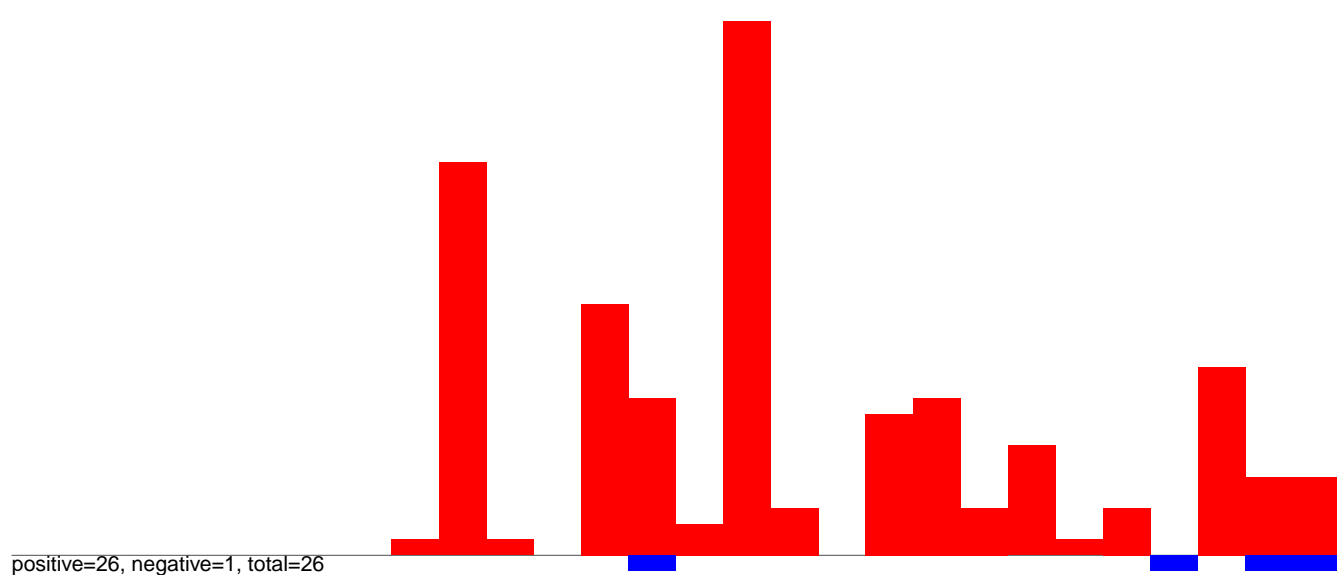
AeAlbo\_C636\_6dpi\_SINV3.24\_35.rep



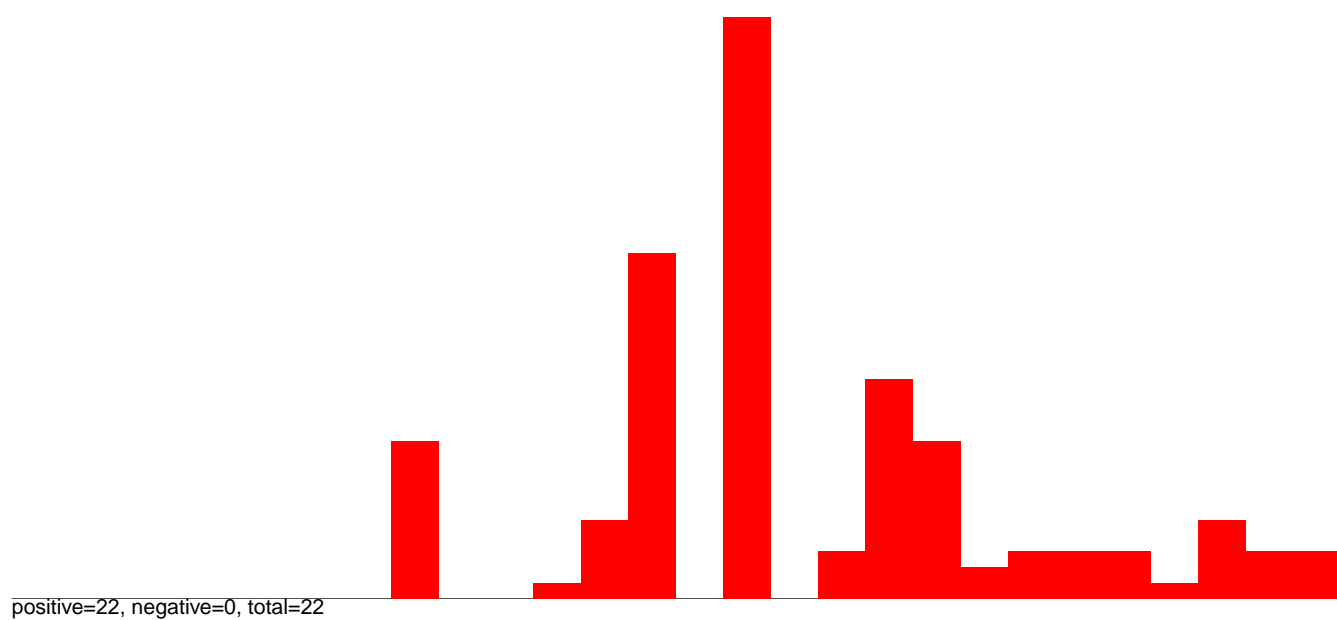
AeAlbo\_C636\_6dpi\_SINV3.rep



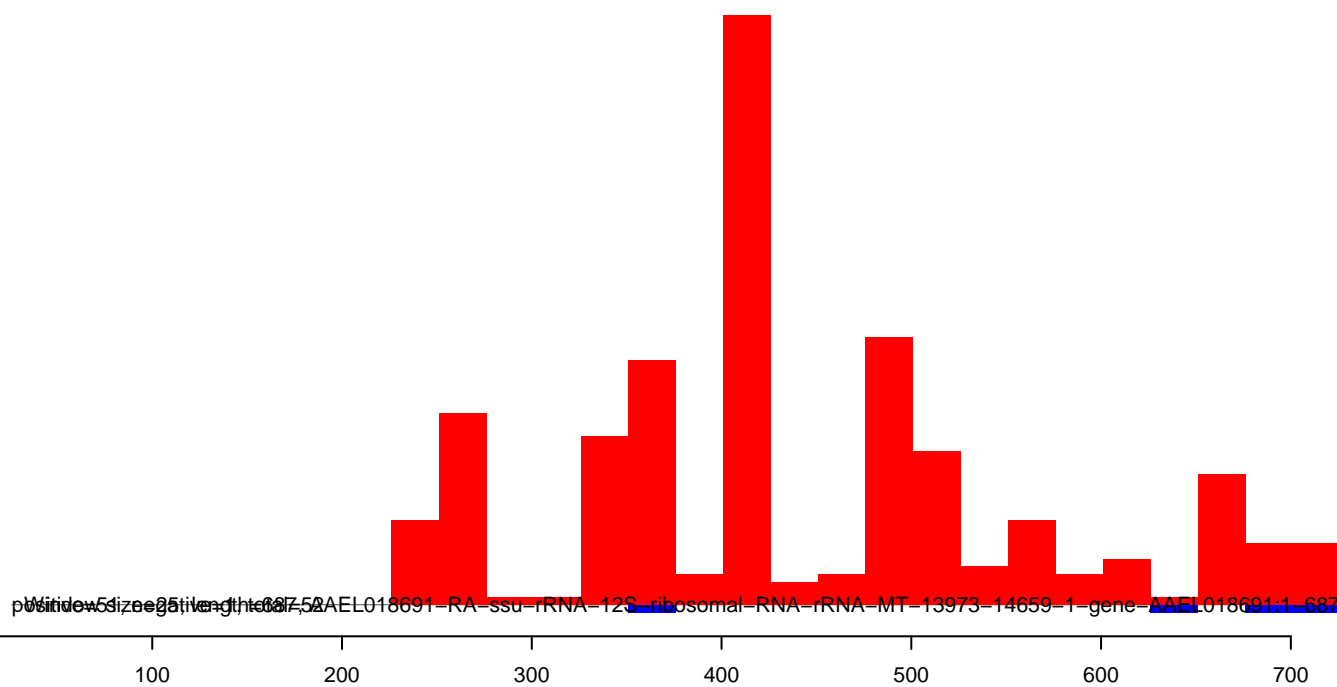
AeAlbo\_C636\_6dpi\_SINV3.18\_23.rep



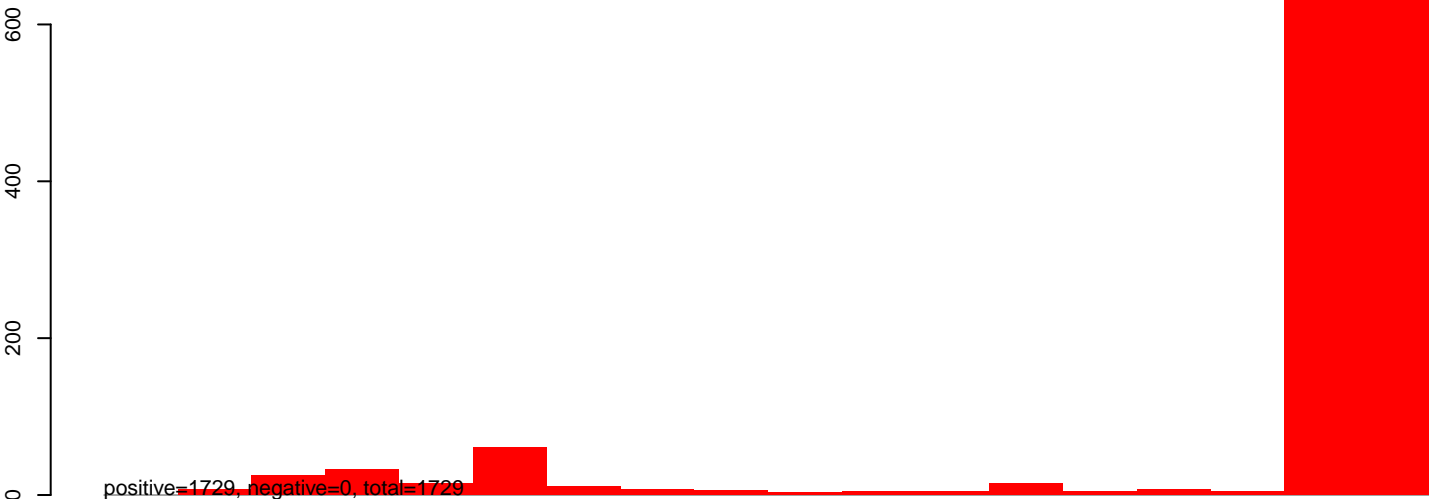
AeAlbo\_C636\_6dpi\_SINV3.24\_35.rep



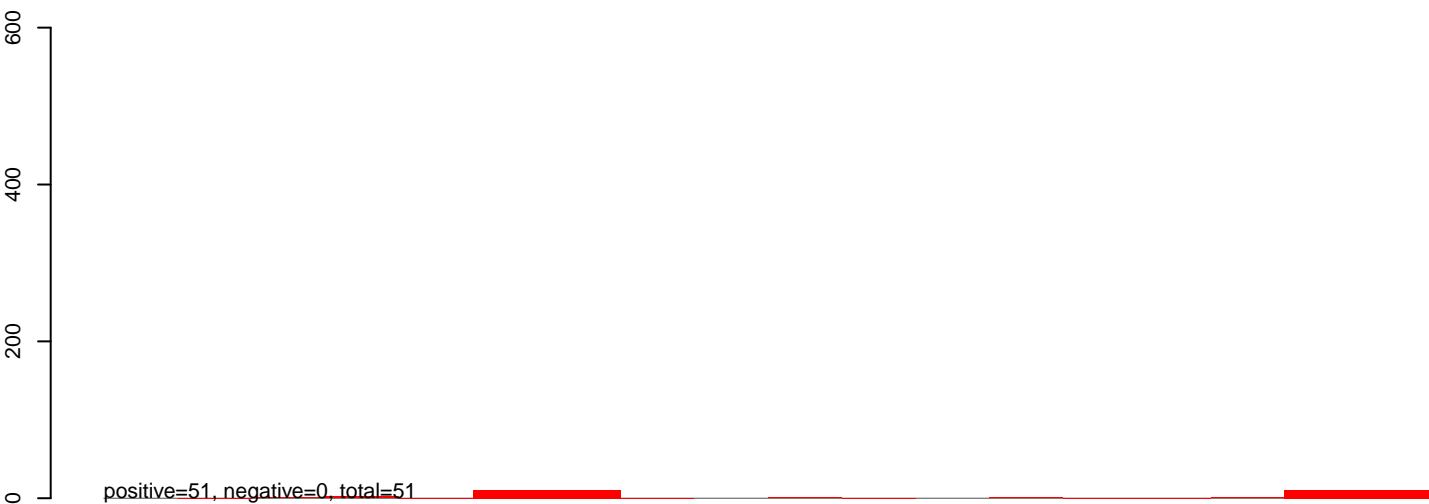
AeAlbo\_C636\_6dpi\_SINV3.rep



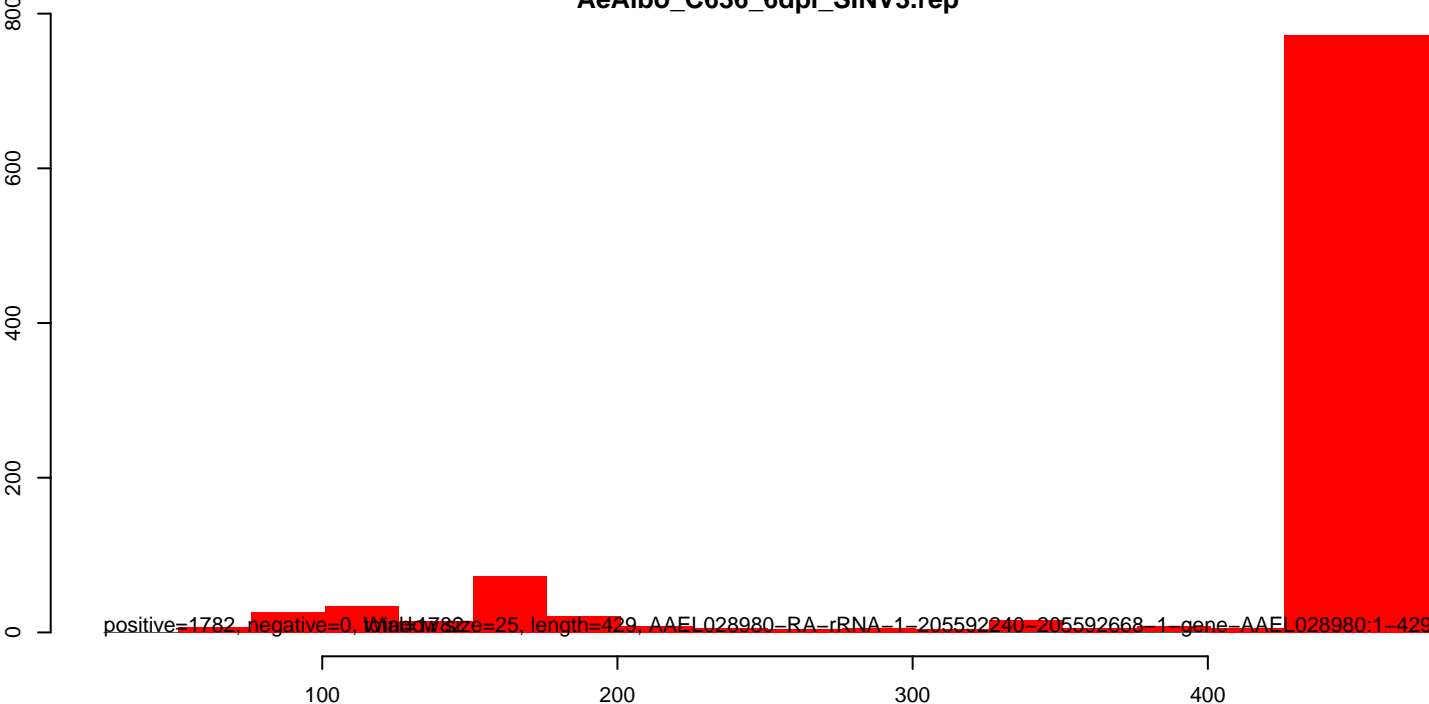
**AeAlbo\_C636\_6dpi\_SINV3.18\_23.rep**



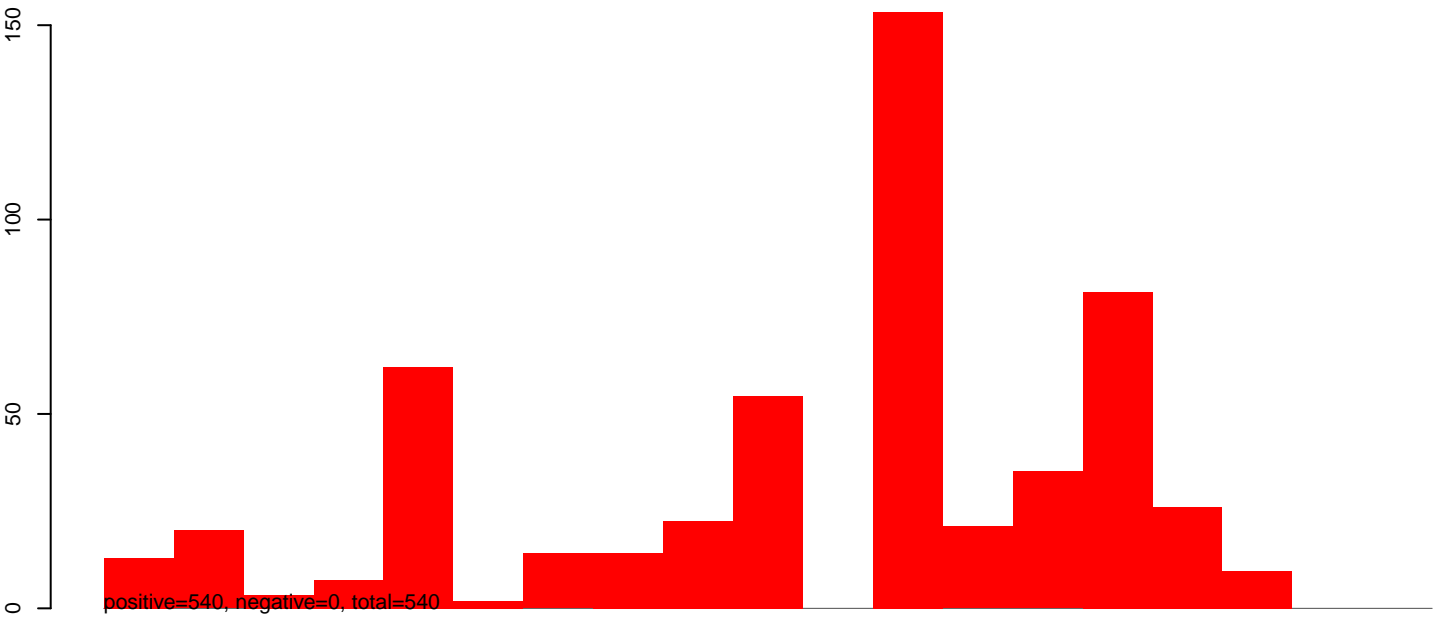
**AeAlbo\_C636\_6dpi\_SINV3.24\_35.rep**



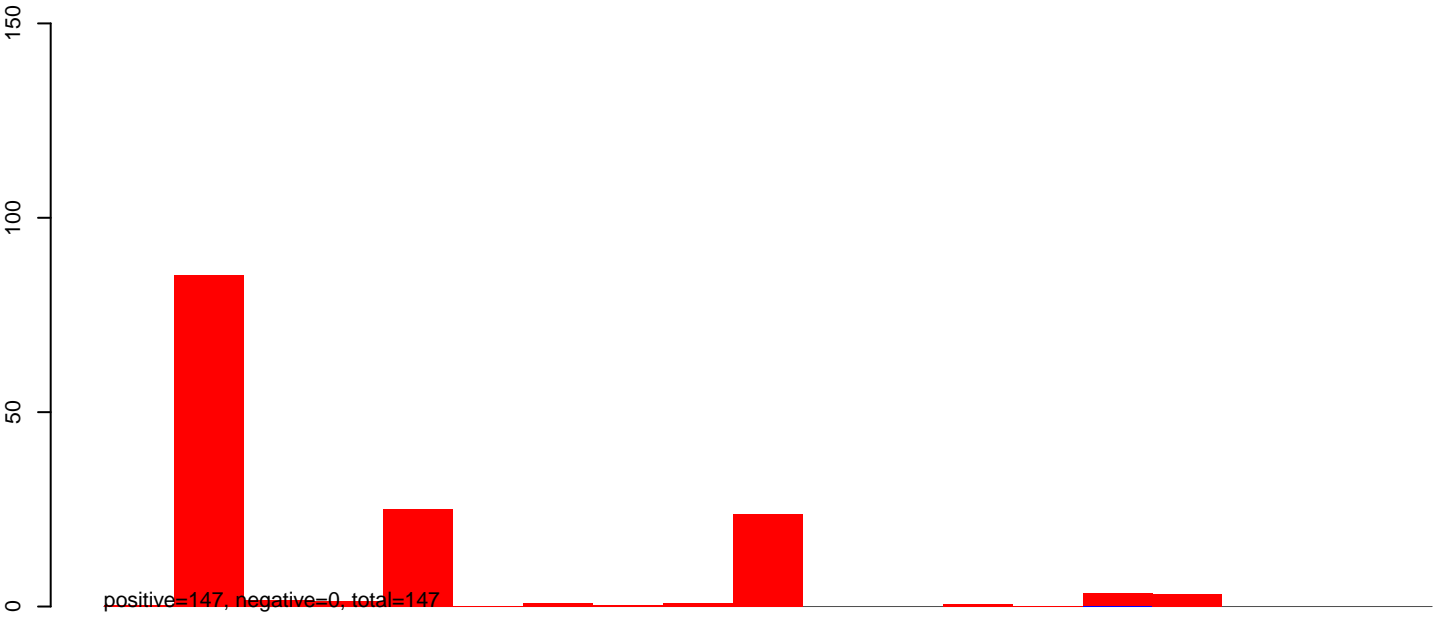
**AeAlbo\_C636\_6dpi\_SINV3.rep**



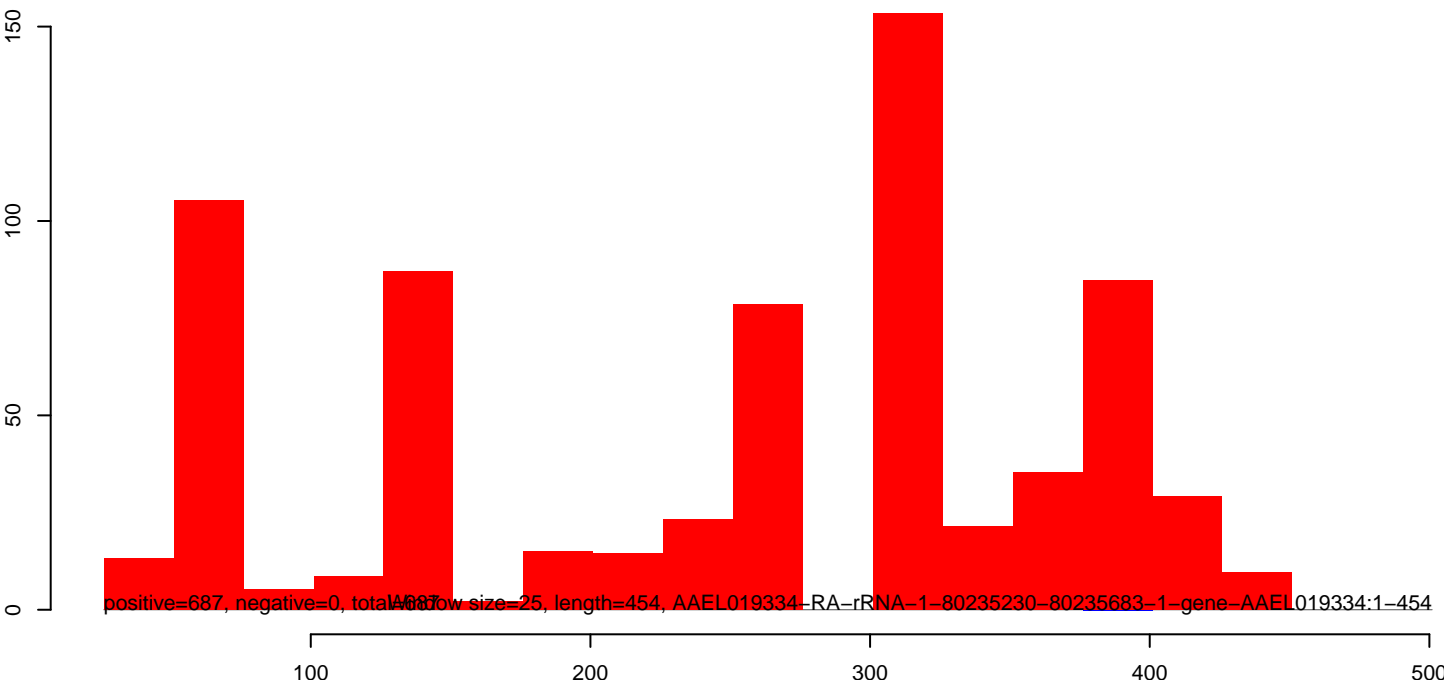
AeAlbo\_C636\_6dpi\_SINV3.18\_23.rep



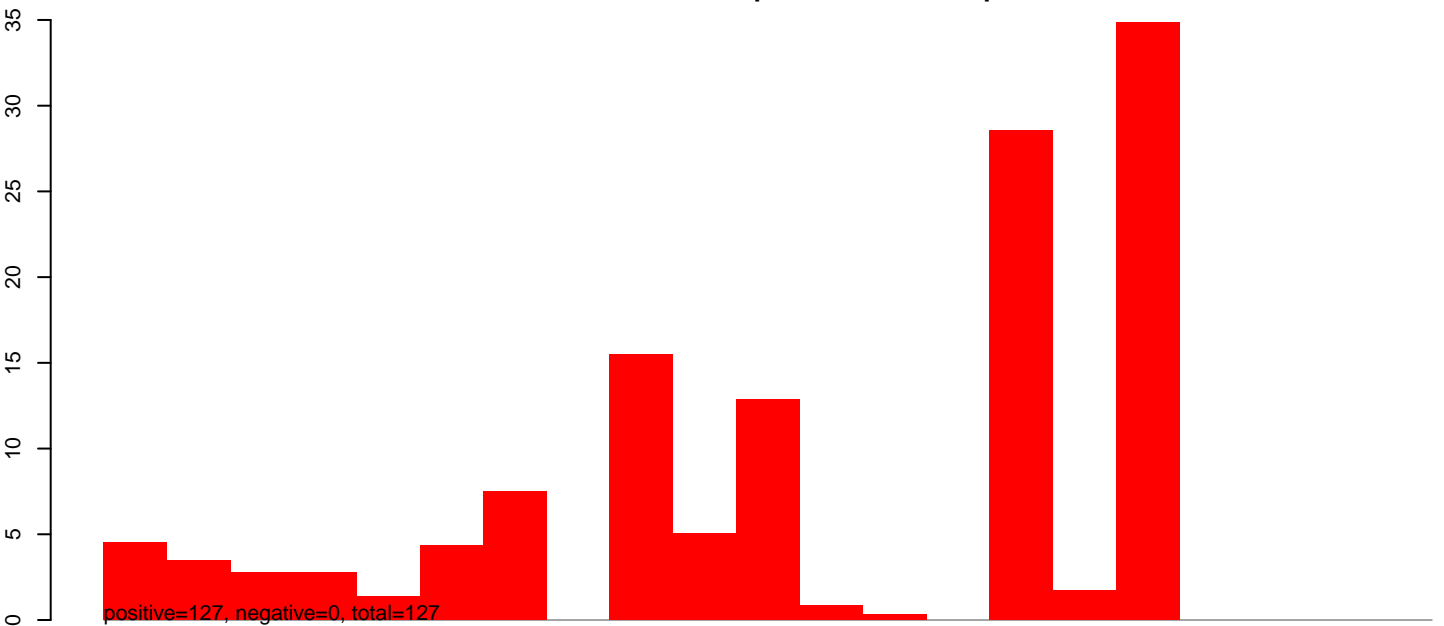
AeAlbo\_C636\_6dpi\_SINV3.24\_35.rep



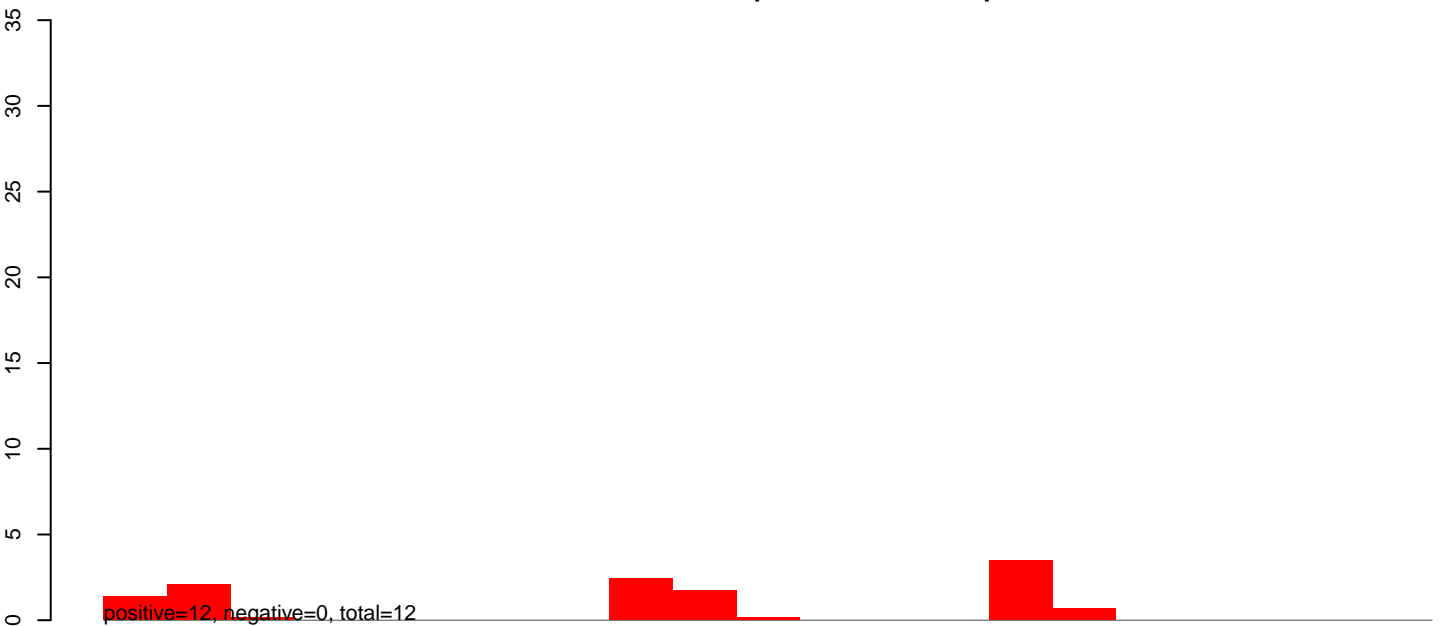
AeAlbo\_C636\_6dpi\_SINV3.rep



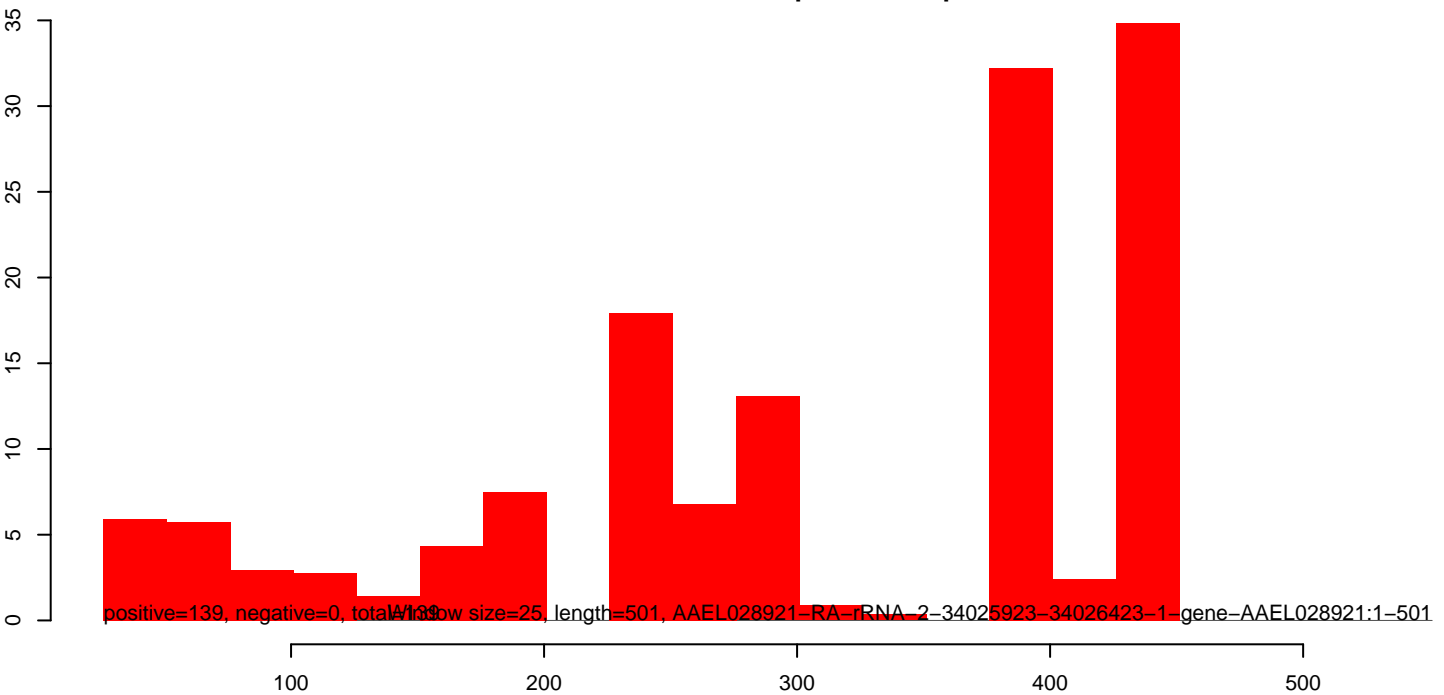
AeAlbo\_C636\_6dpi\_SINV3.18\_23.rep



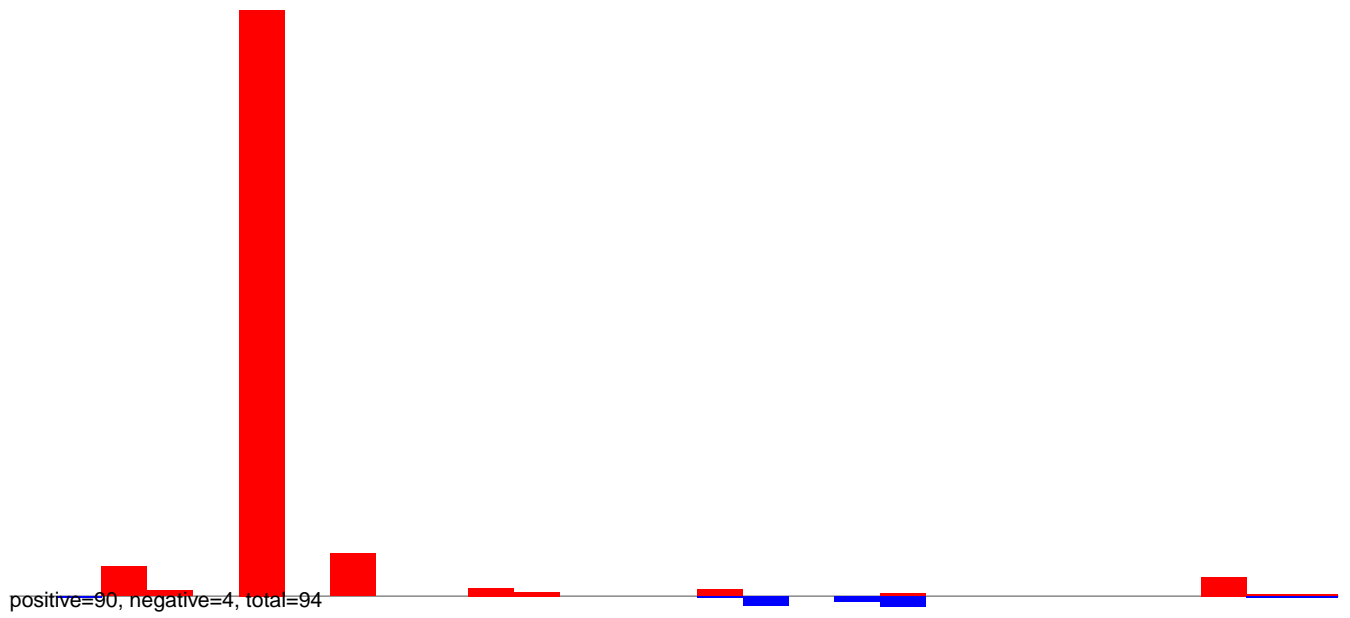
AeAlbo\_C636\_6dpi\_SINV3.24\_35.rep



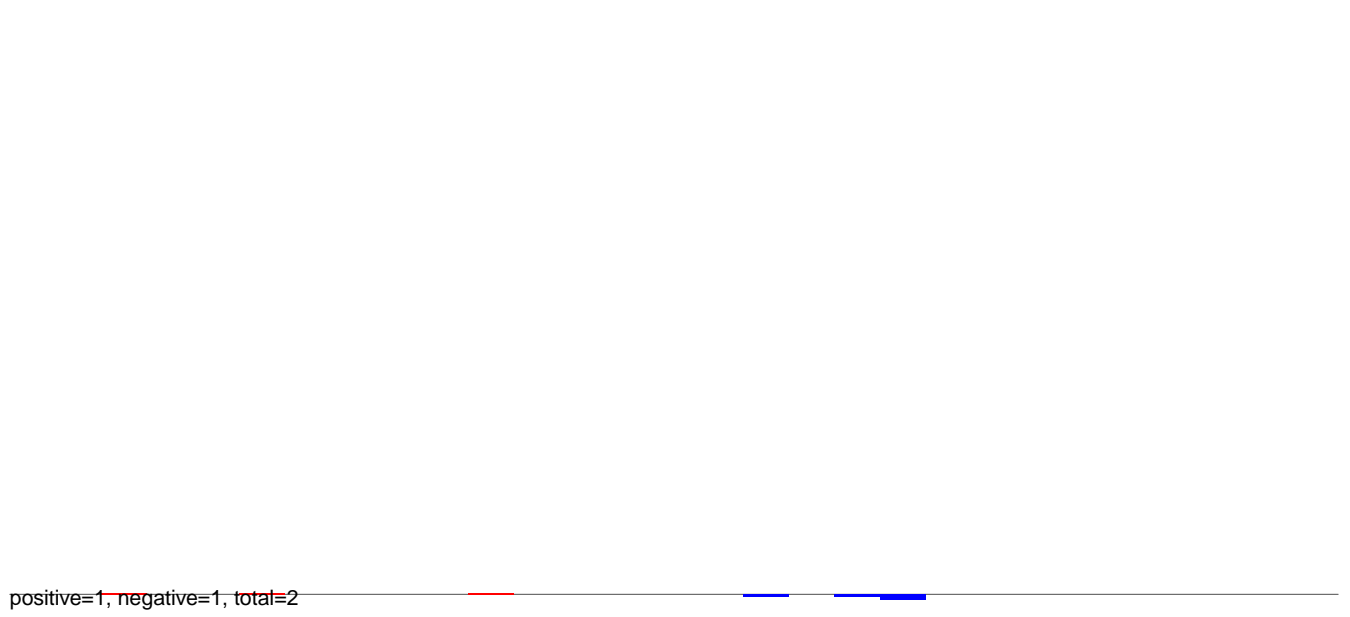
AeAlbo\_C636\_6dpi\_SINV3.rep



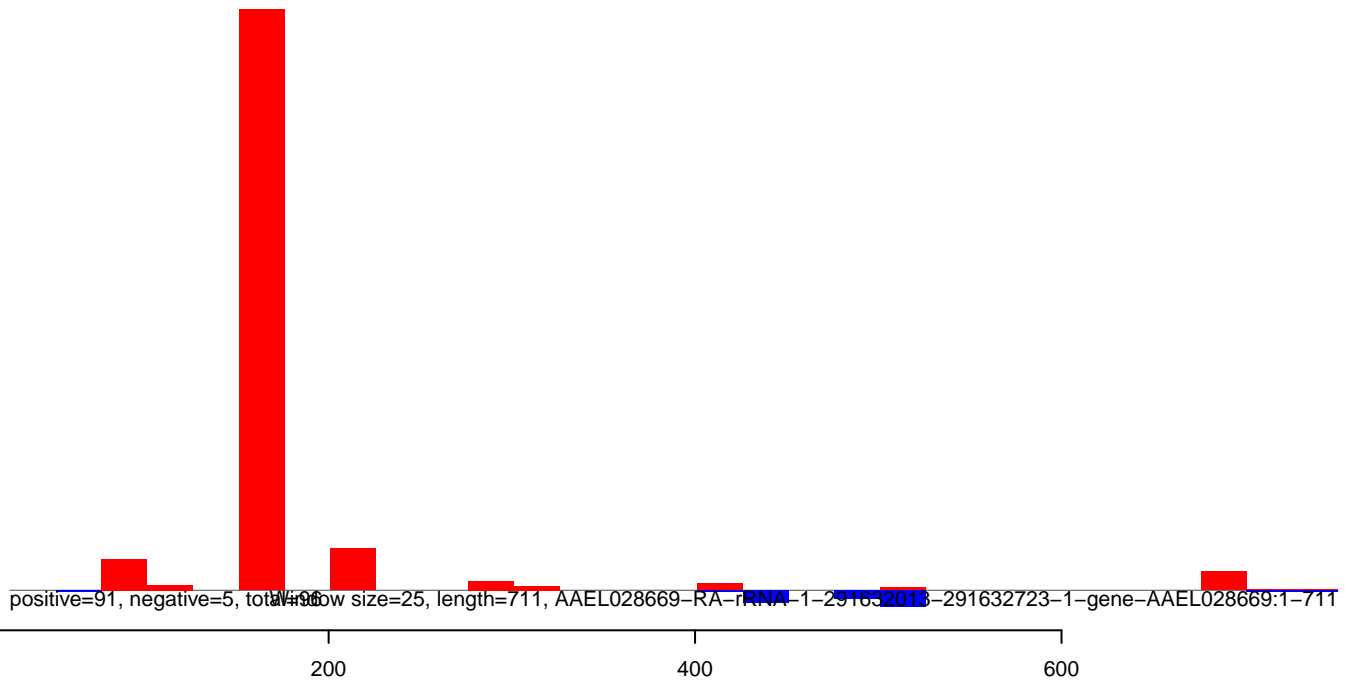
AeAlbo\_C636\_6dpi\_SINV3.18\_23.rep



AeAlbo\_C636\_6dpi\_SINV3.24\_35.rep

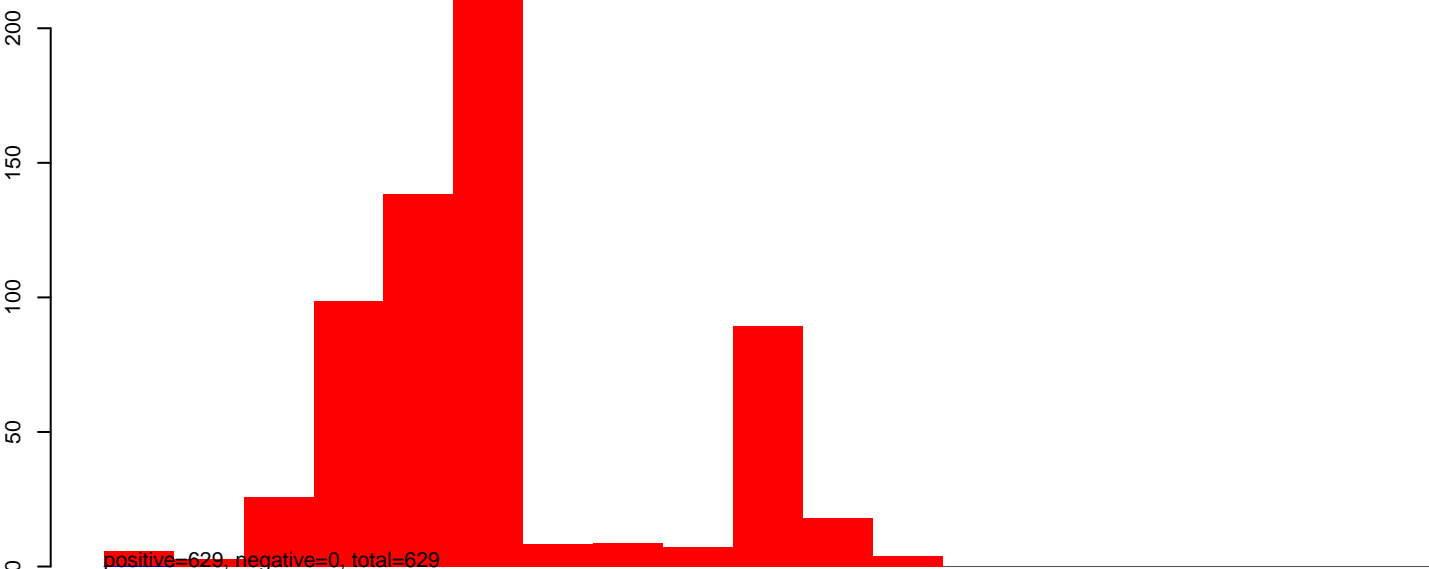


AeAlbo\_C636\_6dpi\_SINV3.rep

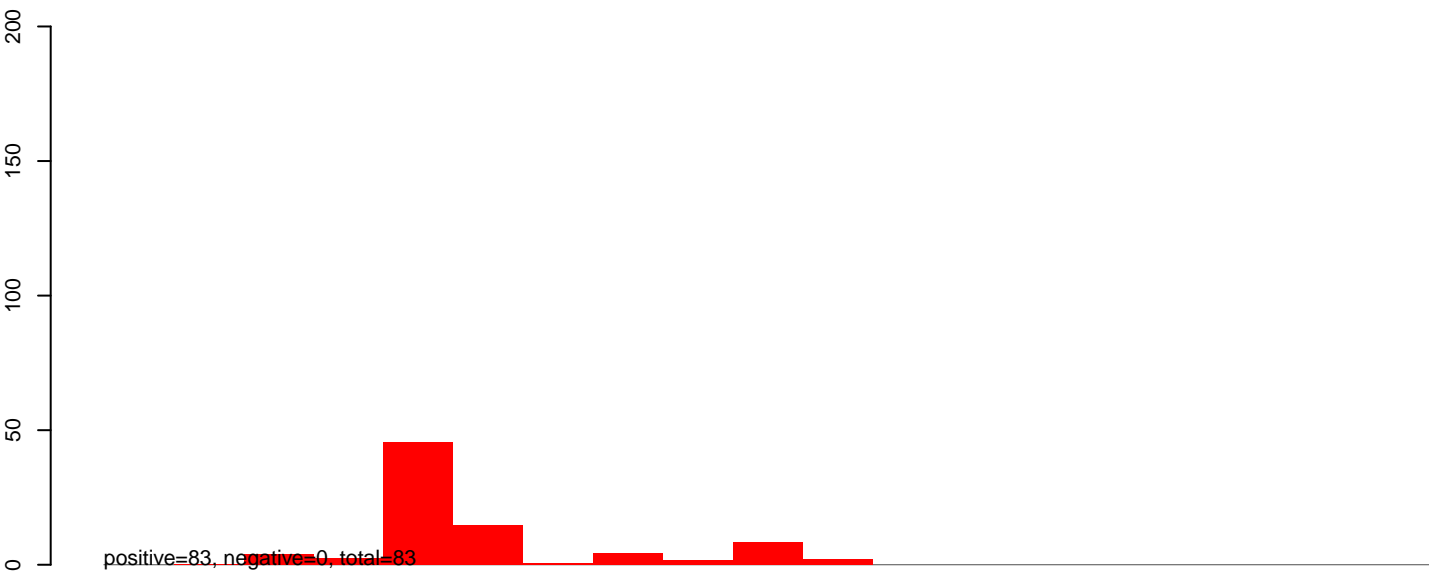




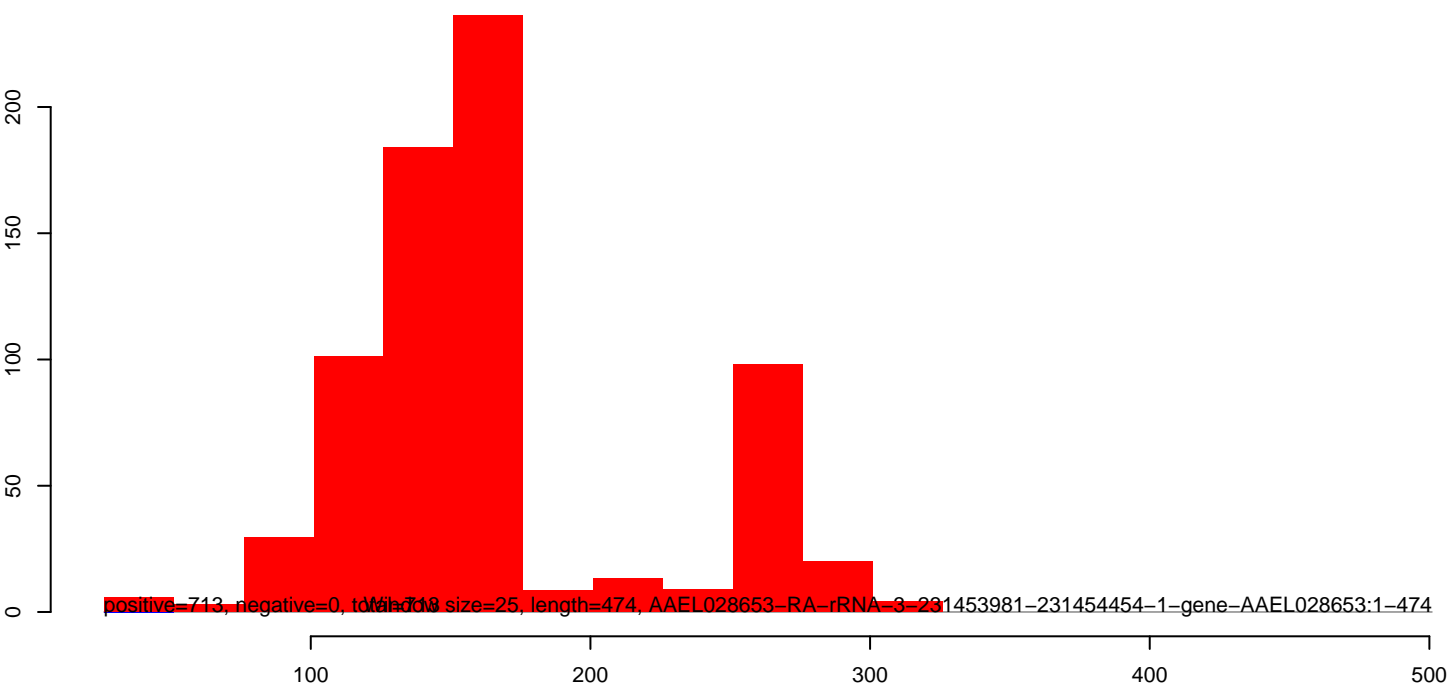
AeAlbo\_C636\_6dpi\_SINV3.18\_23.rep



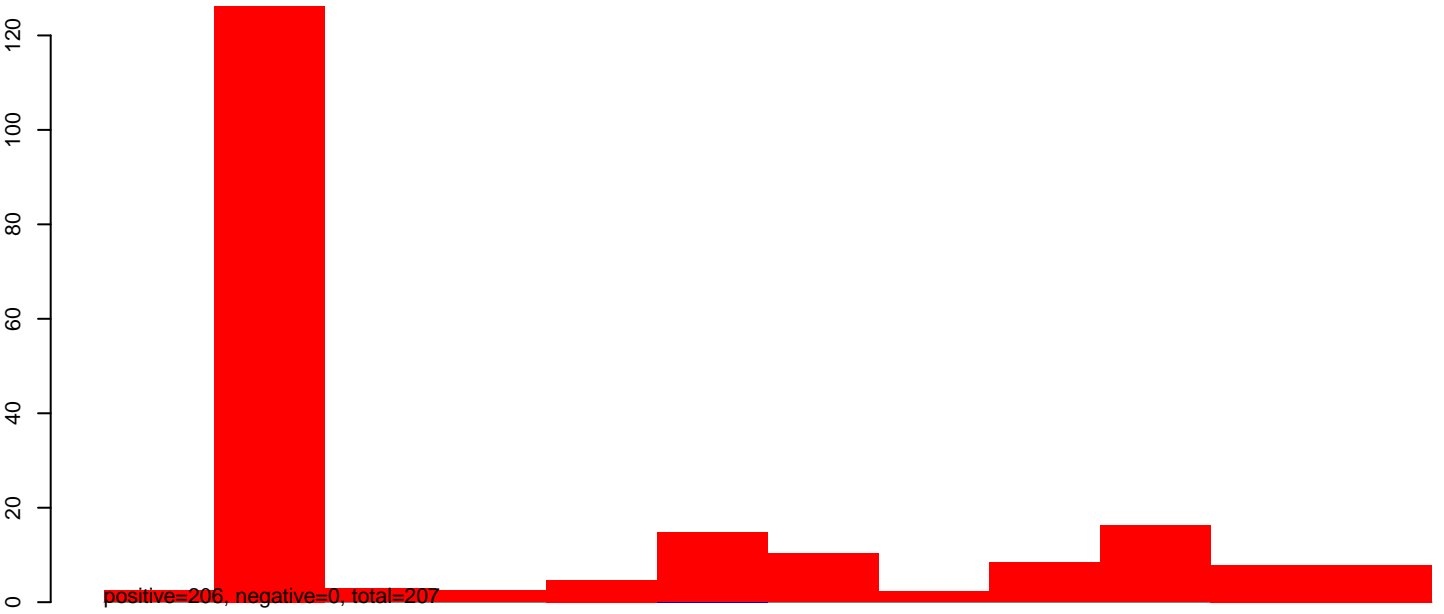
AeAlbo\_C636\_6dpi\_SINV3.24\_35.rep



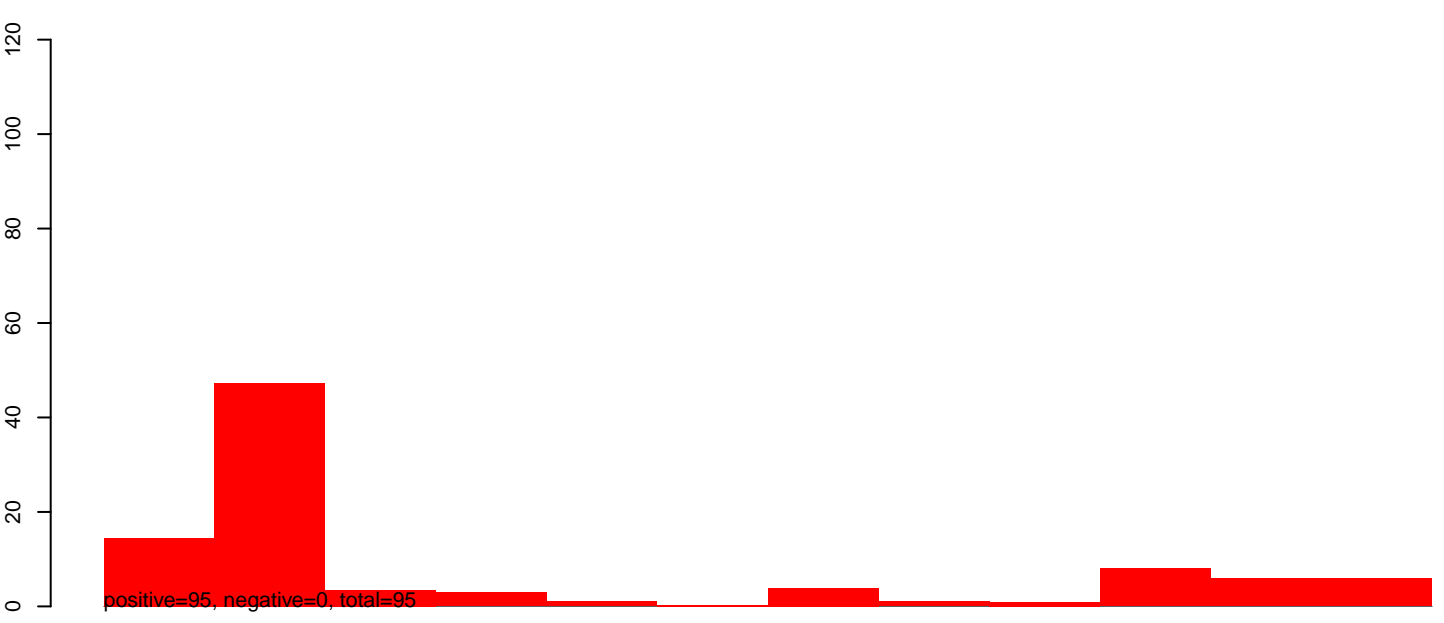
AeAlbo\_C636\_6dpi\_SINV3.rep



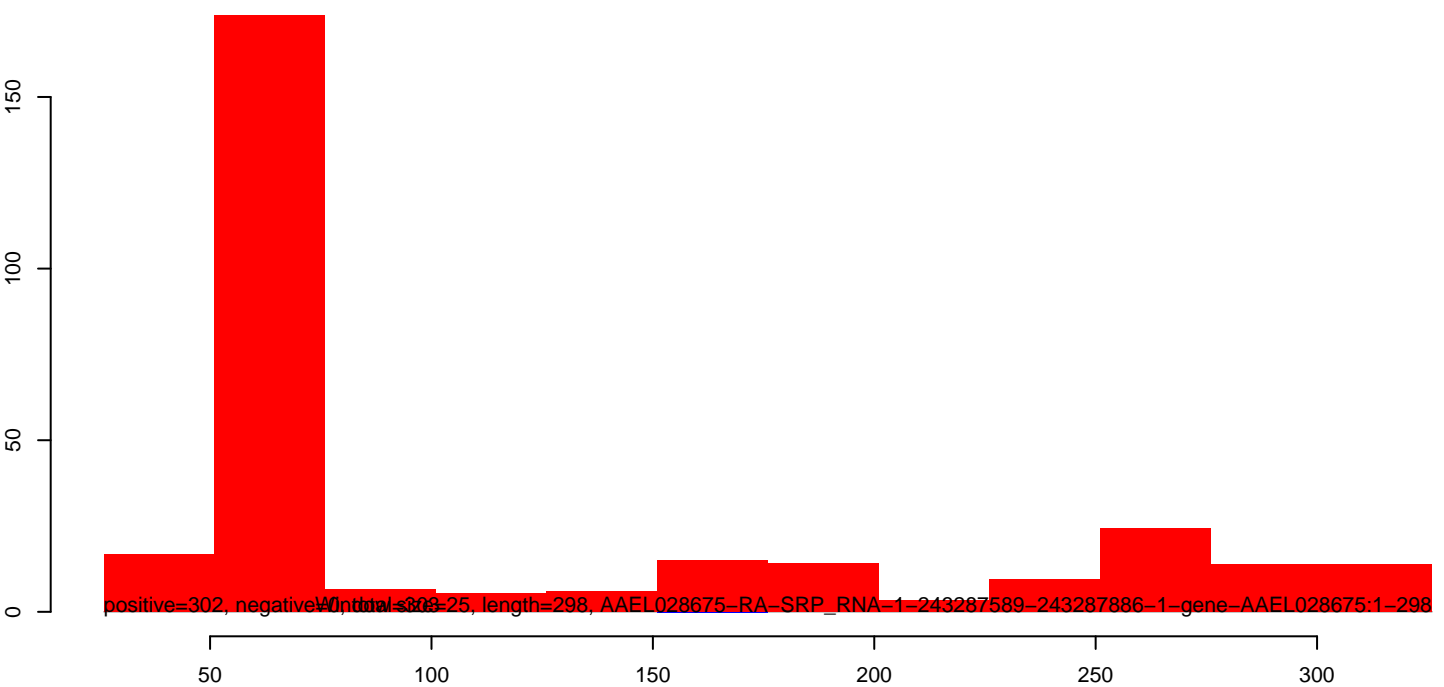
AeAlbo\_C636\_6dpi\_SINV3.18\_23.rep



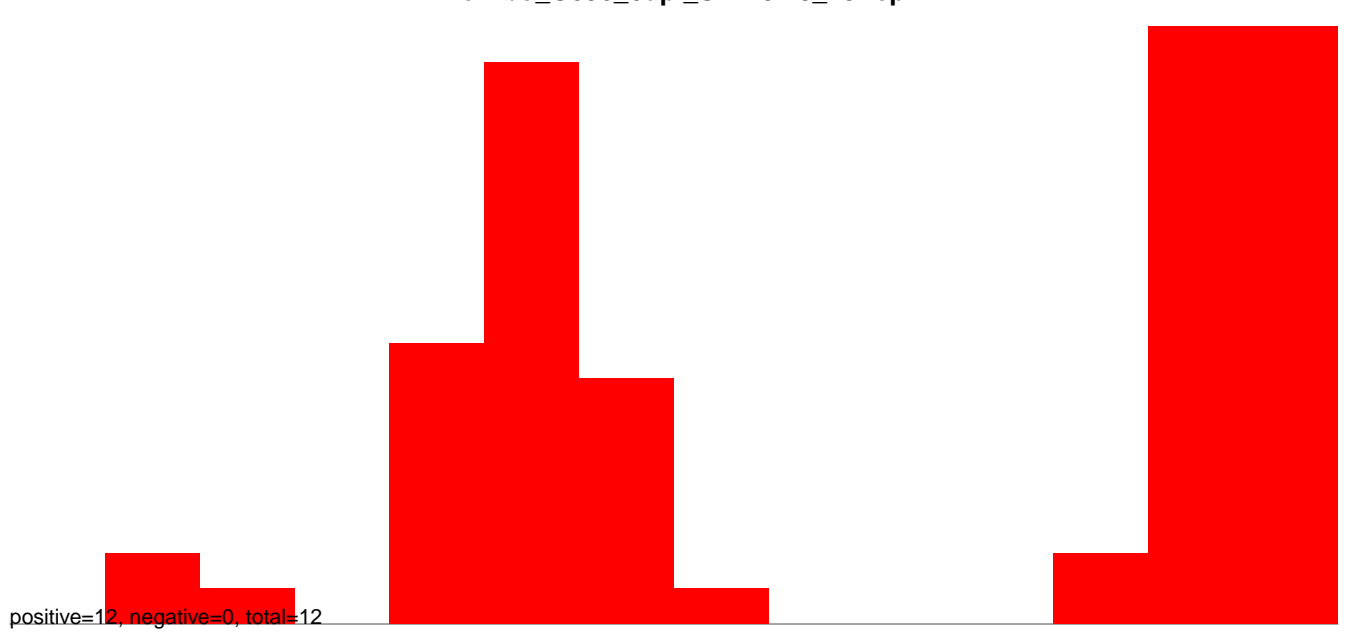
AeAlbo\_C636\_6dpi\_SINV3.24\_35.rep



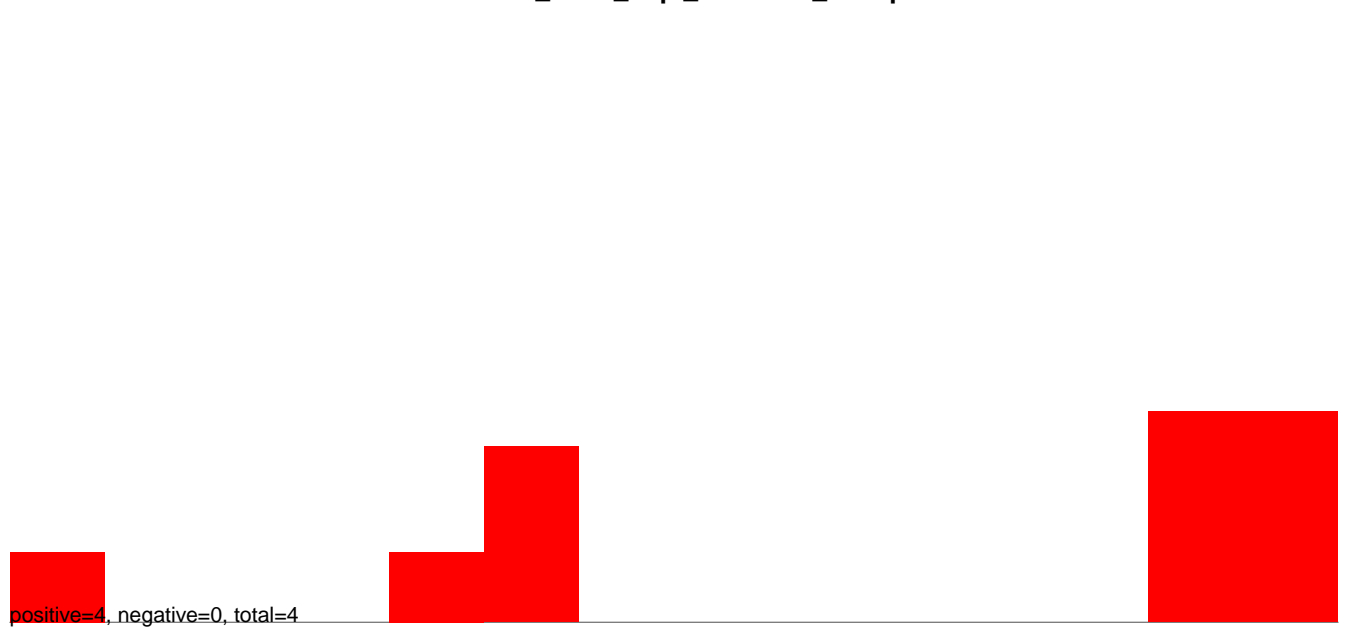
AeAlbo\_C636\_6dpi\_SINV3.rep



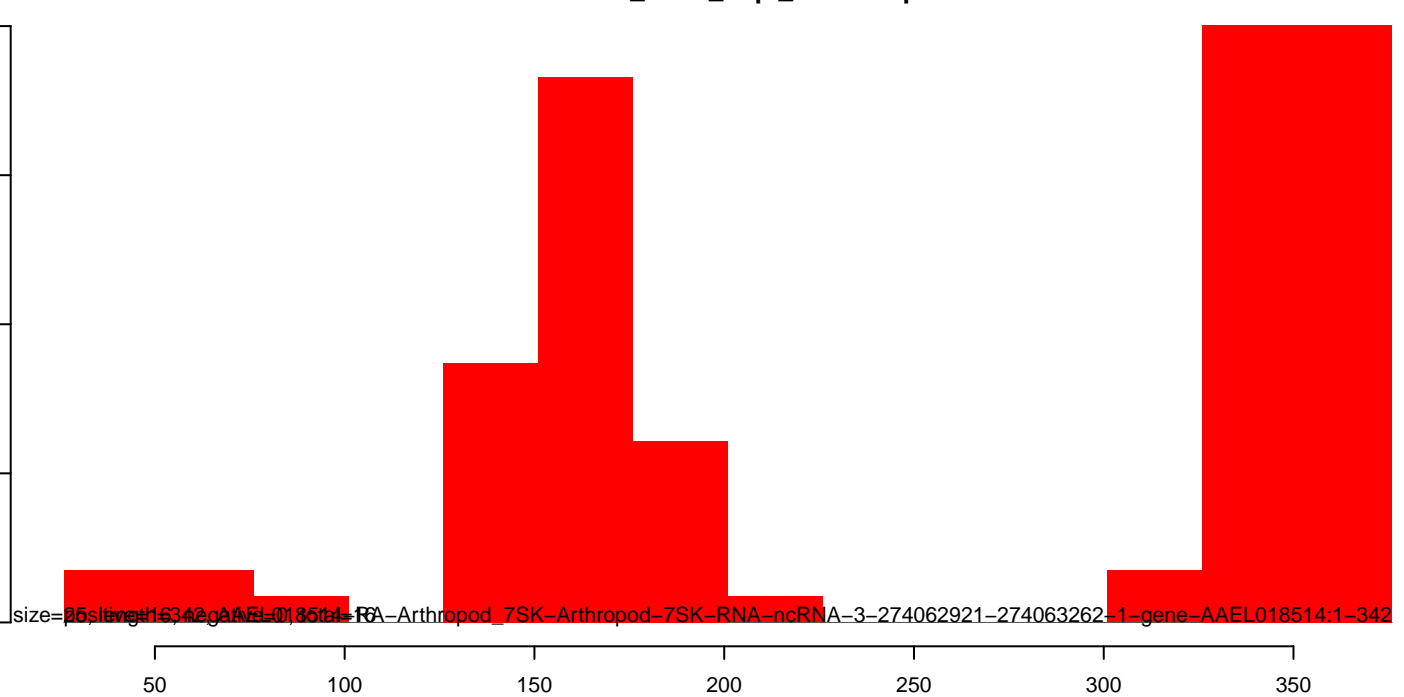
AeAlbo\_C636\_6dpi\_SINV3.18\_23.rep



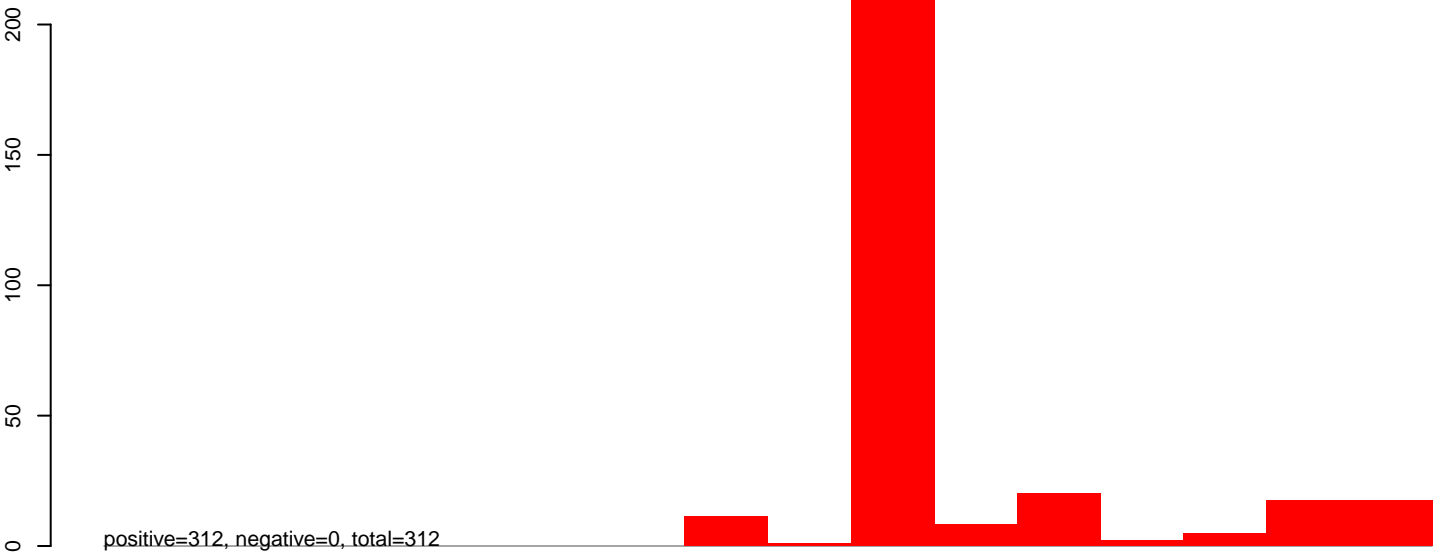
AeAlbo\_C636\_6dpi\_SINV3.24\_35.rep



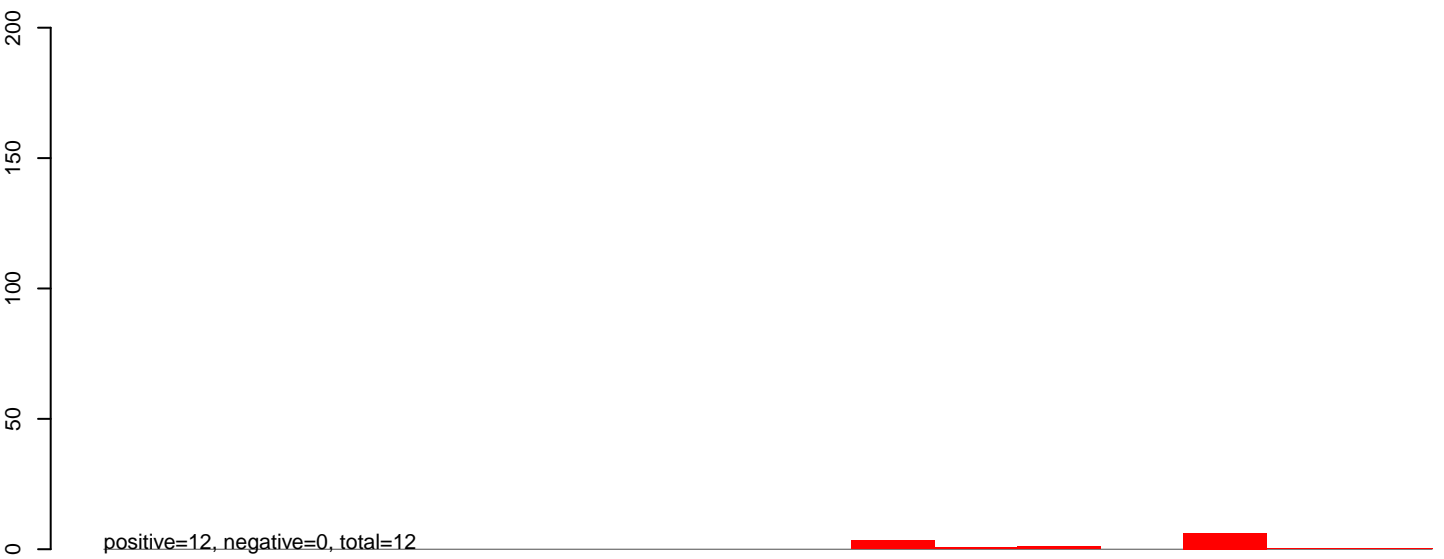
AeAlbo\_C636\_6dpi\_SINV3.rep



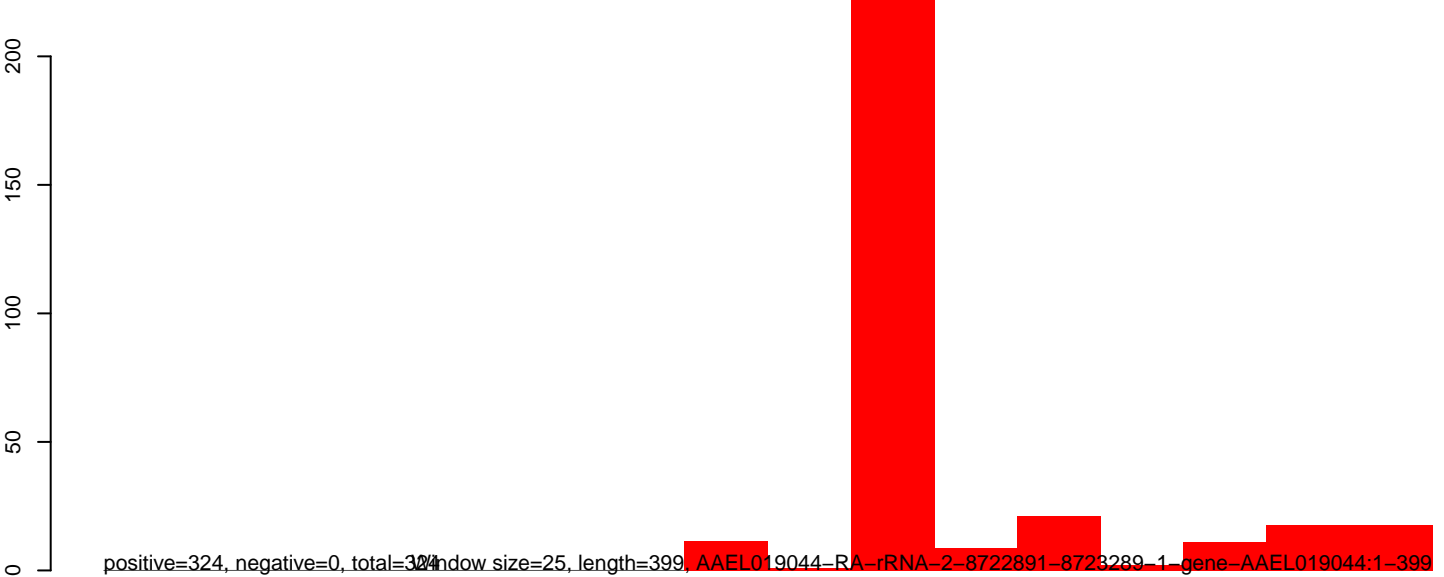
**AeAlbo\_C636\_6dpi\_SINV3.18\_23.rep**



**AeAlbo\_C636\_6dpi\_SINV3.24\_35.rep**

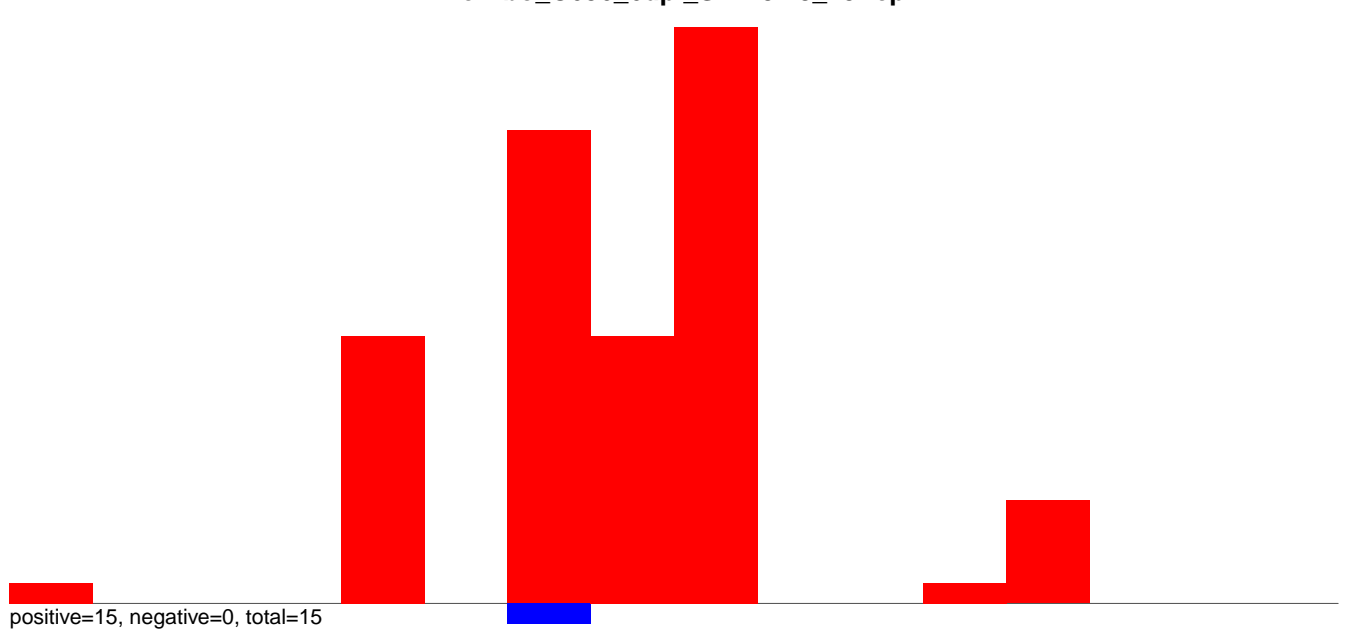


**AeAlbo\_C636\_6dpi\_SINV3.rep**

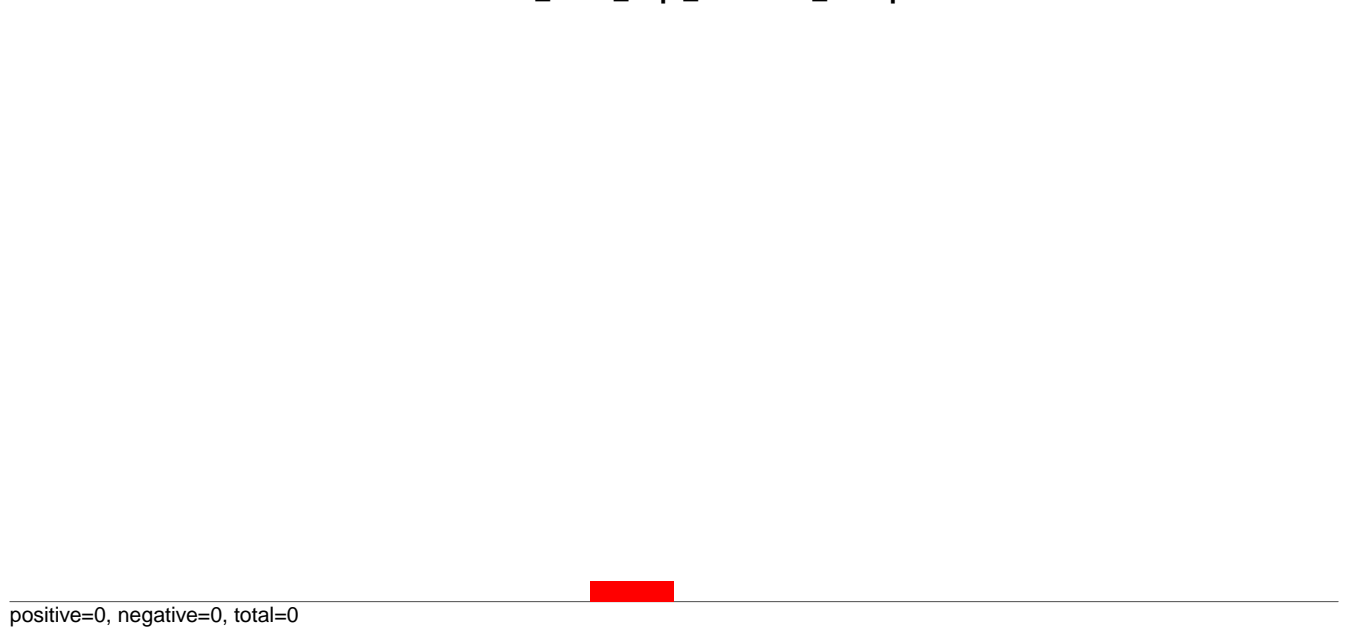


100 200 300 400

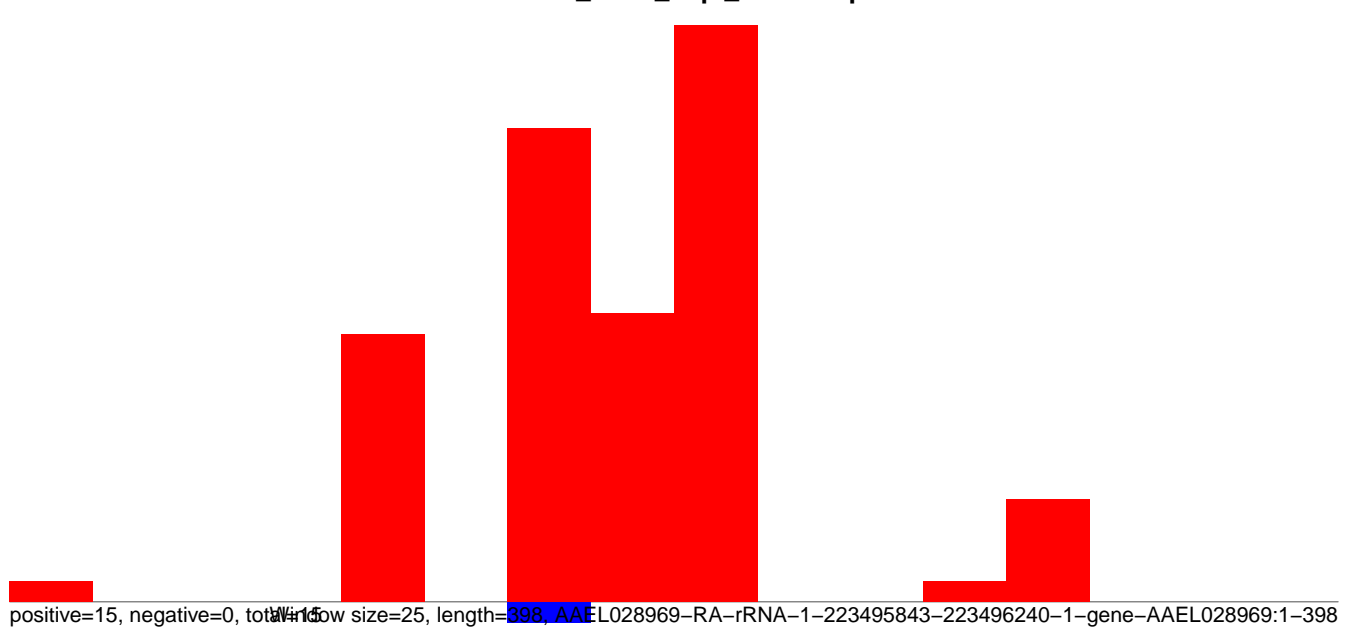
AeAlbo\_C636\_6dpi\_SINV3.18\_23.rep



AeAlbo\_C636\_6dpi\_SINV3.24\_35.rep

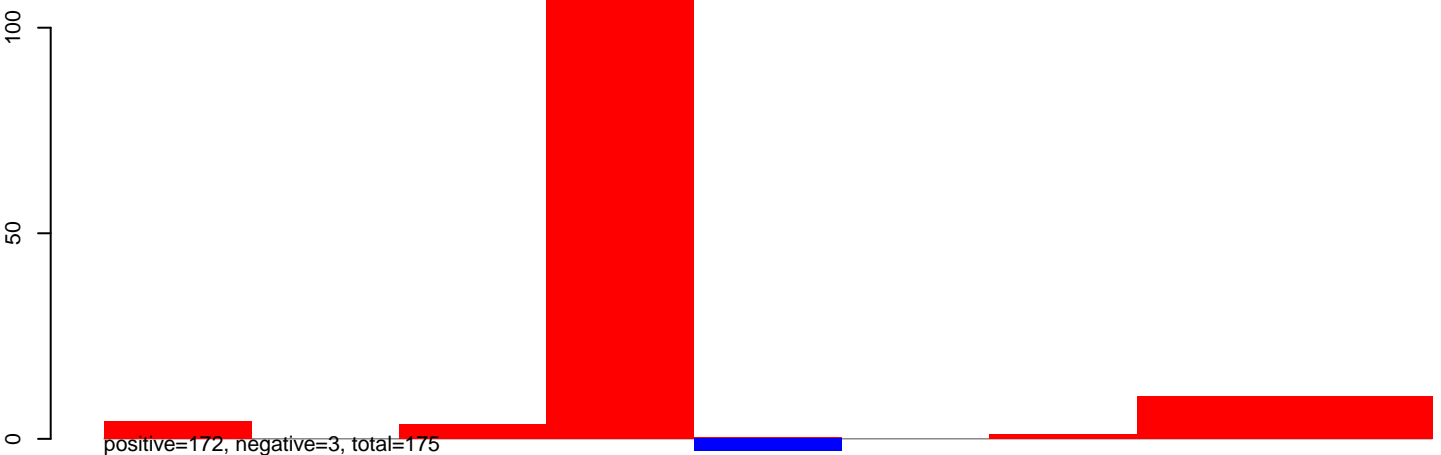


AeAlbo\_C636\_6dpi\_SINV3.rep

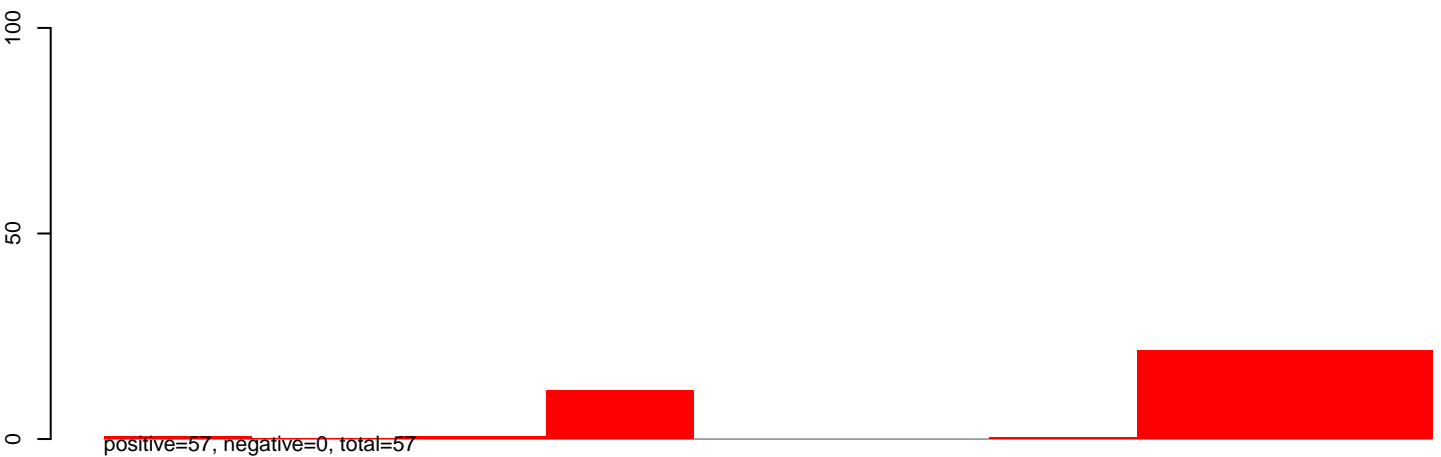


Window size=25, length=398, AAEL028969-RA-rRNA-1-223495843-223496240-1-gene-AAEL028969:1-398

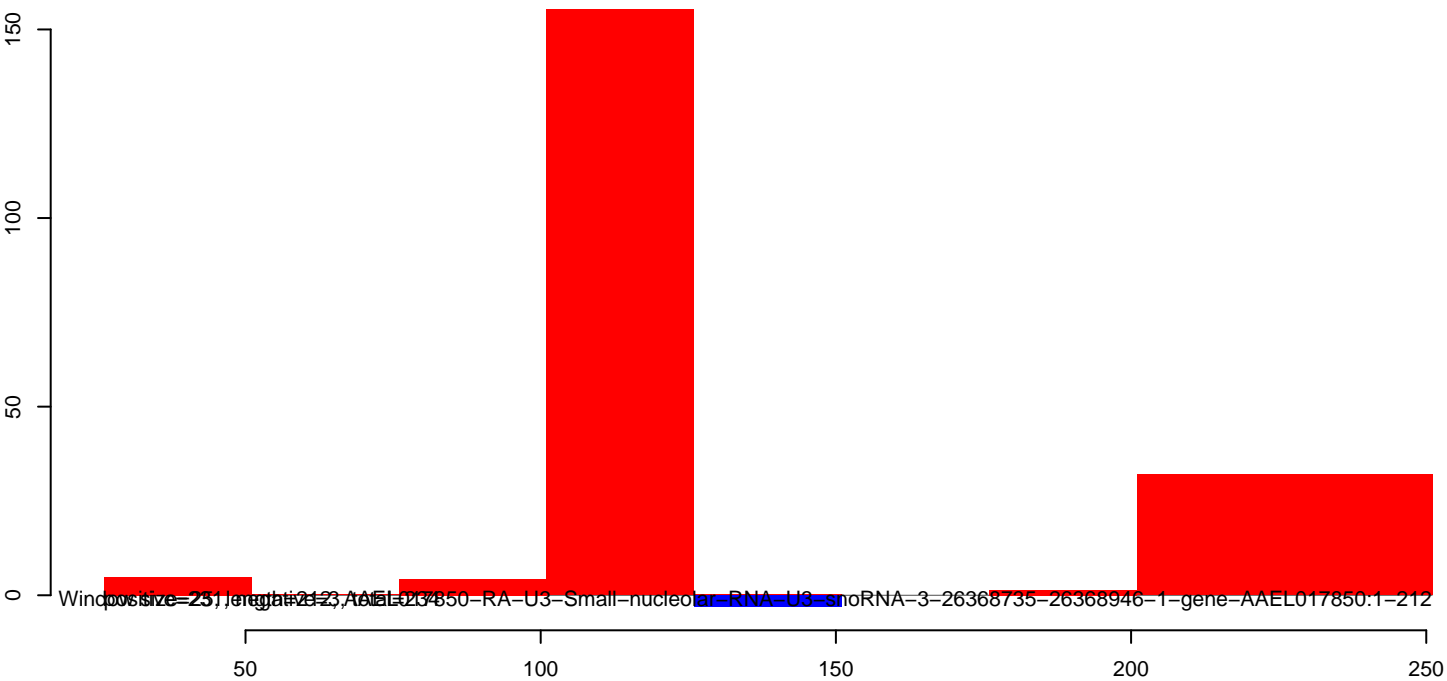
AeAlbo\_C636\_6dpi\_SINV3.18\_23.rep



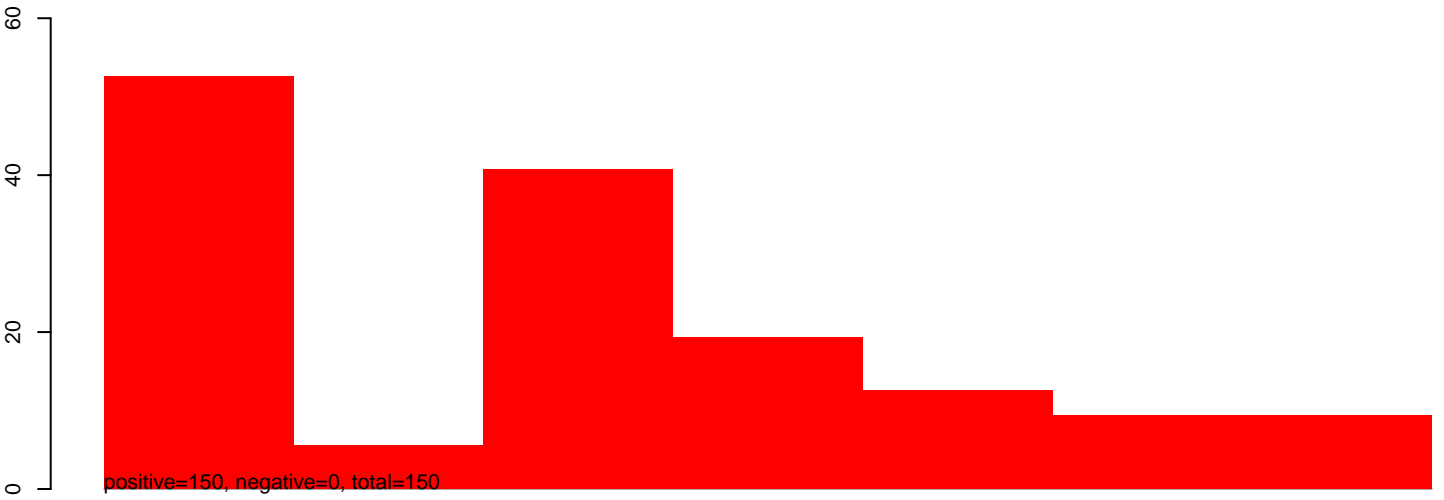
AeAlbo\_C636\_6dpi\_SINV3.24\_35.rep



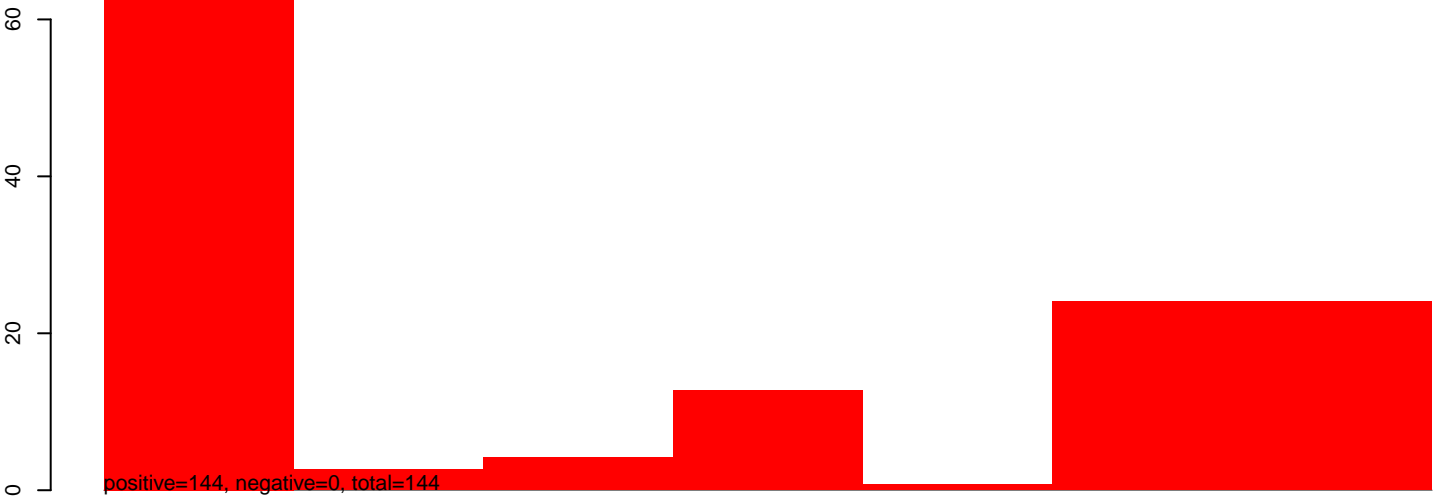
AeAlbo\_C636\_6dpi\_SINV3.rep



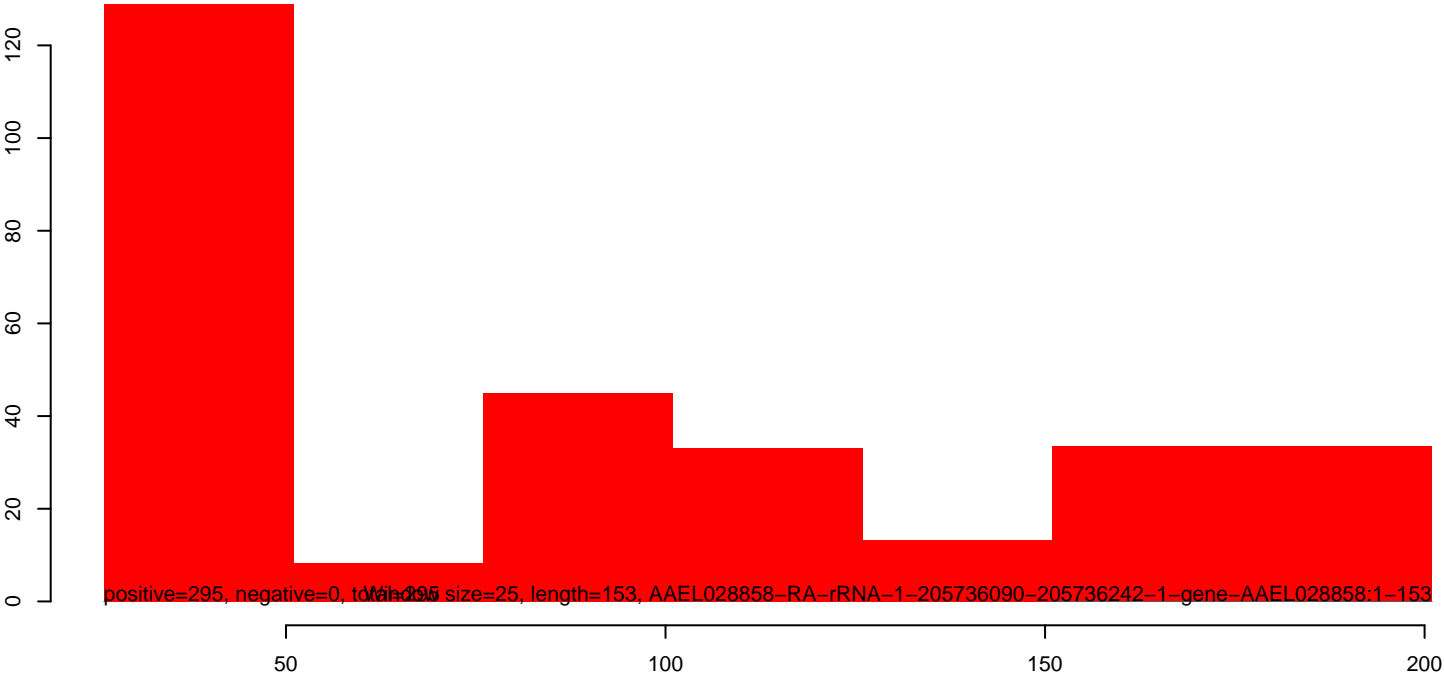
AeAlbo\_C636\_6dpi\_SINV3.18\_23.rep



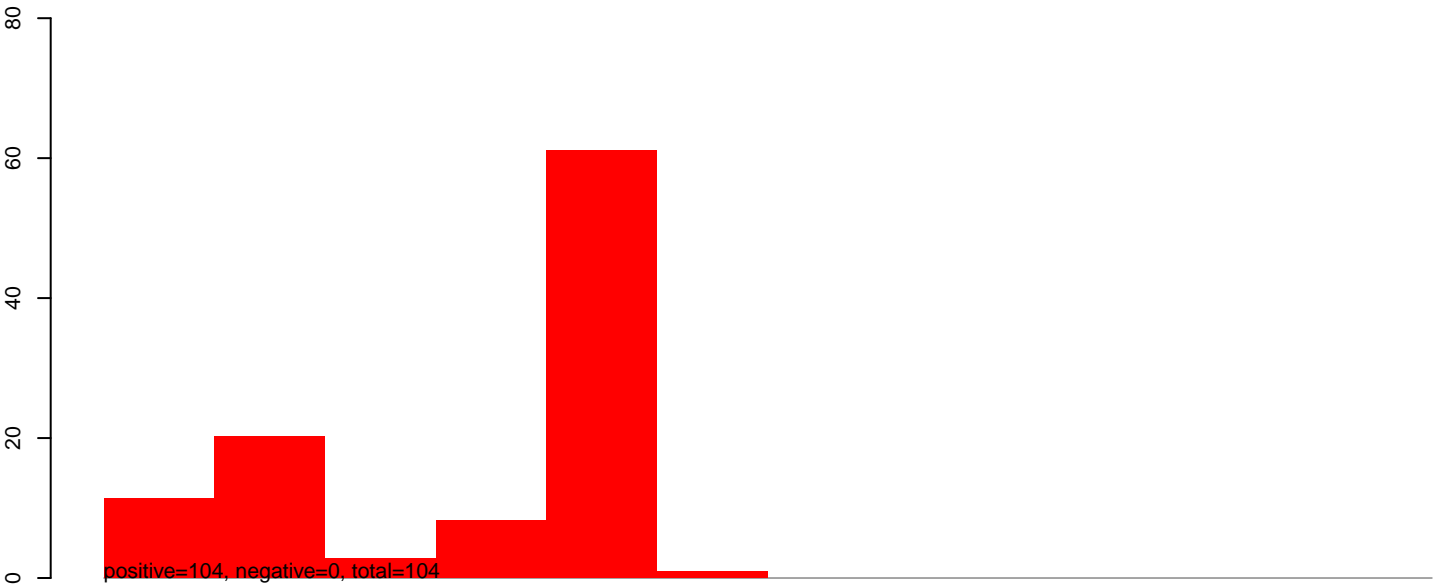
AeAlbo\_C636\_6dpi\_SINV3.24\_35.rep



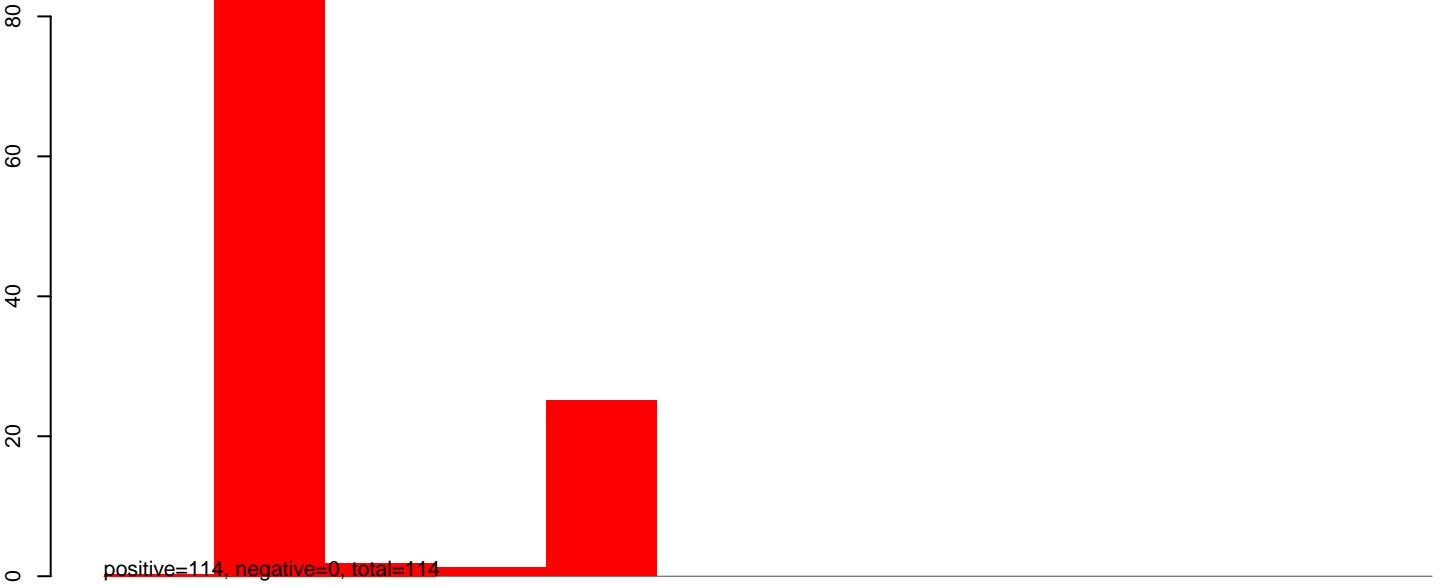
AeAlbo\_C636\_6dpi\_SINV3.rep



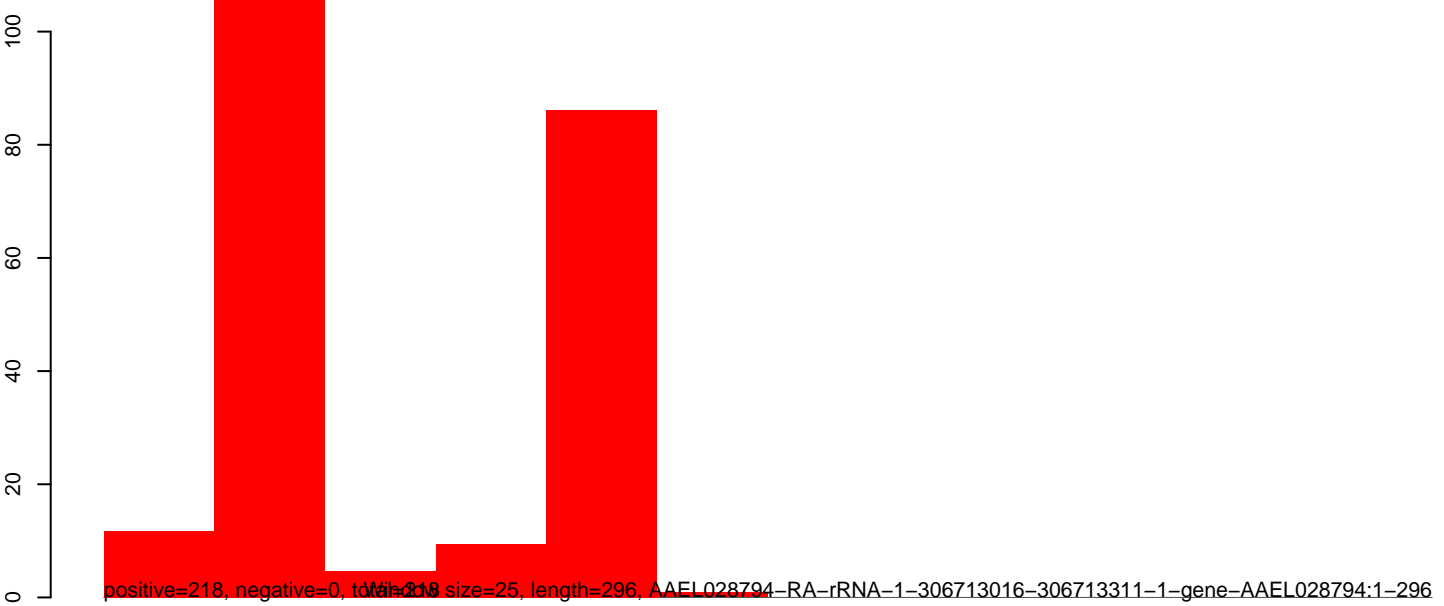
AeAlbo\_C636\_6dpi\_SINV3.18\_23.rep



AeAlbo\_C636\_6dpi\_SINV3.24\_35.rep

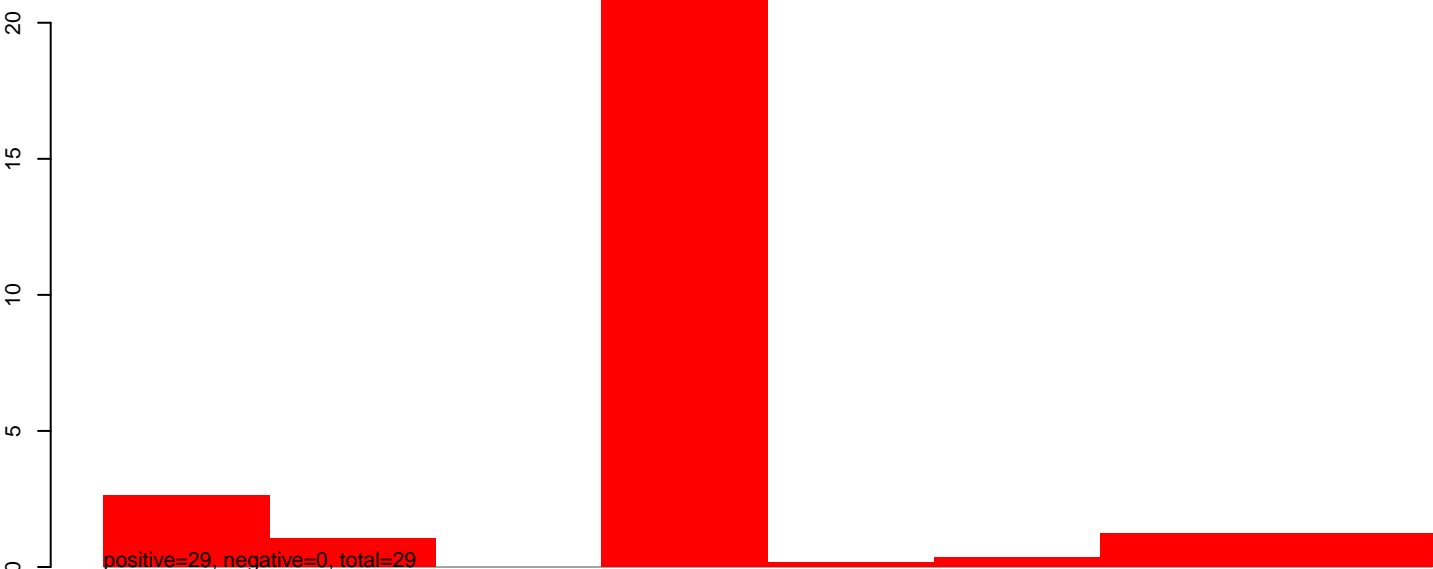


AeAlbo\_C636\_6dpi\_SINV3.rep

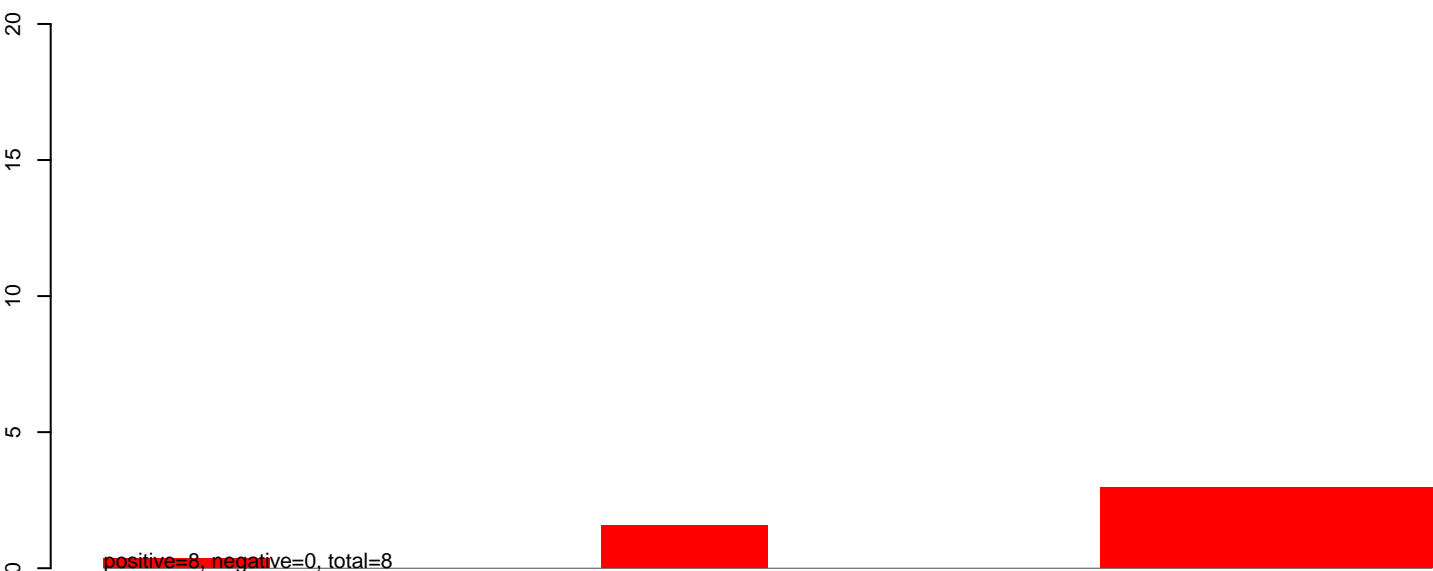




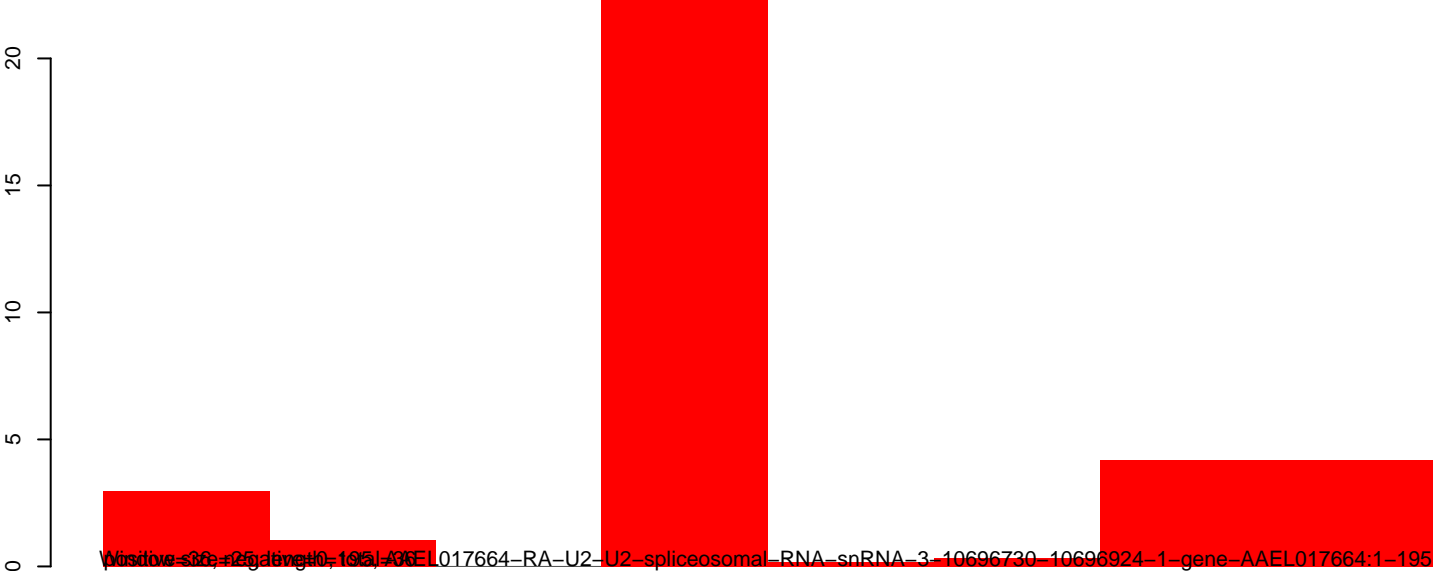
AeAlbo\_C636\_6dpi\_SINV3.18\_23.rep



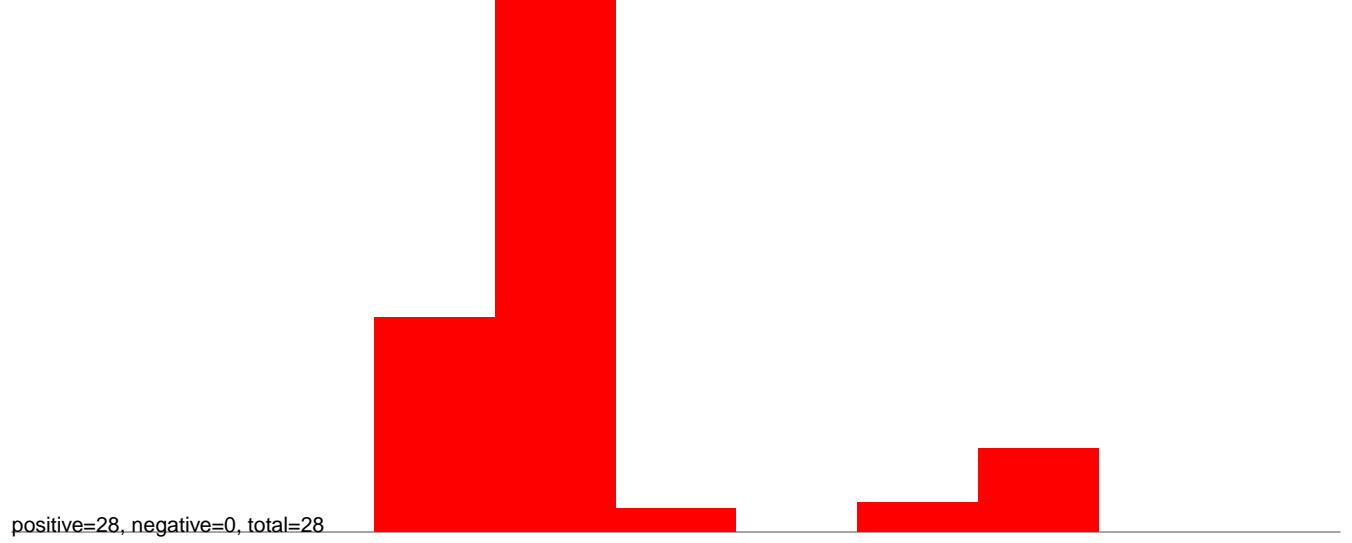
AeAlbo\_C636\_6dpi\_SINV3.24\_35.rep



AeAlbo\_C636\_6dpi\_SINV3.rep



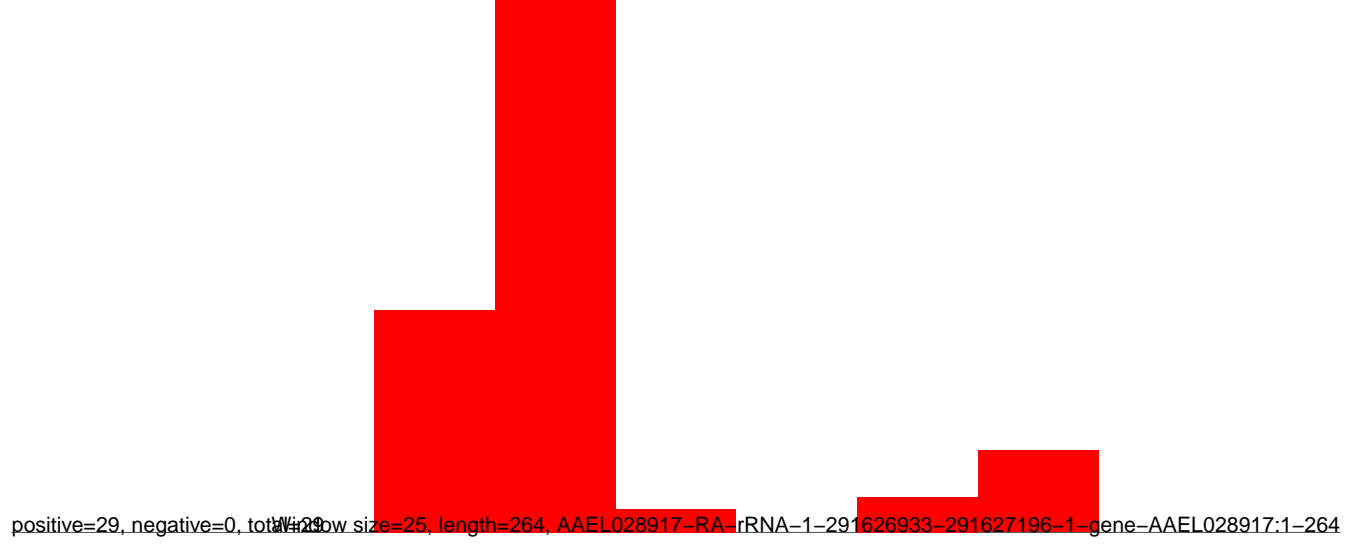
AeAlbo\_C636\_6dpi\_SINV3.18\_23.rep



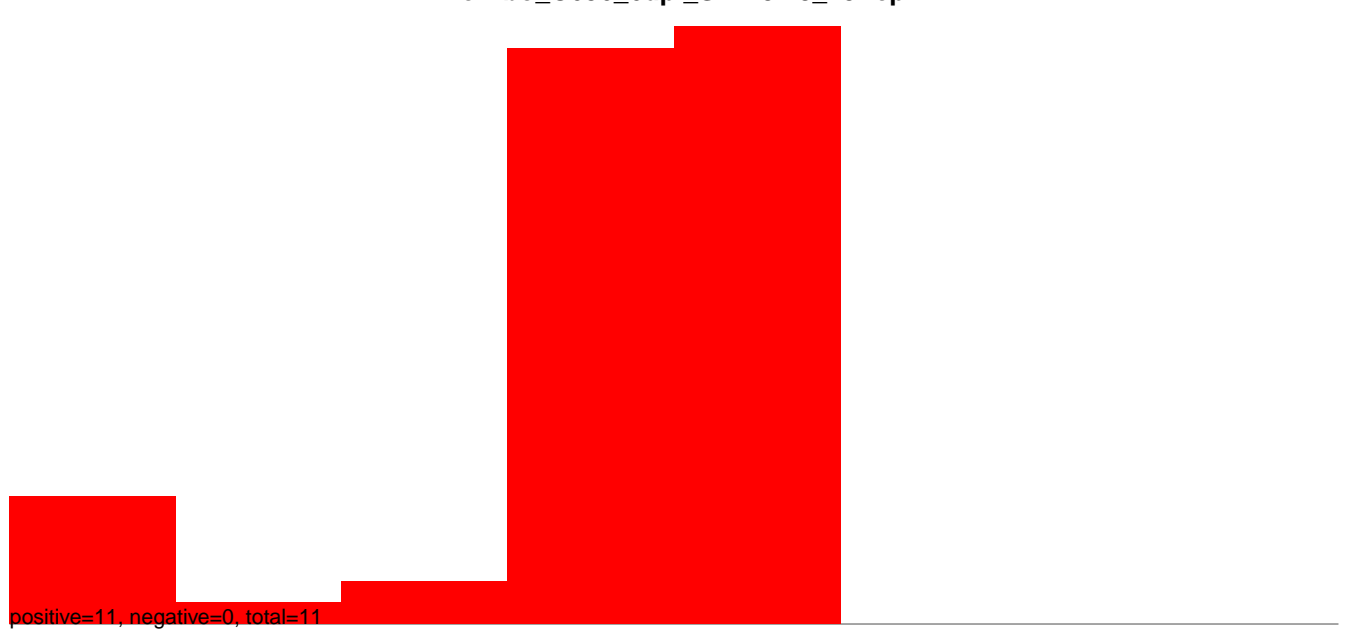
AeAlbo\_C636\_6dpi\_SINV3.24\_35.rep



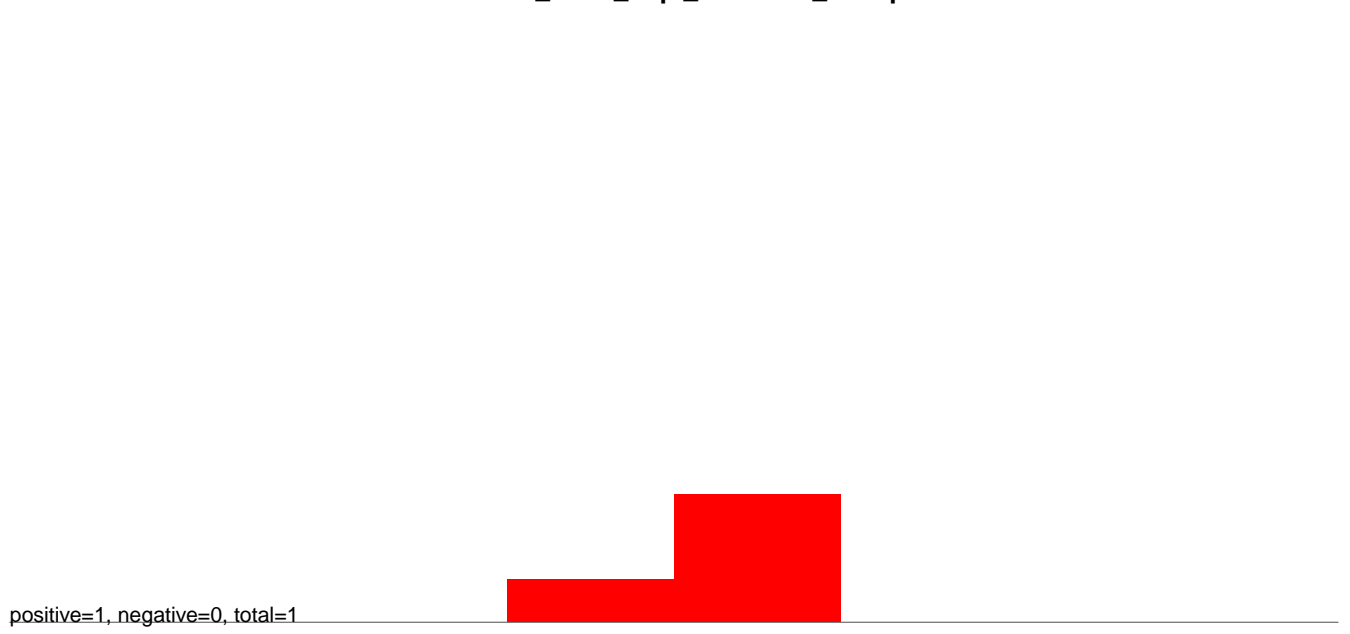
AeAlbo\_C636\_6dpi\_SINV3.rep



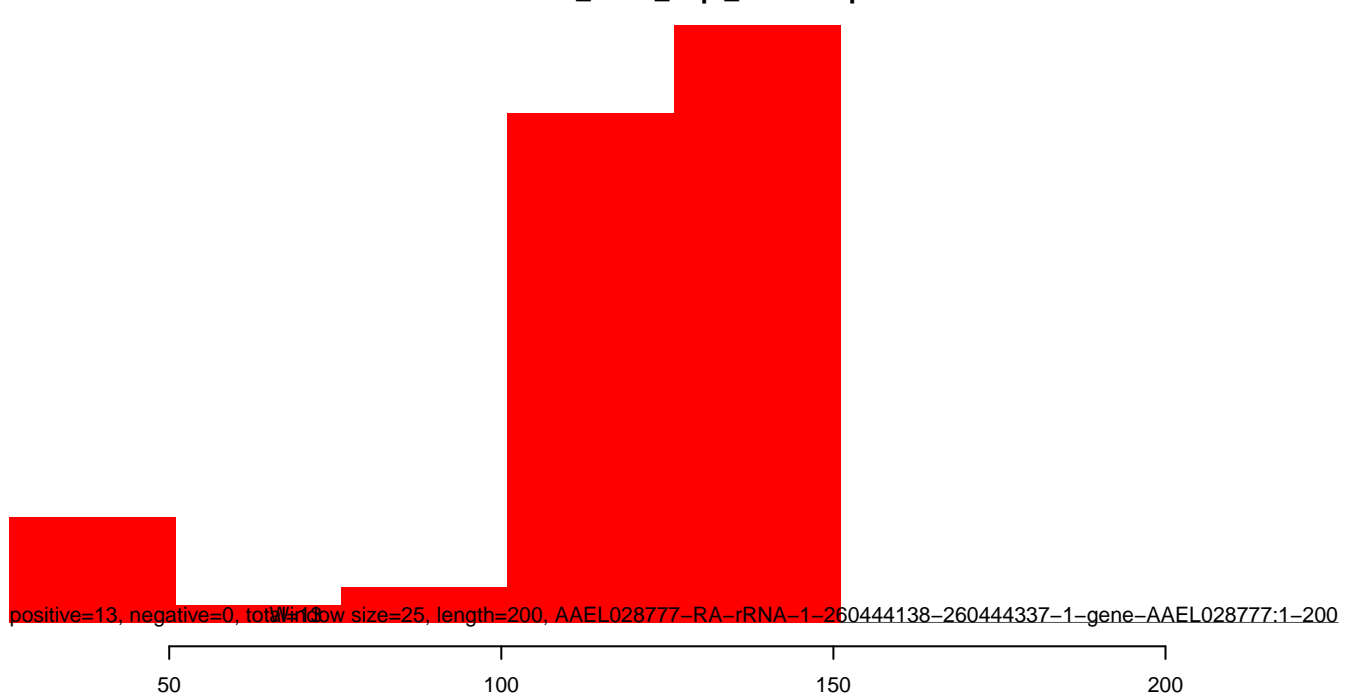
**AeAlbo\_C636\_6dpi\_SINV3.18\_23.rep**



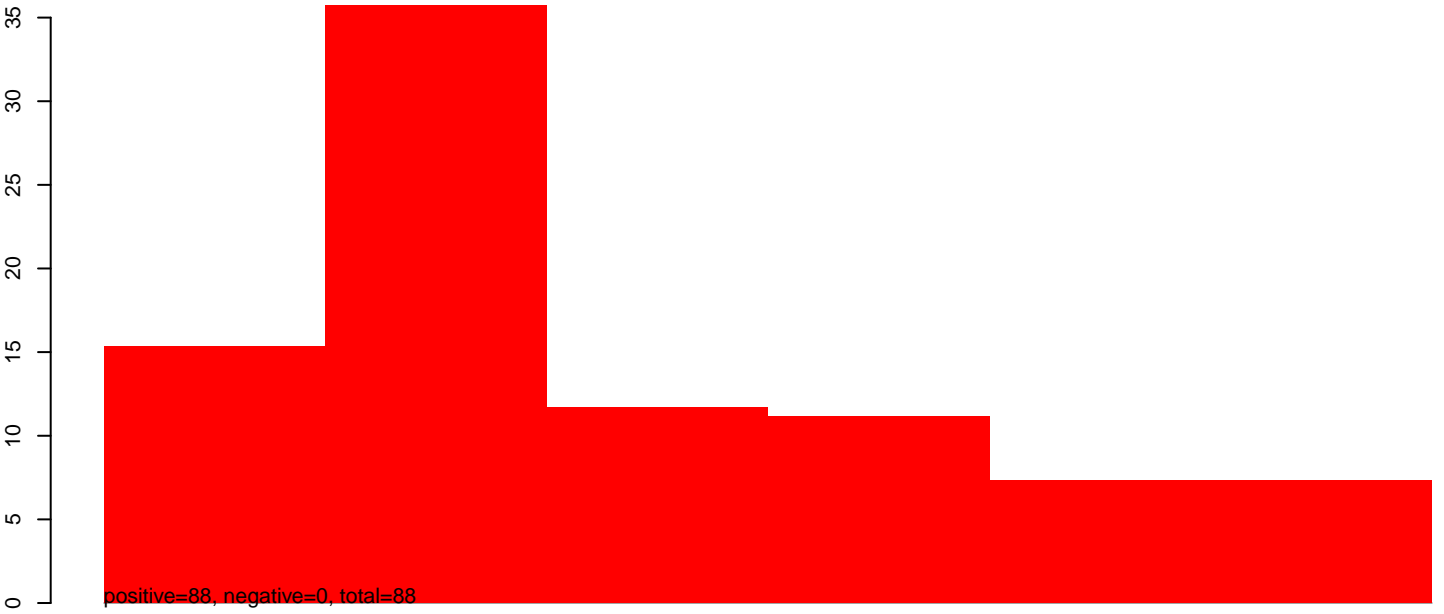
**AeAlbo\_C636\_6dpi\_SINV3.24\_35.rep**



**AeAlbo\_C636\_6dpi\_SINV3.rep**



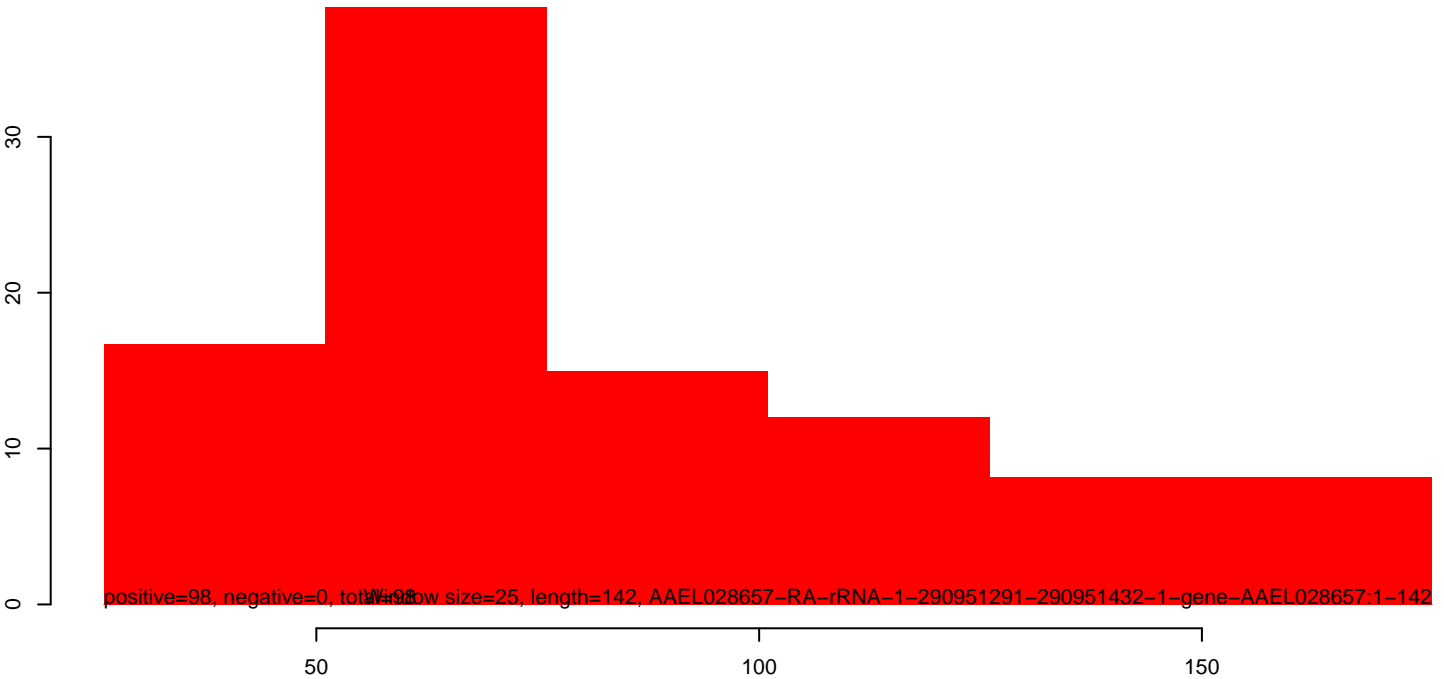
AeAlbo\_C636\_6dpi\_SINV3.18\_23.rep



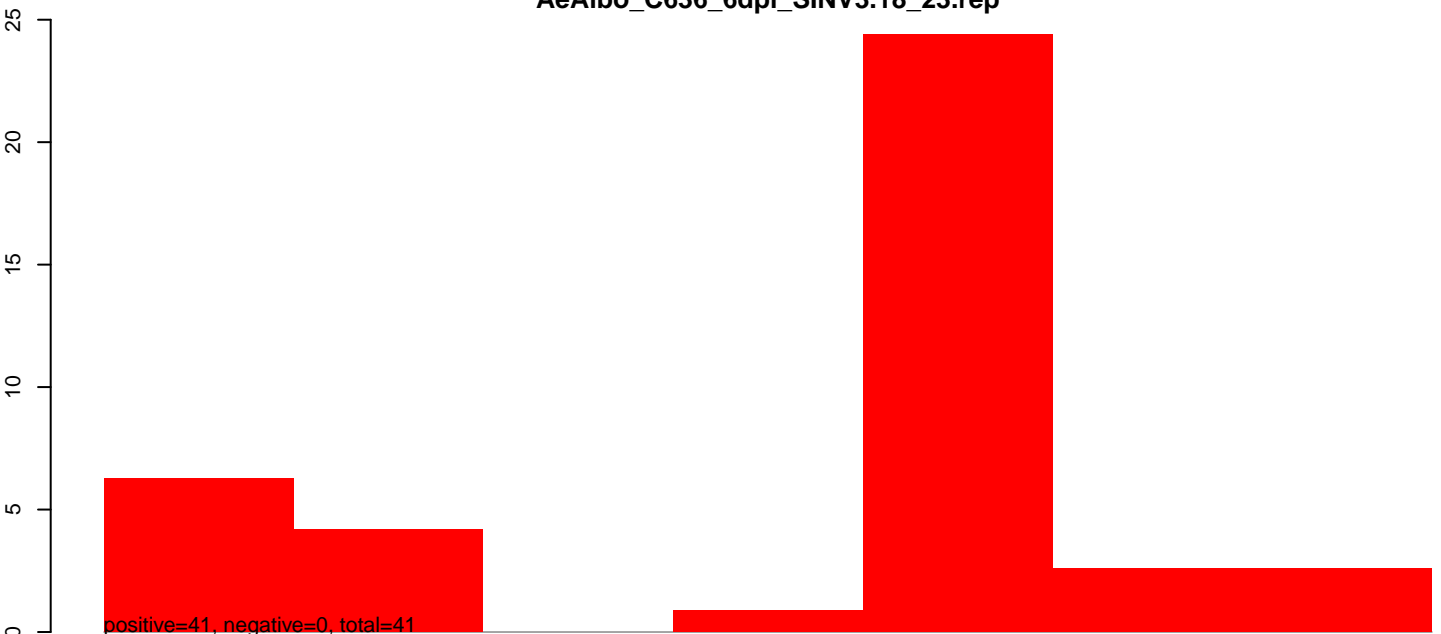
AeAlbo\_C636\_6dpi\_SINV3.24\_35.rep



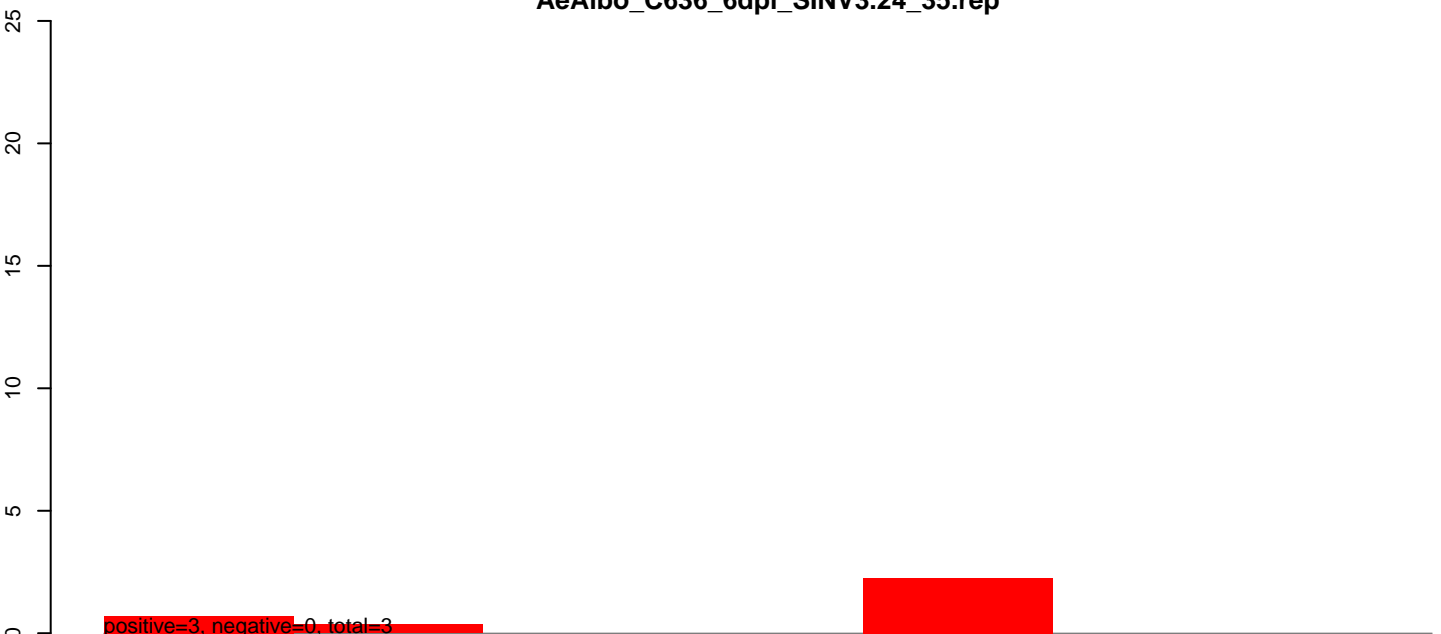
AeAlbo\_C636\_6dpi\_SINV3.rep



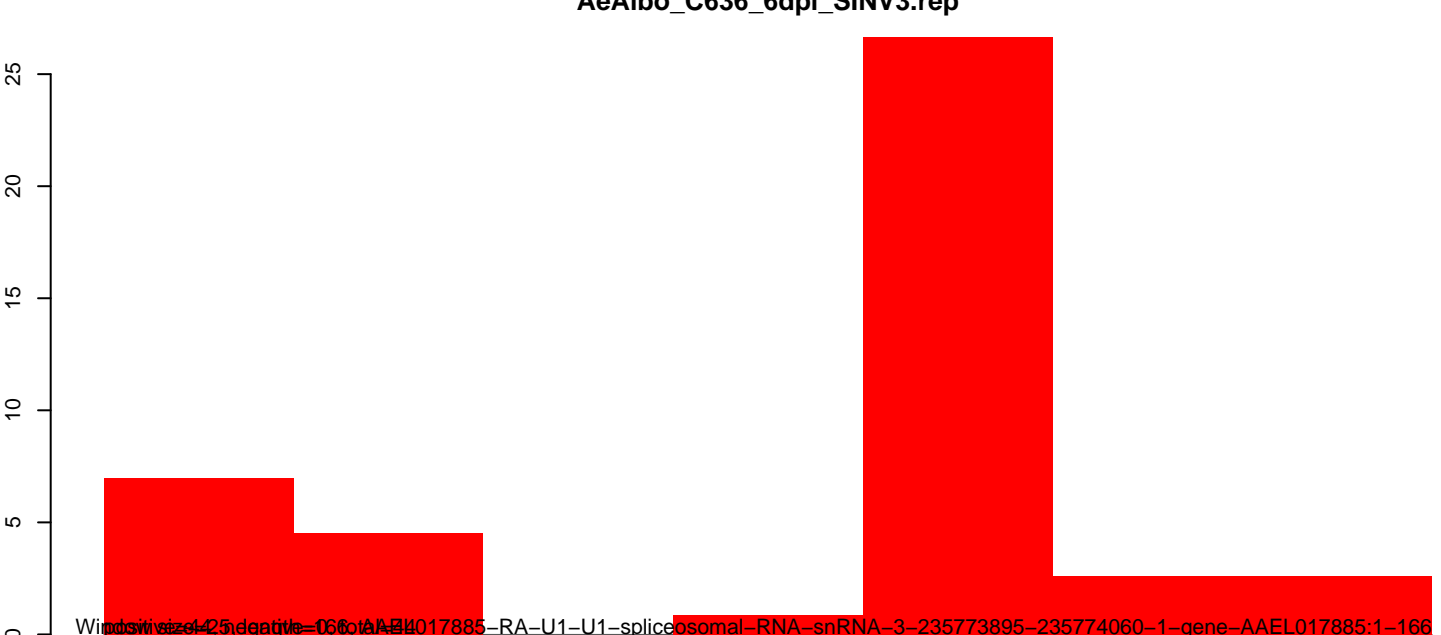
AeAlbo\_C636\_6dpi\_SINV3.18\_23.rep



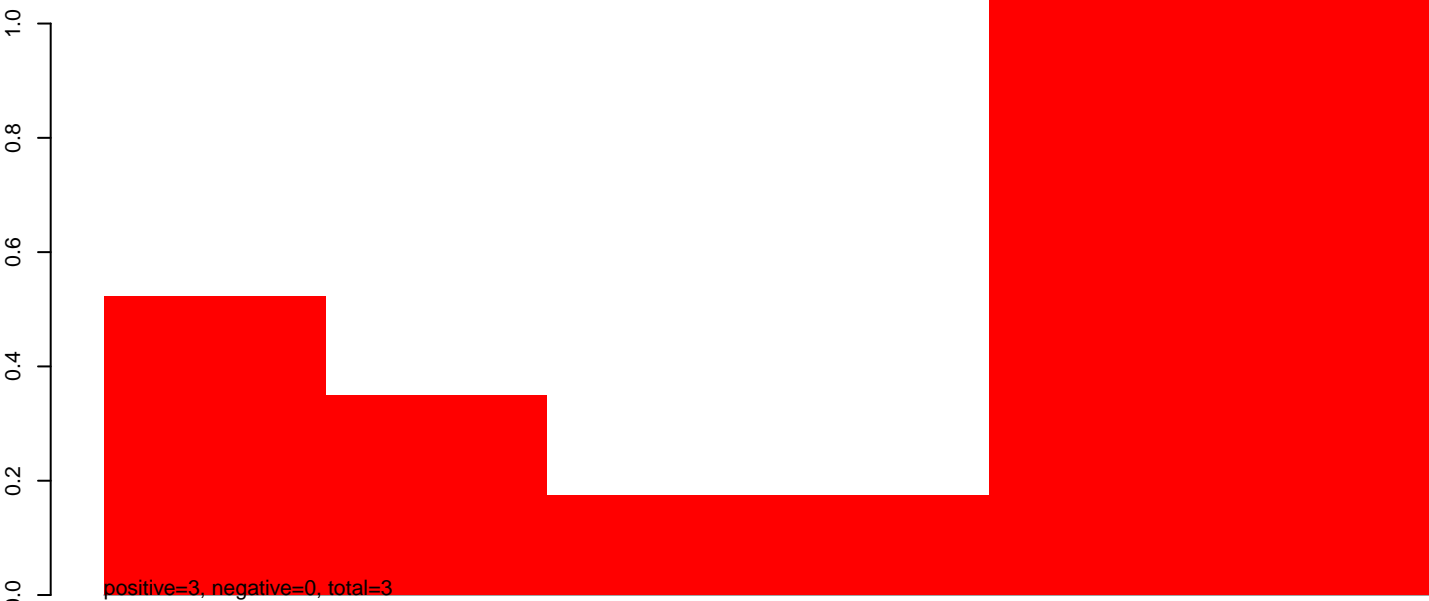
AeAlbo\_C636\_6dpi\_SINV3.24\_35.rep



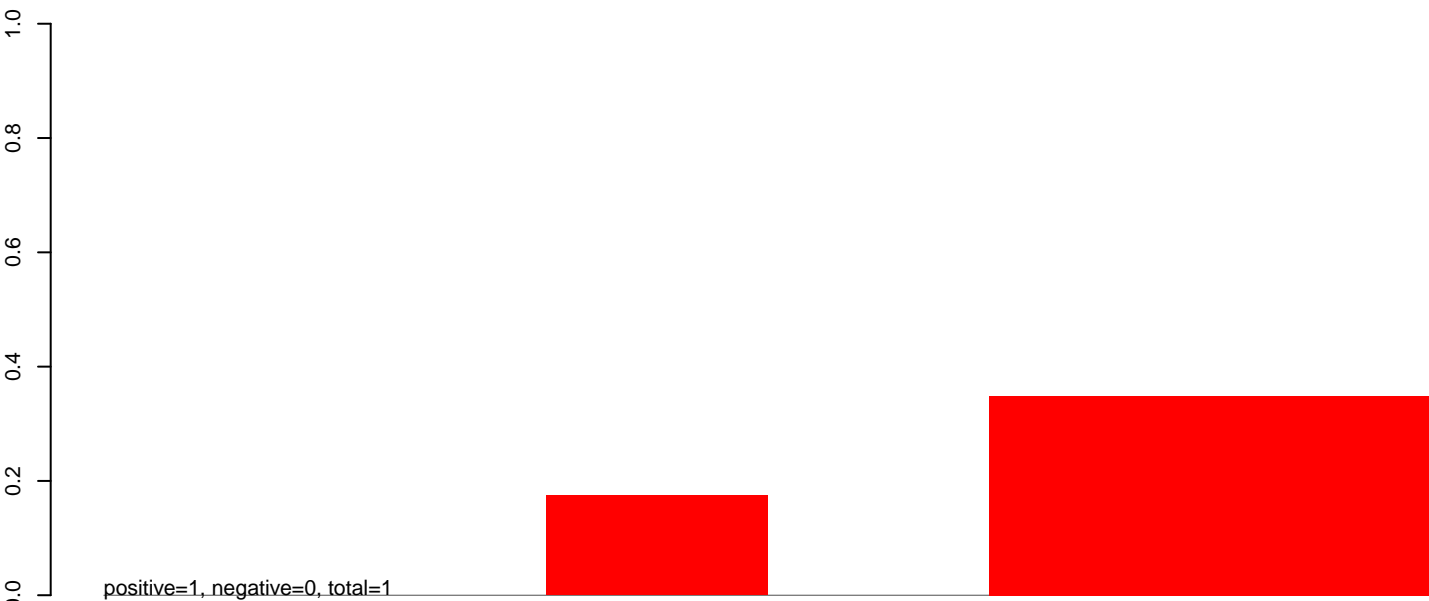
AeAlbo\_C636\_6dpi\_SINV3.rep



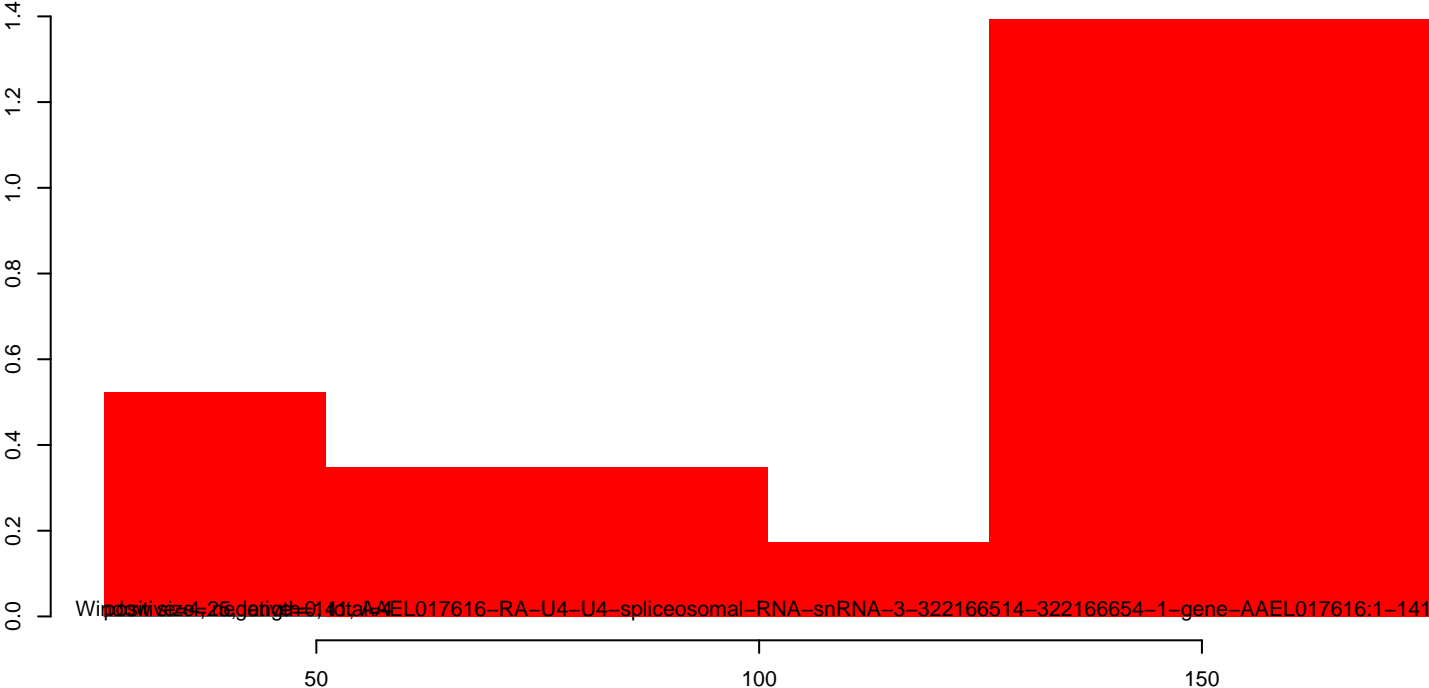
AeAlbo\_C636\_6dpi\_SINV3.18\_23.rep



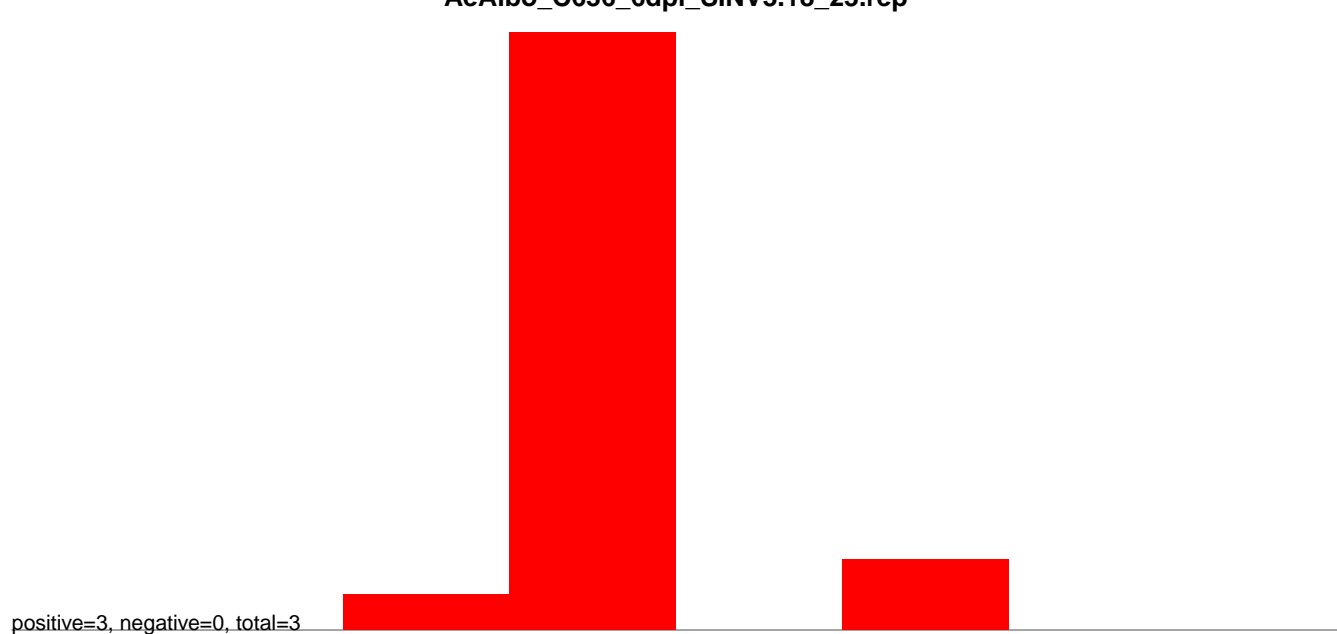
AeAlbo\_C636\_6dpi\_SINV3.24\_35.rep



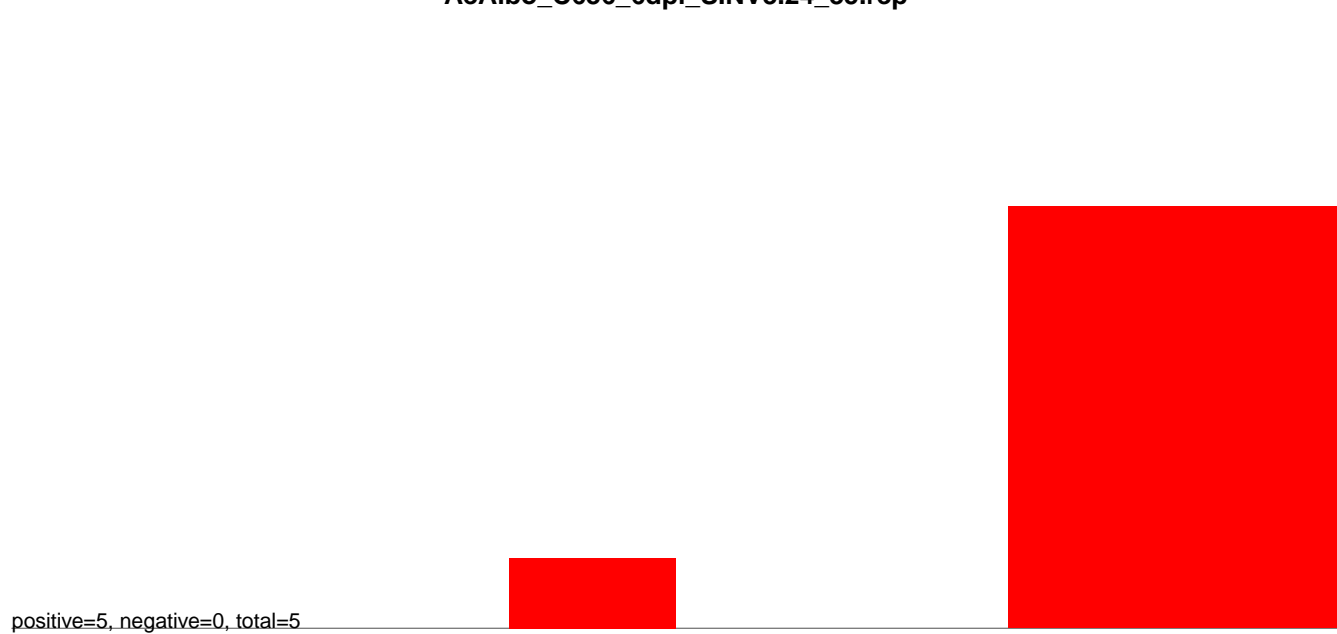
AeAlbo\_C636\_6dpi\_SINV3.rep



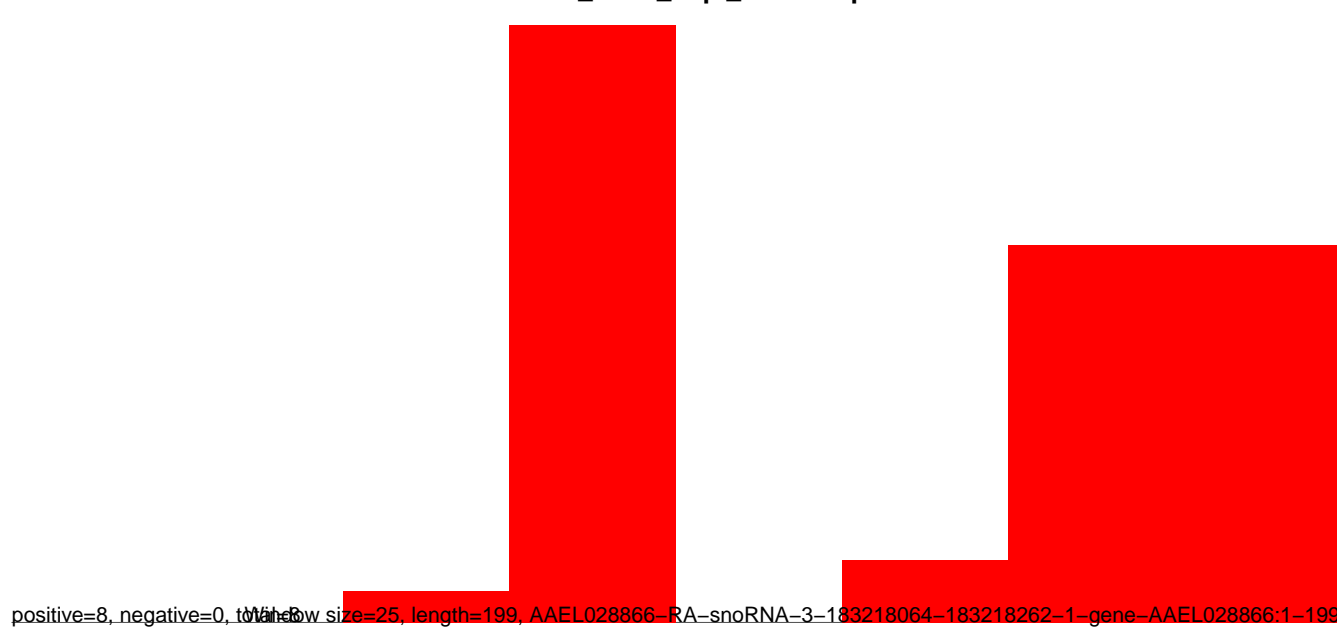
**AeAlbo\_C636\_6dpi\_SINV3.18\_23.rep**



**AeAlbo\_C636\_6dpi\_SINV3.24\_35.rep**

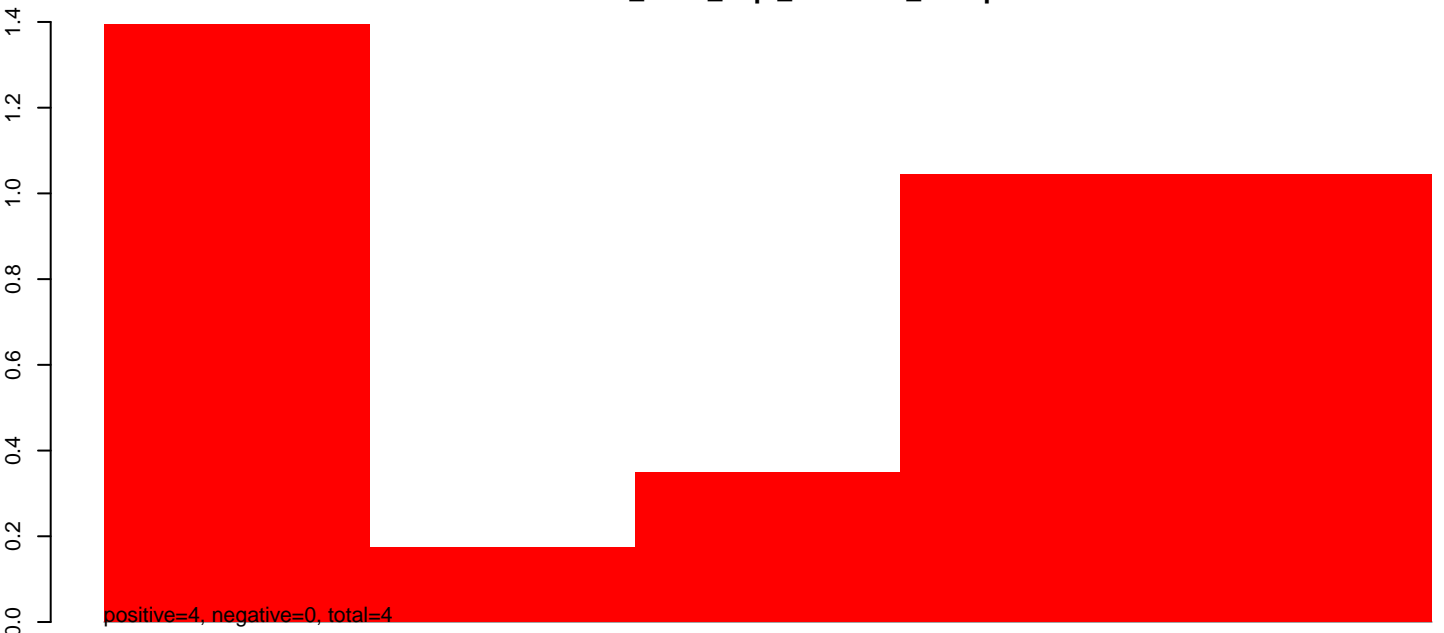


**AeAlbo\_C636\_6dpi\_SINV3.rep**

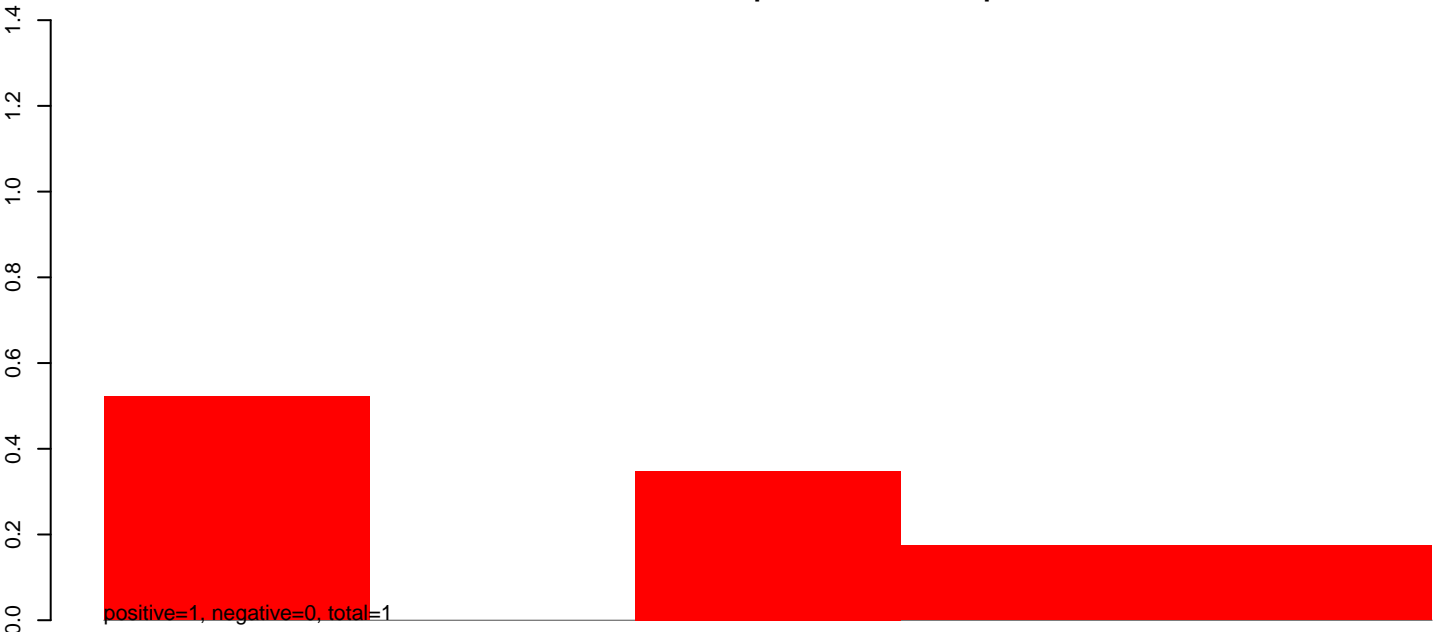


Window size=25, length=199, AAEL028866-RA-snoRNA-3-183218064-183218262-1-gene-AAEL028866:1-199

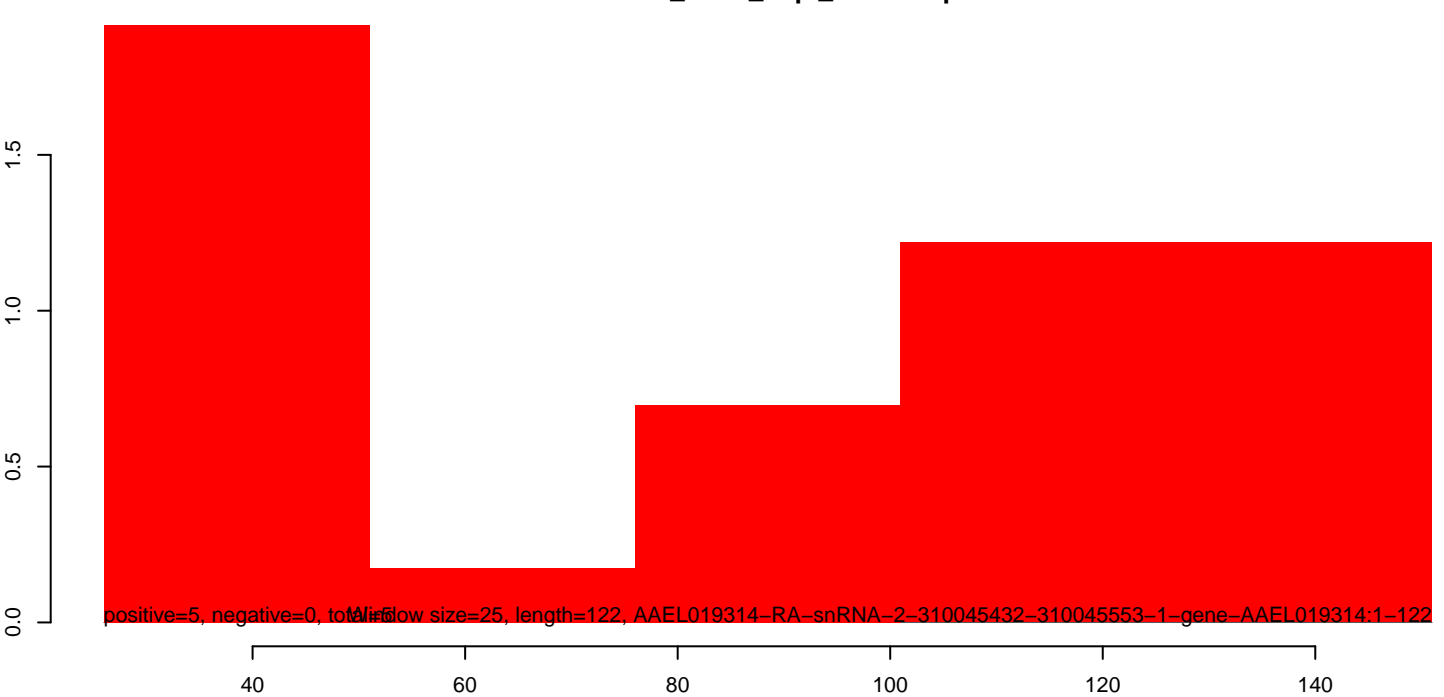
AeAlbo\_C636\_6dpi\_SINV3.18\_23.rep



AeAlbo\_C636\_6dpi\_SINV3.24\_35.rep



AeAlbo\_C636\_6dpi\_SINV3.rep

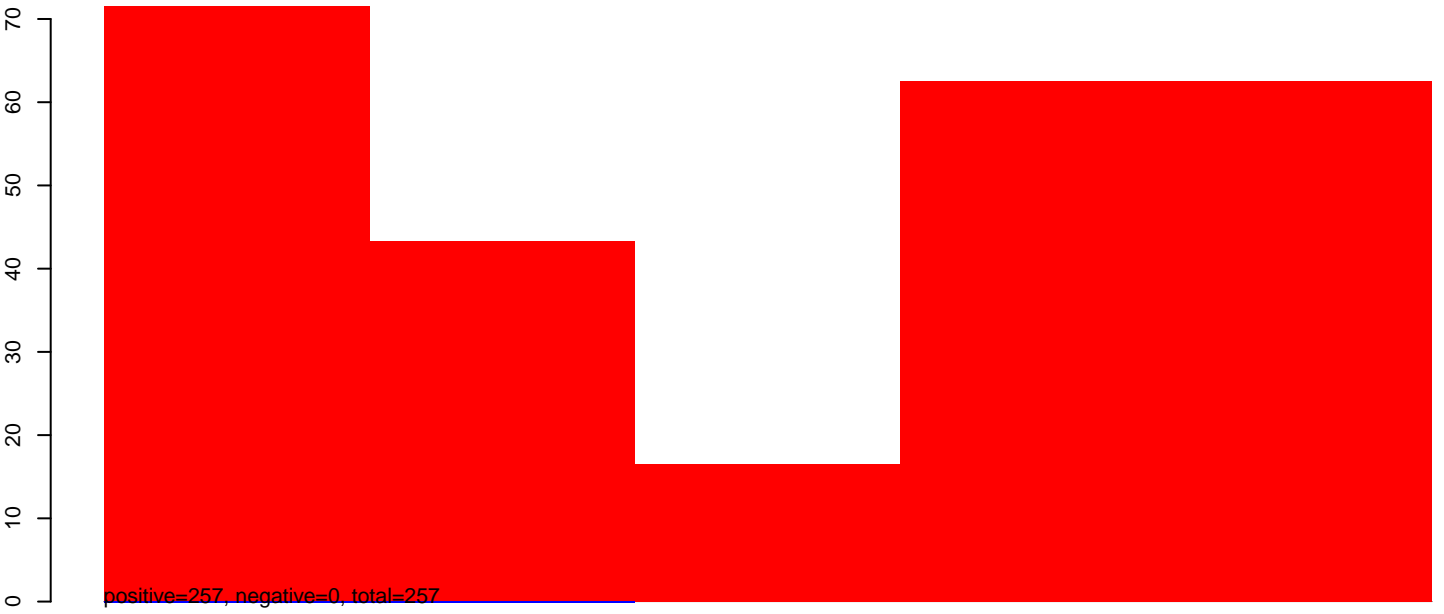


40 60 80 100 120 140

Window size=25, length=122, AAEL019314-RA-snrRNA-2-310045432-310045553-1-gene-AAEL019314:1-122



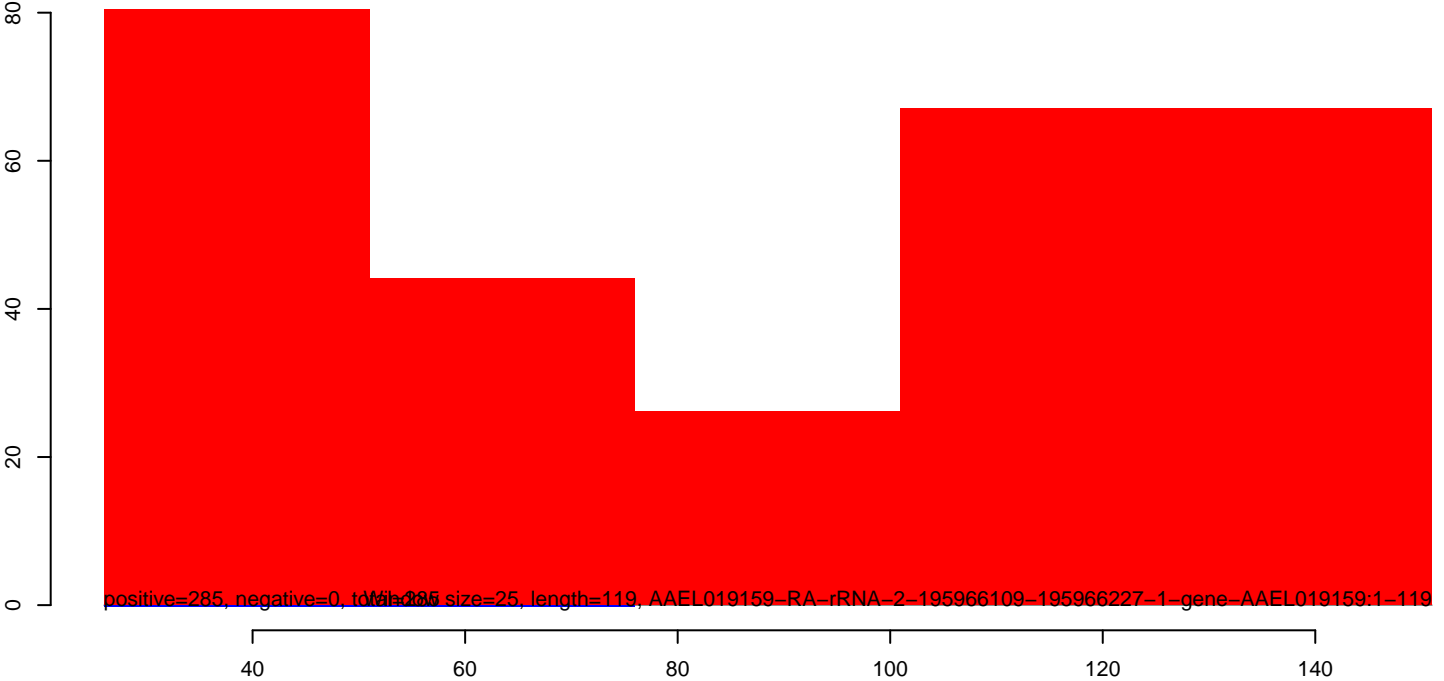
AeAlbo\_C636\_6dpi\_SINV3.18\_23.rep



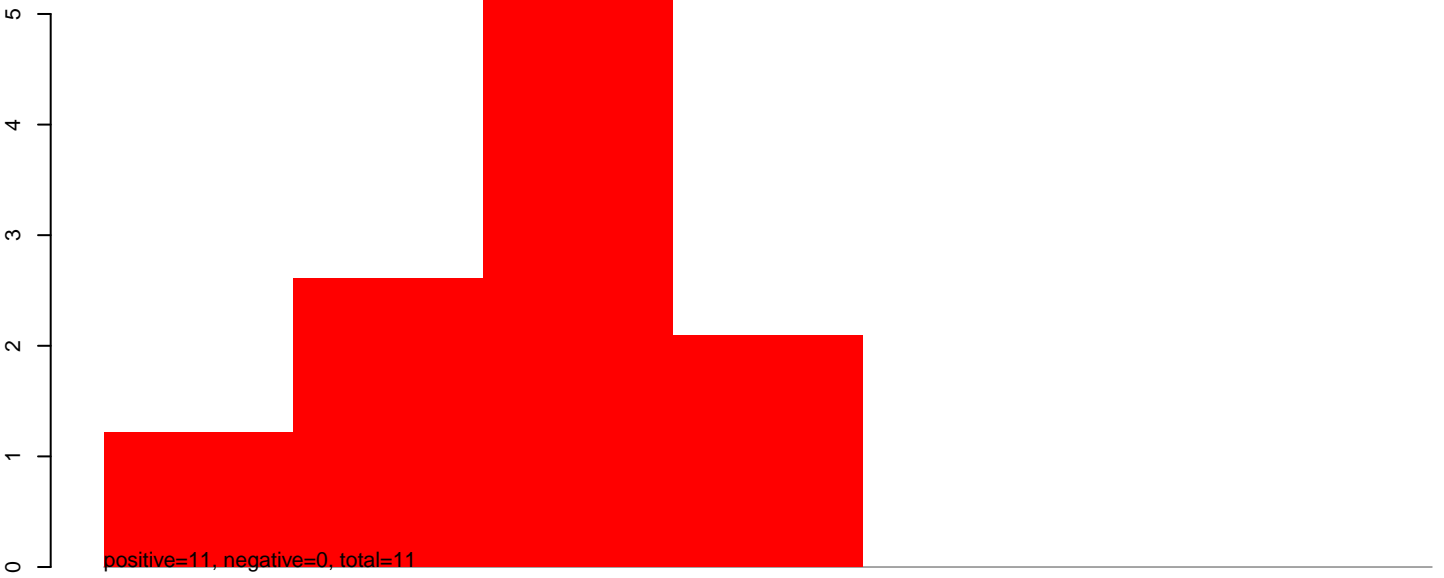
AeAlbo\_C636\_6dpi\_SINV3.24\_35.rep



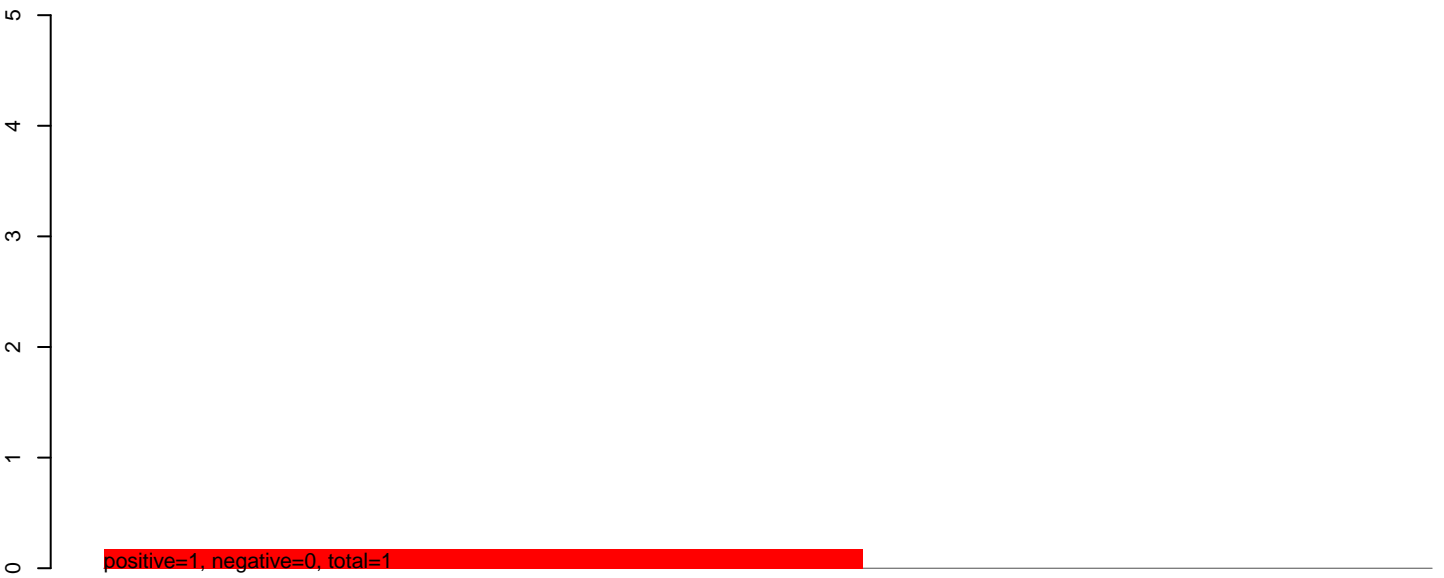
AeAlbo\_C636\_6dpi\_SINV3.rep



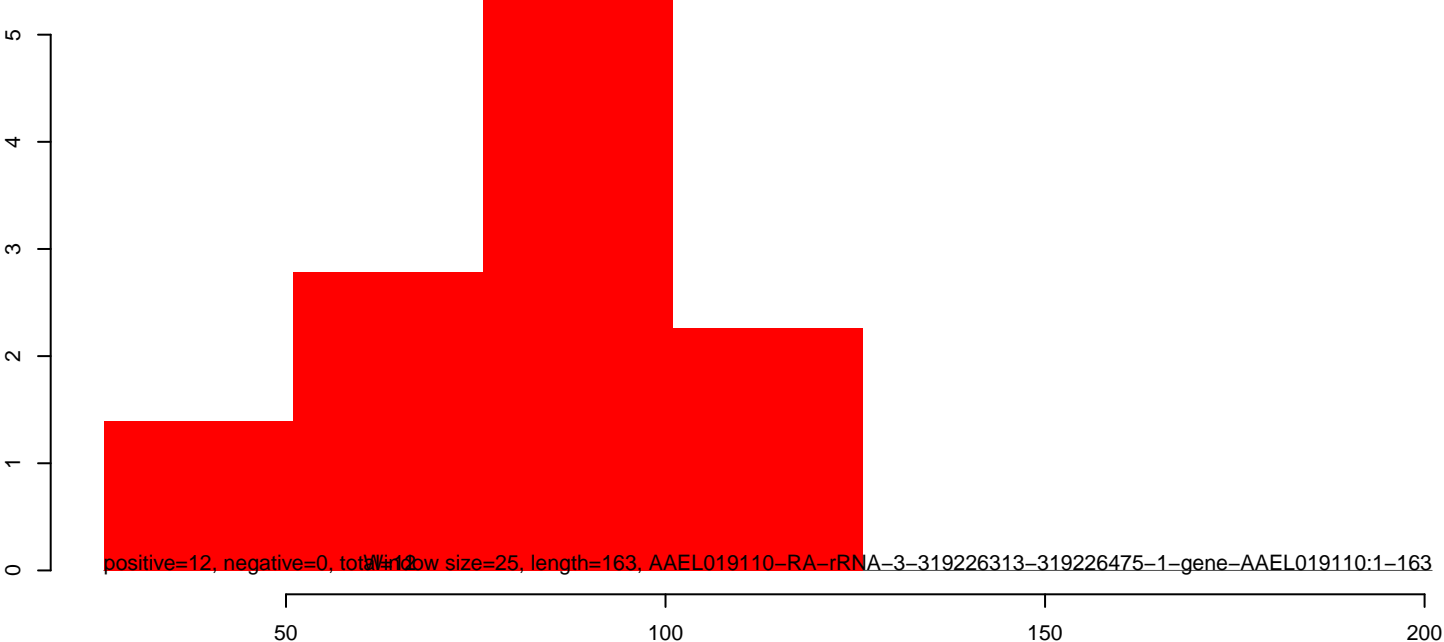
AeAlbo\_C636\_6dpi\_SINV3.18\_23.rep



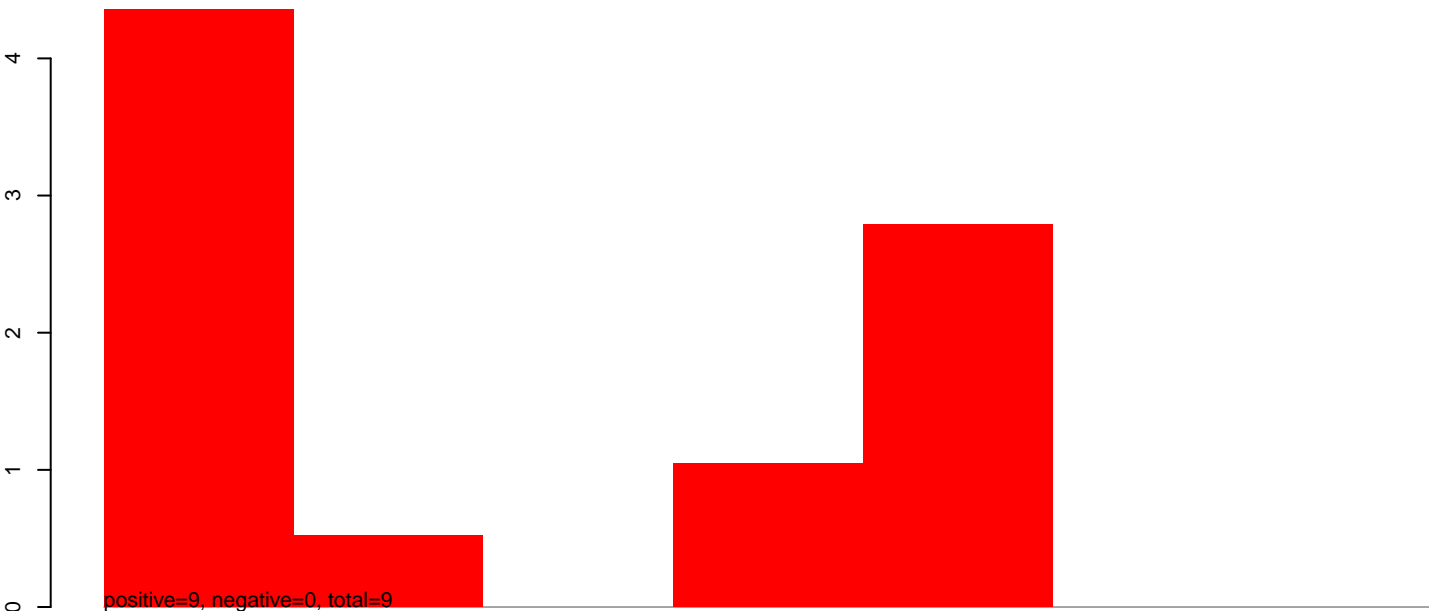
AeAlbo\_C636\_6dpi\_SINV3.24\_35.rep



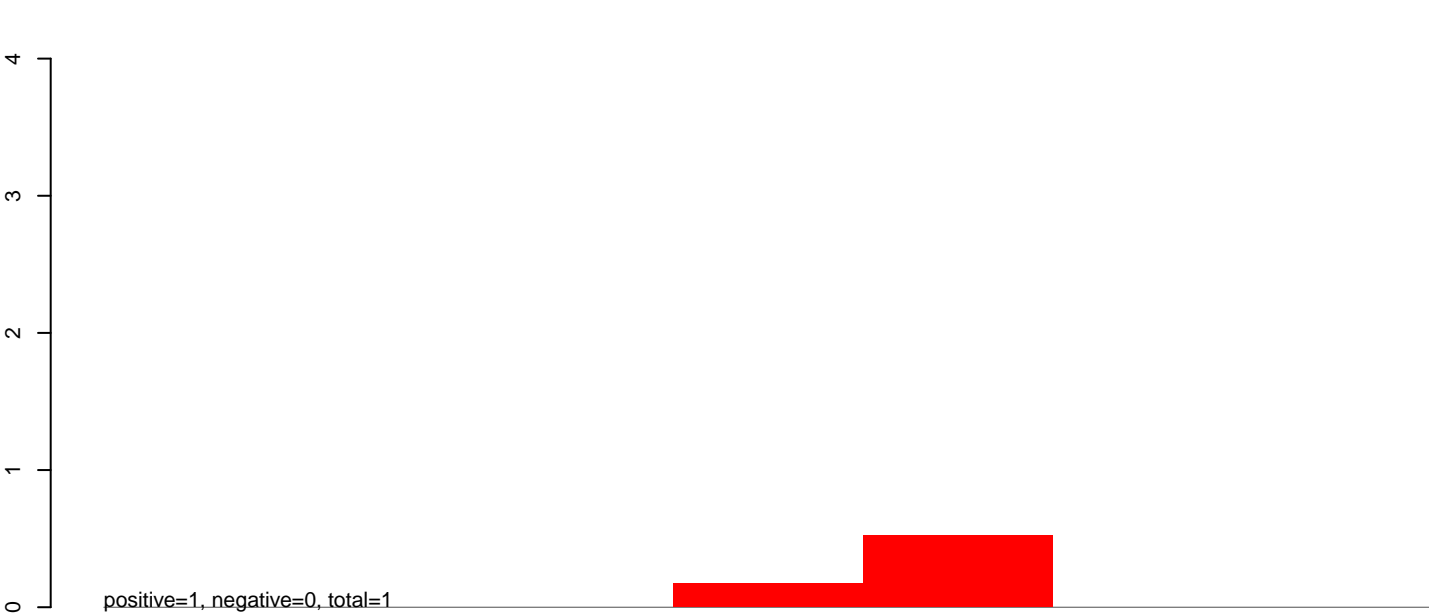
AeAlbo\_C636\_6dpi\_SINV3.rep



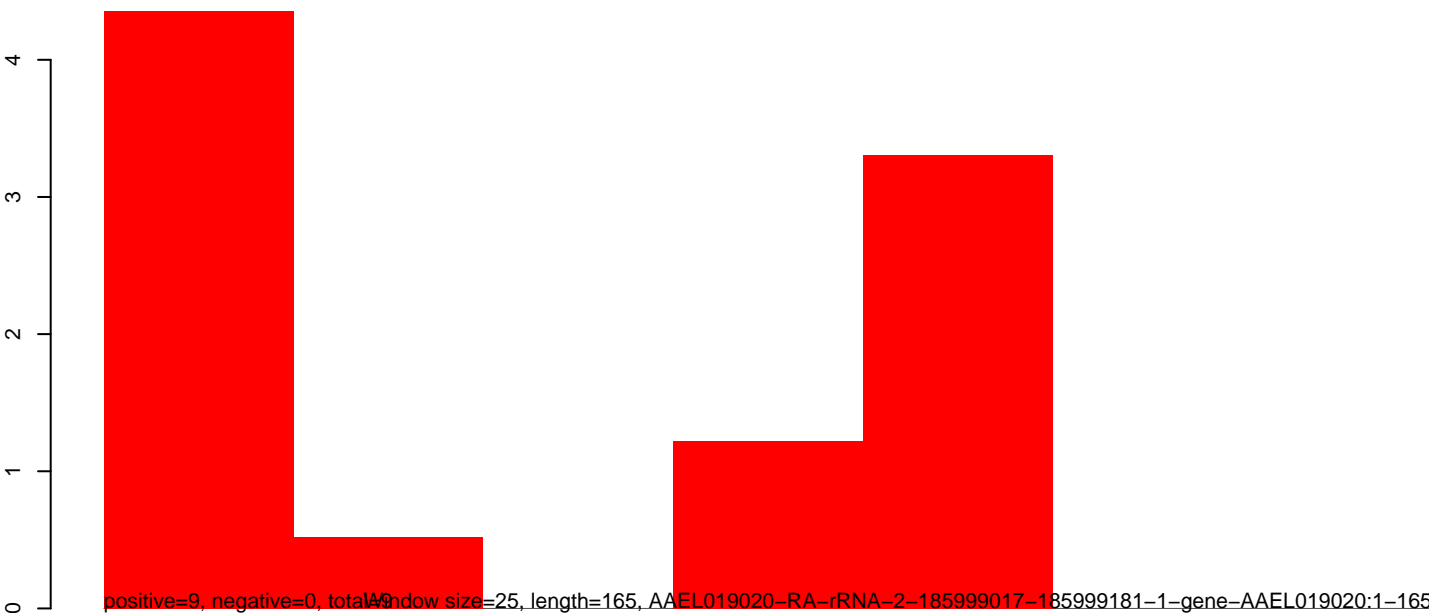
AeAlbo\_C636\_6dpi\_SINV3.18\_23.rep



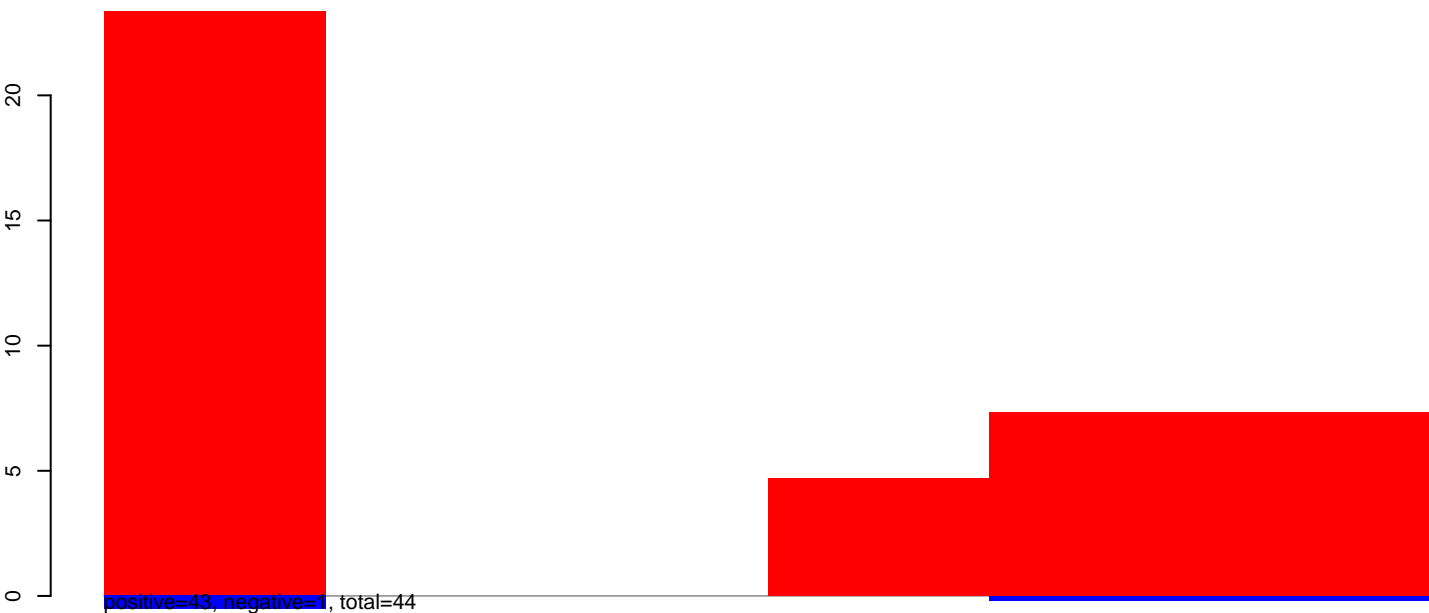
AeAlbo\_C636\_6dpi\_SINV3.24\_35.rep



AeAlbo\_C636\_6dpi\_SINV3.rep



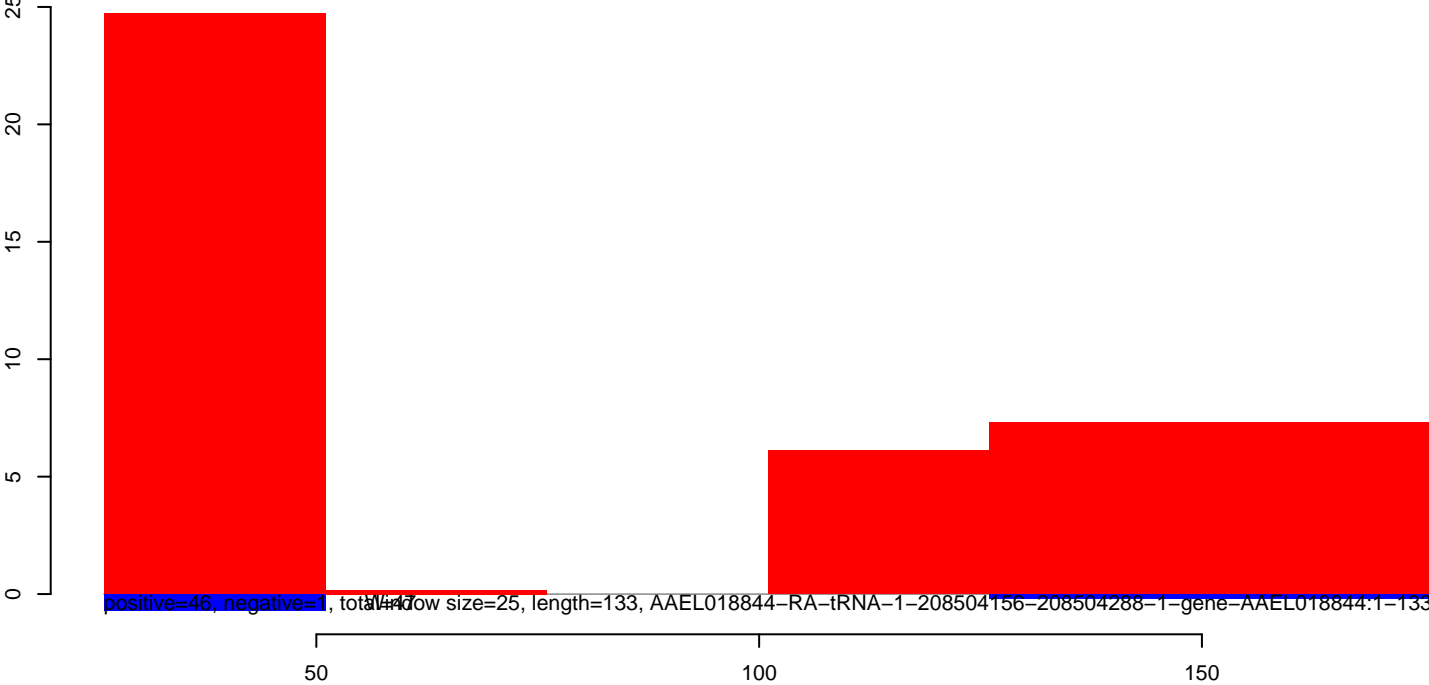
AeAlbo\_C636\_6dpi\_SINV3.18\_23.rep



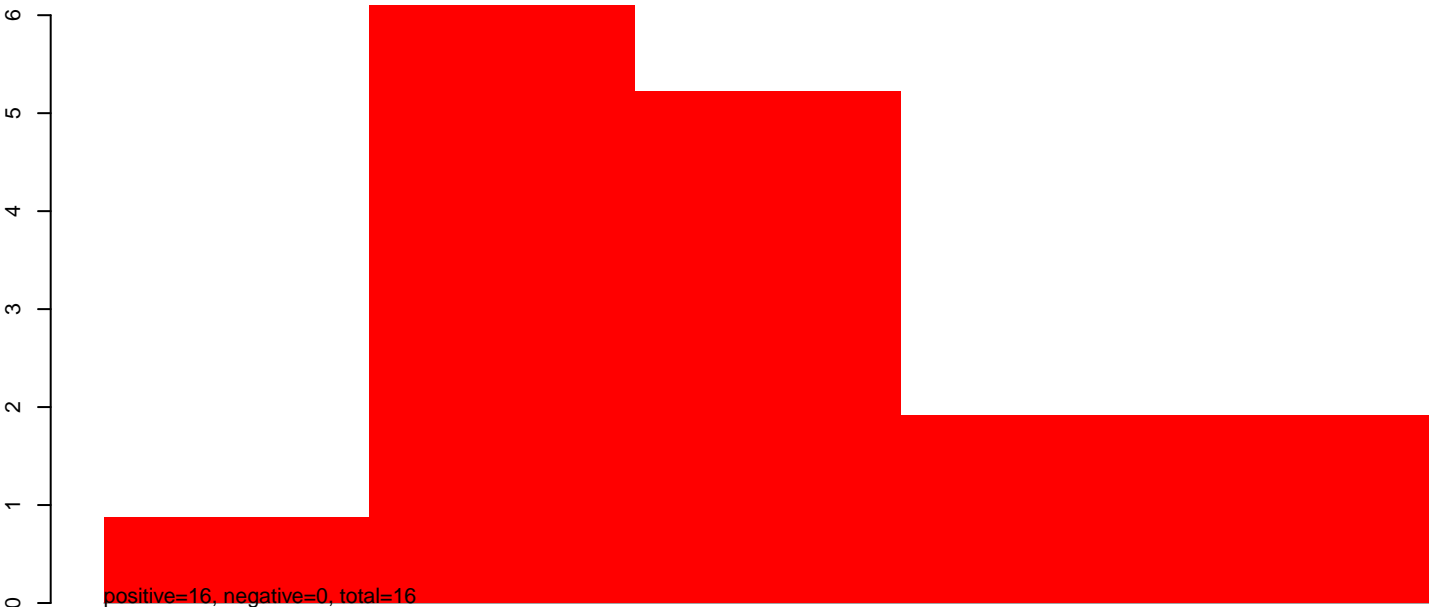
AeAlbo\_C636\_6dpi\_SINV3.24\_35.rep



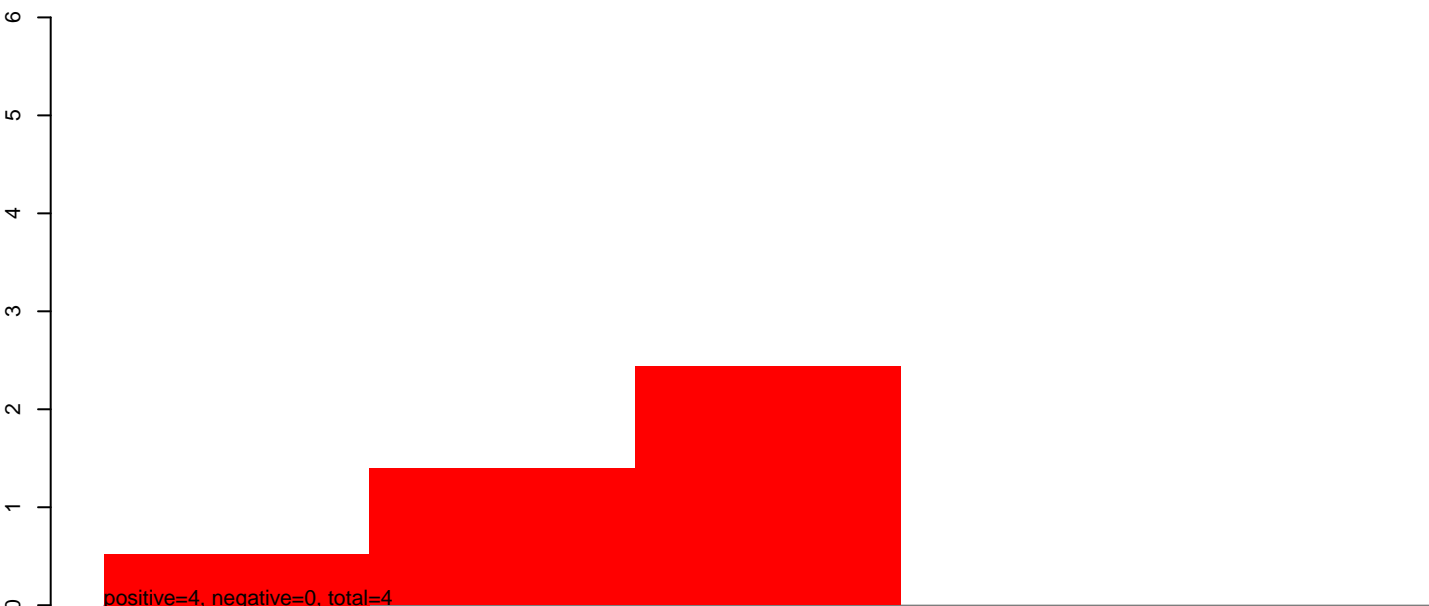
AeAlbo\_C636\_6dpi\_SINV3.rep



AeAlbo\_C636\_6dpi\_SINV3.18\_23.rep



AeAlbo\_C636\_6dpi\_SINV3.24\_35.rep



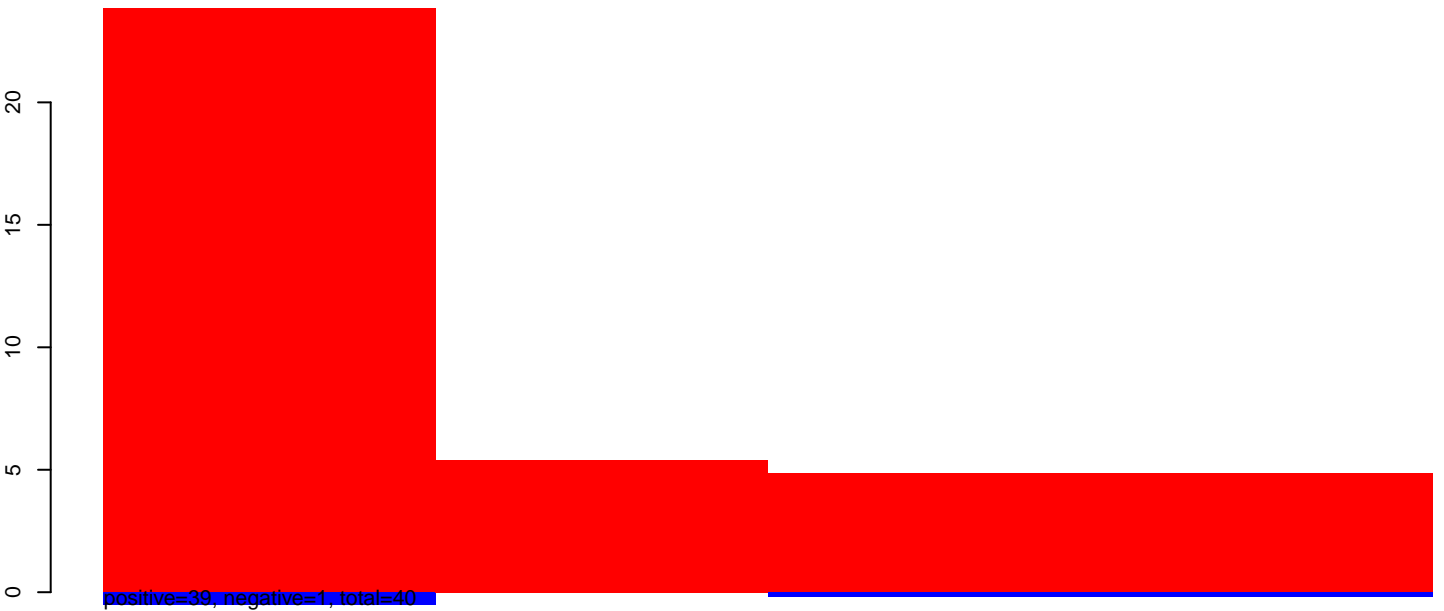
AeAlbo\_C636\_6dpi\_SINV3.rep



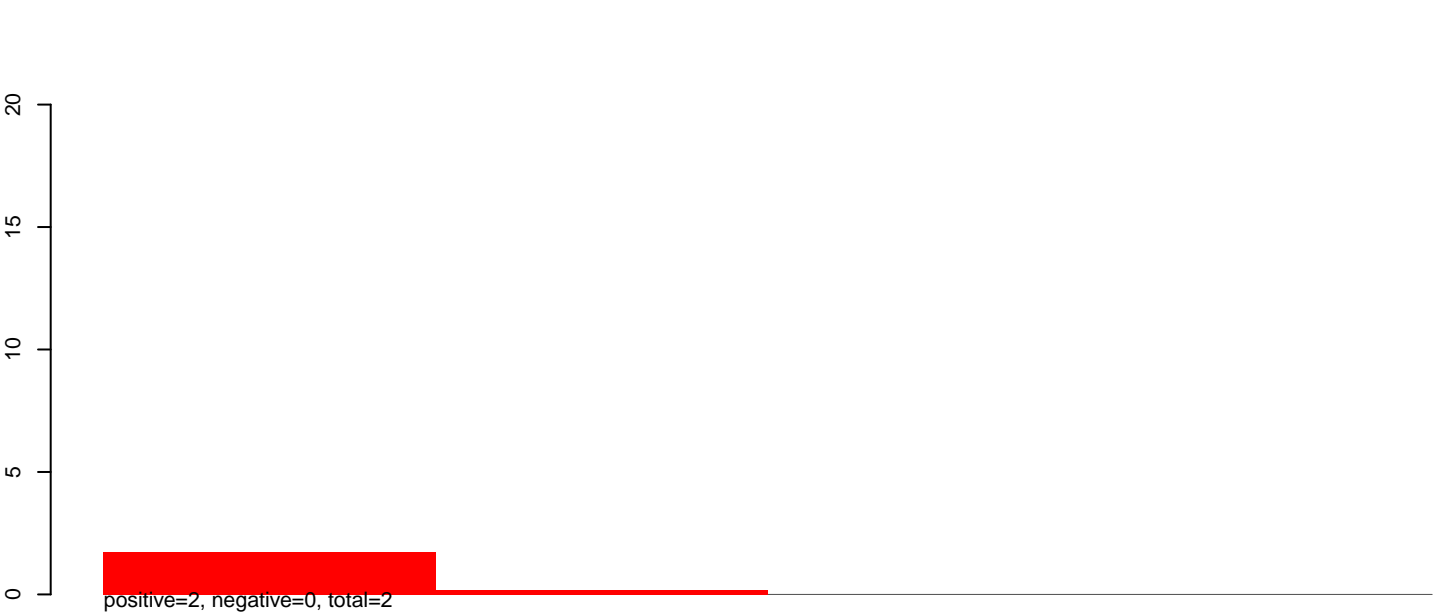
Window size=25, d=1, gap=0, total=29  
AAE017774-RA-U6-U6-spliceosomal-RNA-srRNA-3-382122648-382122754-1-gene-AAE017774:1-107

40 60 80 100 120 140

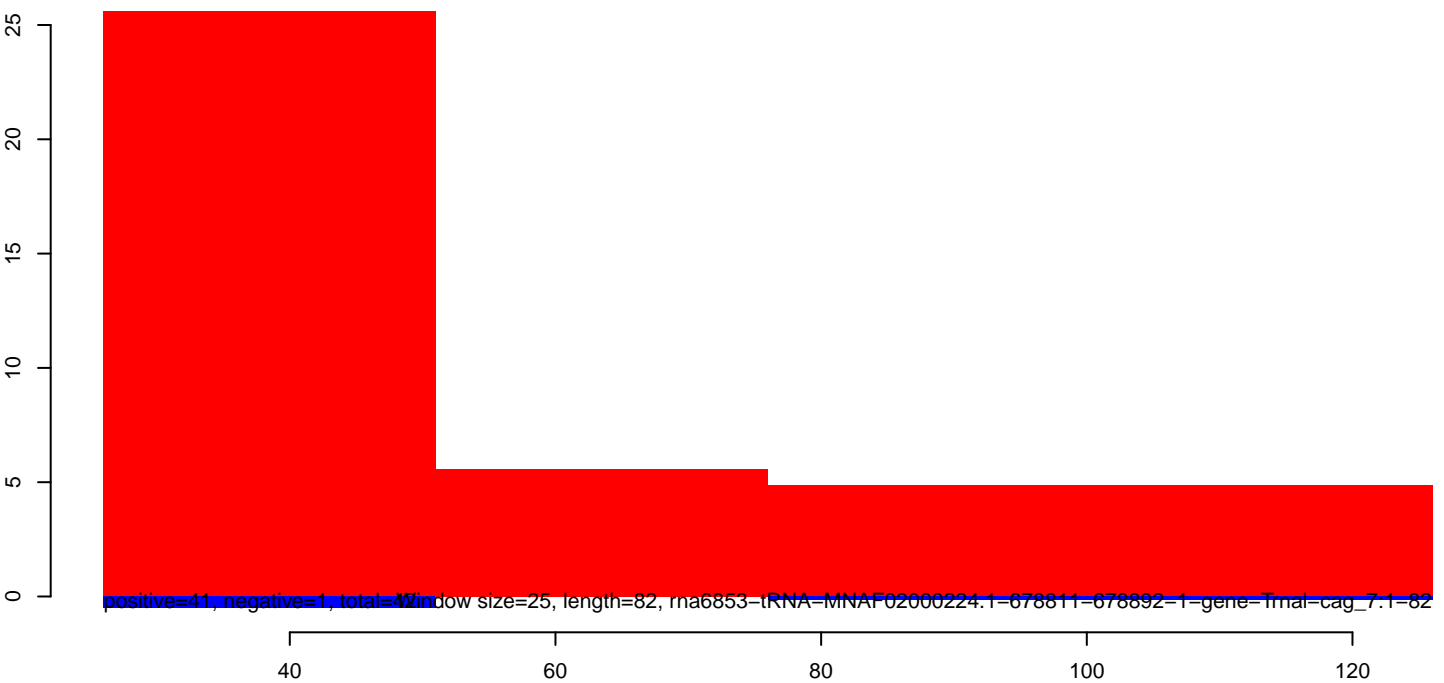
AeAlbo\_C636\_6dpi\_SINV3.18\_23.rep



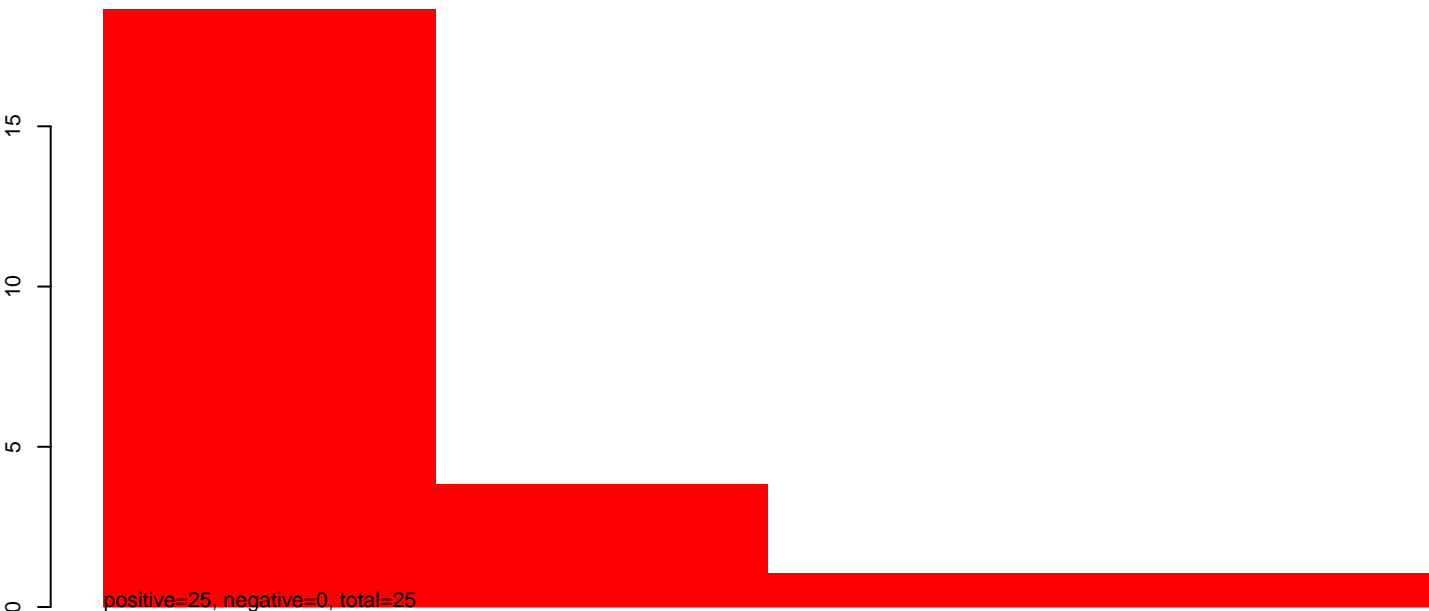
AeAlbo\_C636\_6dpi\_SINV3.24\_35.rep



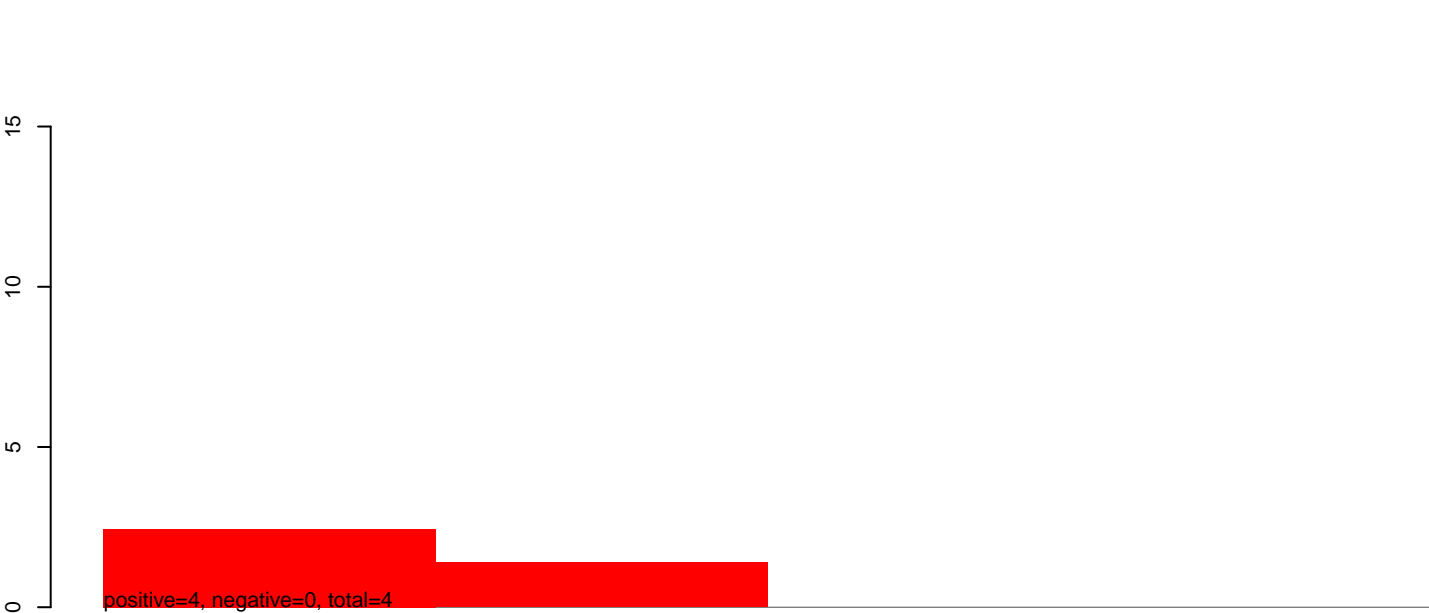
AeAlbo\_C636\_6dpi\_SINV3.rep



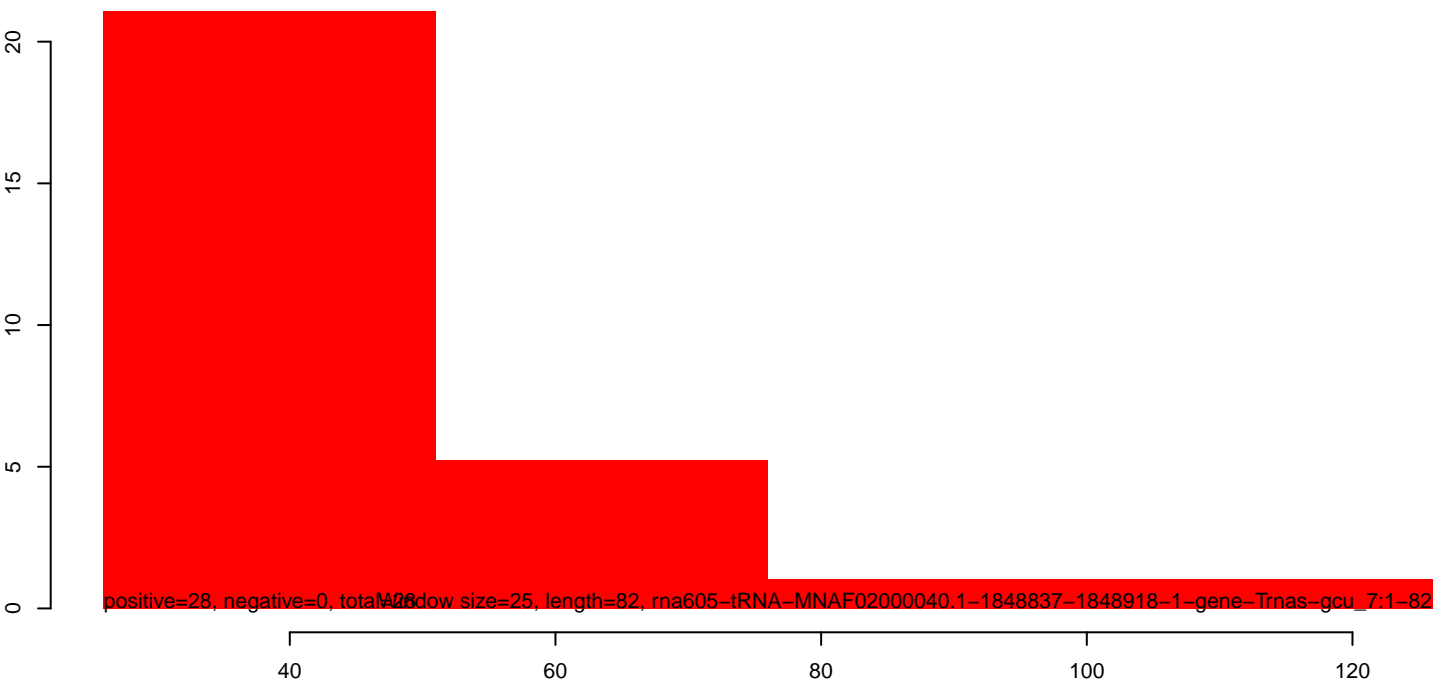
AeAlbo\_C636\_6dpi\_SINV3.18\_23.rep



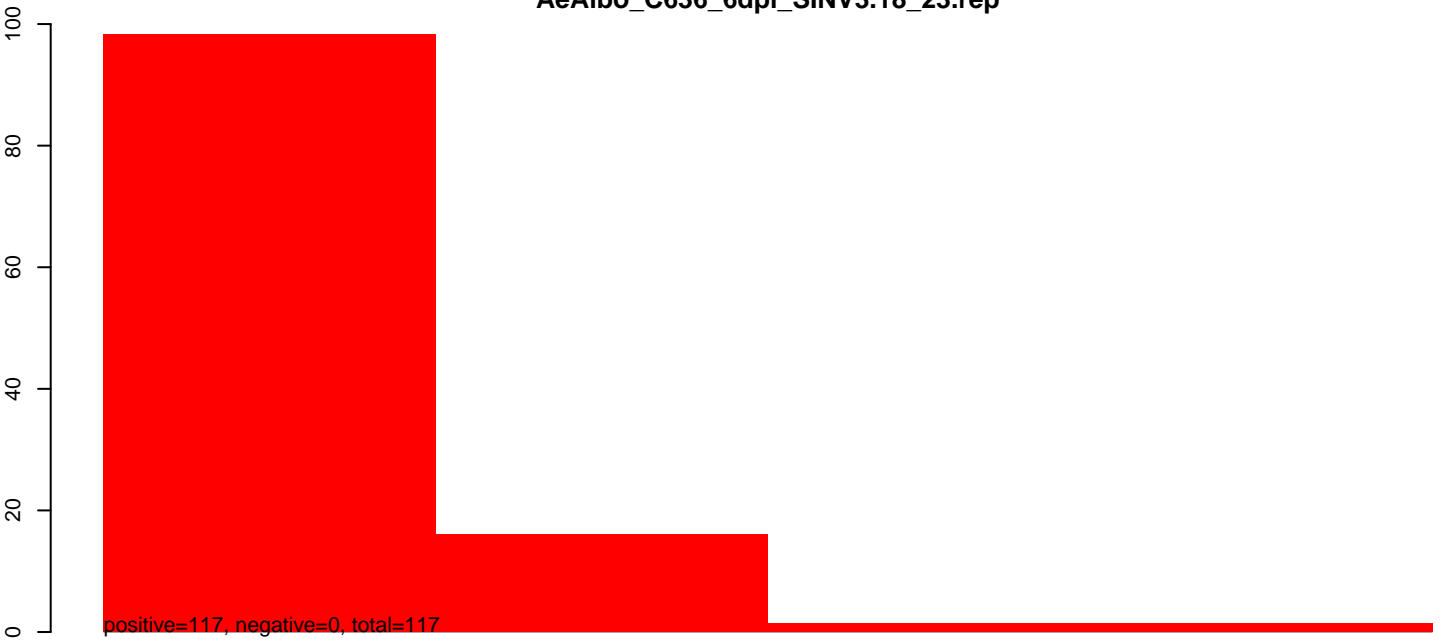
AeAlbo\_C636\_6dpi\_SINV3.24\_35.rep



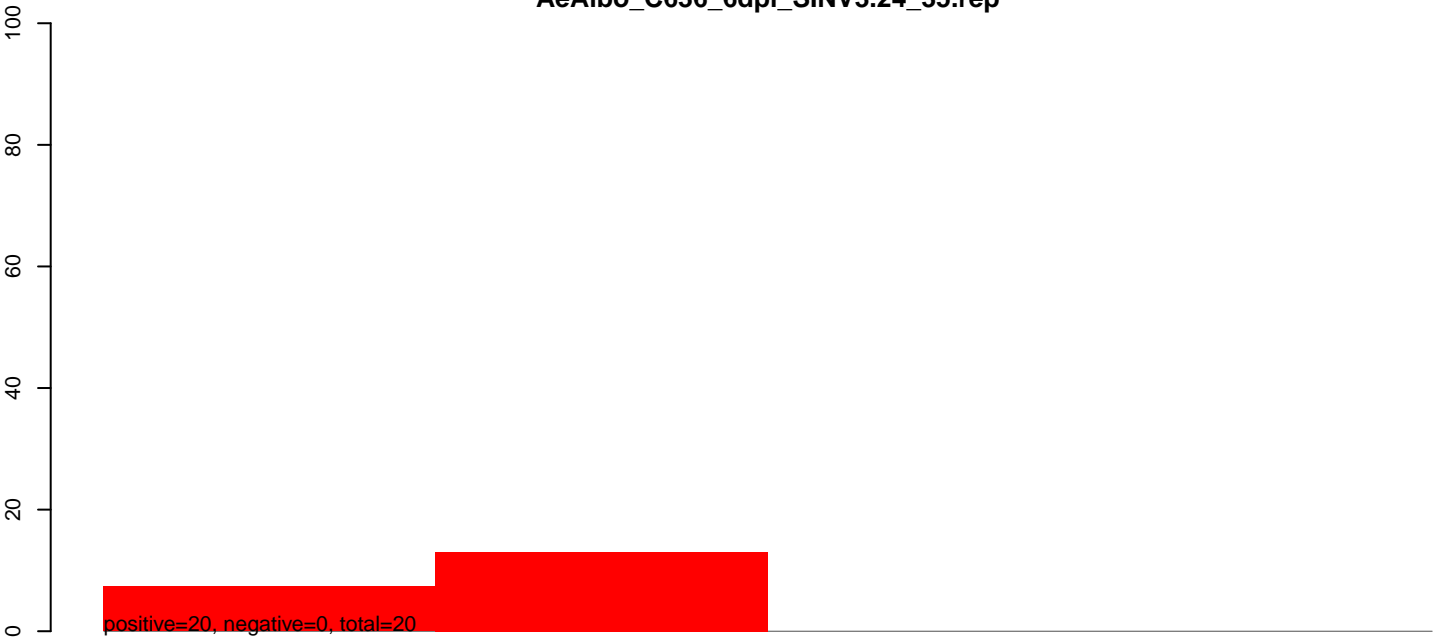
AeAlbo\_C636\_6dpi\_SINV3.rep



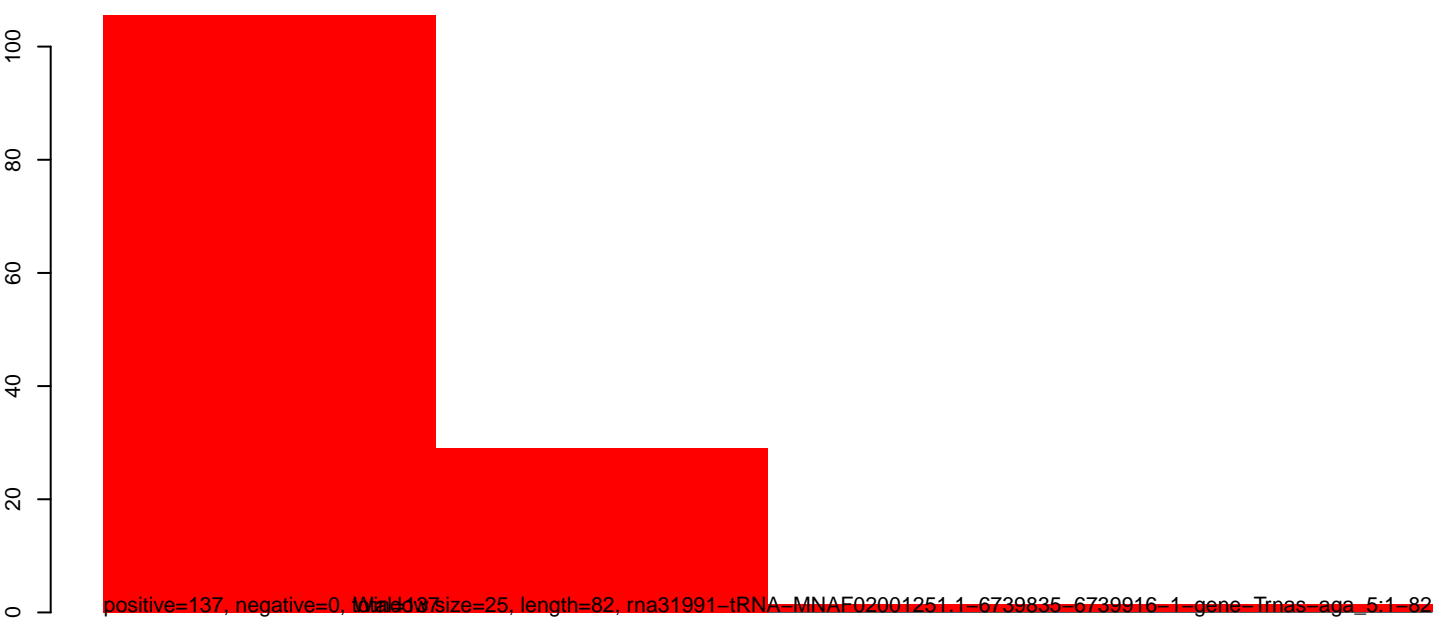
AeAlbo\_C636\_6dpi\_SINV3.18\_23.rep



AeAlbo\_C636\_6dpi\_SINV3.24\_35.rep



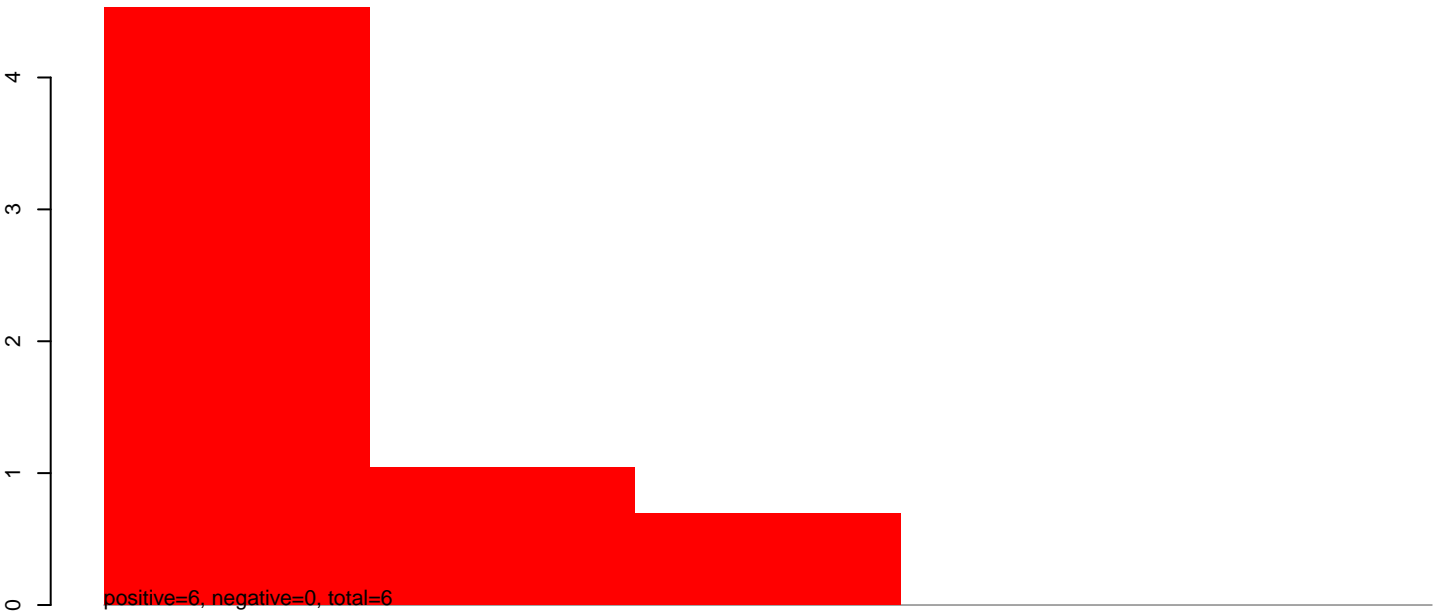
AeAlbo\_C636\_6dpi\_SINV3.rep



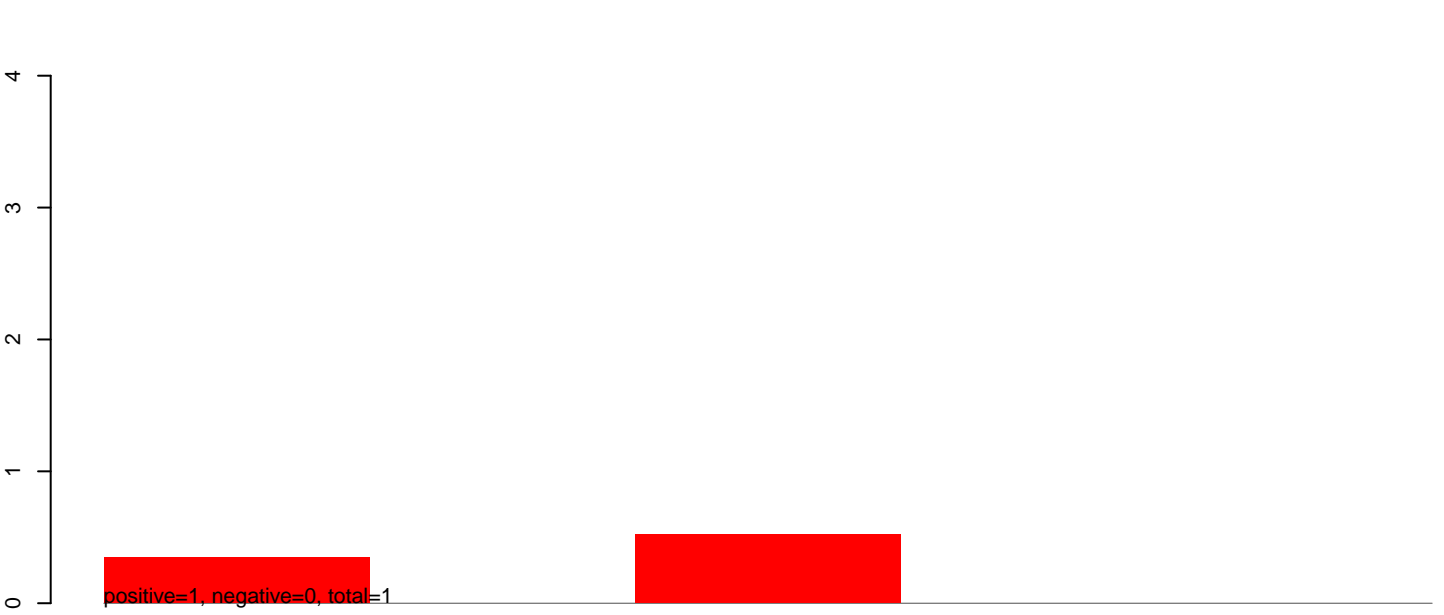
40 60 80 100 120



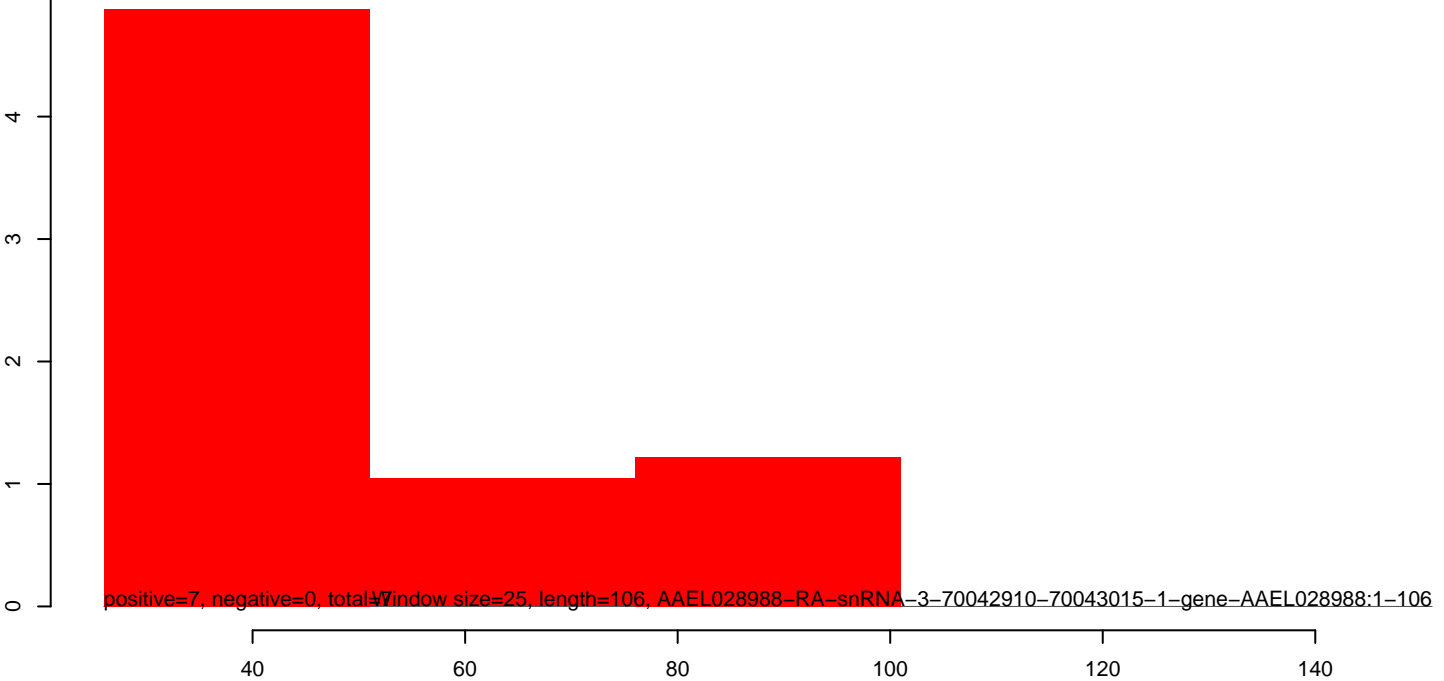
AeAlbo\_C636\_6dpi\_SINV3.18\_23.rep



AeAlbo\_C636\_6dpi\_SINV3.24\_35.rep



AeAlbo\_C636\_6dpi\_SINV3.rep



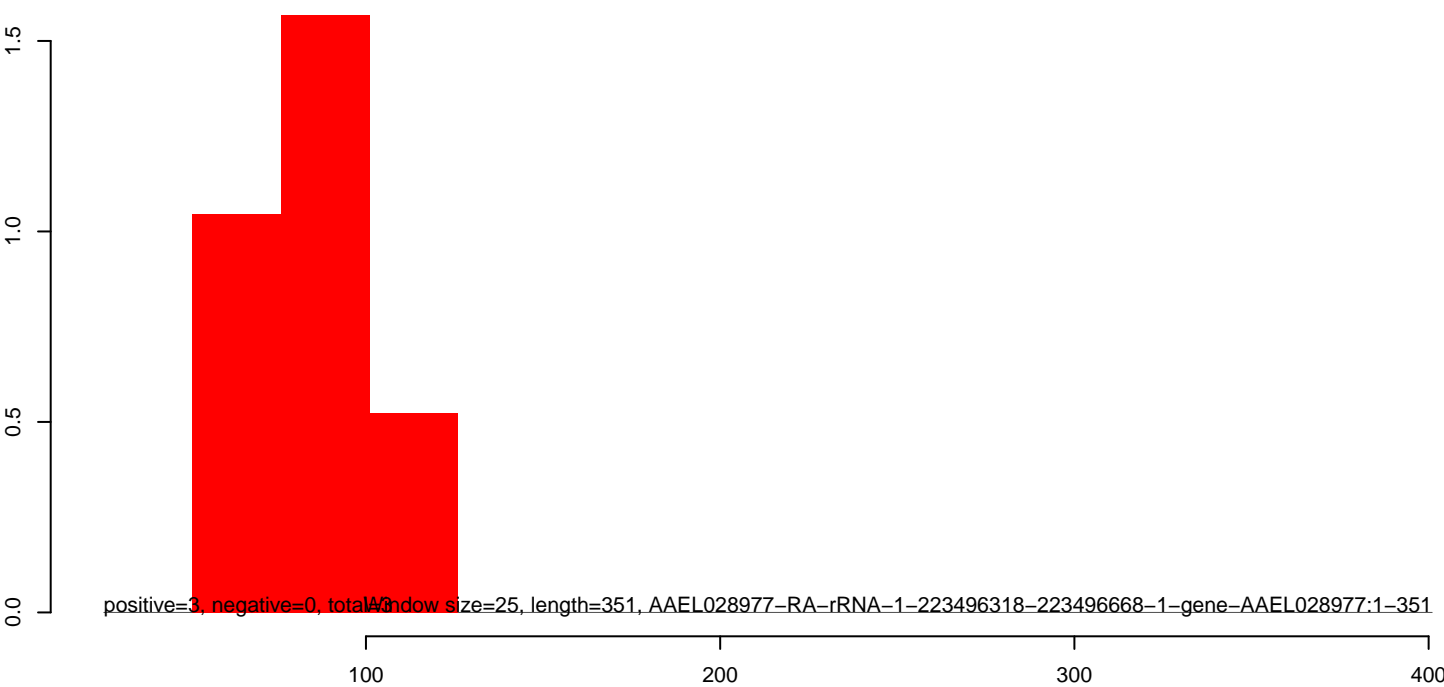
AeAlbo\_C636\_6dpi\_SINV3.18\_23.rep



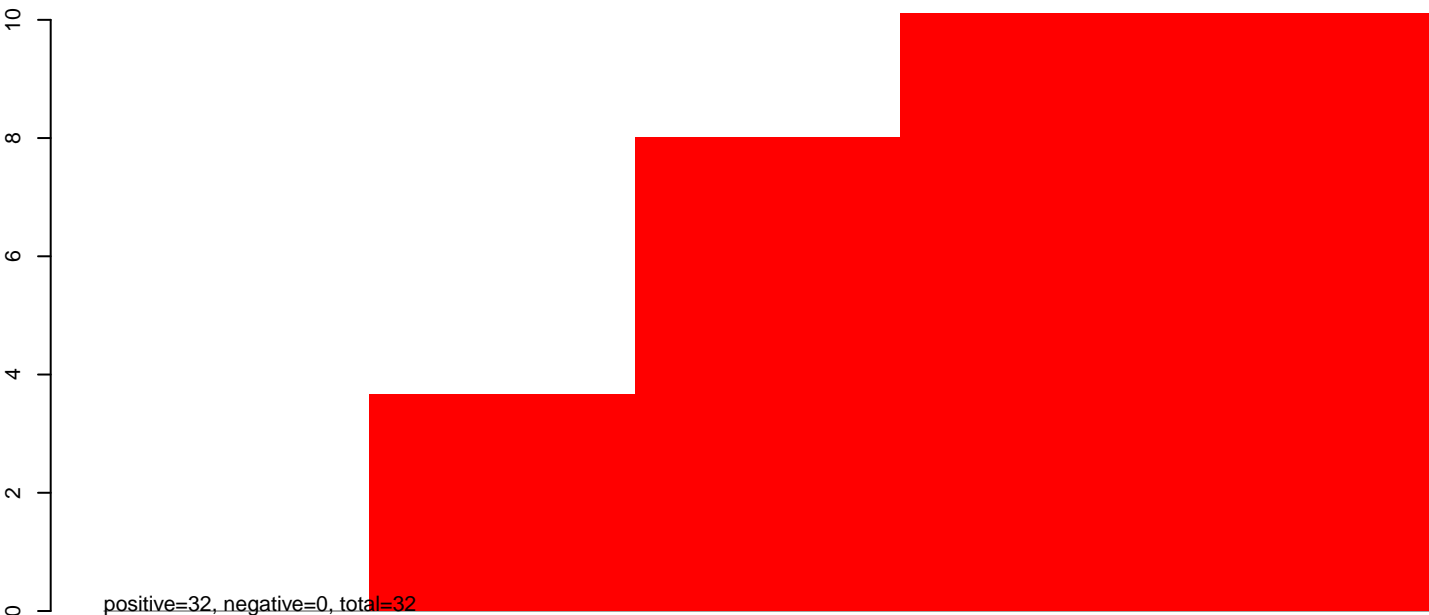
AeAlbo\_C636\_6dpi\_SINV3.24\_35.rep



AeAlbo\_C636\_6dpi\_SINV3.rep



**AeAlbo\_C636\_6dpi\_SINV3.18\_23.rep**



**AeAlbo\_C636\_6dpi\_SINV3.24\_35.rep**

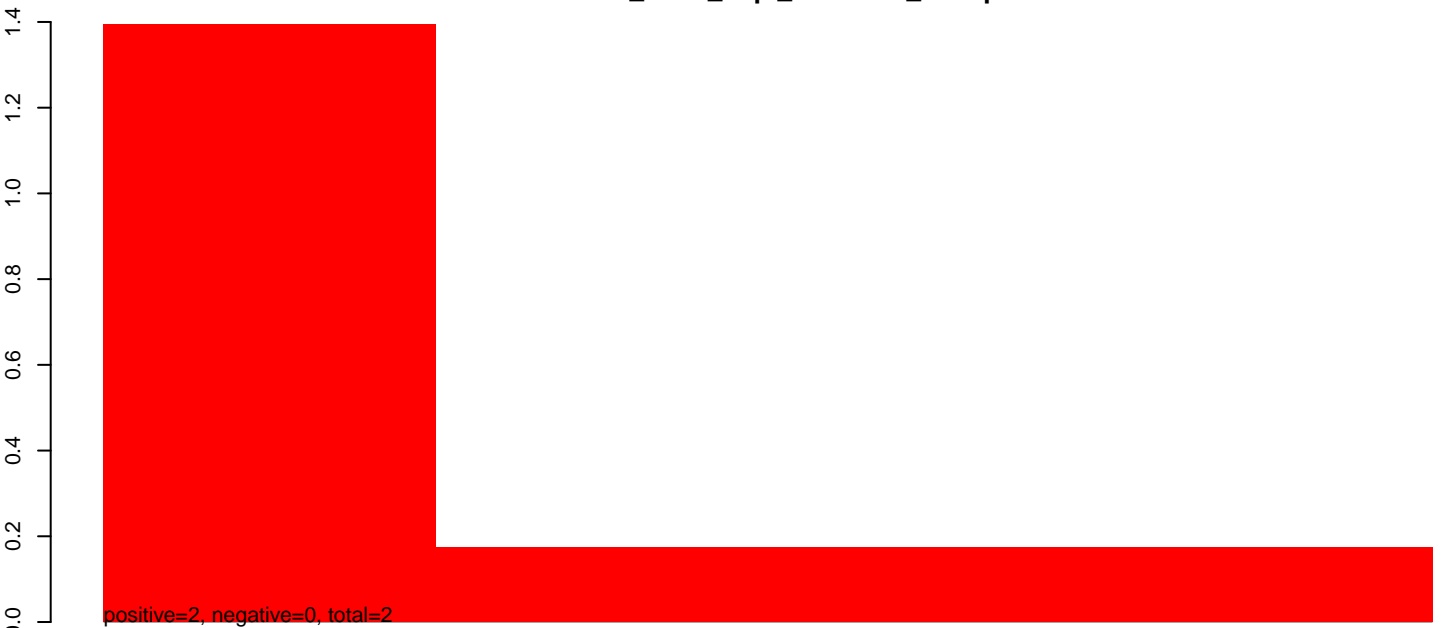


**AeAlbo\_C636\_6dpi\_SINV3.rep**

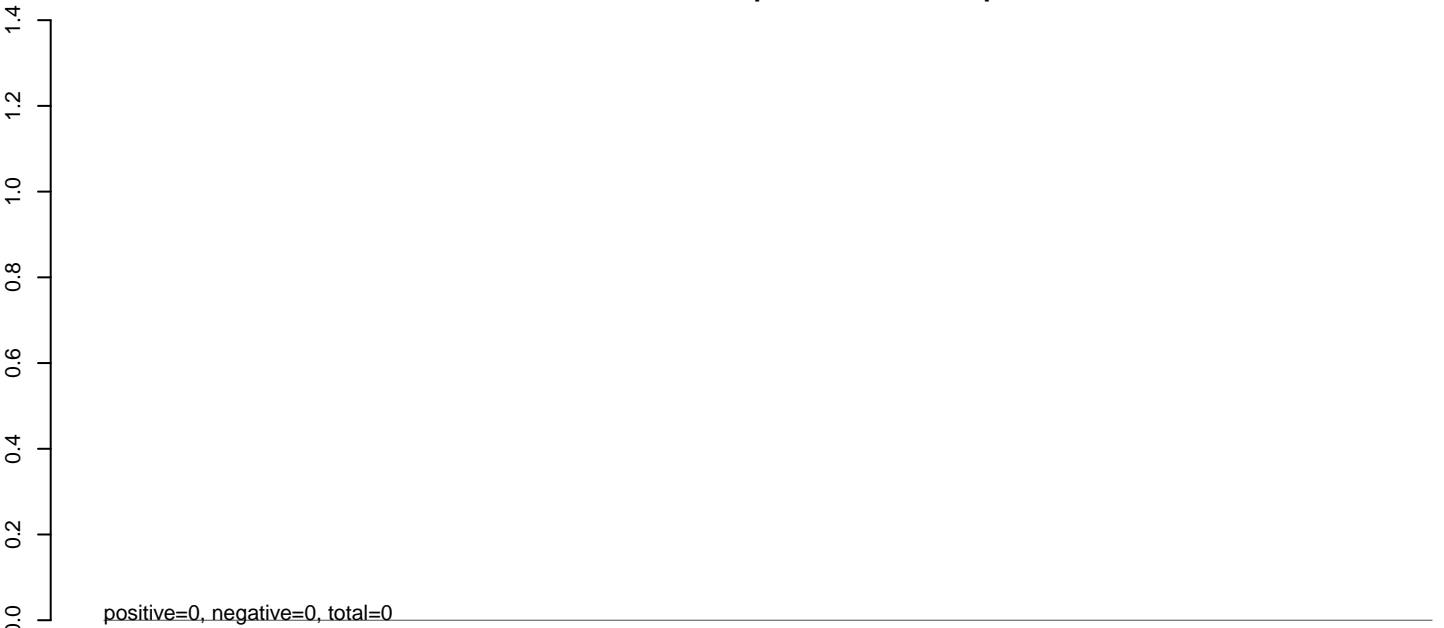


40 60 80 100 120 140

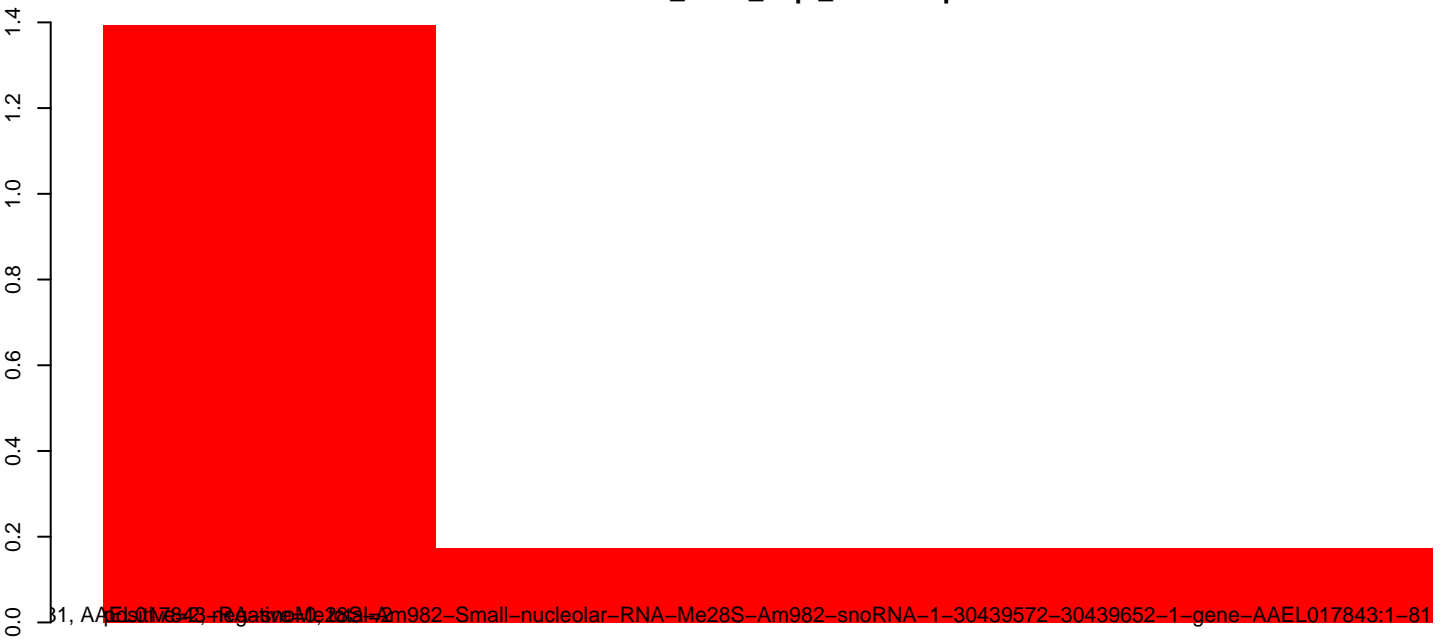
**AeAlbo\_C636\_6dpi\_SINV3.18\_23.rep**



**AeAlbo\_C636\_6dpi\_SINV3.24\_35.rep**



**AeAlbo\_C636\_6dpi\_SINV3.rep**



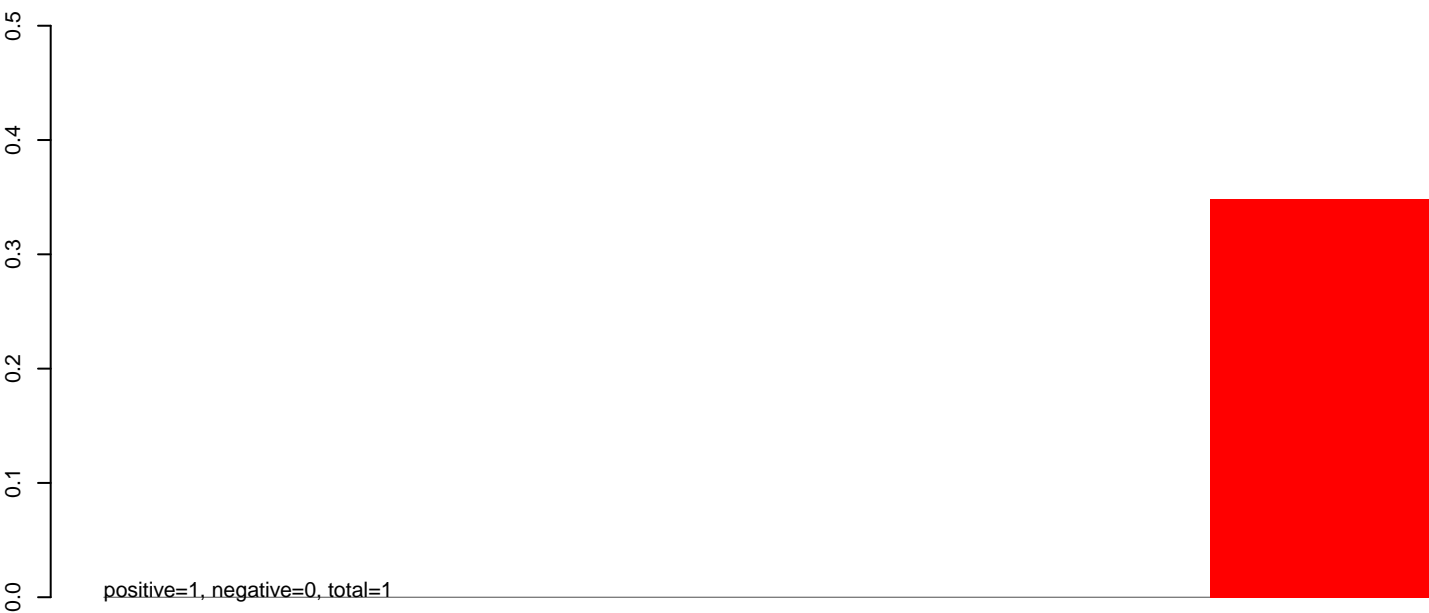
11, AAF017843, rRNA-18S, AAF017842, rRNA-28S, AF0982, Small-nucleolar-RNA-Me28S-Af982-snoRNA-1-30439572-30439652-1-gene-AAEL017843:1-81

40 60 80 100 120

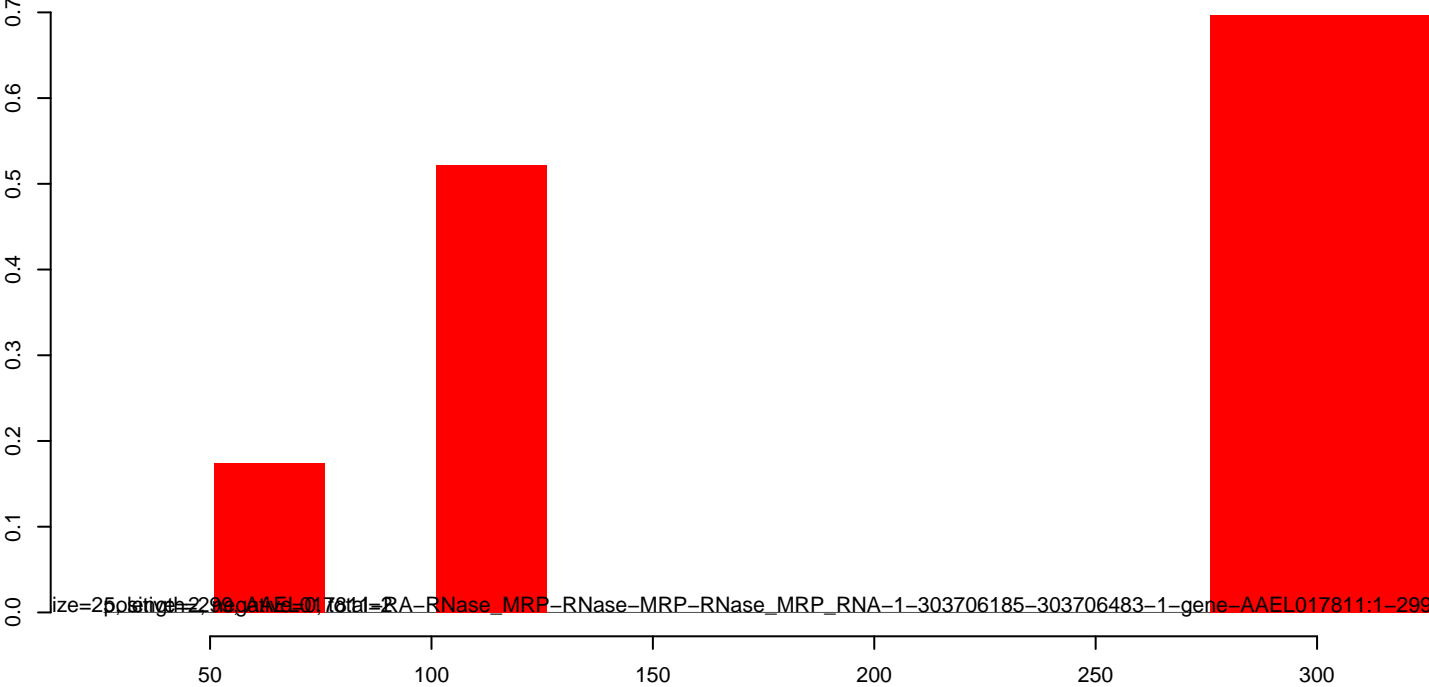
**AeAlbo\_C636\_6dpi\_SINV3.18\_23.rep**



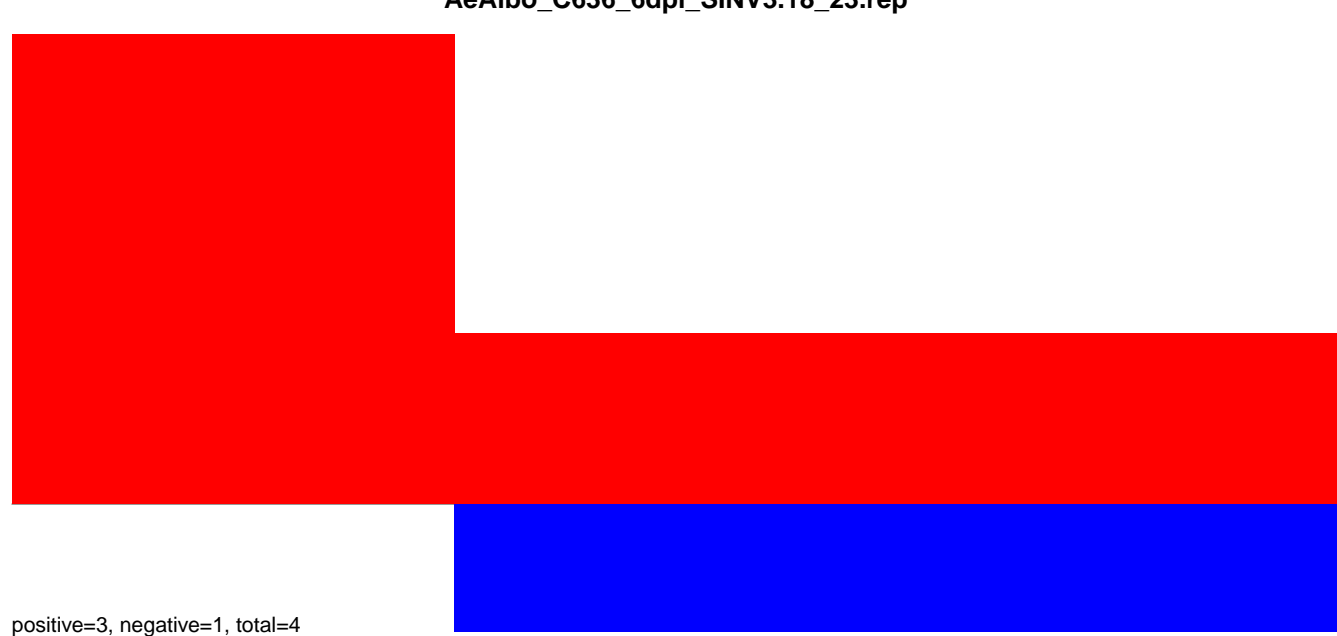
**AeAlbo\_C636\_6dpi\_SINV3.24\_35.rep**



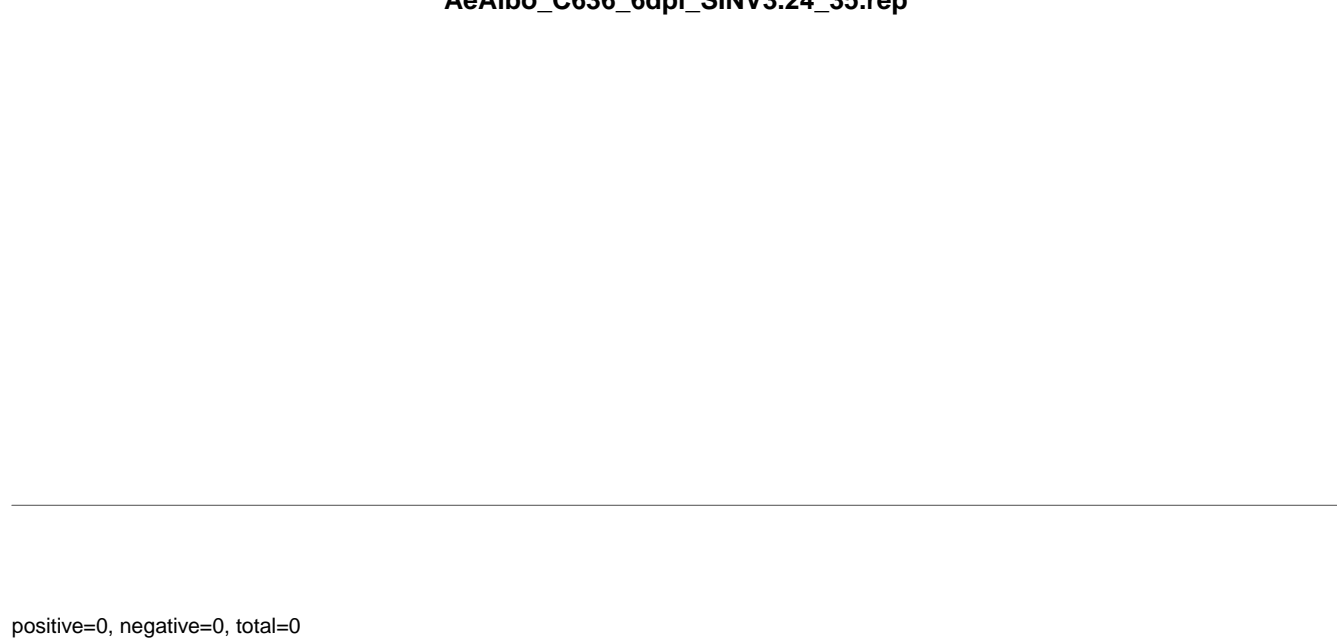
**AeAlbo\_C636\_6dpi\_SINV3.rep**



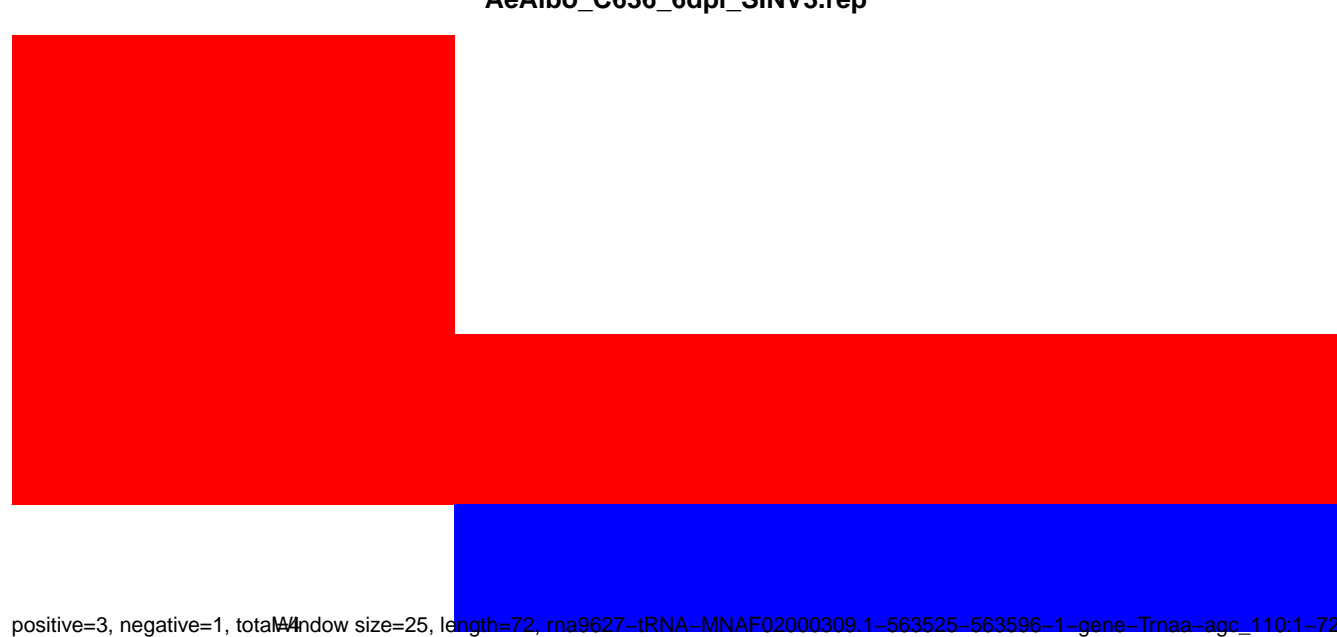
**AeAlbo\_C636\_6dpi\_SINV3.18\_23.rep**



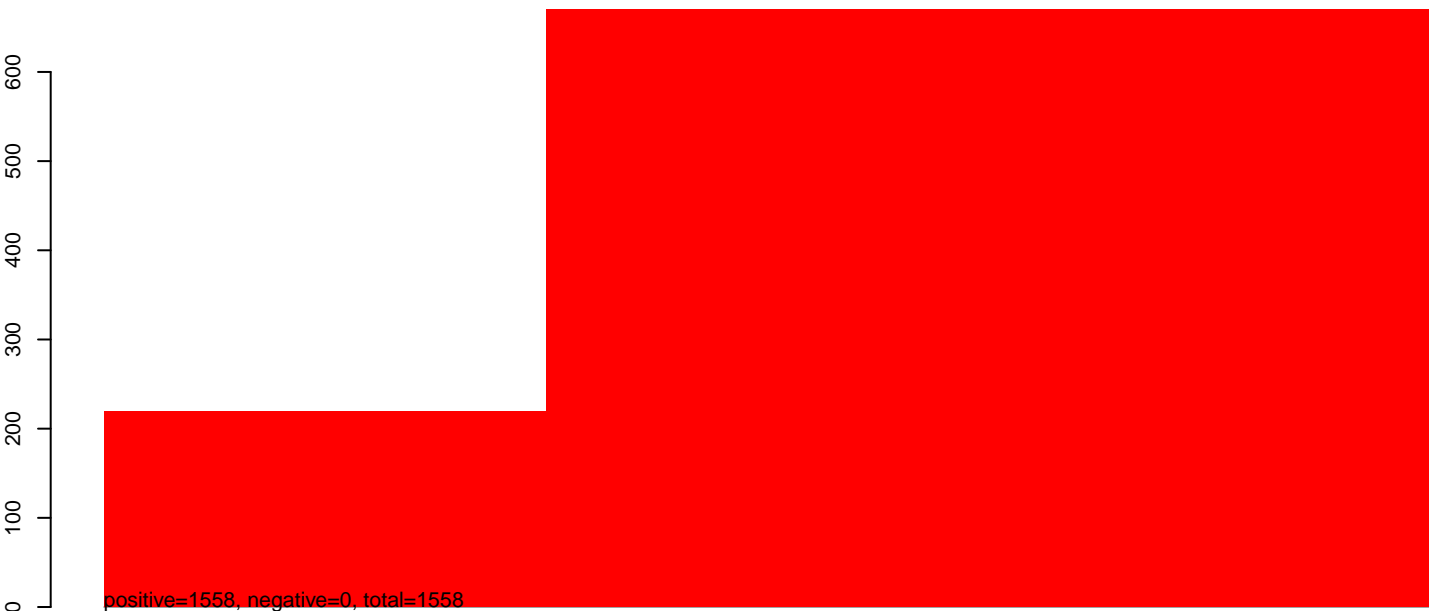
**AeAlbo\_C636\_6dpi\_SINV3.24\_35.rep**



**AeAlbo\_C636\_6dpi\_SINV3.rep**



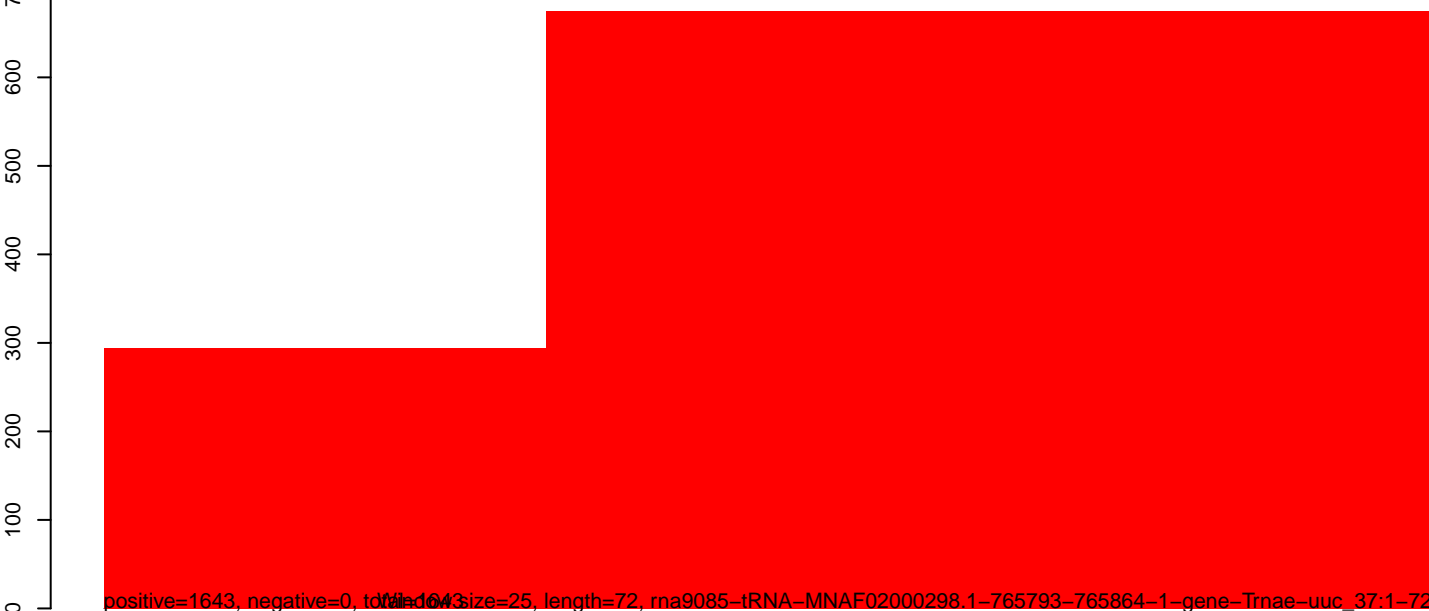
AeAlbo\_C636\_6dpi\_SINV3.18\_23.rep



AeAlbo\_C636\_6dpi\_SINV3.24\_35.rep



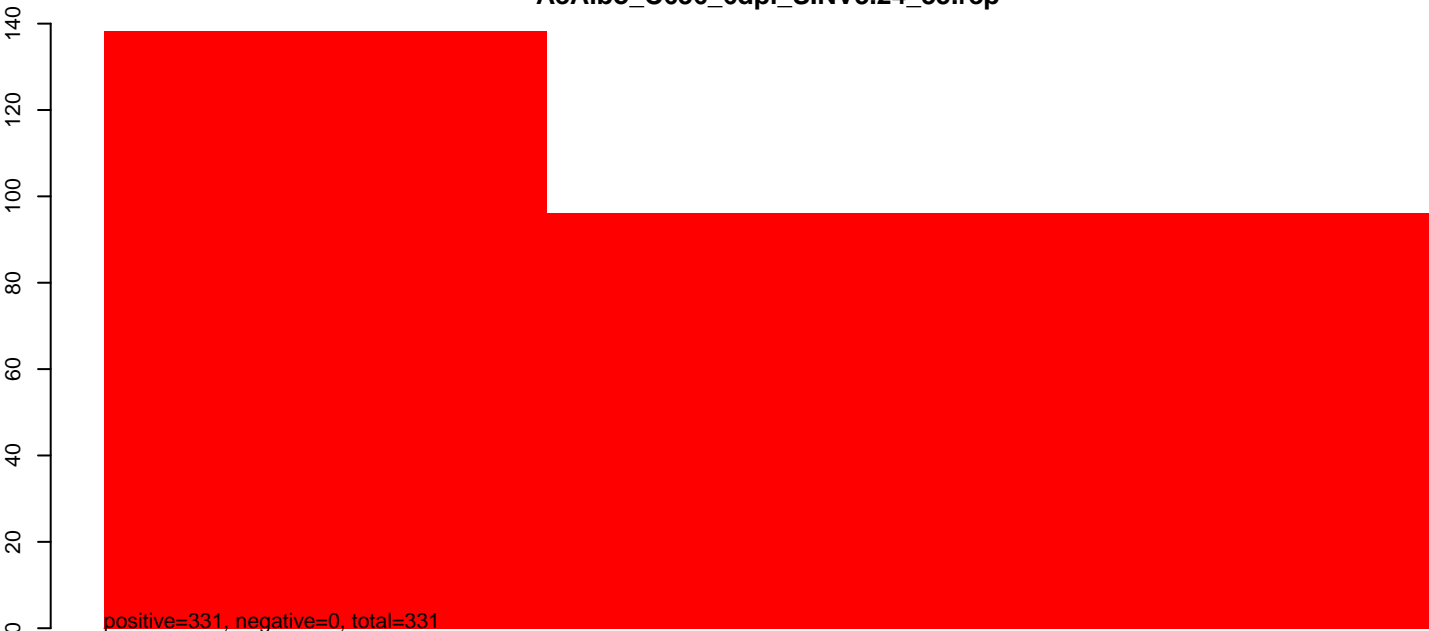
AeAlbo\_C636\_6dpi\_SINV3.rep



AeAlbo\_C636\_6dpi\_SINV3.18\_23.rep



AeAlbo\_C636\_6dpi\_SINV3.24\_35.rep



AeAlbo\_C636\_6dpi\_SINV3.rep



40 60 80 100  
window size=25, length=72, rna8496-tRNA-MNAF02000283.1-38522-38593-1-gene-Trnad-guc\_56:1-72



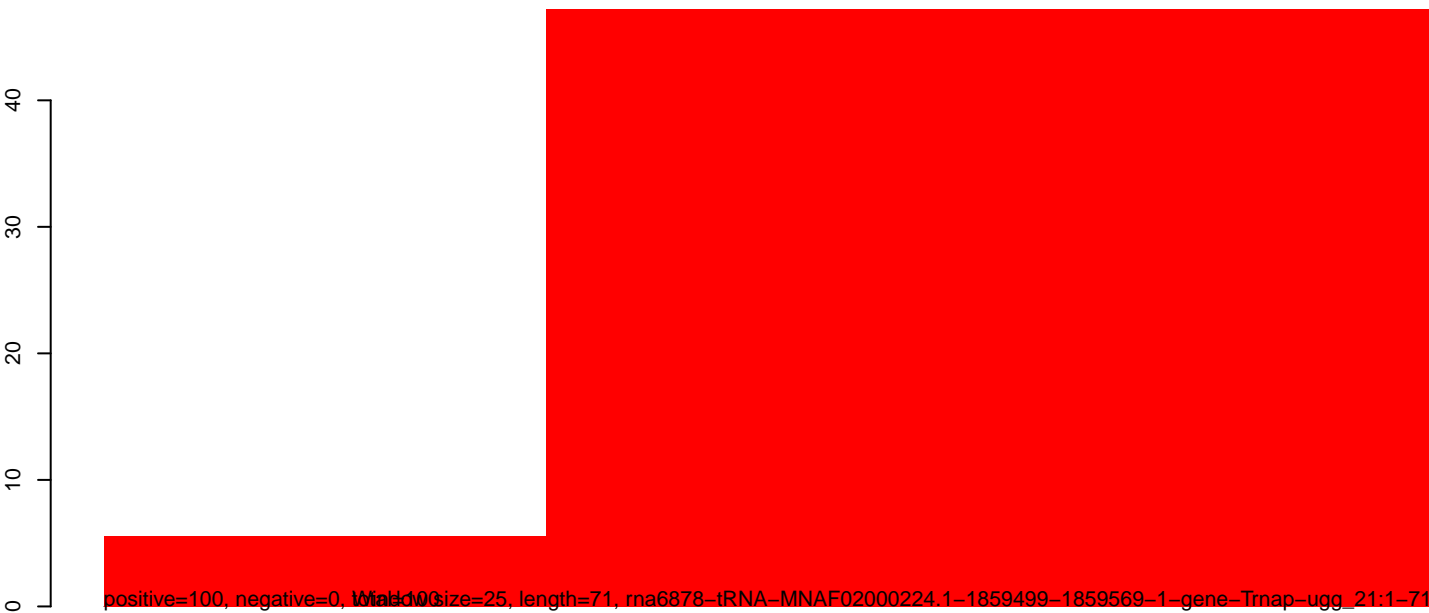
AeAlbo\_C636\_6dpi\_SINV3.18\_23.rep



AeAlbo\_C636\_6dpi\_SINV3.24\_35.rep

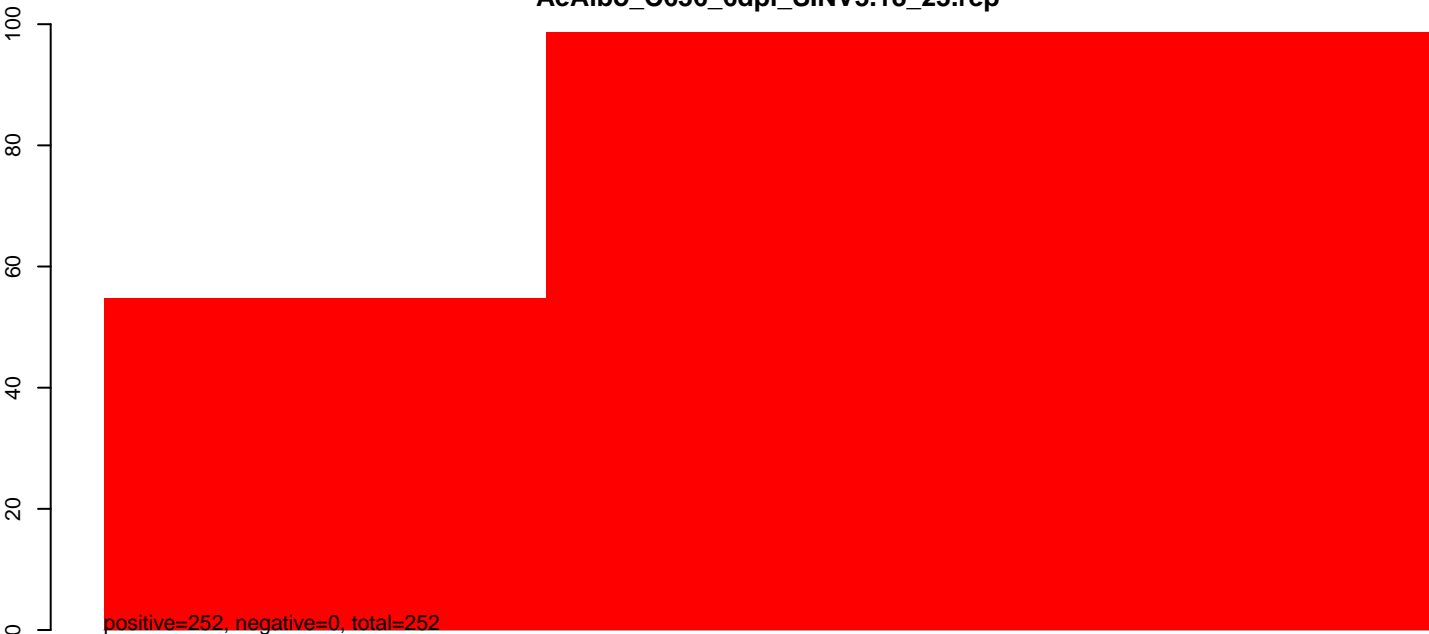


AeAlbo\_C636\_6dpi\_SINV3.rep



40 60 80 100

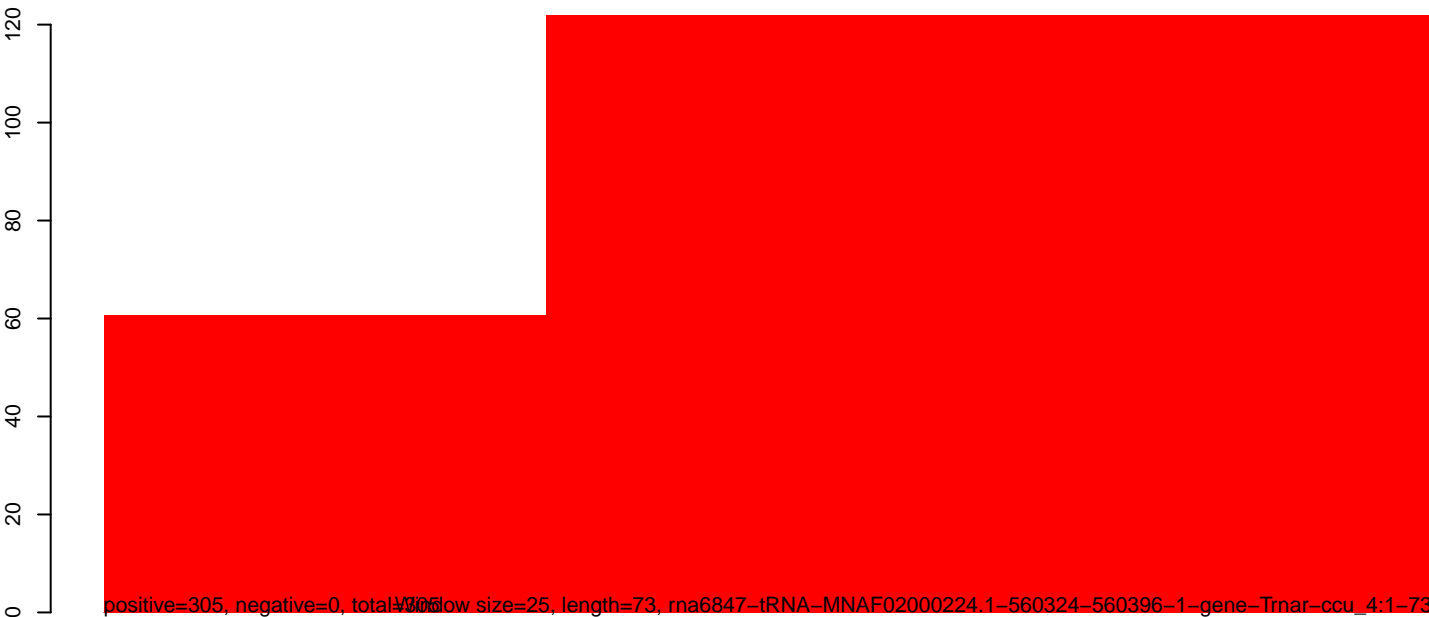
**AeAlbo\_C636\_6dpi\_SINV3.18\_23.rep**



**AeAlbo\_C636\_6dpi\_SINV3.24\_35.rep**

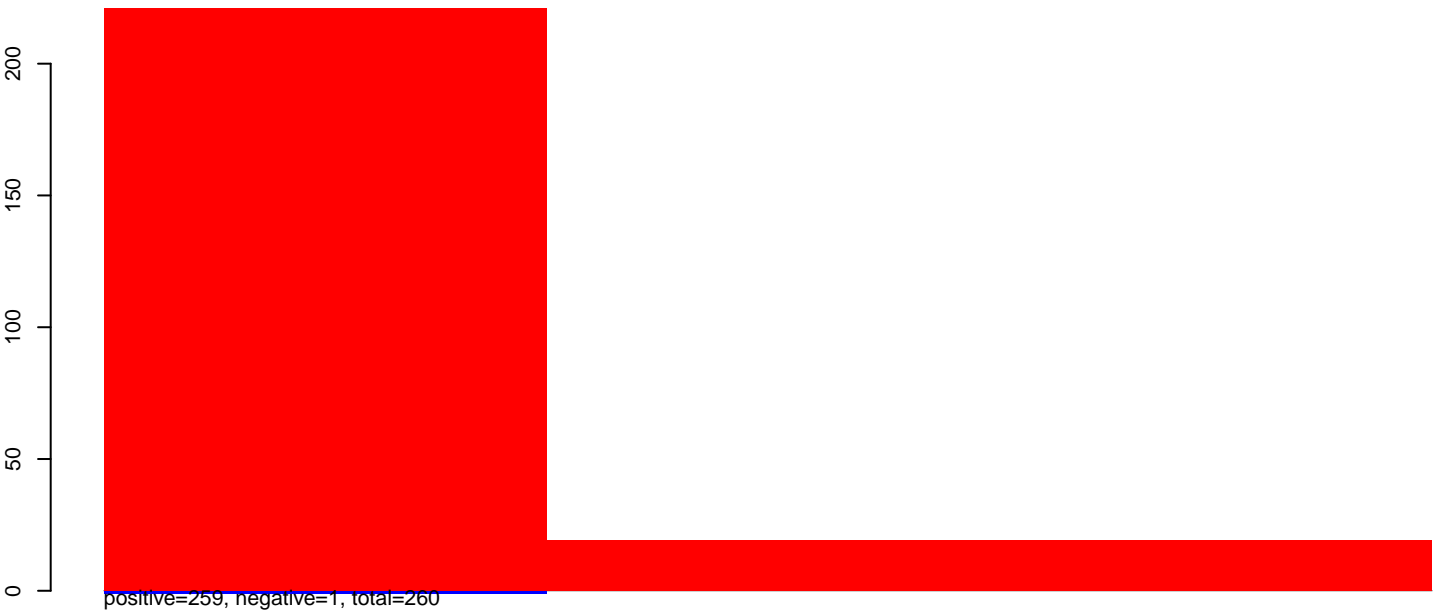


**AeAlbo\_C636\_6dpi\_SINV3.rep**

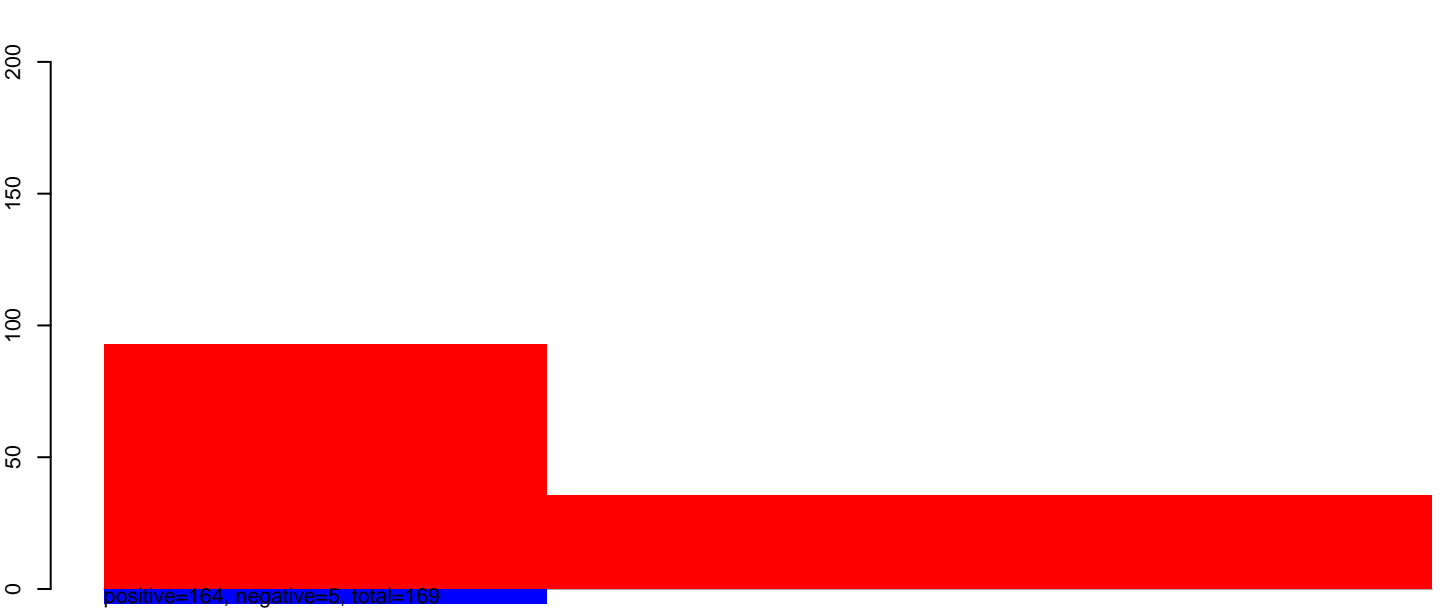


40 60 80 100

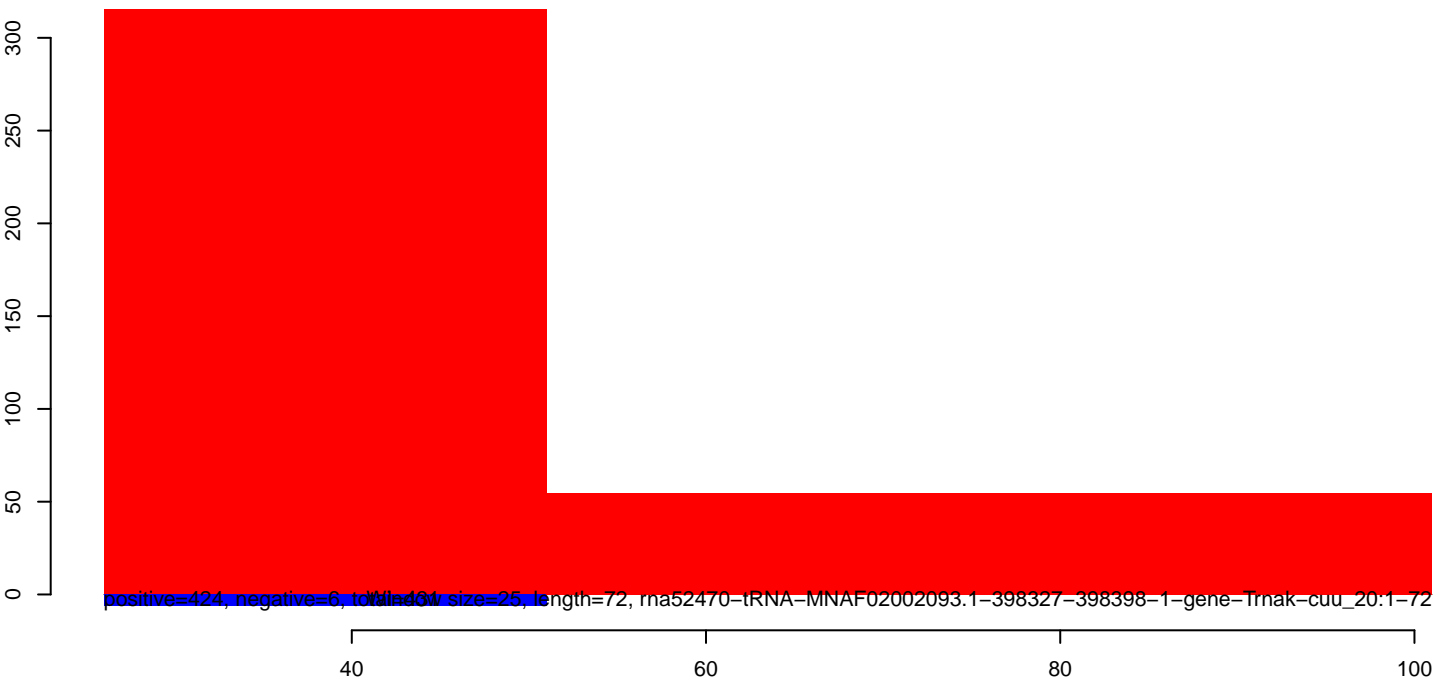
AeAlbo\_C636\_6dpi\_SINV3.18\_23.rep



AeAlbo\_C636\_6dpi\_SINV3.24\_35.rep



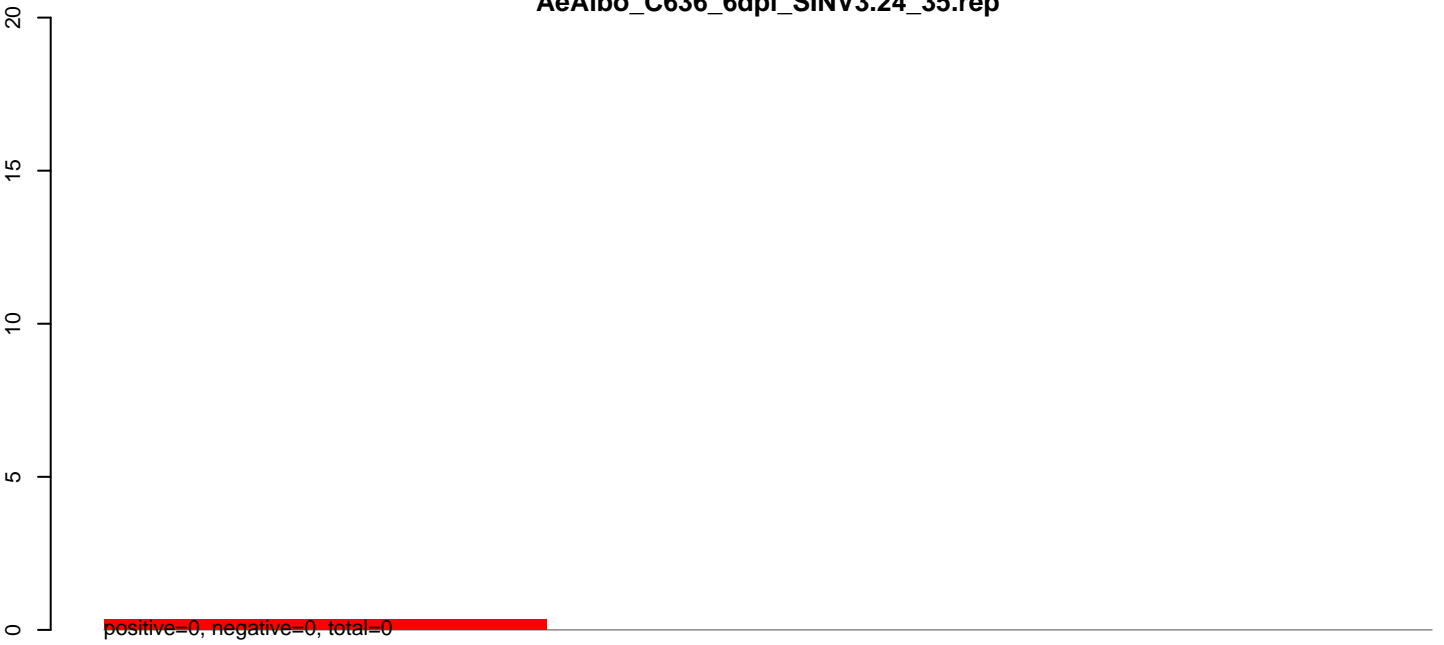
AeAlbo\_C636\_6dpi\_SINV3.rep



AeAlbo\_C636\_6dpi\_SINV3.18\_23.rep



AeAlbo\_C636\_6dpi\_SINV3.24\_35.rep

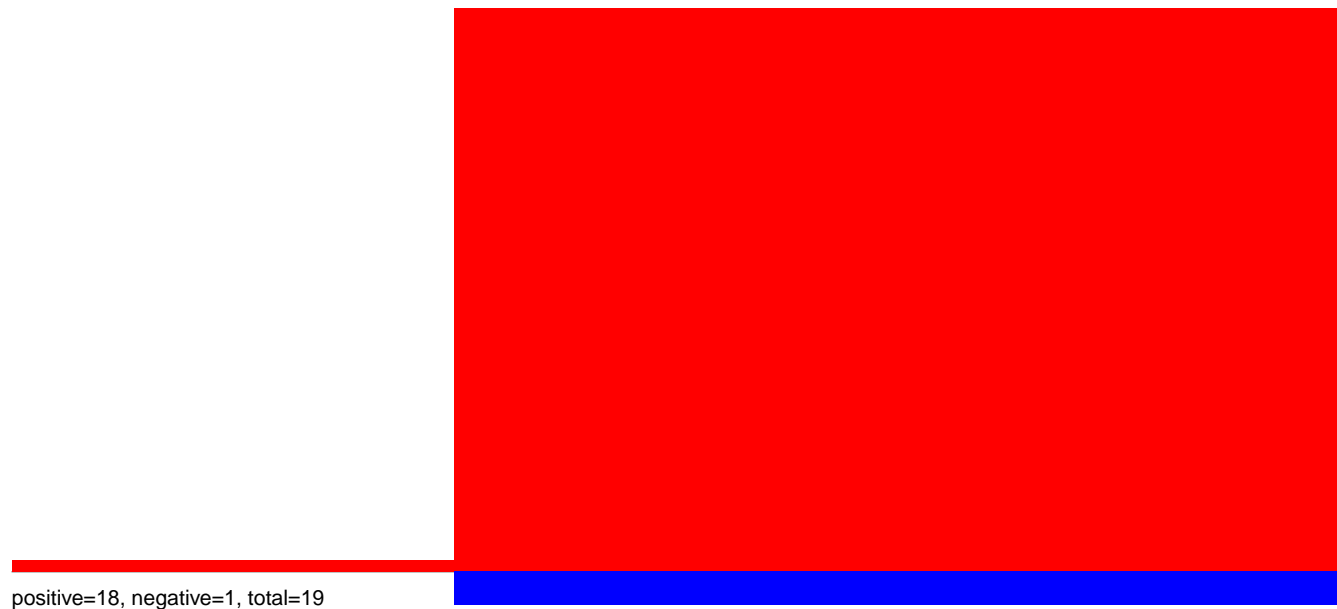


AeAlbo\_C636\_6dpi\_SINV3.rep



40 60 80 100

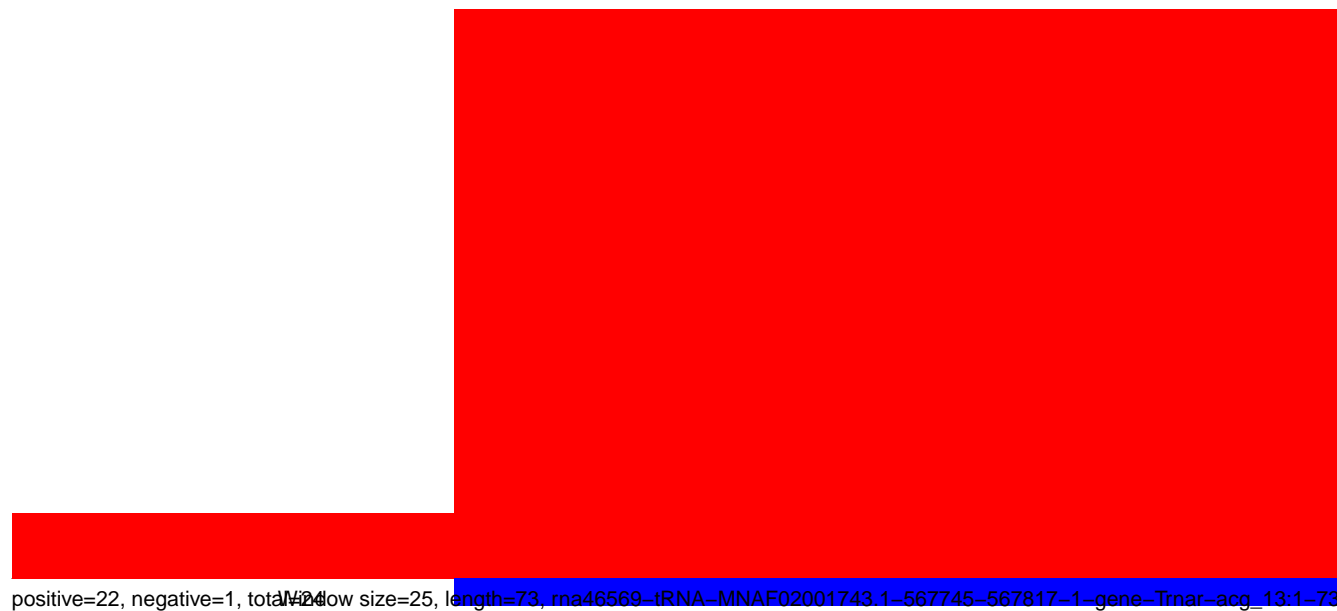
**AeAlbo\_C636\_6dpi\_SINV3.18\_23.rep**



**AeAlbo\_C636\_6dpi\_SINV3.24\_35.rep**

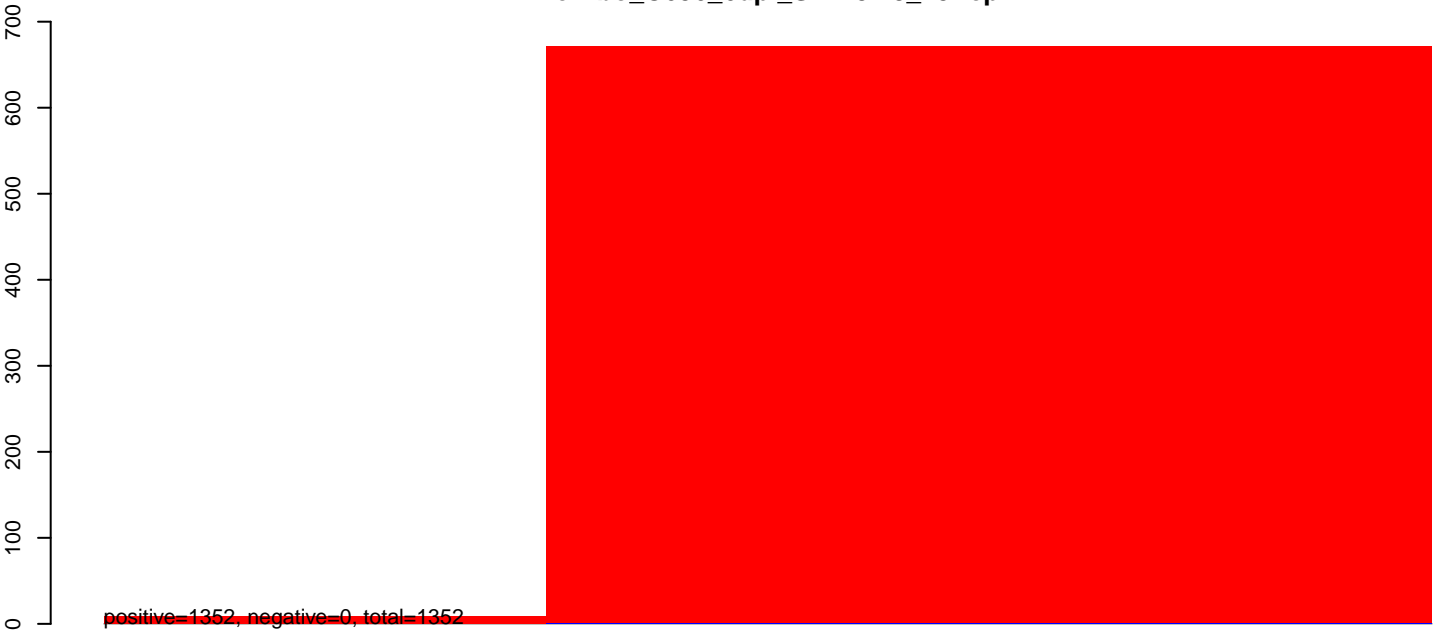


**AeAlbo\_C636\_6dpi\_SINV3.rep**

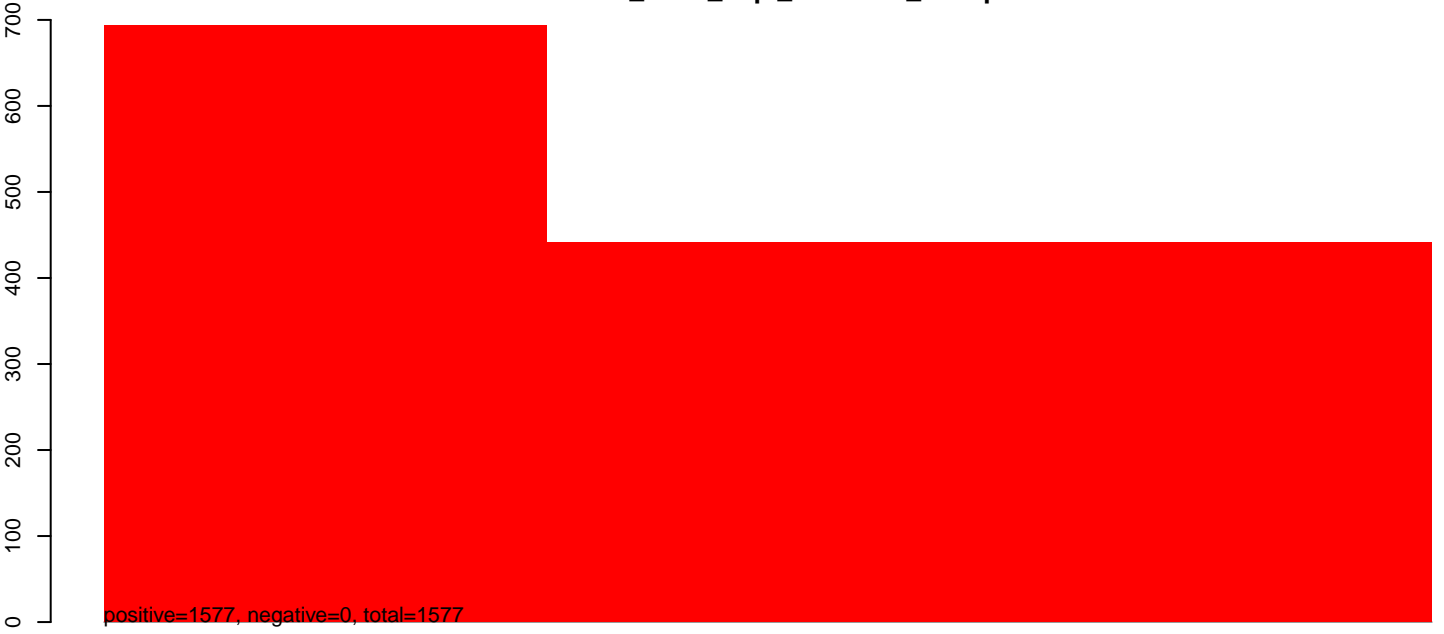


40 60 80 100  
low size=25, length=73, rna46569-irna-MNAF02001743.1-567745-567817-1-gene-Trnar-acg\_13:1-73

AeAlbo\_C636\_6dpi\_SINV3.18\_23.rep



AeAlbo\_C636\_6dpi\_SINV3.24\_35.rep

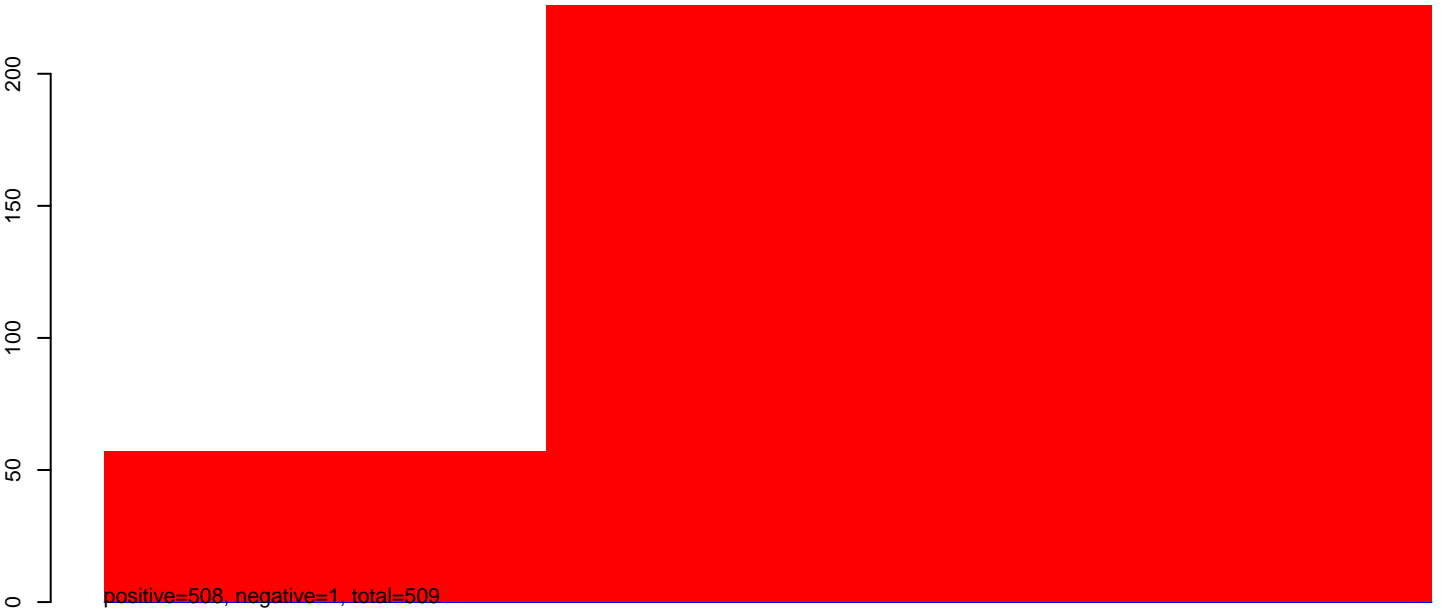


AeAlbo\_C636\_6dpi\_SINV3.rep



40 60 80 100  
Wnt2031 size=25, length=72, rna45123-tRNA-MNAF02001685.1-428915-428986-1-gene-TrnaG-ucc\_27:1-72

AeAlbo\_C636\_6dpi\_SINV3.18\_23.rep



AeAlbo\_C636\_6dpi\_SINV3.24\_35.rep



AeAlbo\_C636\_6dpi\_SINV3.rep

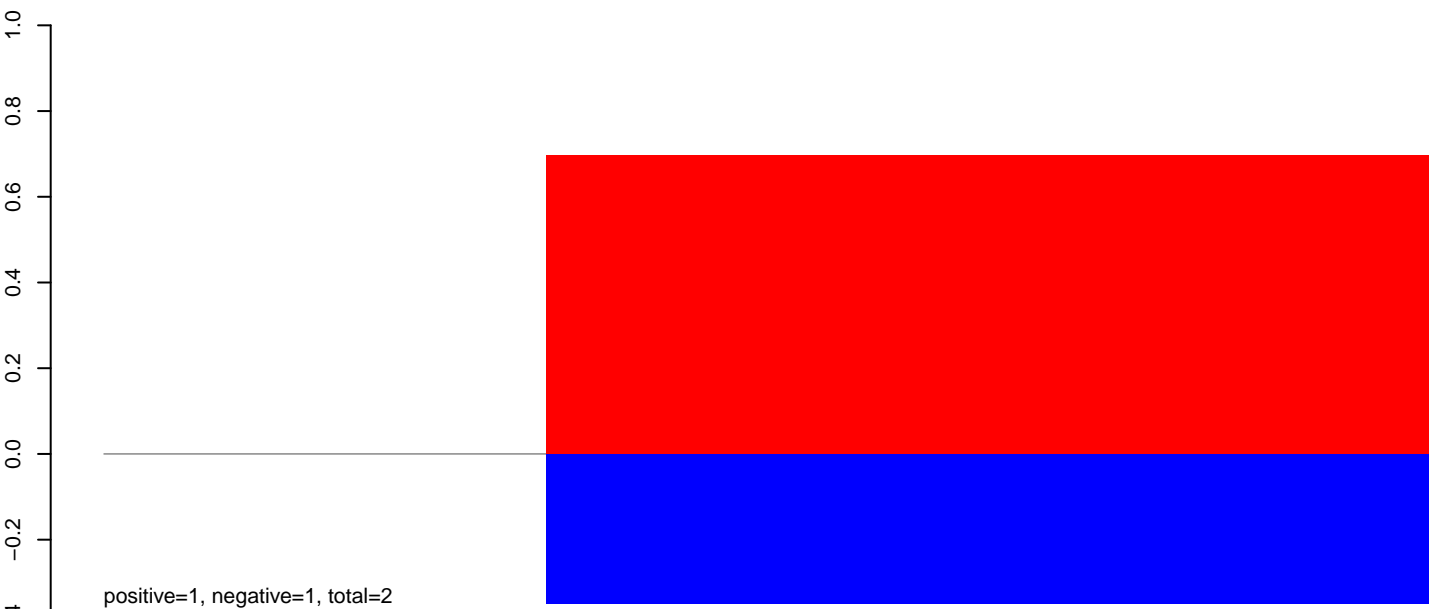


40 60 80 100  
M4601w size=25, length=72, rna44254-tRNA-MNAF02001668.1-626770-626841-1-gene-Trnaq-cug\_6:1-72

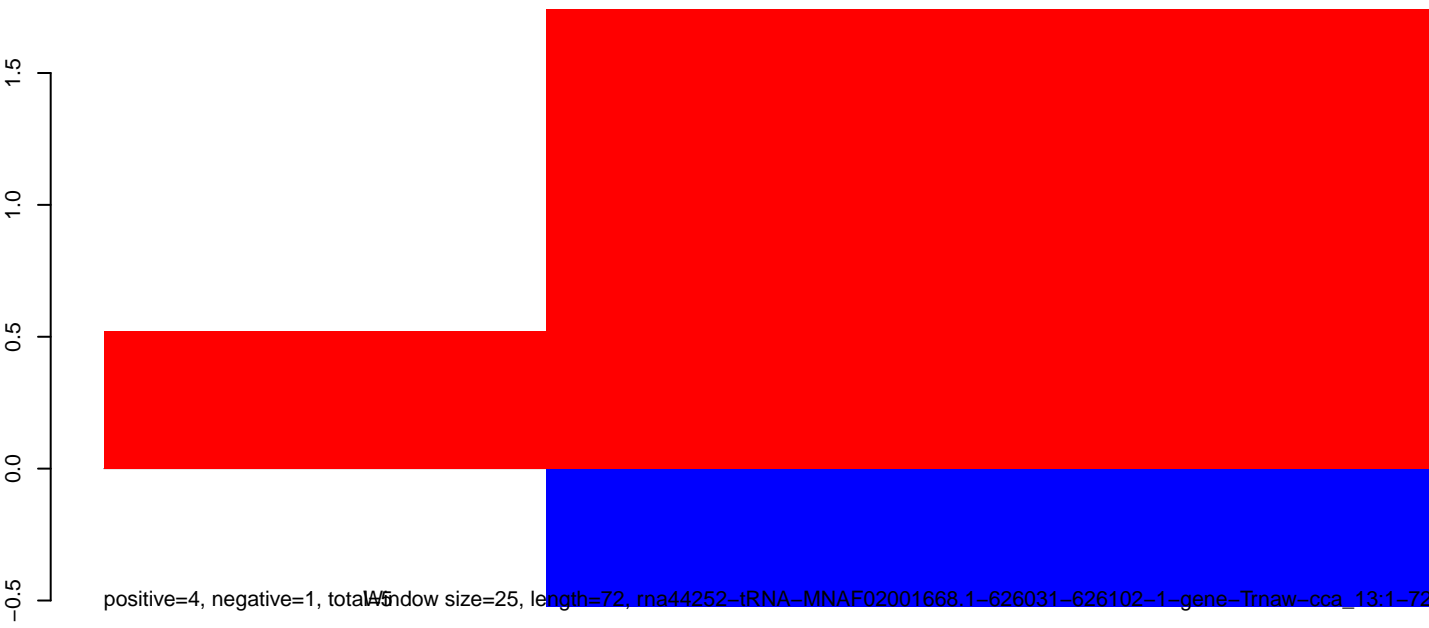
**AeAlbo\_C636\_6dpi\_SINV3.18\_23.rep**



**AeAlbo\_C636\_6dpi\_SINV3.24\_35.rep**

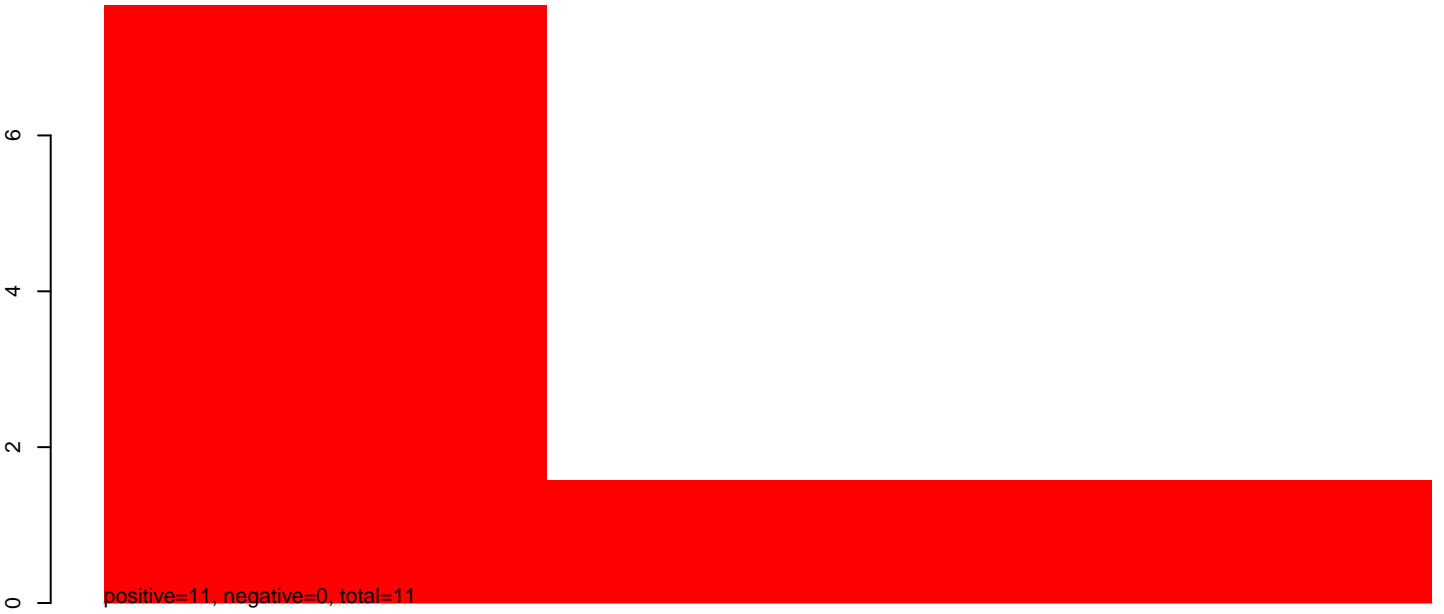


**AeAlbo\_C636\_6dpi\_SINV3.rep**

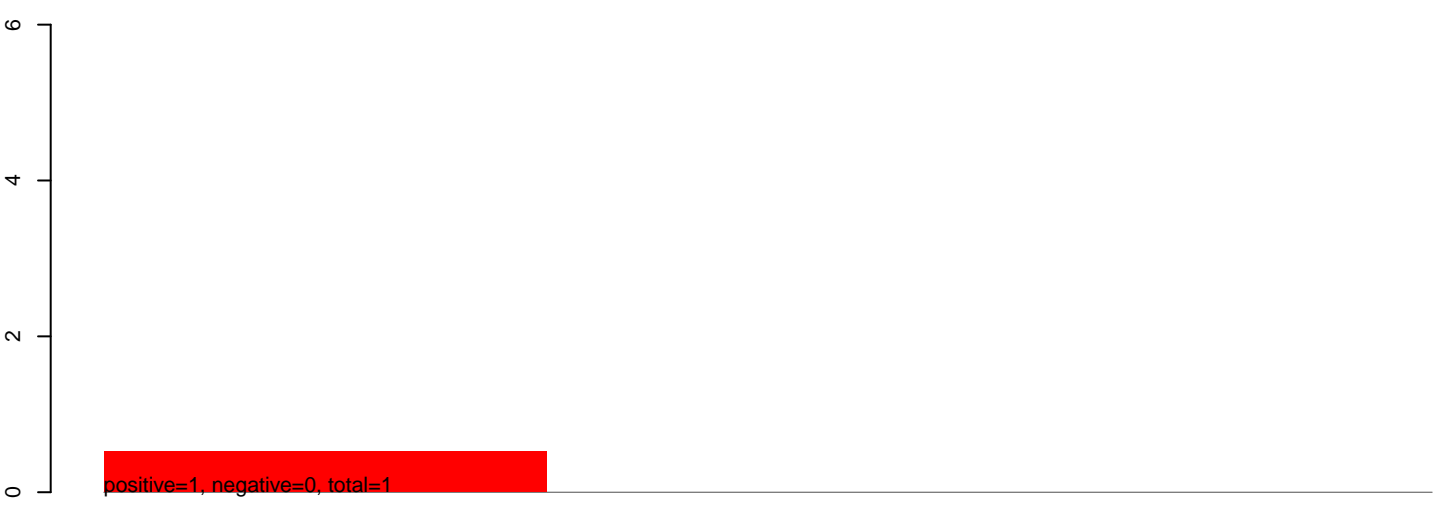




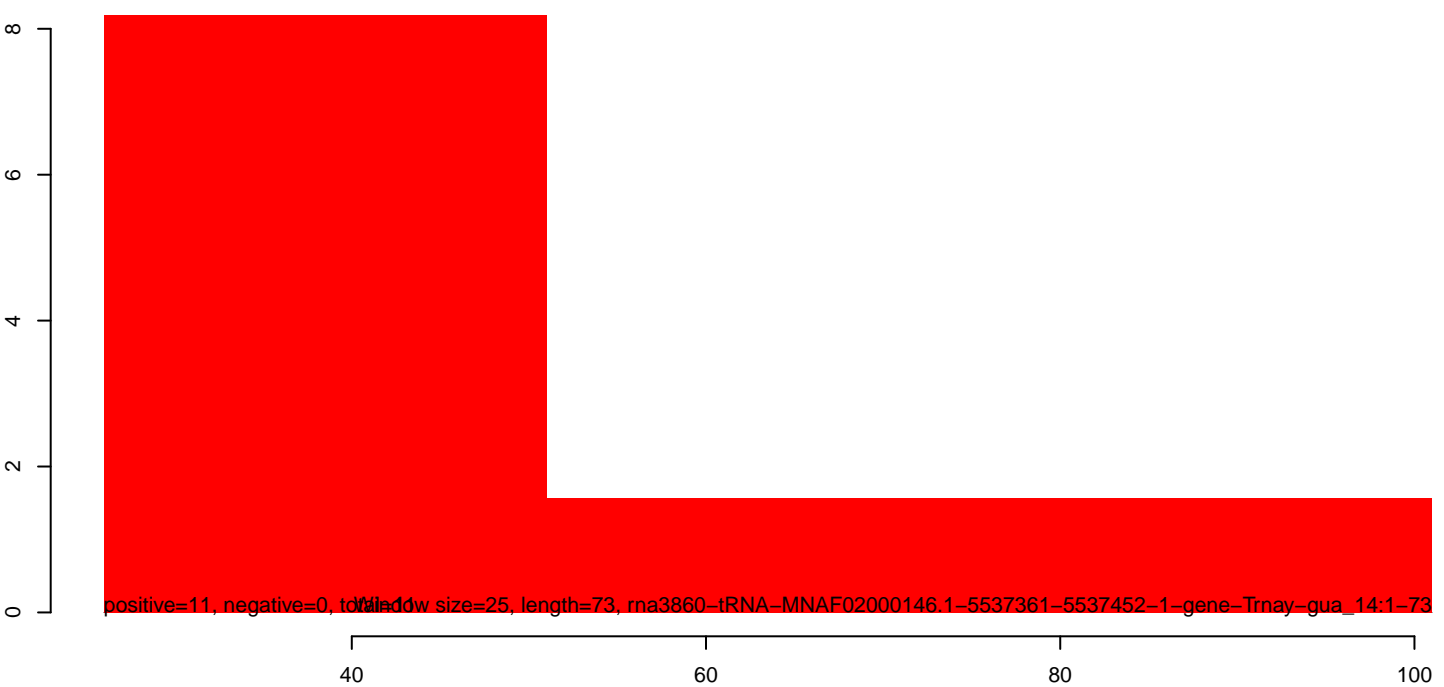
AeAlbo\_C636\_6dpi\_SINV3.18\_23.rep



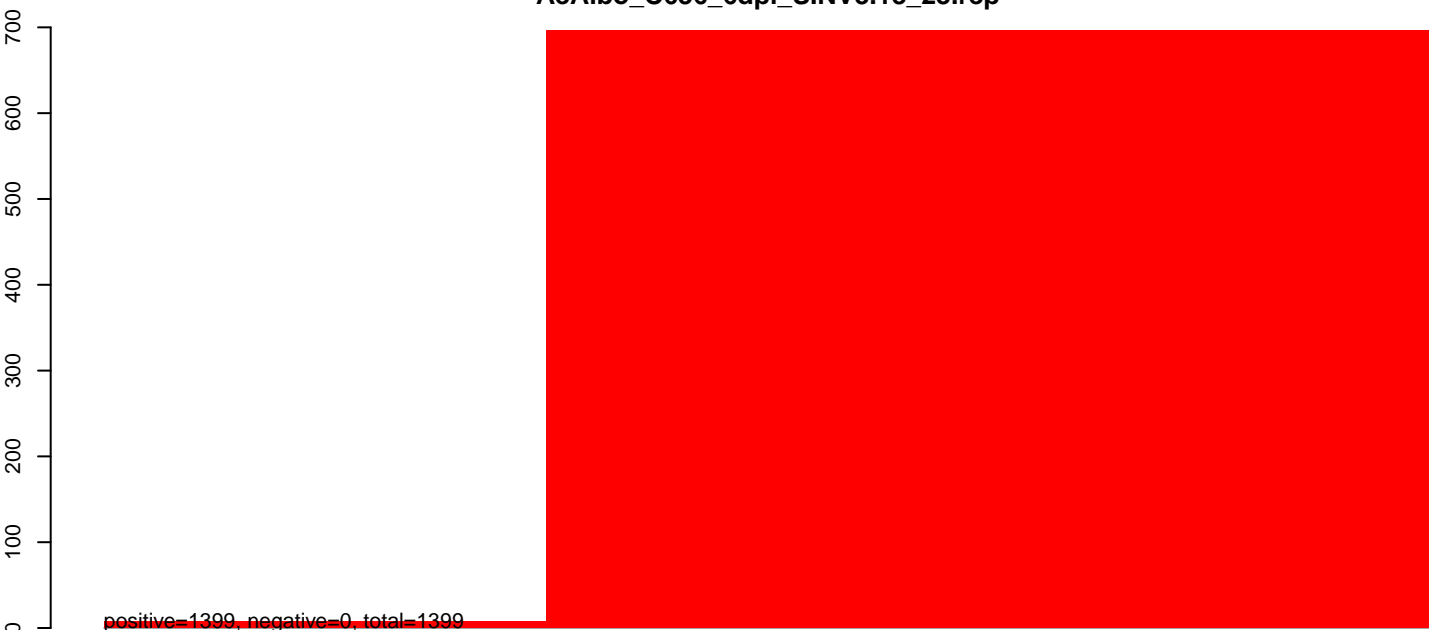
AeAlbo\_C636\_6dpi\_SINV3.24\_35.rep



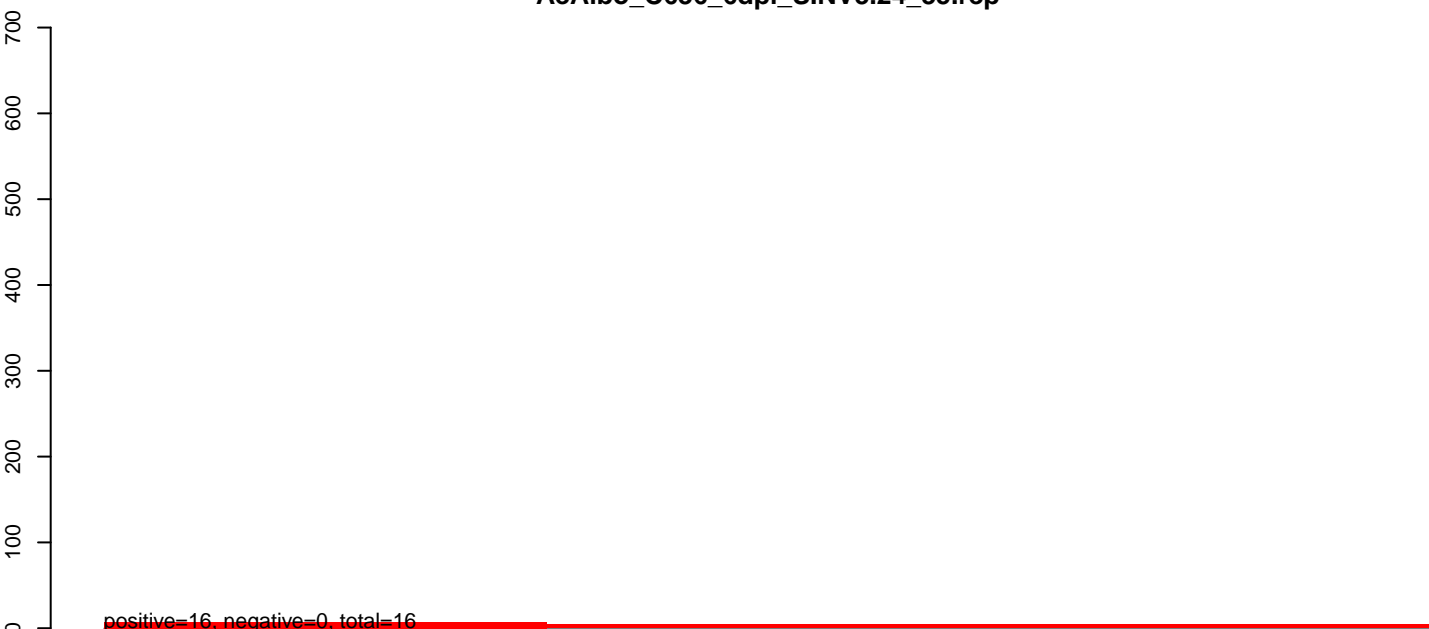
AeAlbo\_C636\_6dpi\_SINV3.rep



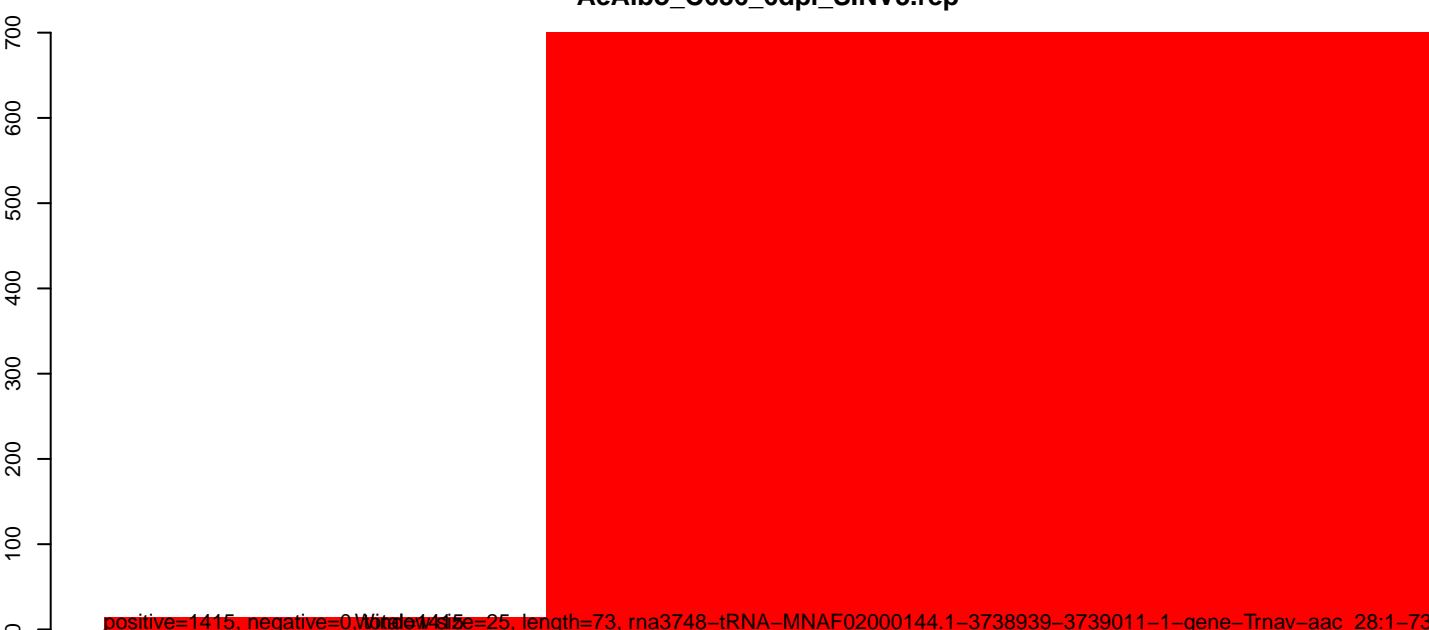
**AeAlbo\_C636\_6dpi\_SINV3.18\_23.rep**



**AeAlbo\_C636\_6dpi\_SINV3.24\_35.rep**

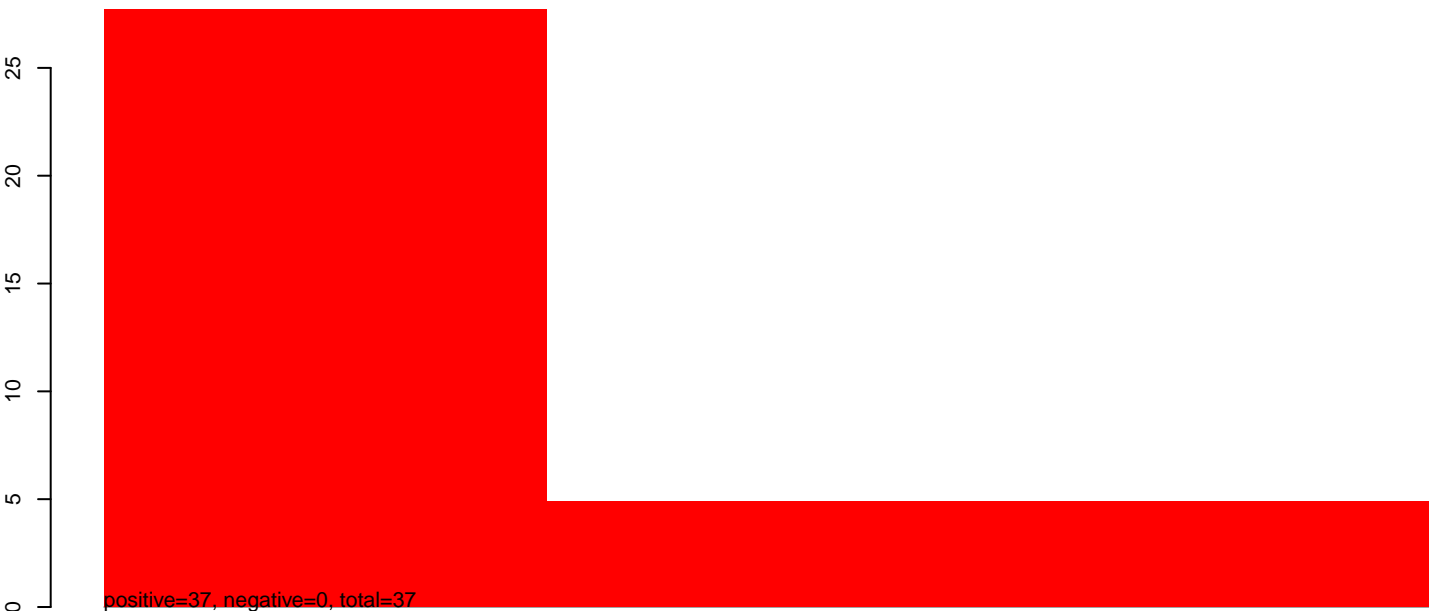


**AeAlbo\_C636\_6dpi\_SINV3.rep**



40 60 80 100

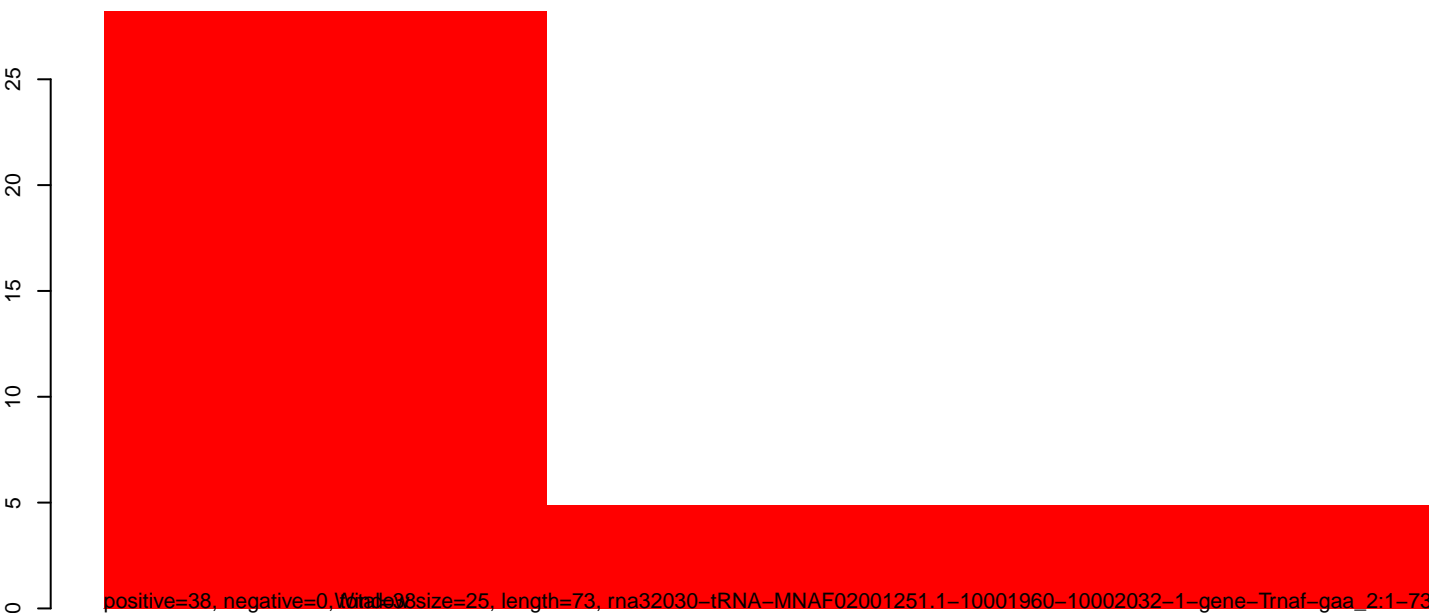
AeAlbo\_C636\_6dpi\_SINV3.18\_23.rep



AeAlbo\_C636\_6dpi\_SINV3.24\_35.rep

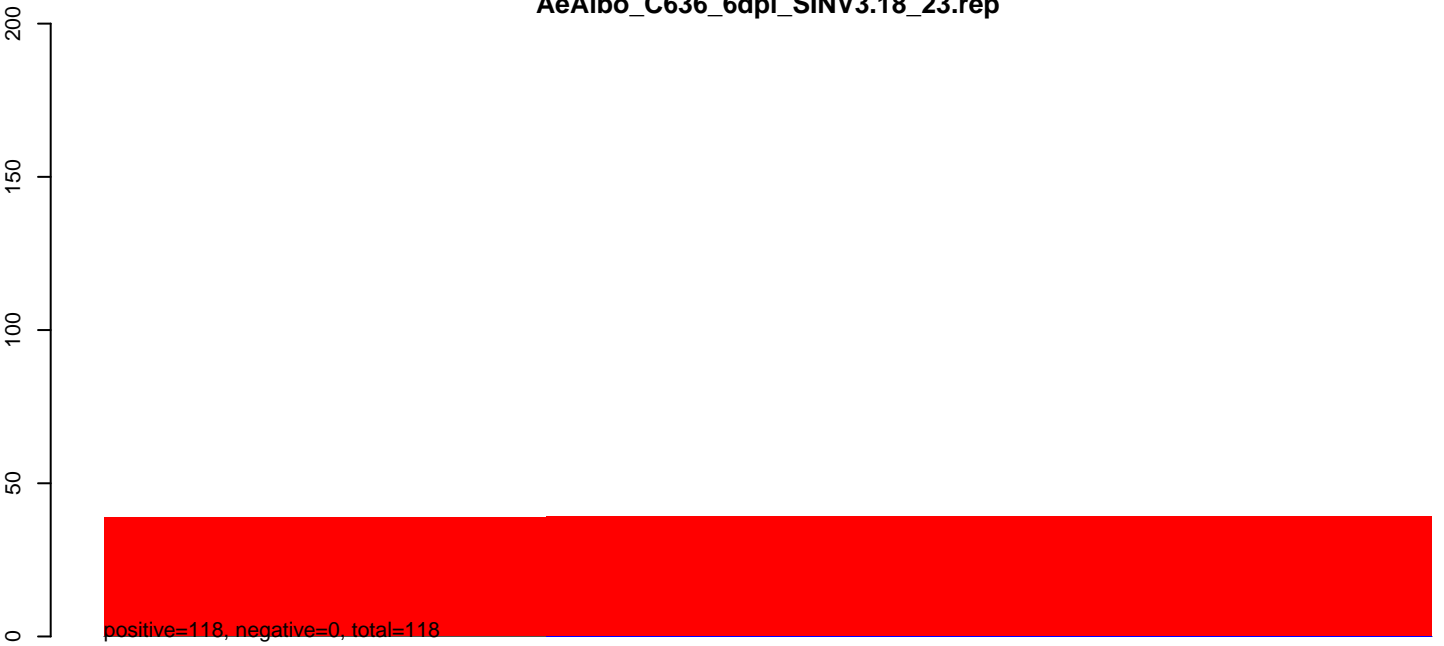


AeAlbo\_C636\_6dpi\_SINV3.rep

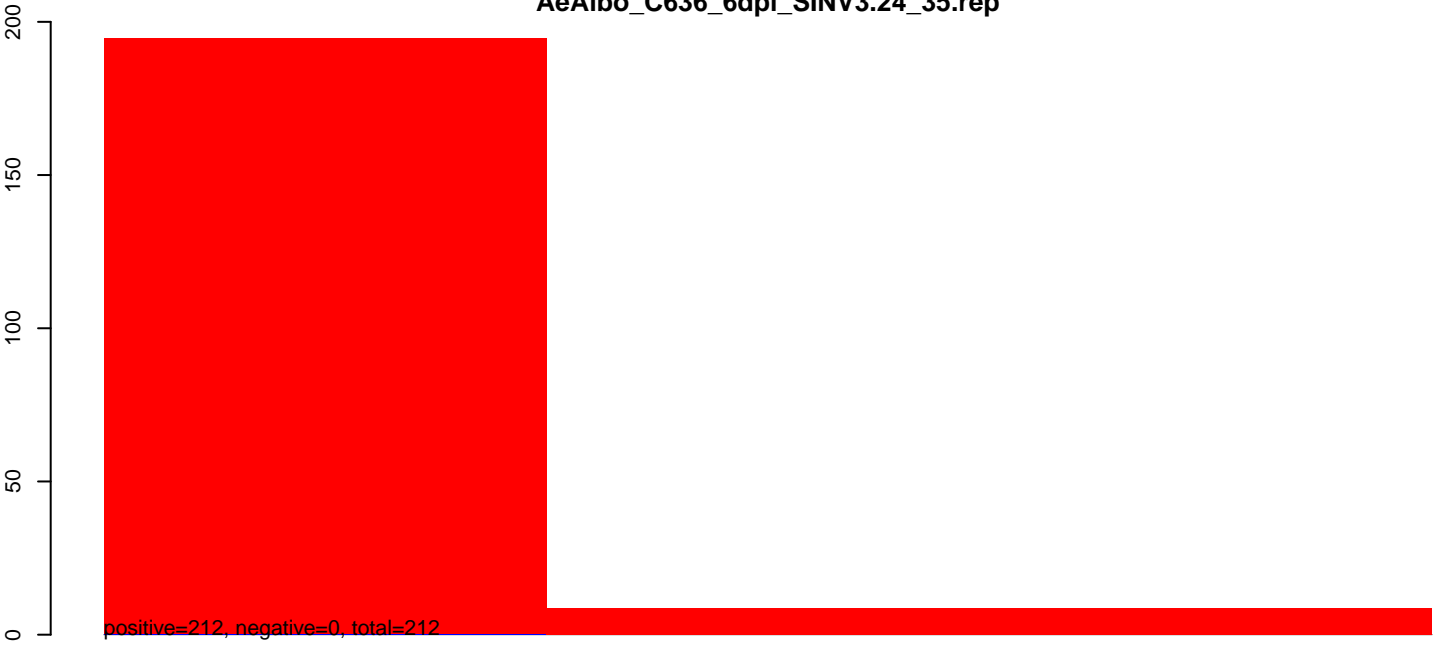


40 60 80 100

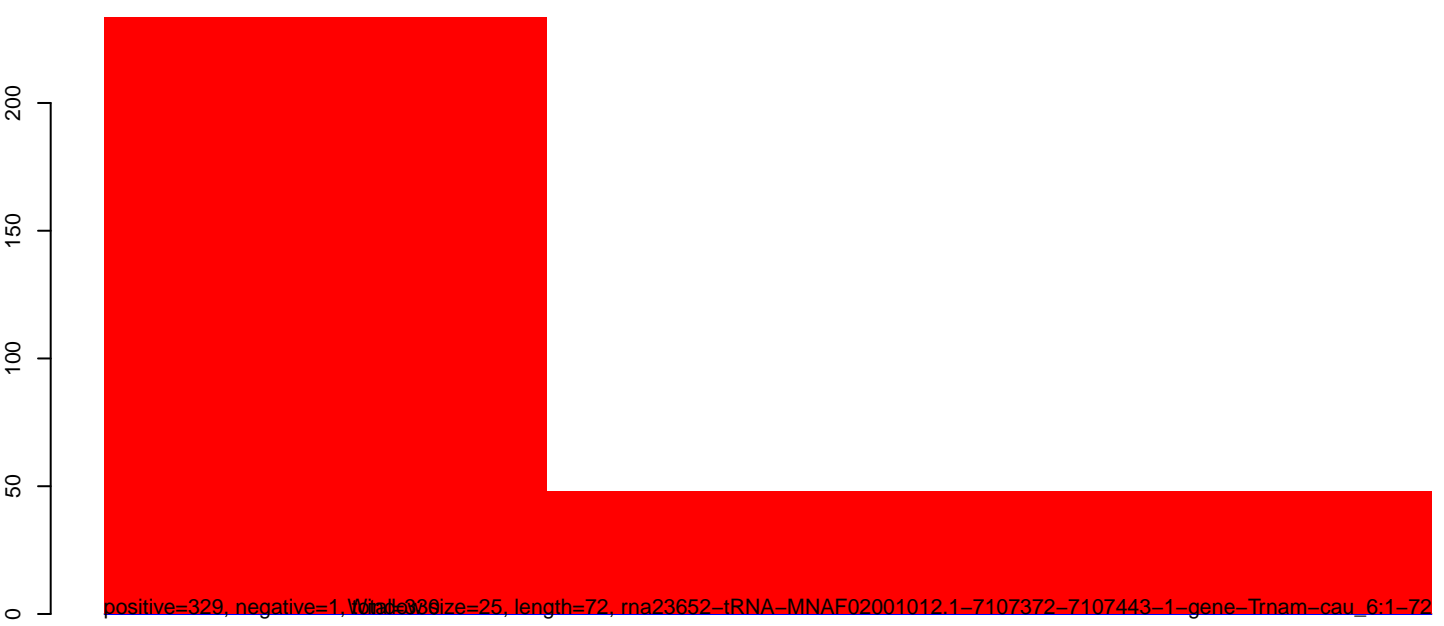
AeAlbo\_C636\_6dpi\_SINV3.18\_23.rep



AeAlbo\_C636\_6dpi\_SINV3.24\_35.rep



AeAlbo\_C636\_6dpi\_SINV3.rep

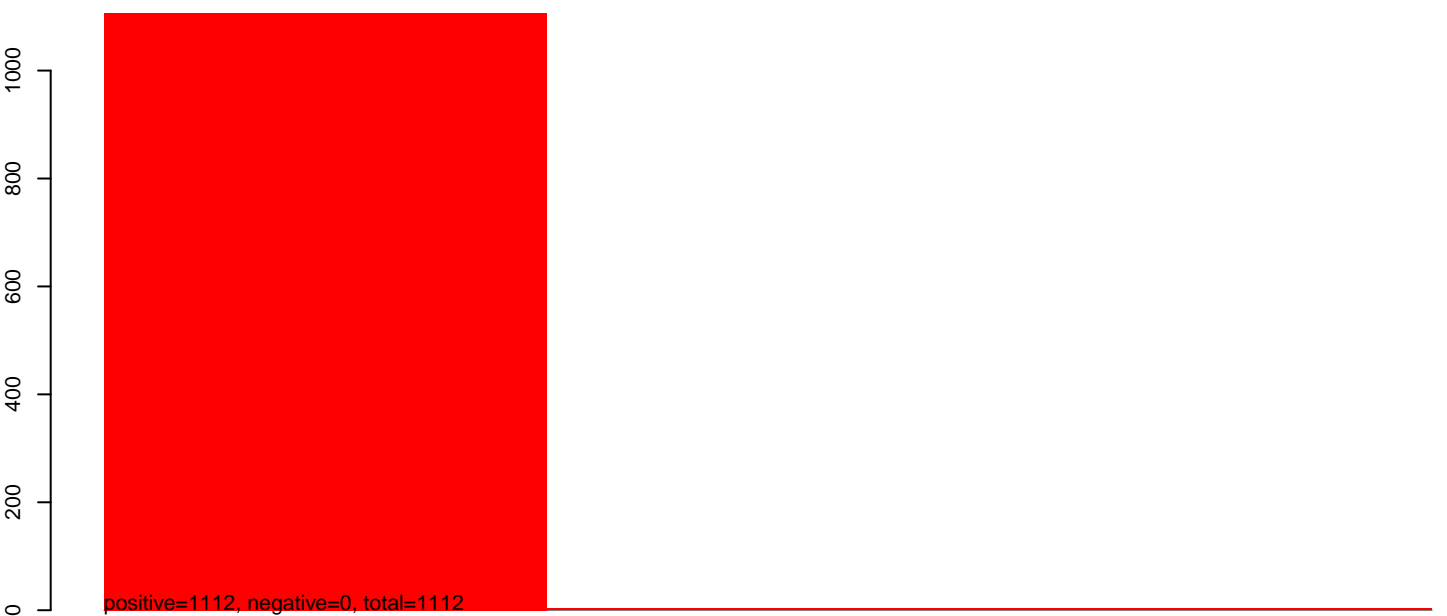


40 60 80 100

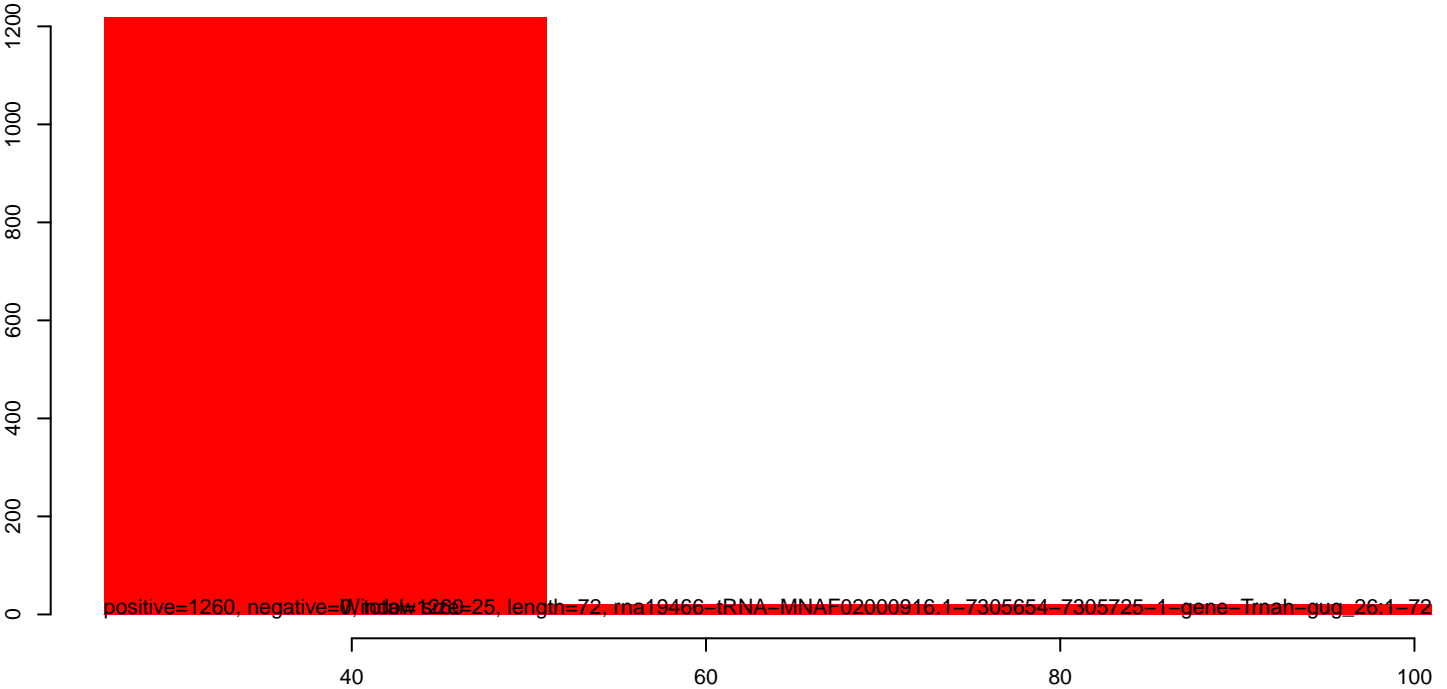
AeAlbo\_C636\_6dpi\_SINV3.18\_23.rep



AeAlbo\_C636\_6dpi\_SINV3.24\_35.rep



AeAlbo\_C636\_6dpi\_SINV3.rep



AeAlbo\_C636\_6dpi\_SINV3.18\_23.rep



AeAlbo\_C636\_6dpi\_SINV3.24\_35.rep



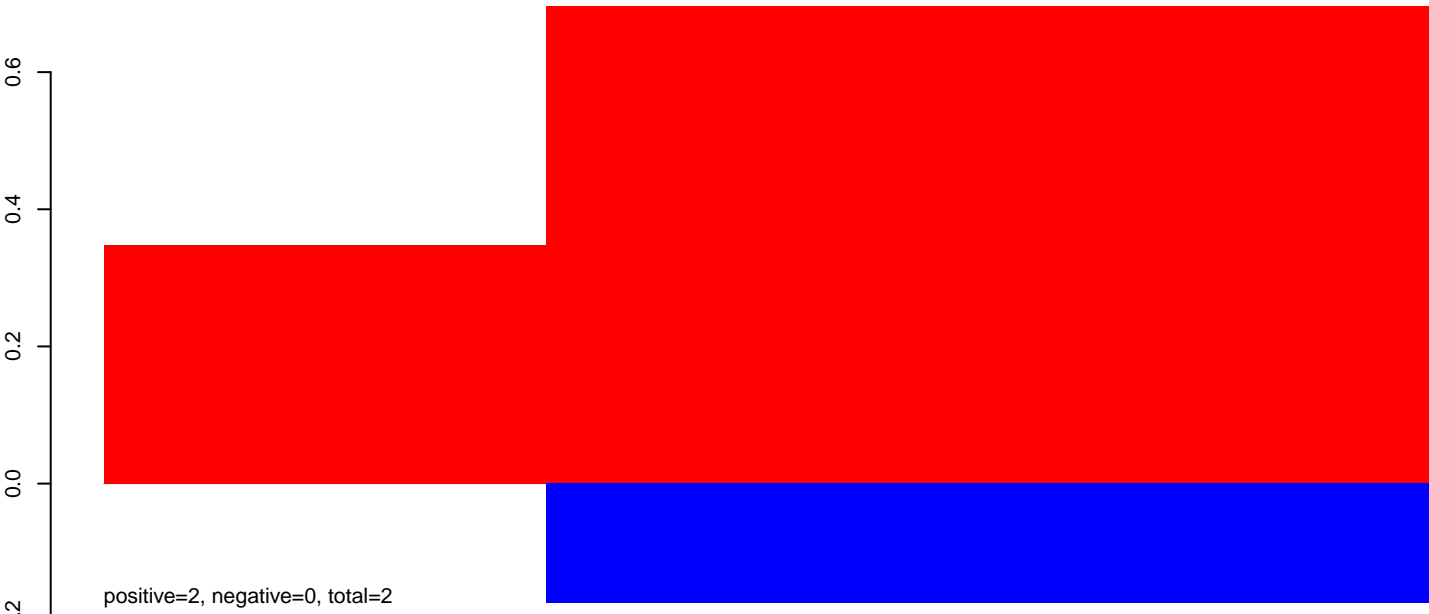
AeAlbo\_C636\_6dpi\_SINV3.rep



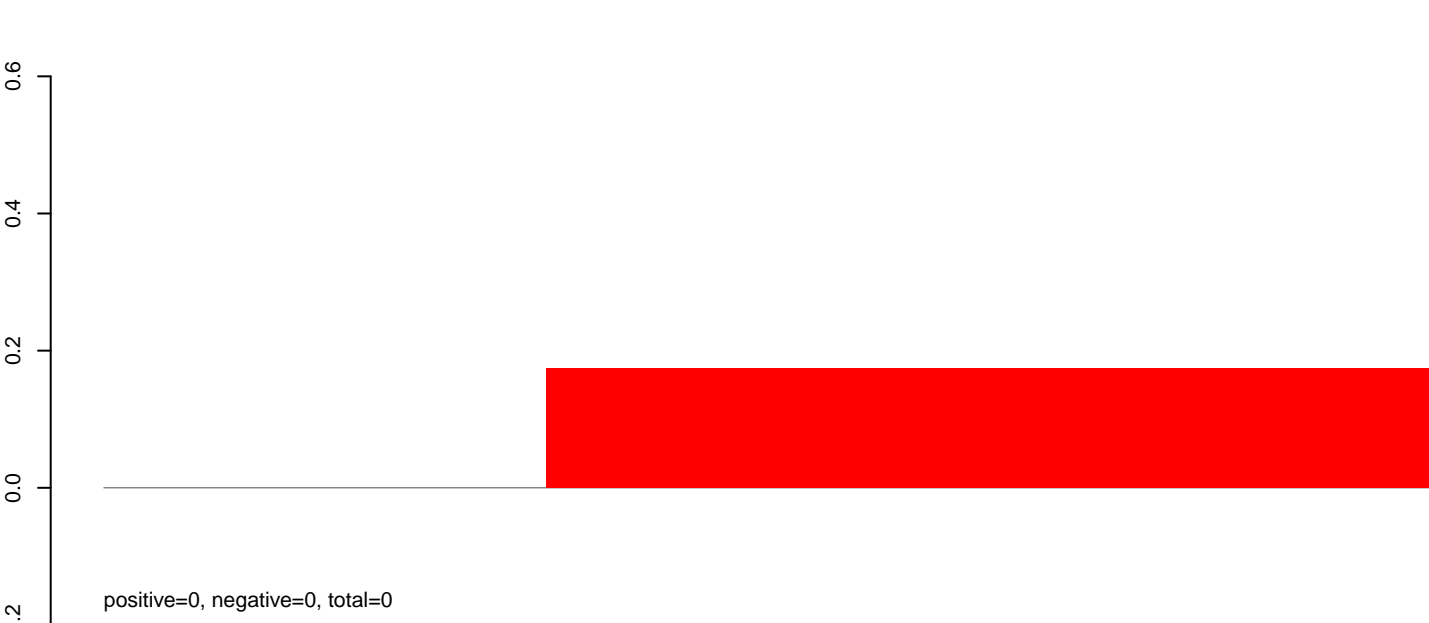
Window size=25, length=74, rna1618-tRNA-MNAF02000048.1-504066-504139-1-gene-Trnai-aau\_27:1-74

40 60 80 100

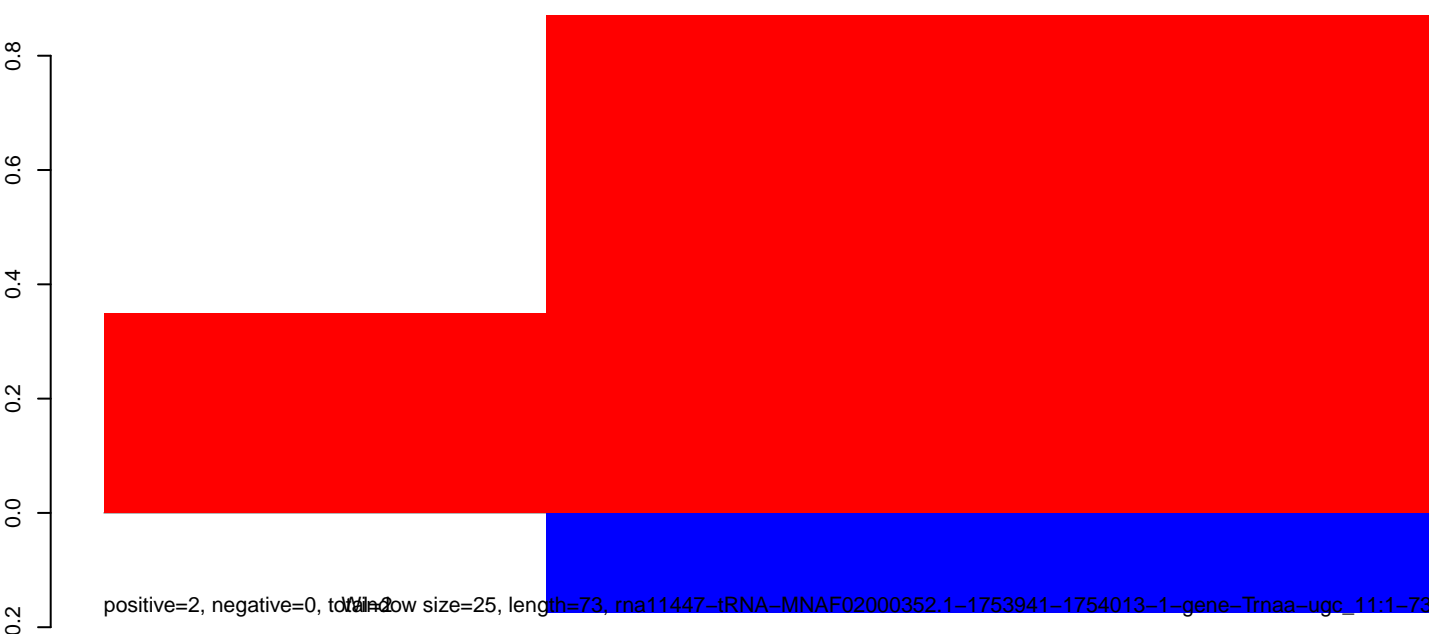
**AeAlbo\_C636\_6dpi\_SINV3.18\_23.rep**



**AeAlbo\_C636\_6dpi\_SINV3.24\_35.rep**



**AeAlbo\_C636\_6dpi\_SINV3.rep**



Window size=25, length=73, ma11447-tRNA-MNAF02000352.1-1753941-1754013-1-gene-Trnaa-ugc\_11:1-73

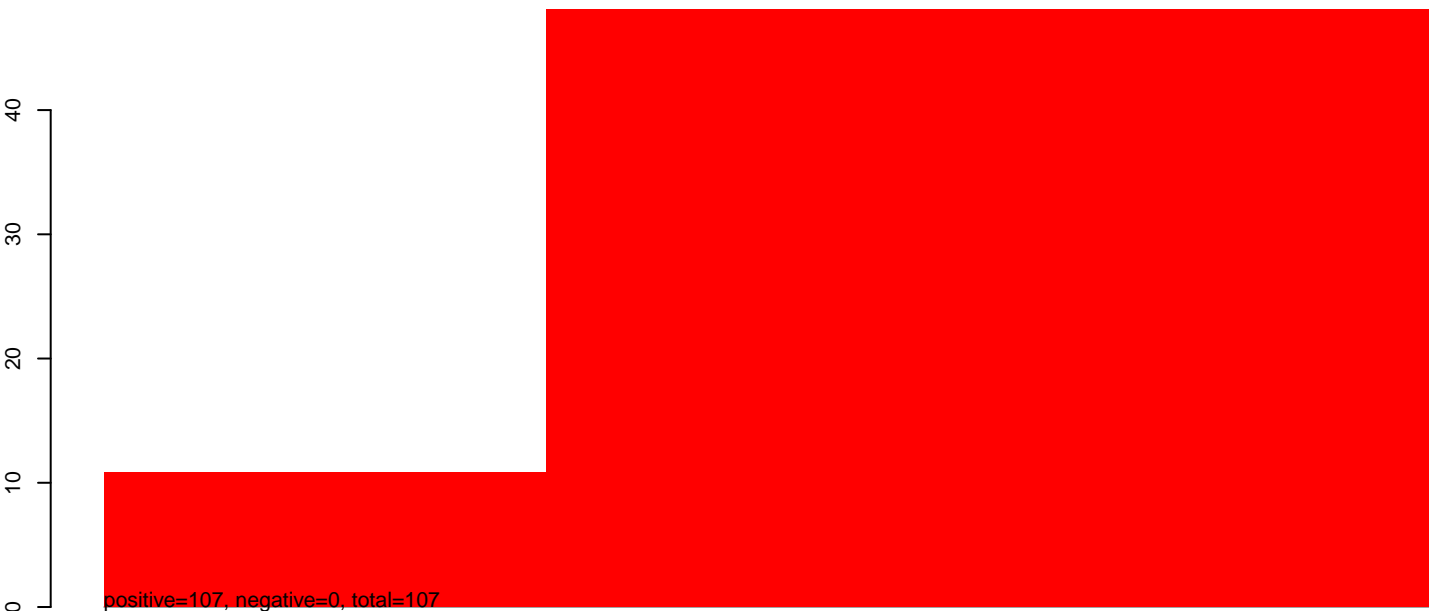
40

60

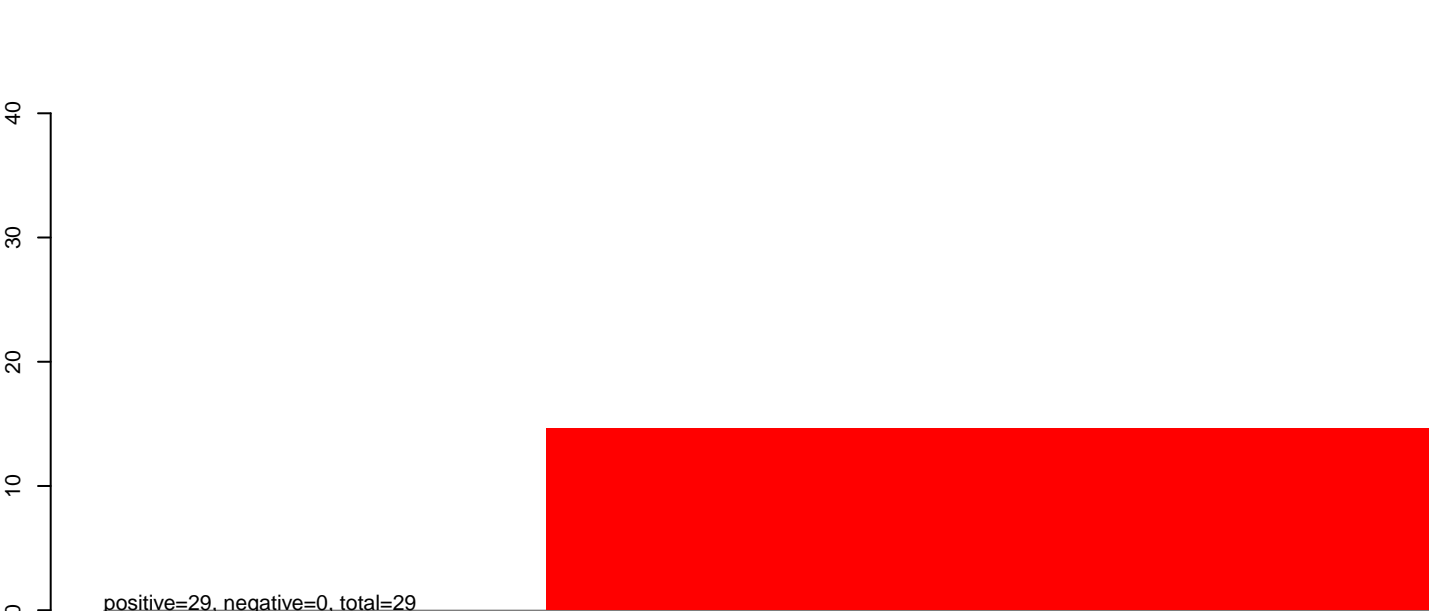
80

100

AeAlbo\_C636\_6dpi\_SINV3.18\_23.rep



AeAlbo\_C636\_6dpi\_SINV3.24\_35.rep

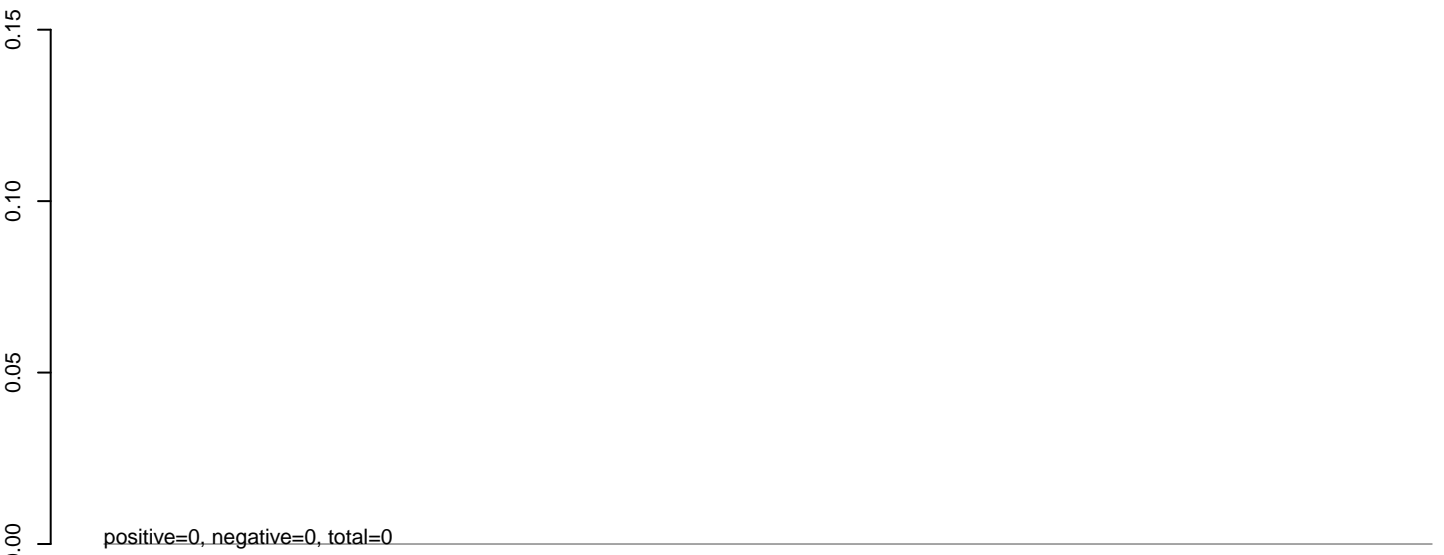


AeAlbo\_C636\_6dpi\_SINV3.rep

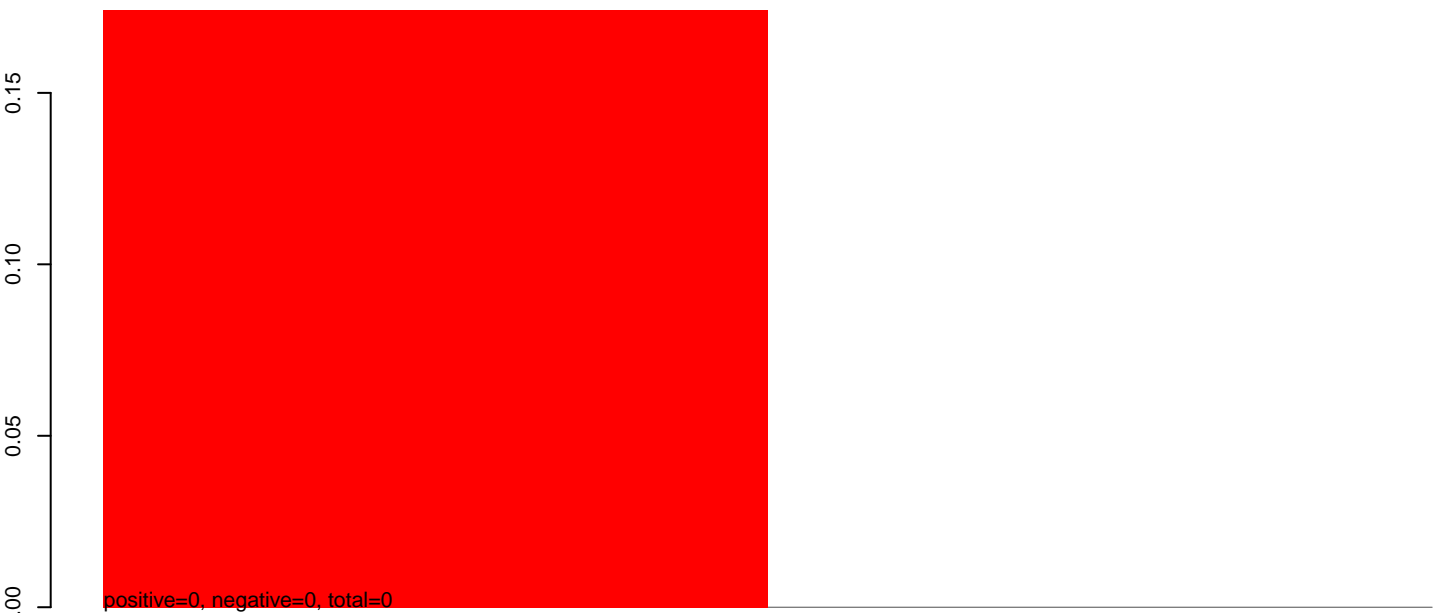




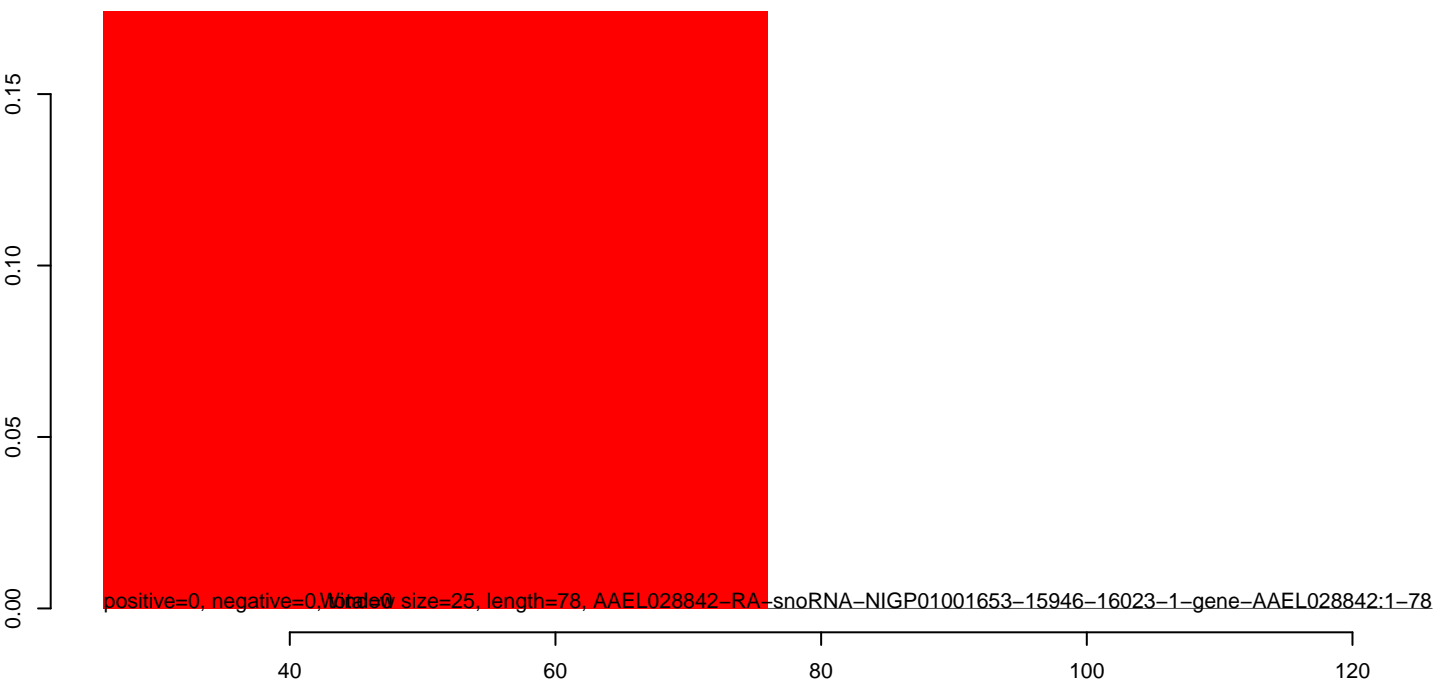
AeAlbo\_C636\_6dpi\_SINV3.18\_23.rep



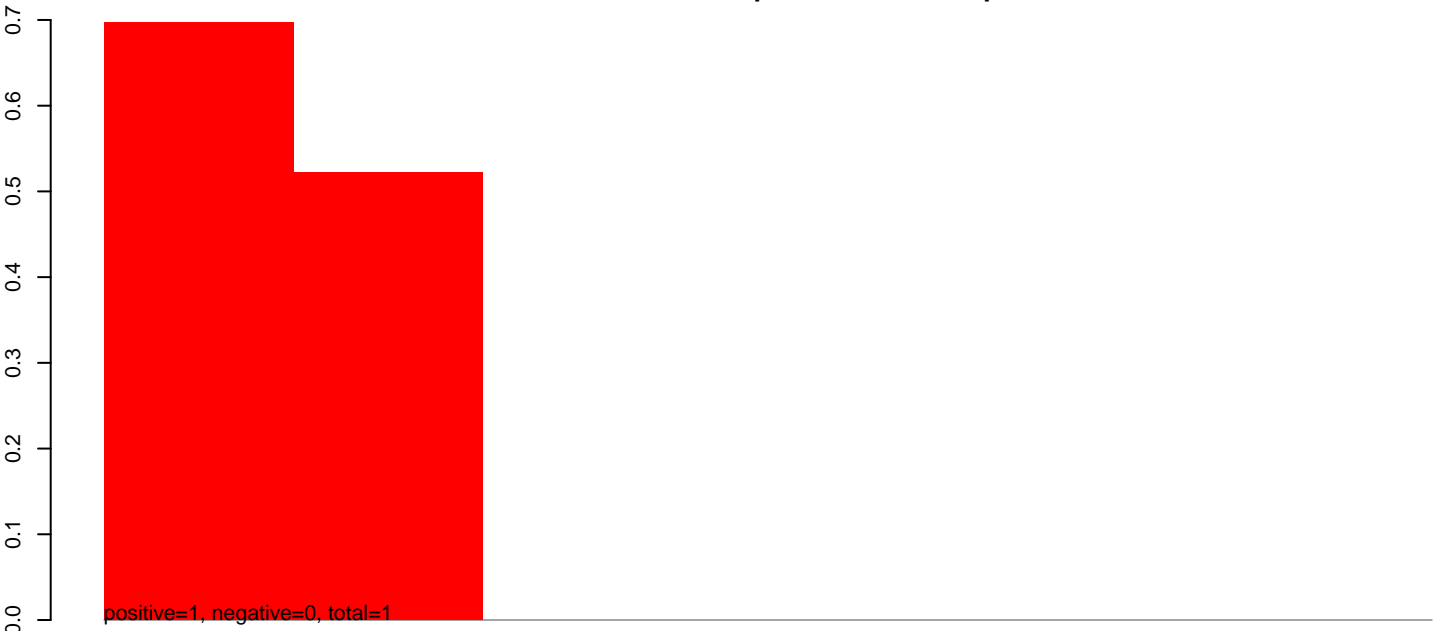
AeAlbo\_C636\_6dpi\_SINV3.24\_35.rep



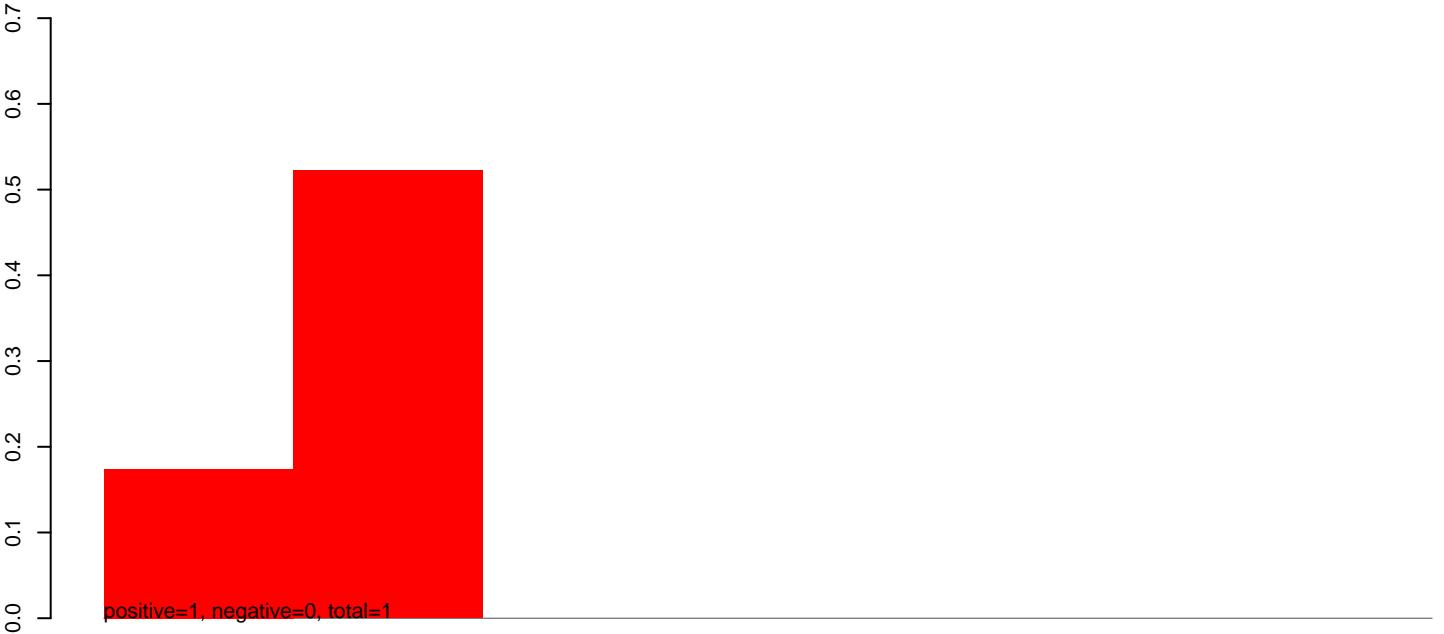
AeAlbo\_C636\_6dpi\_SINV3.rep



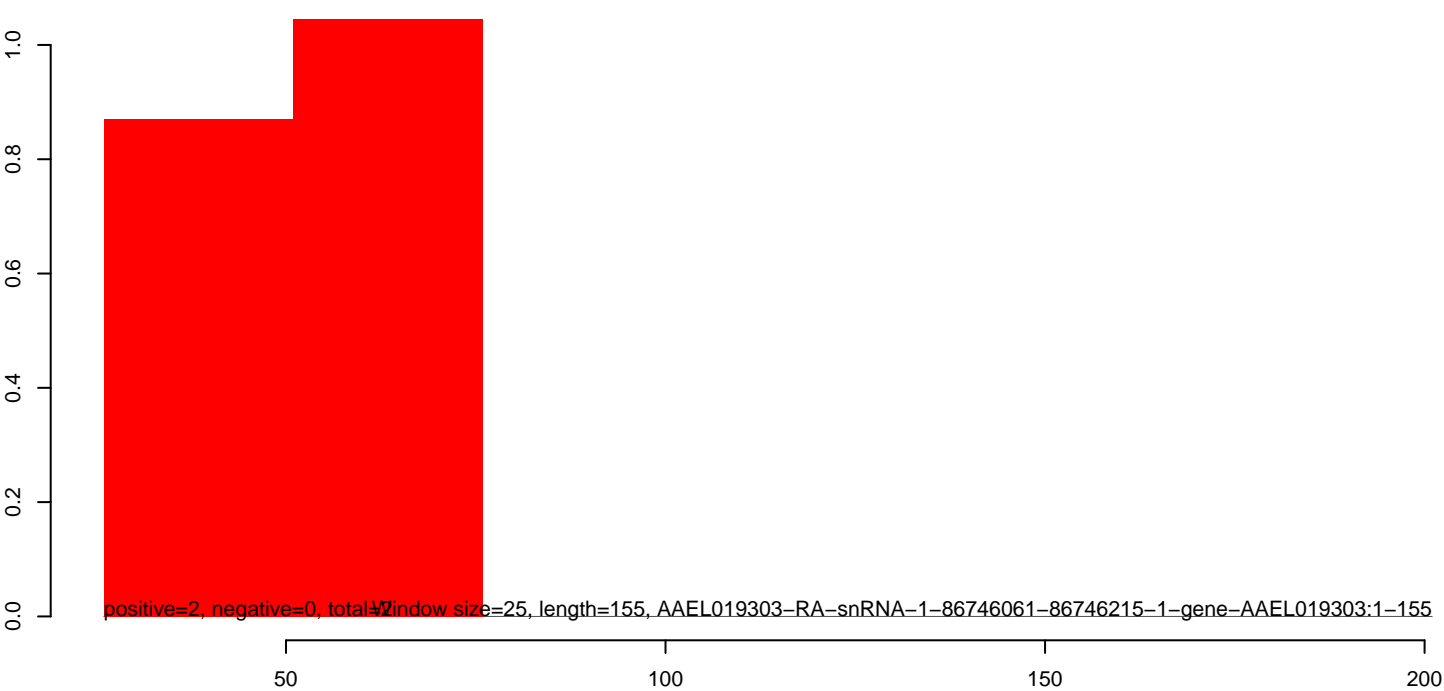
AeAlbo\_C636\_6dpi\_SINV3.18\_23.rep



AeAlbo\_C636\_6dpi\_SINV3.24\_35.rep

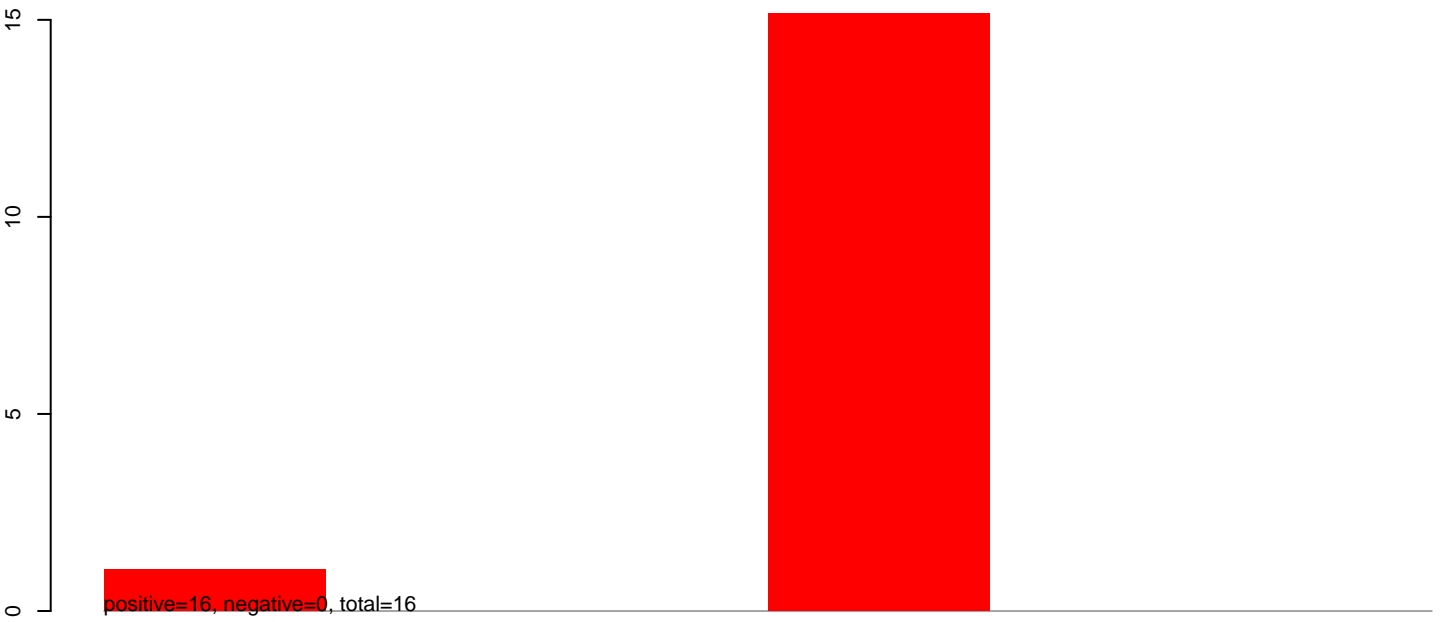


AeAlbo\_C636\_6dpi\_SINV3.rep

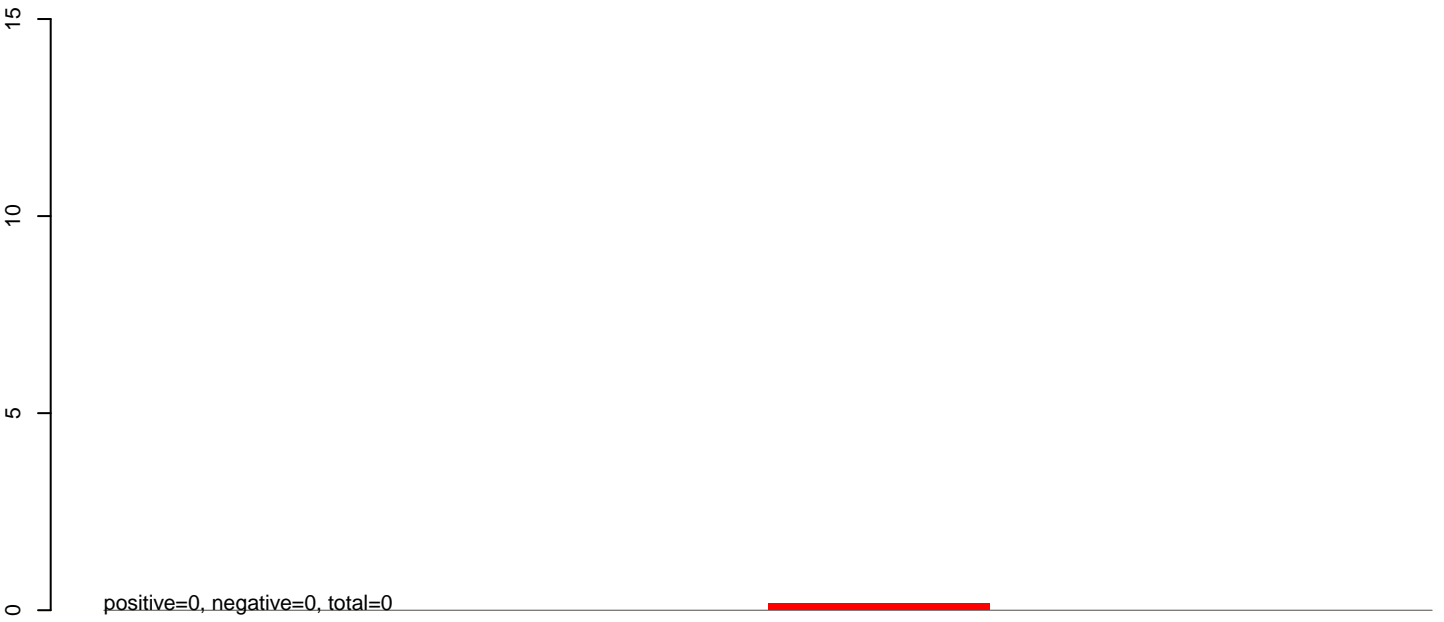


Window size=25, length=155, AAEL019303-RA-snrRNA-1-86746061-86746215-1-gene-AAEL019303:1-155

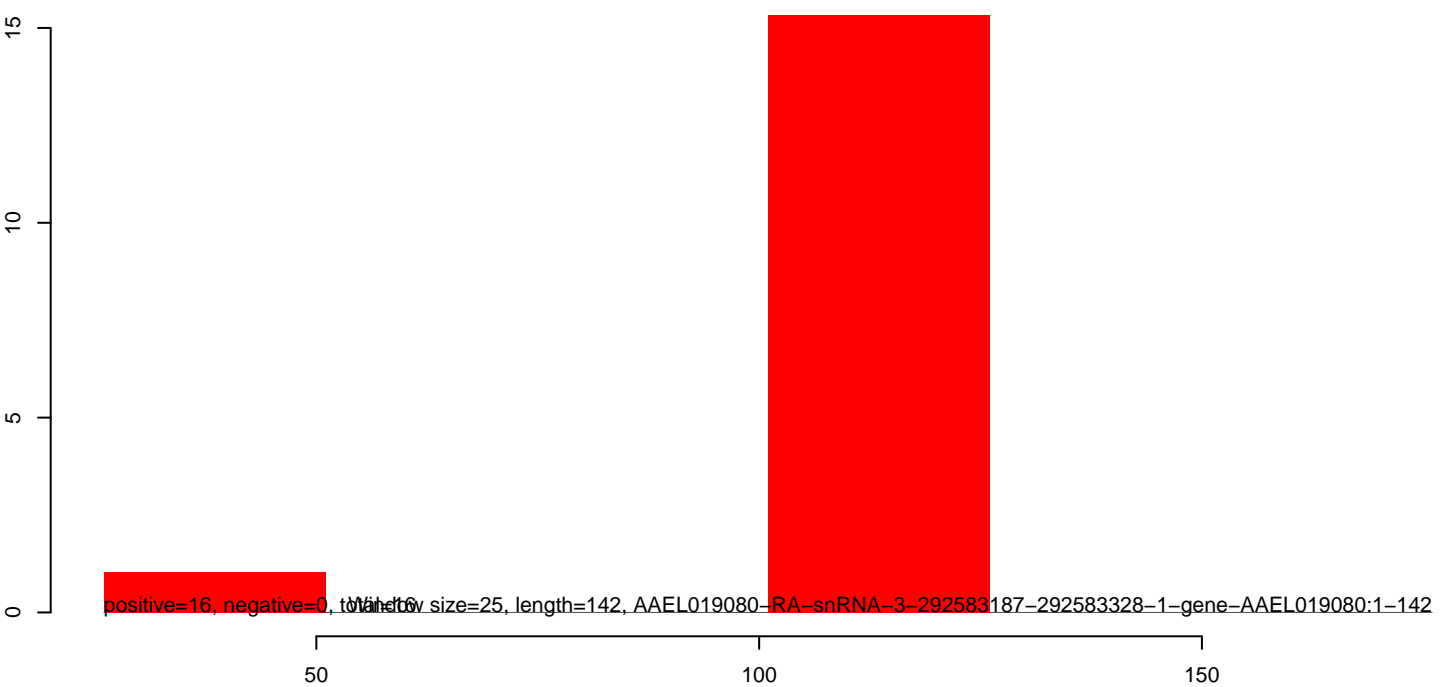
**AeAlbo\_C636\_6dpi\_SINV3.18\_23.rep**



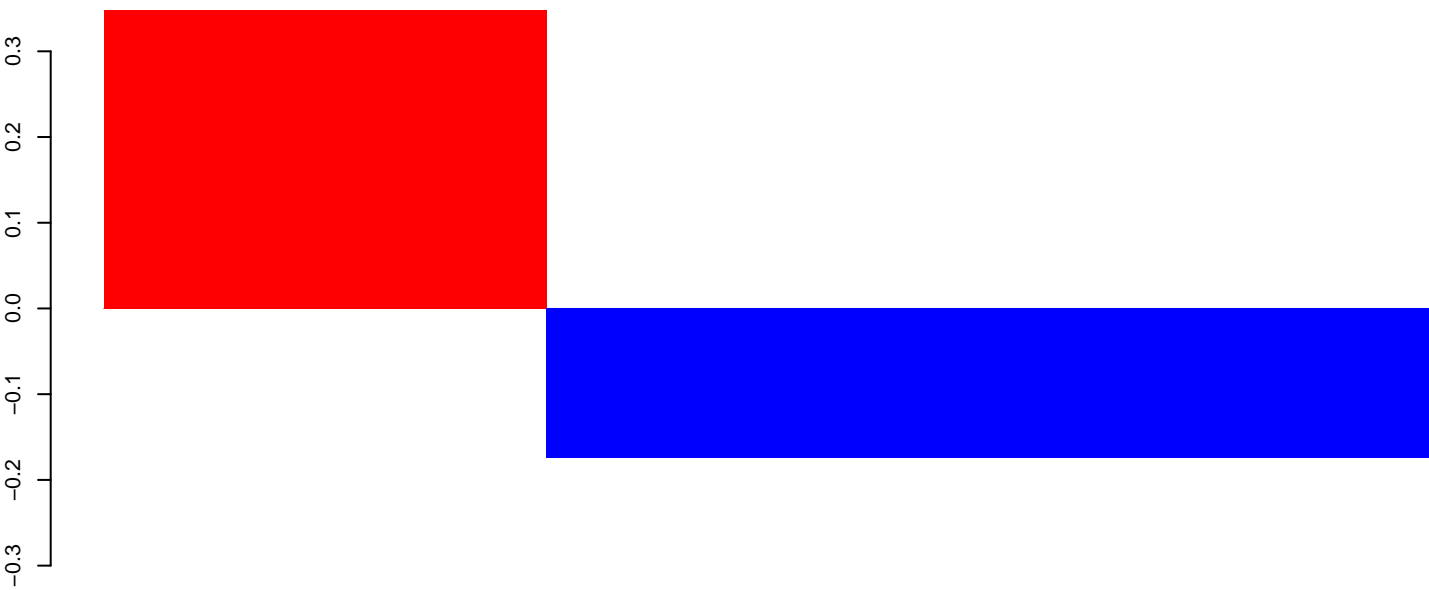
**AeAlbo\_C636\_6dpi\_SINV3.24\_35.rep**



**AeAlbo\_C636\_6dpi\_SINV3.rep**

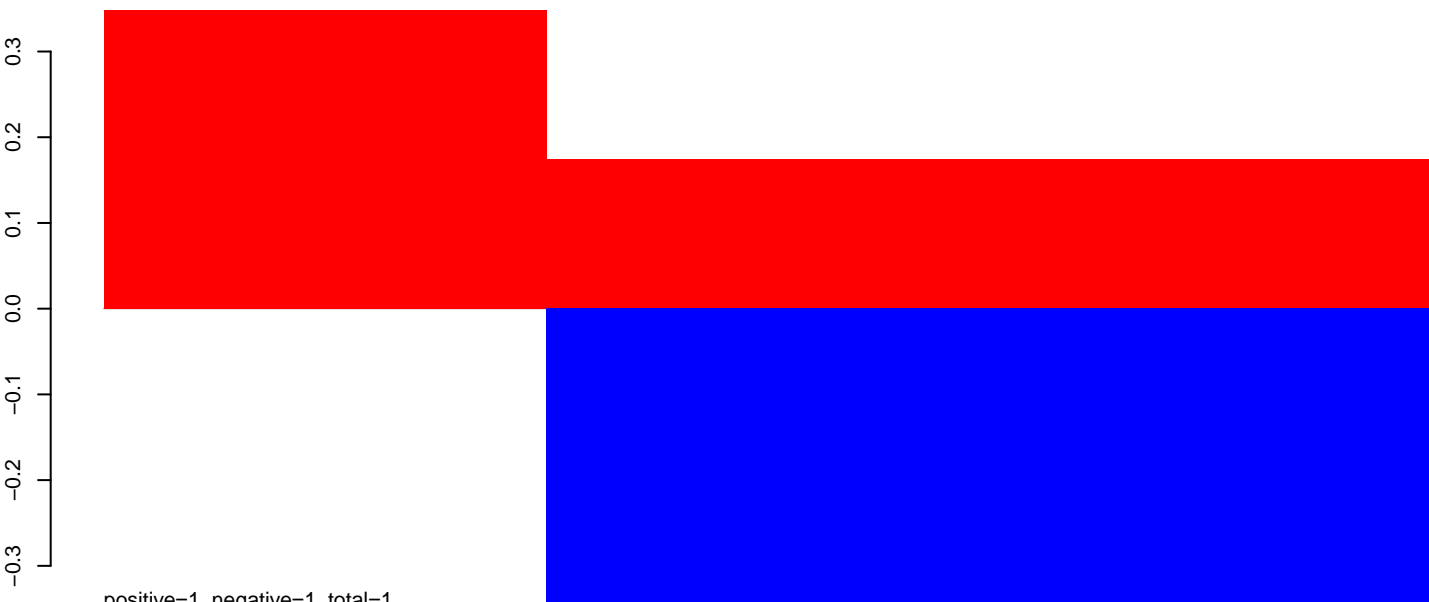


**AeAlbo\_C636\_6dpi\_SINV3.18\_23.rep**



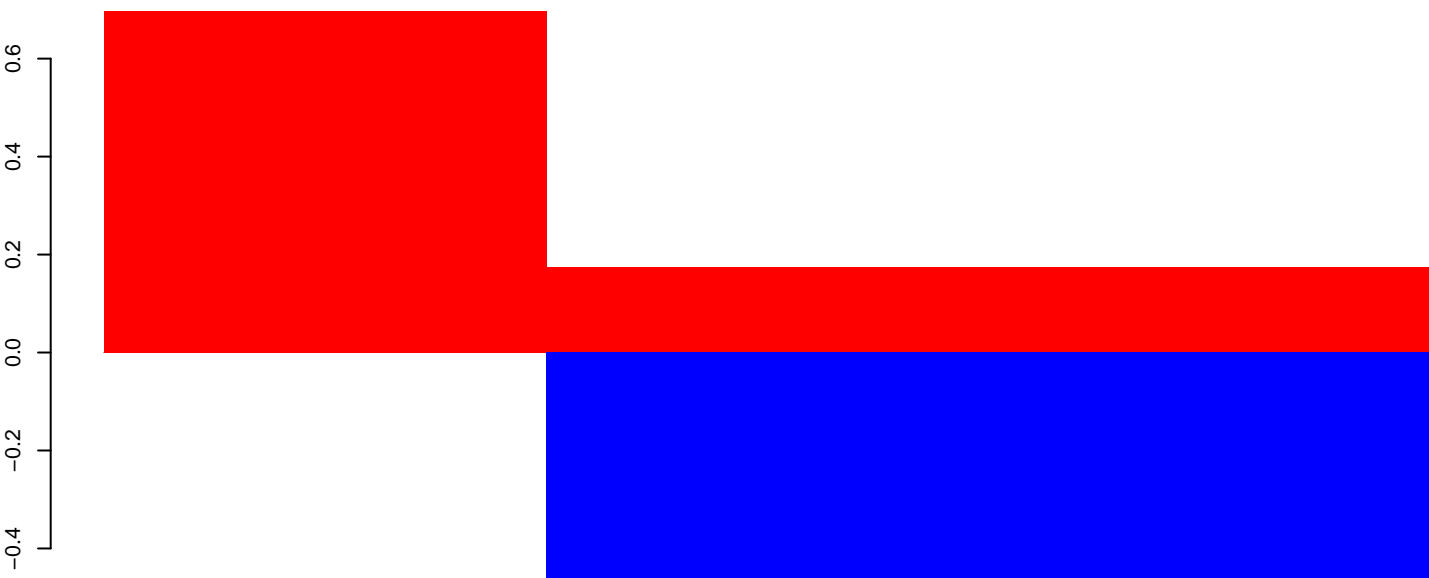
positive=0, negative=0, total=1

**AeAlbo\_C636\_6dpi\_SINV3.24\_35.rep**



positive=1, negative=1, total=1

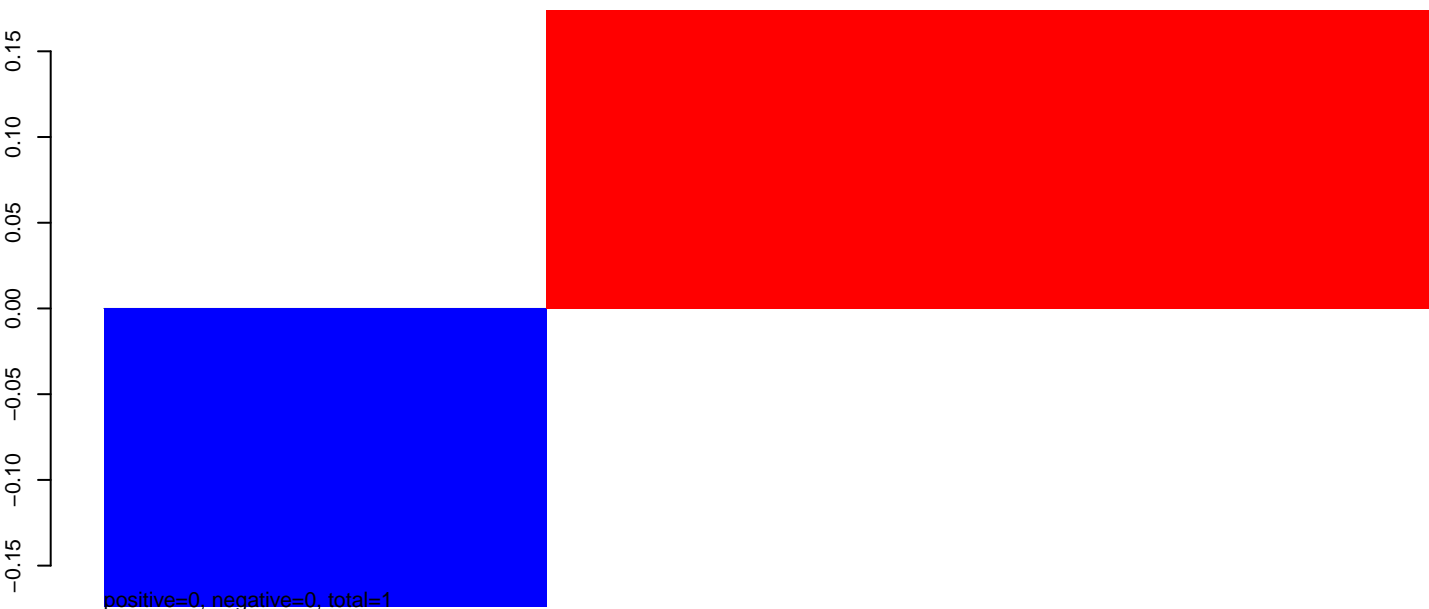
**AeAlbo\_C636\_6dpi\_SINV3.rep**



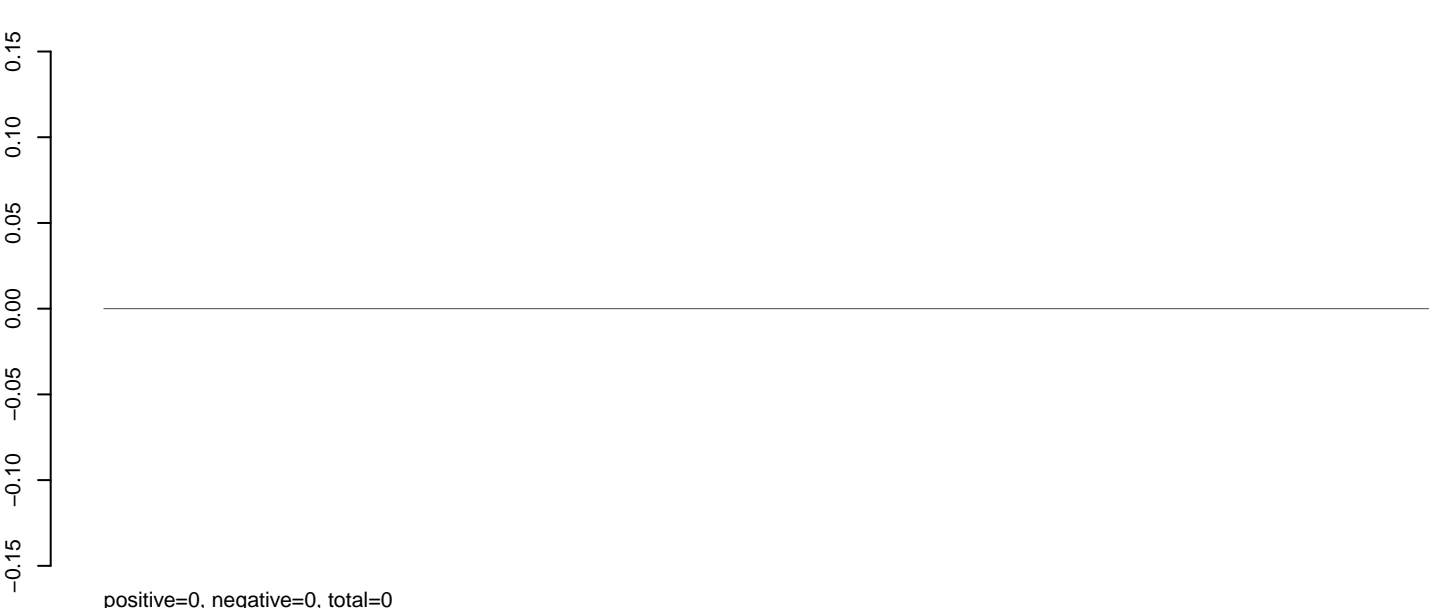
positive=1, negative=1, window size=25, length=69, AAEL018694-RA-tRNA-Met-tRNA-Met-tRNA-MT-1-69-1-gene-AAEL018694:1-69

40 60 80 100

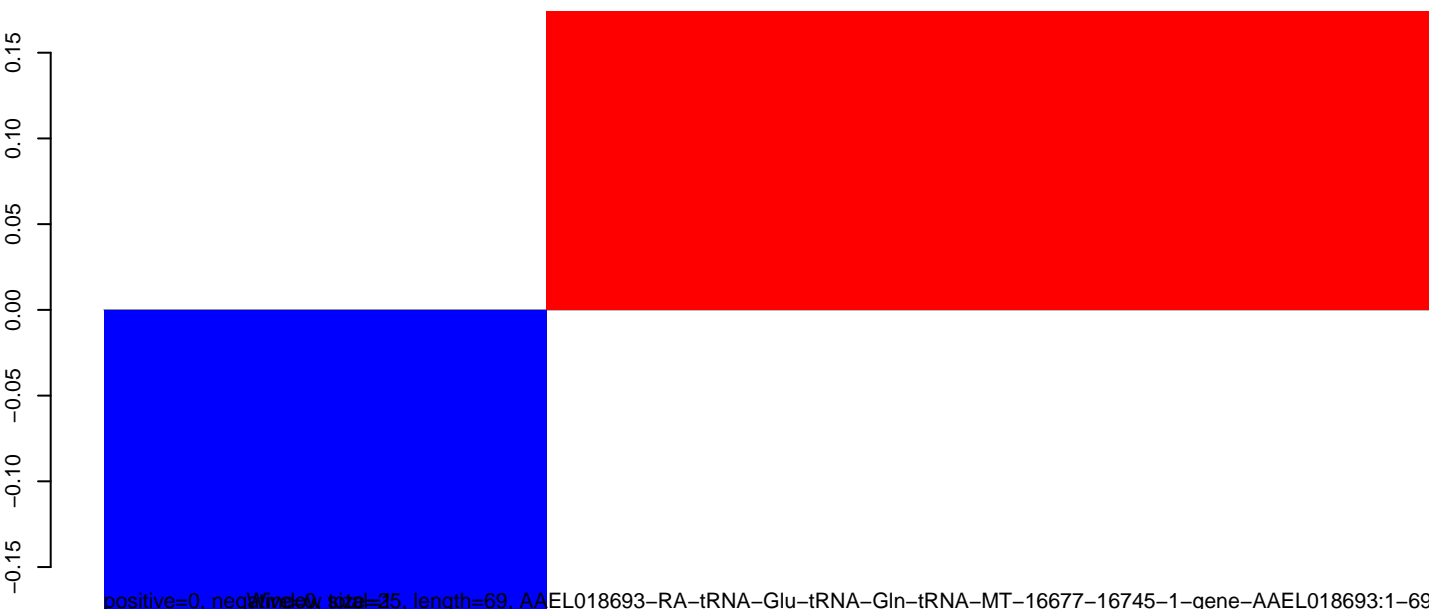
**AeAlbo\_C636\_6dpi\_SINV3.18\_23.rep**



**AeAlbo\_C636\_6dpi\_SINV3.24\_35.rep**

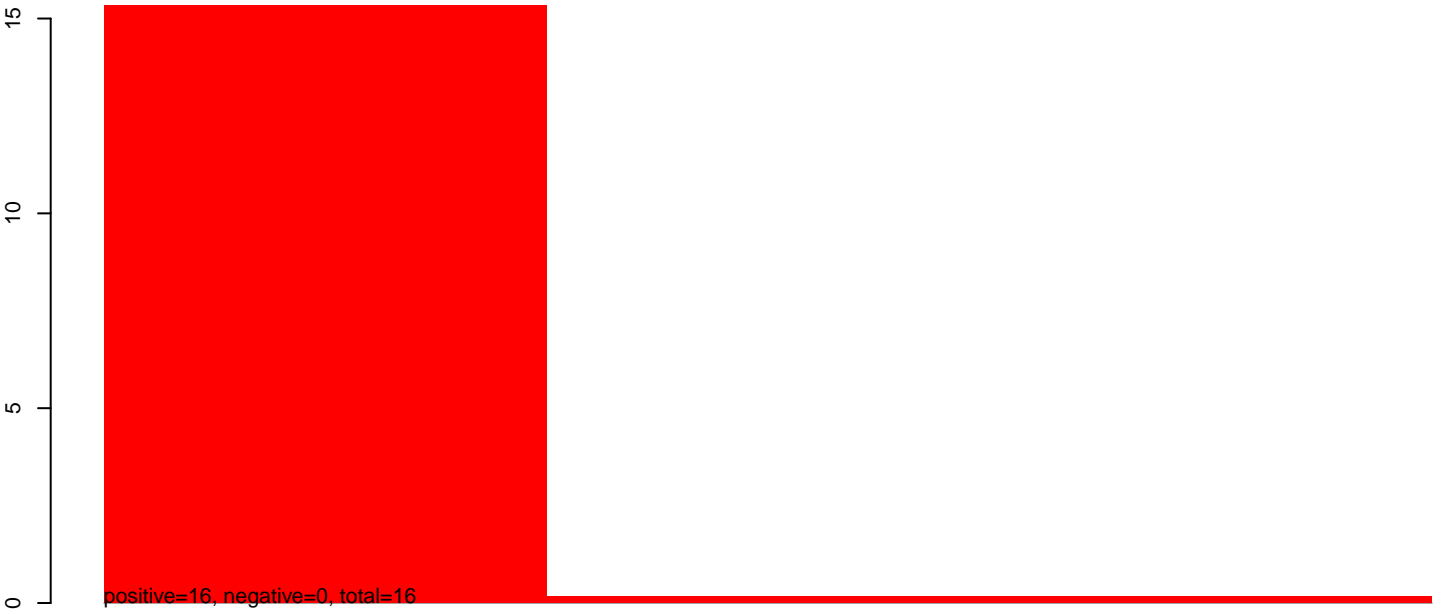


**AeAlbo\_C636\_6dpi\_SINV3.rep**

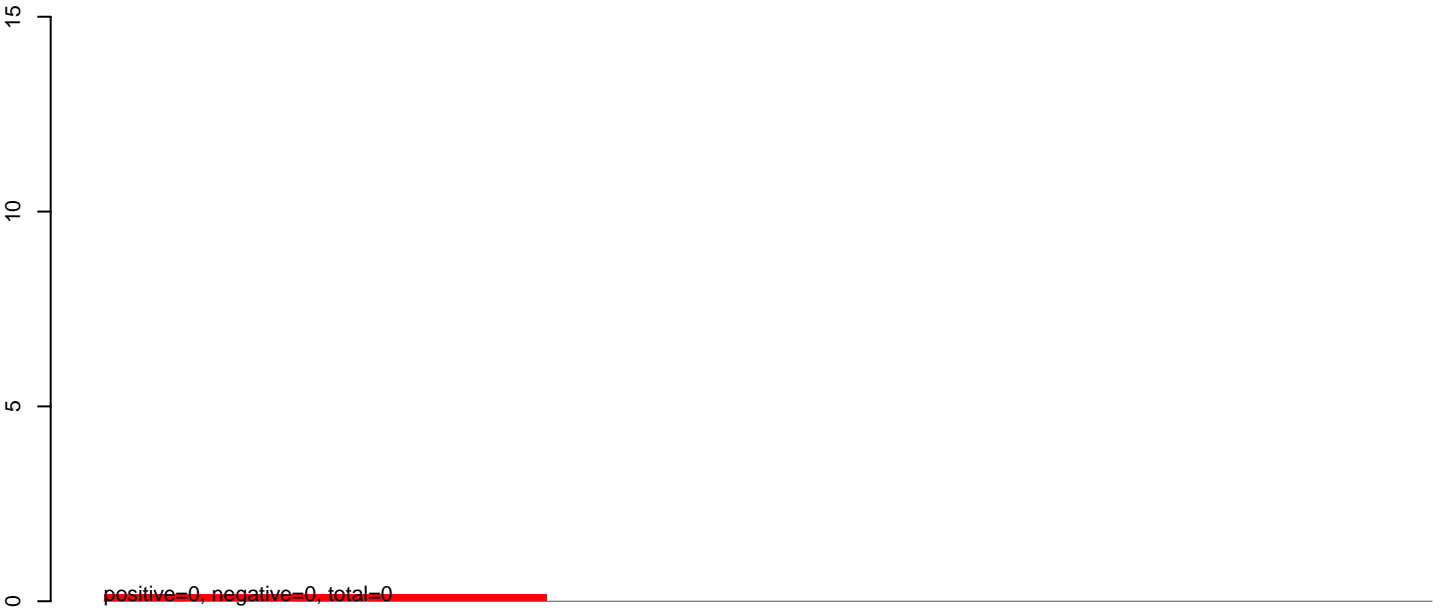


40 60 80 100

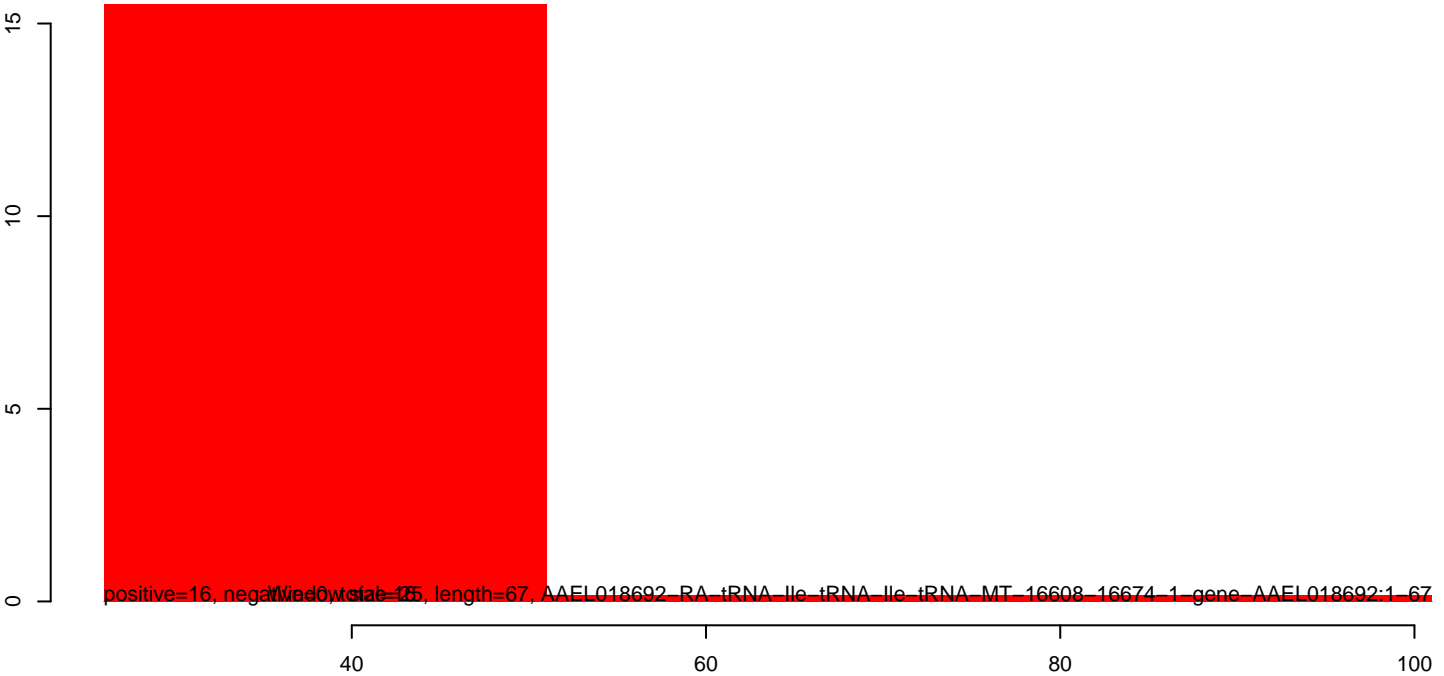
**AeAlbo\_C636\_6dpi\_SINV3.18\_23.rep**



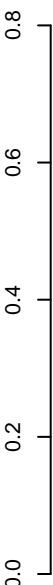
**AeAlbo\_C636\_6dpi\_SINV3.24\_35.rep**



**AeAlbo\_C636\_6dpi\_SINV3.rep**

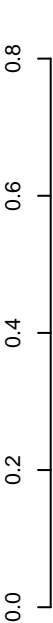


AeAlbo\_C636\_6dpi\_SINV3.18\_23.rep



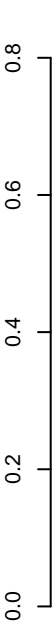
positive=0, negative=0, total=0

AeAlbo\_C636\_6dpi\_SINV3.24\_35.rep



positive=1, negative=0, total=1

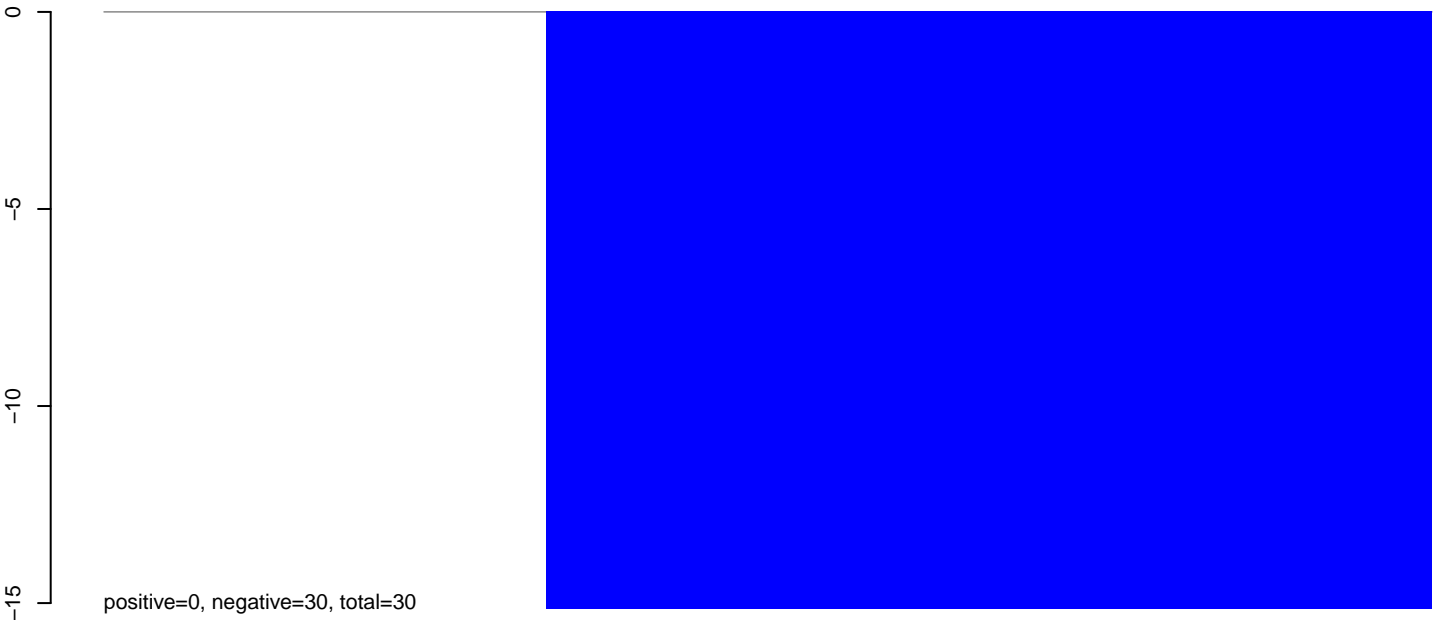
AeAlbo\_C636\_6dpi\_SINV3.rep



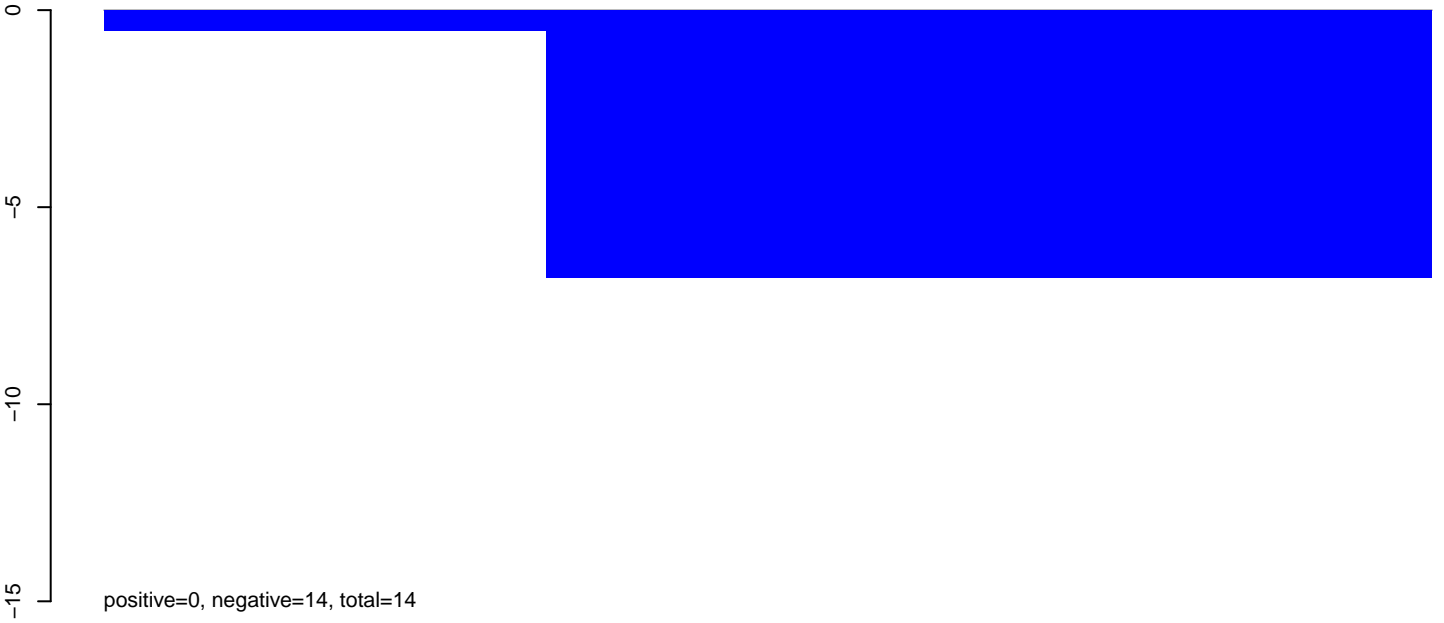
positive=1, negative=0, total=25, length=72, AAEL018690-RA-tRNA-Val-tRNA-Val-tRNA-MT-13901-13972-1-gene-AAEL018690:1-72



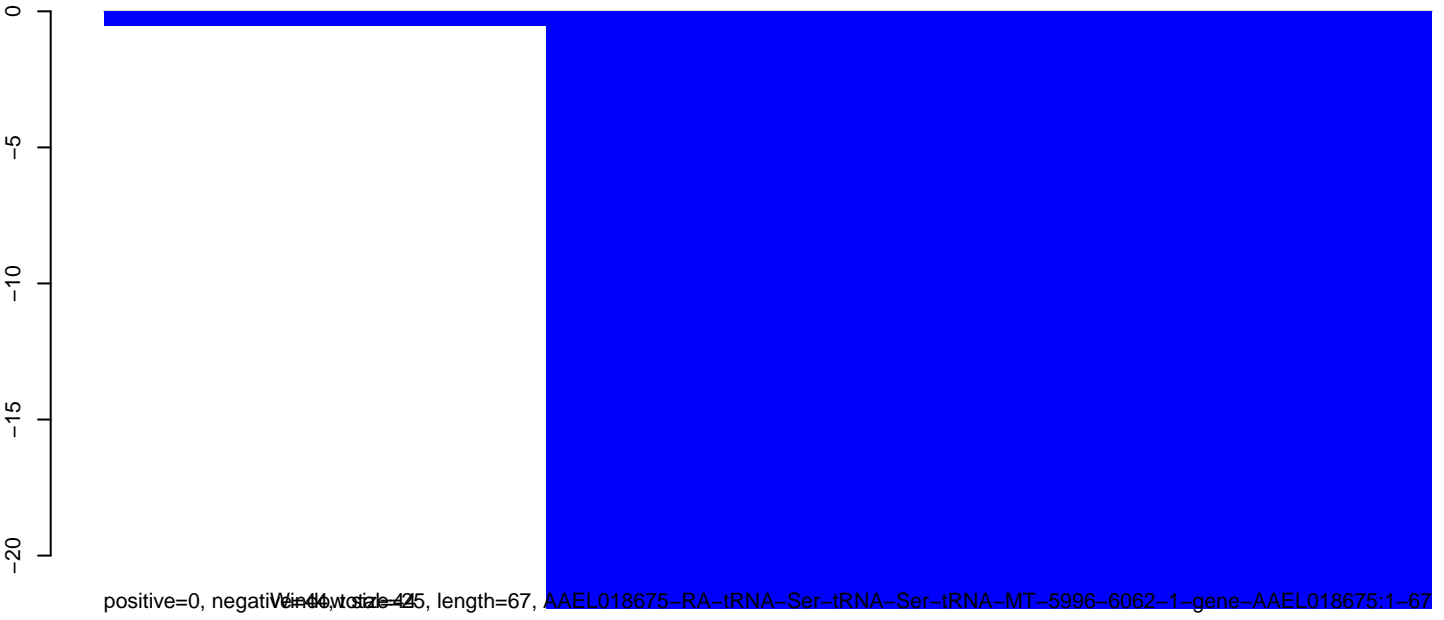
**AeAlbo\_C636\_6dpi\_SINV3.18\_23.rep**



**AeAlbo\_C636\_6dpi\_SINV3.24\_35.rep**



**AeAlbo\_C636\_6dpi\_SINV3.rep**



AAEL018675-RA-tRNA-Ser-tRNA-Ser-tRNA-MT-5996-6062-1-gene-AAEL018675:1-67

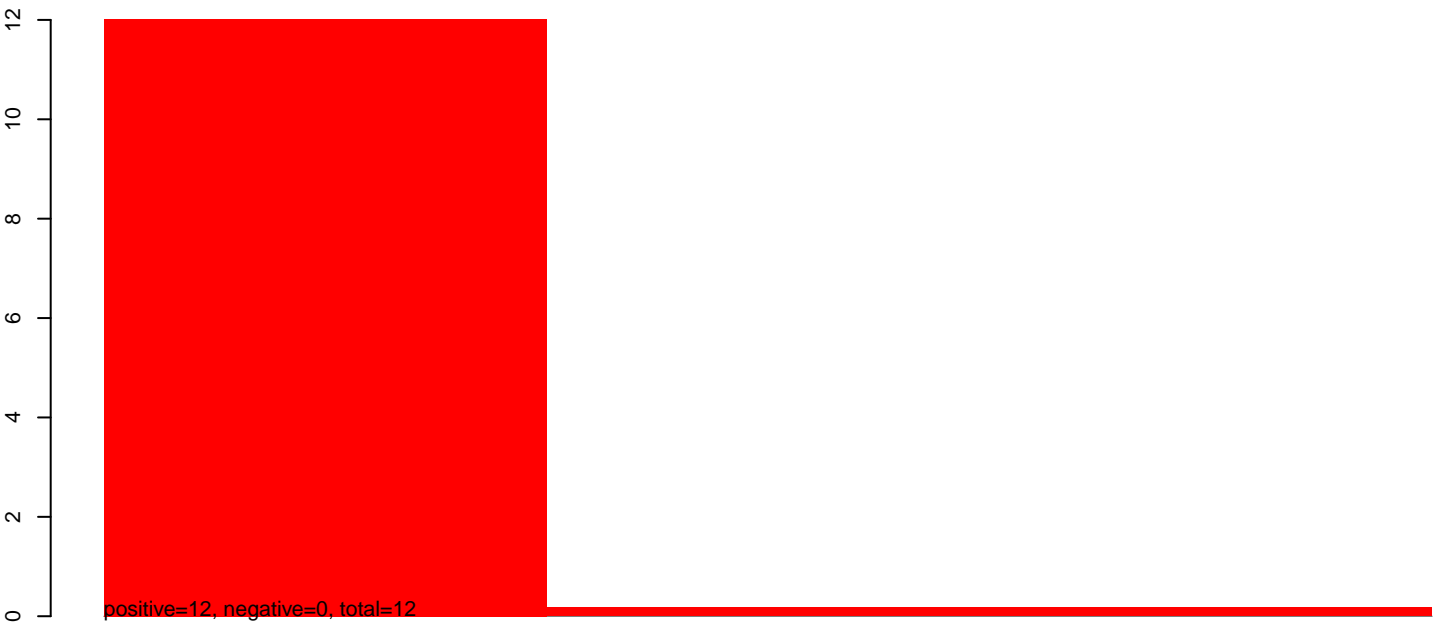
40 60 80 100



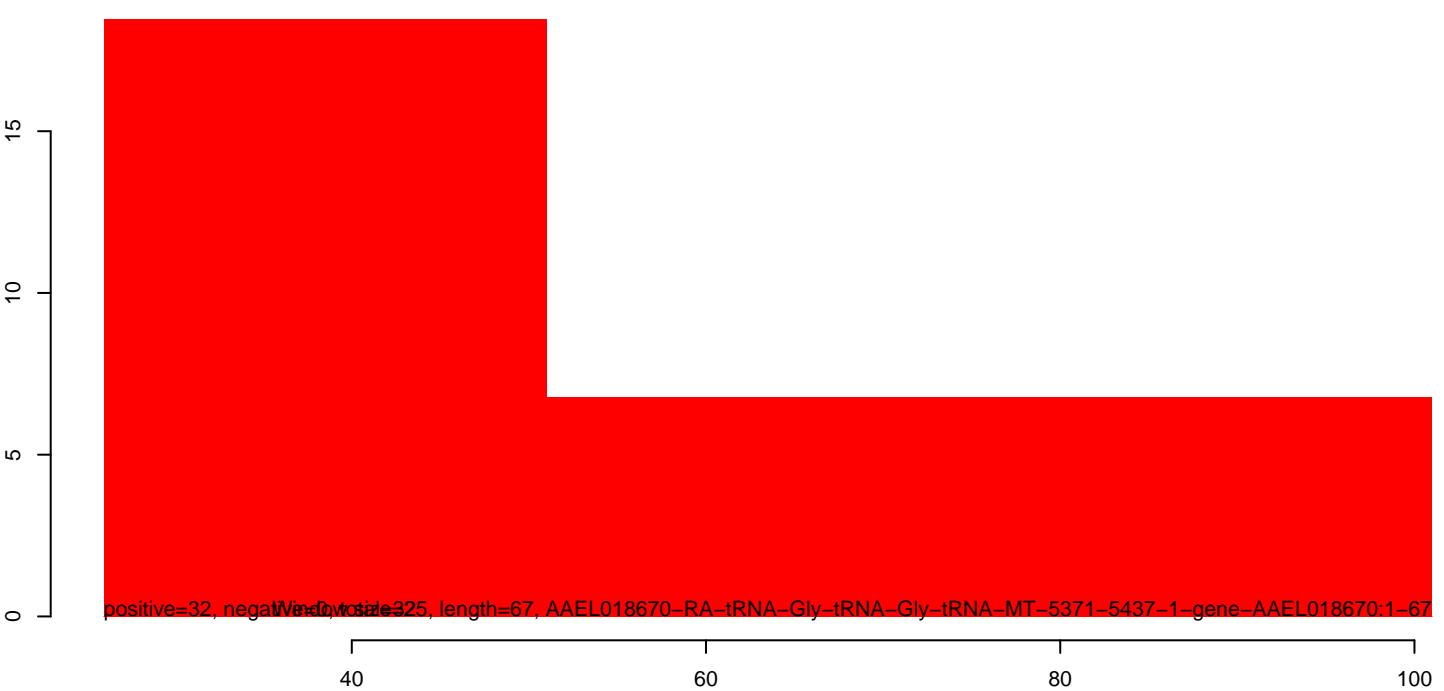
AeAlbo\_C636\_6dpi\_SINV3.18\_23.rep



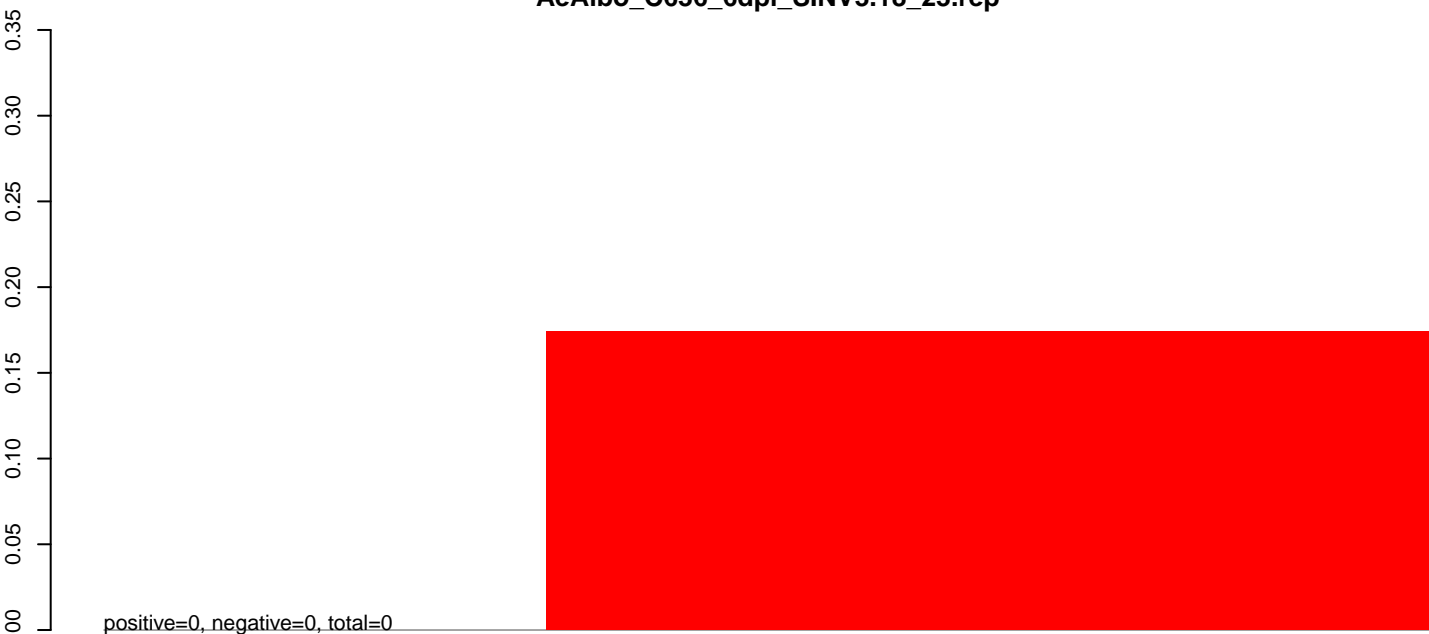
AeAlbo\_C636\_6dpi\_SINV3.24\_35.rep



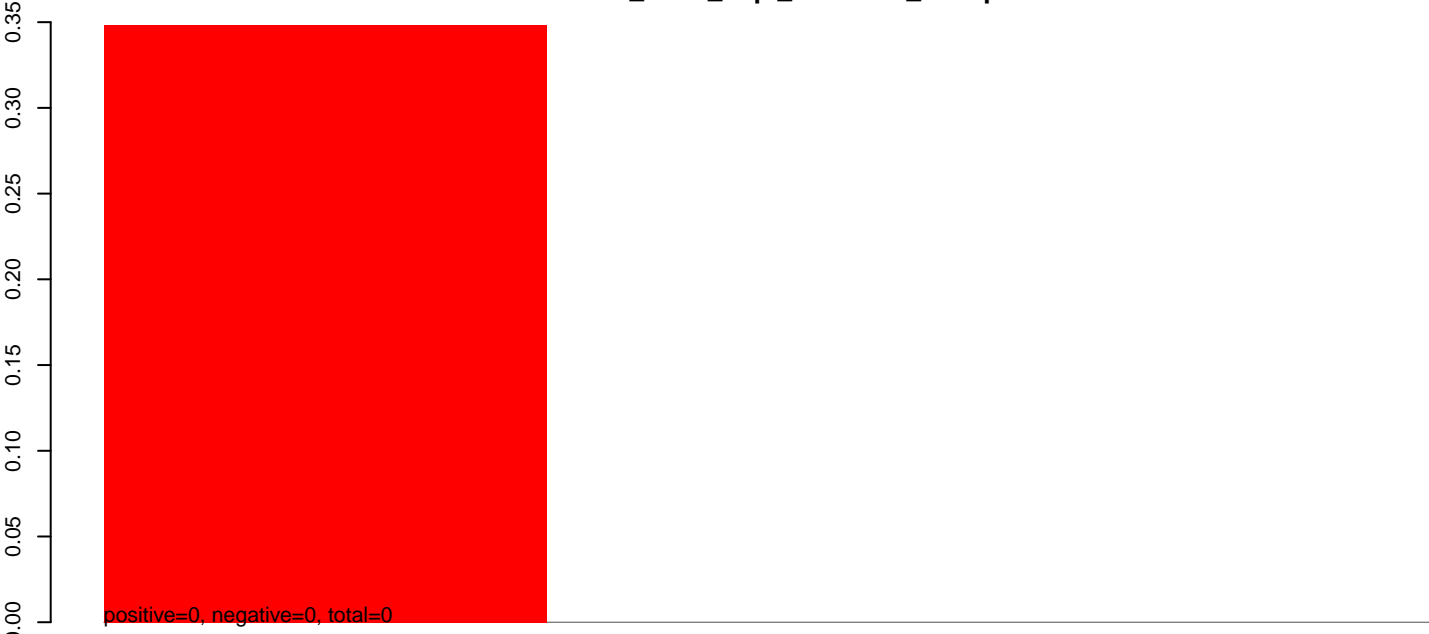
AeAlbo\_C636\_6dpi\_SINV3.rep



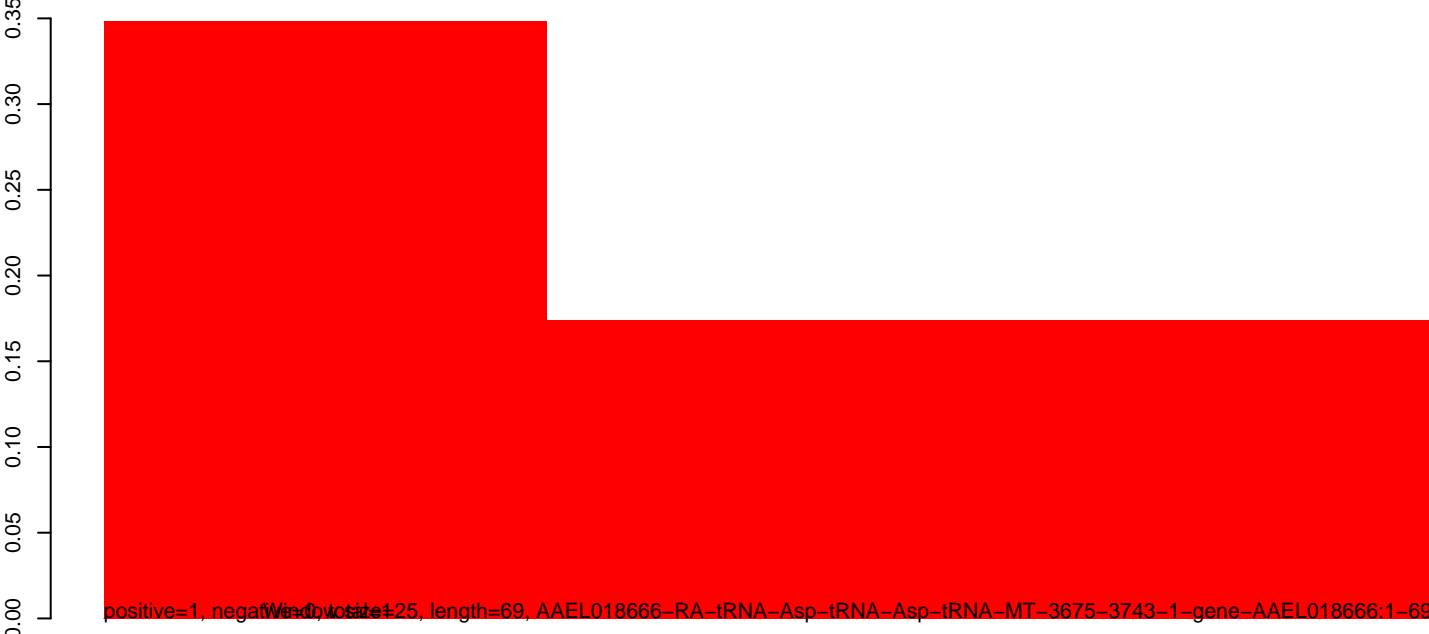
**AeAlbo\_C636\_6dpi\_SINV3.18\_23.rep**



**AeAlbo\_C636\_6dpi\_SINV3.24\_35.rep**

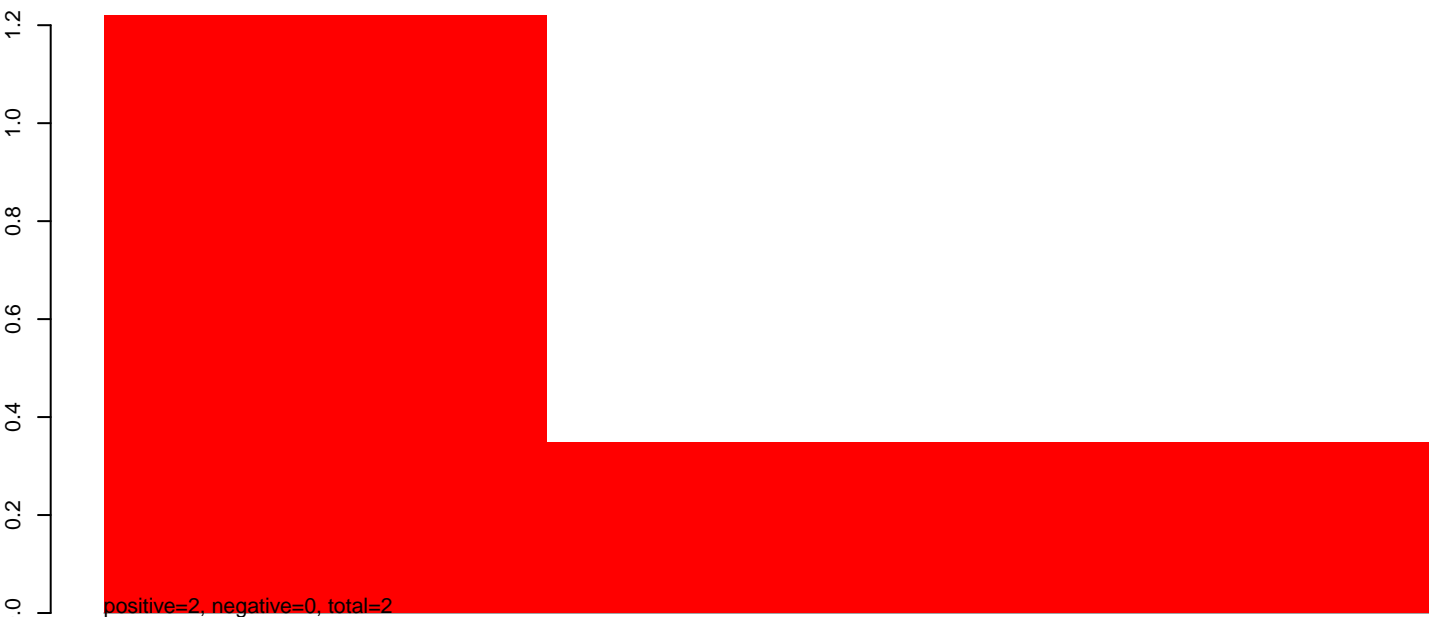


**AeAlbo\_C636\_6dpi\_SINV3.rep**



Window size=25, length=69, AAEL018666-RA-tRNA-Asp-tRNA-Asp-tRNA-MT-3675-3743-1-gene-AAEL018666:1-69

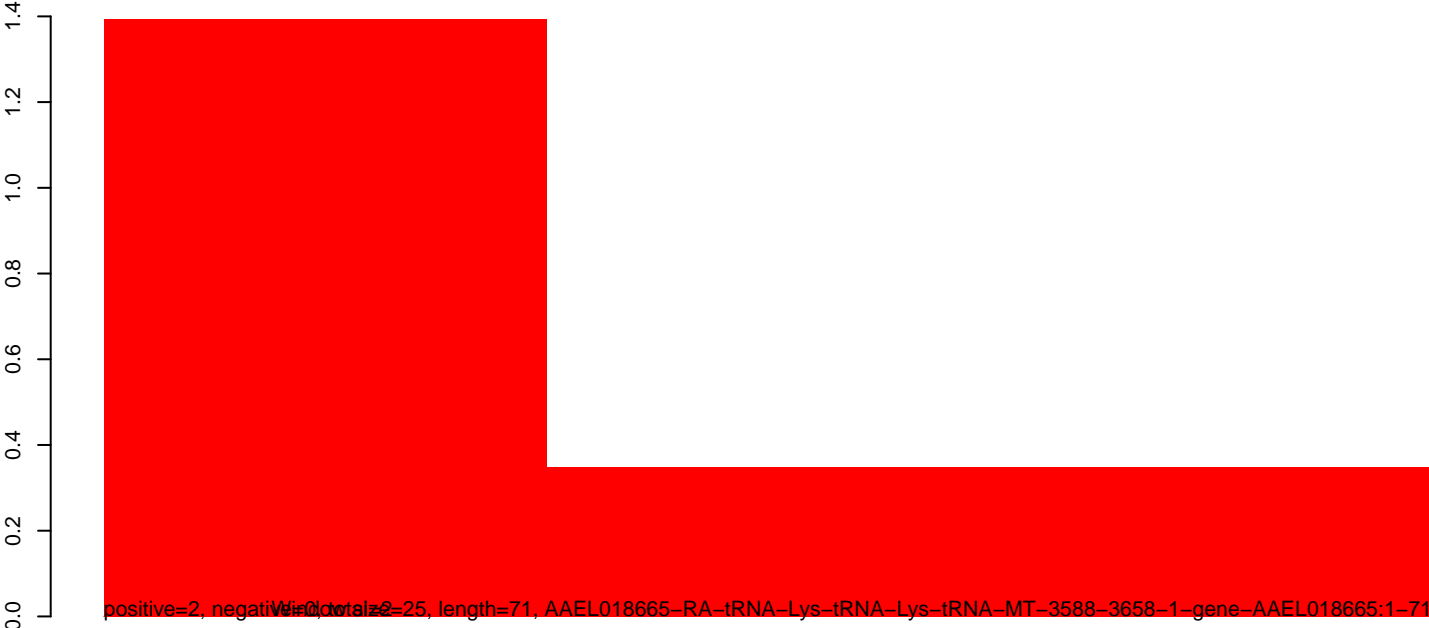
**AeAlbo\_C636\_6dpi\_SINV3.18\_23.rep**



**AeAlbo\_C636\_6dpi\_SINV3.24\_35.rep**



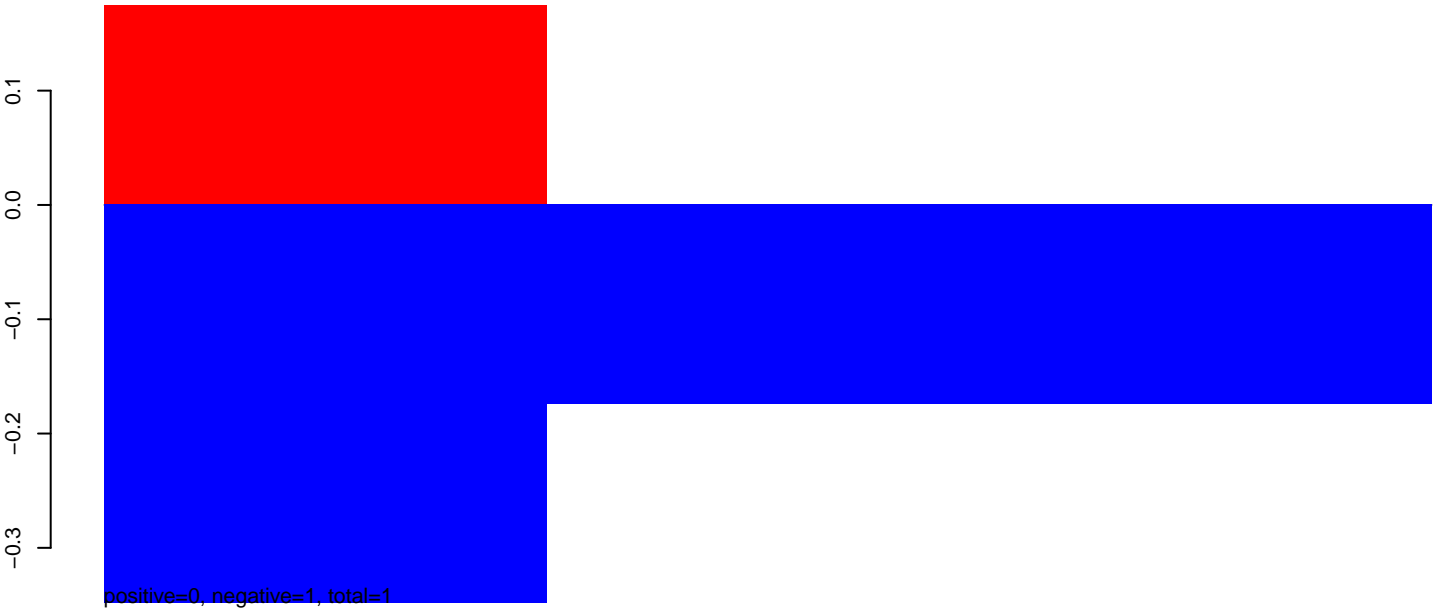
**AeAlbo\_C636\_6dpi\_SINV3.rep**



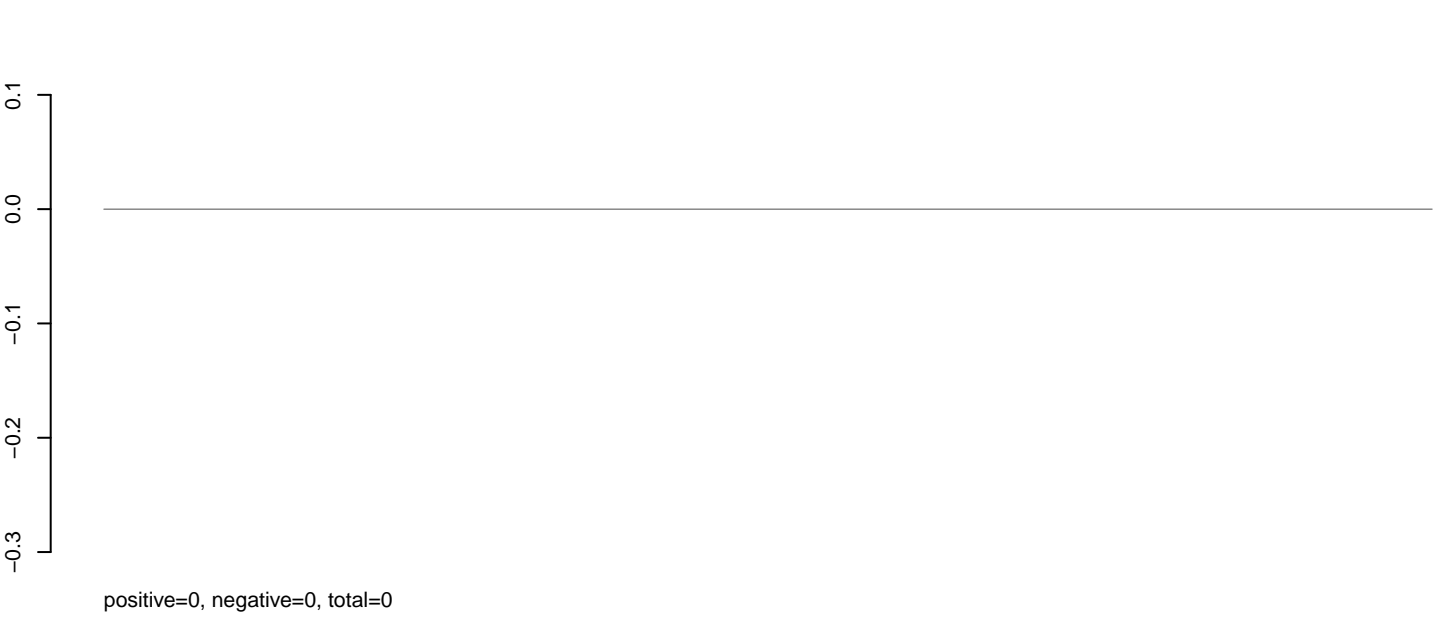
positive=2, negative=0, total=2, window size=25, length=71, AAEL018665-RA-tRNA-Lys-tRNA-Lys-tRNA-MT-3588-3658-1-gene-AAEL018665:1-71

40 60 80 100

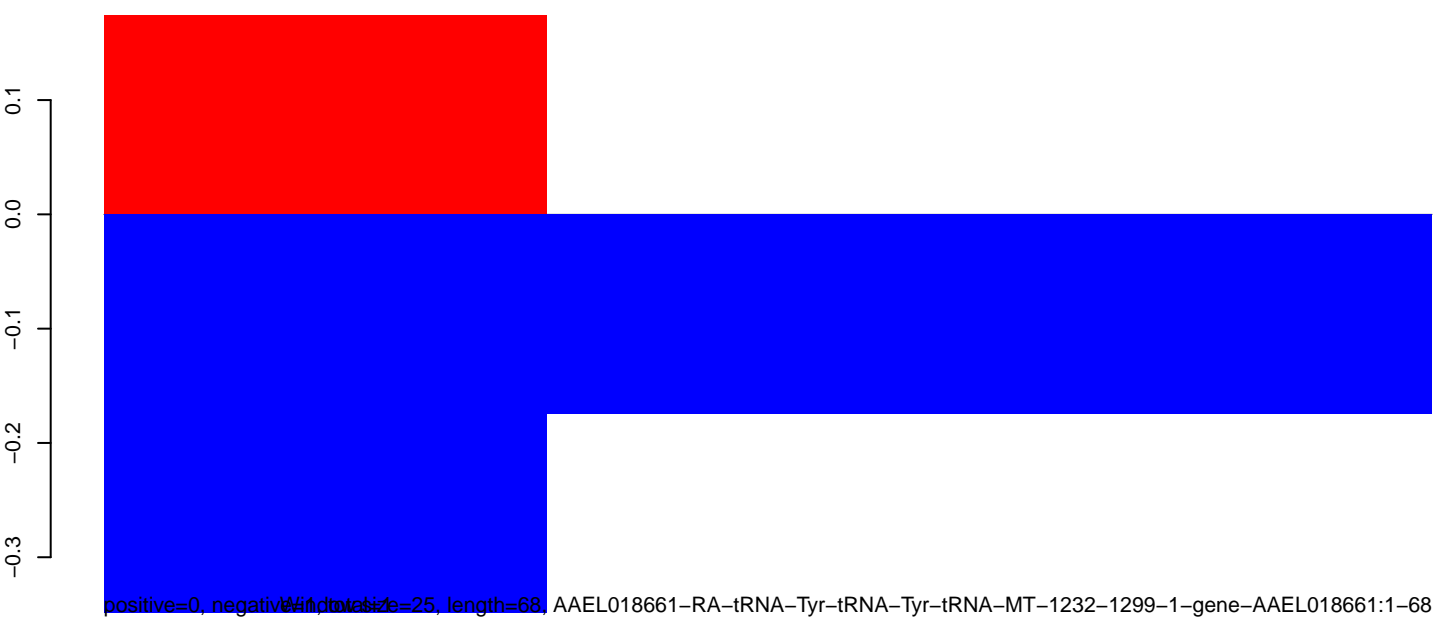
**AeAlbo\_C636\_6dpi\_SINV3.18\_23.rep**



**AeAlbo\_C636\_6dpi\_SINV3.24\_35.rep**



**AeAlbo\_C636\_6dpi\_SINV3.rep**

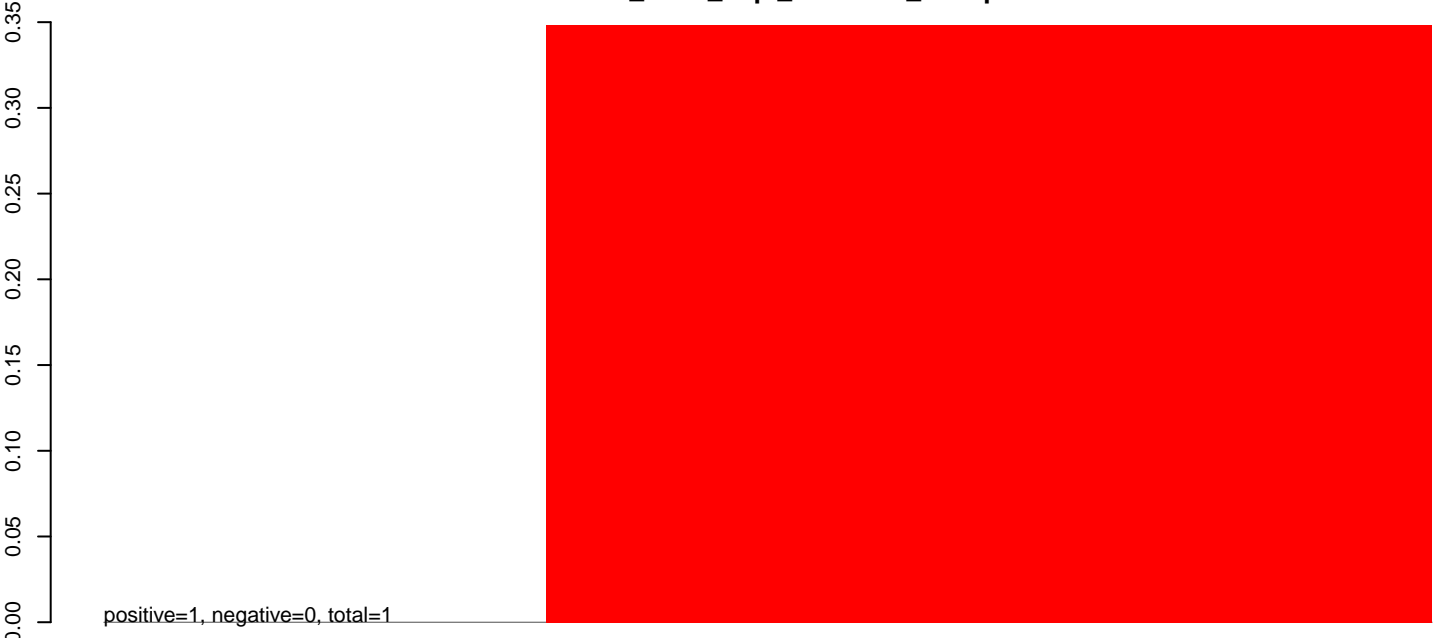


40 60 80 100  
AAEL018661-RA-tRNA-Tyr-tRNA-Tyr-tRNA-MT-1232-1299-1-gene-AAEL018661:1-68

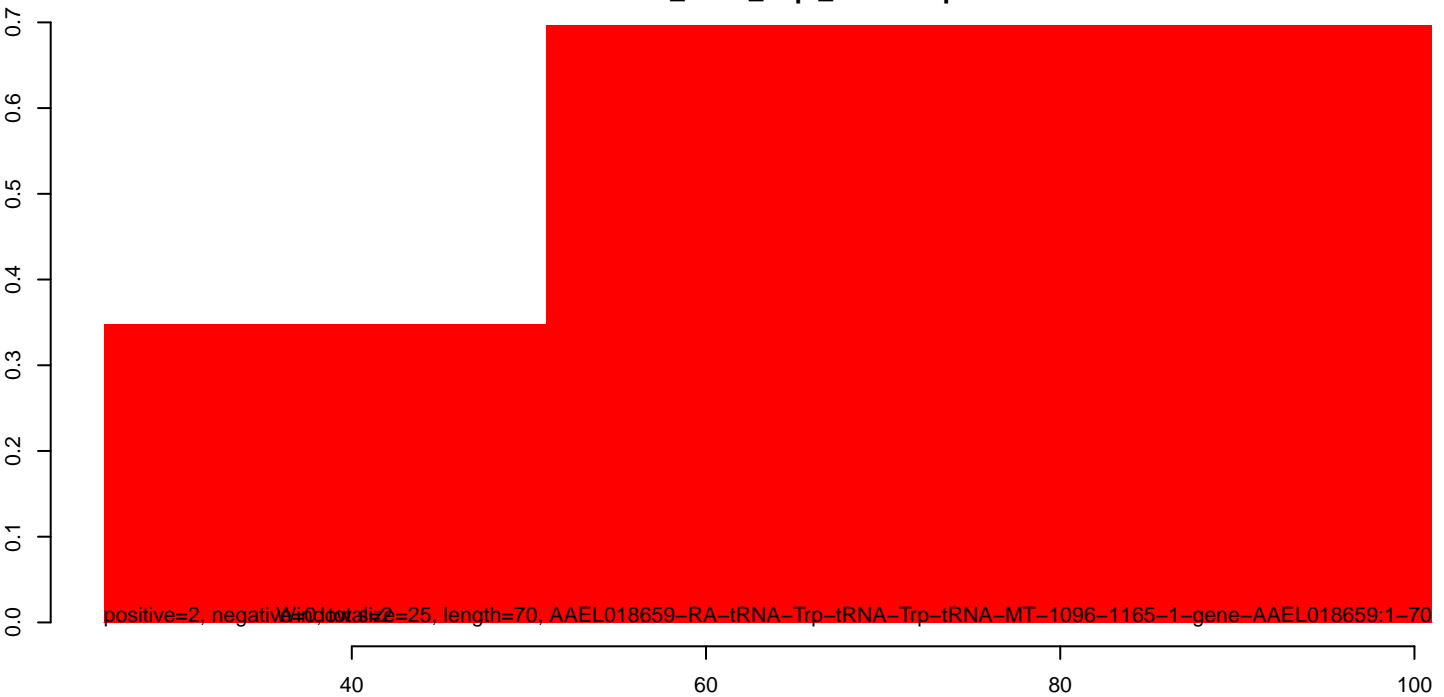
**AeAlbo\_C636\_6dpi\_SINV3.18\_23.rep**



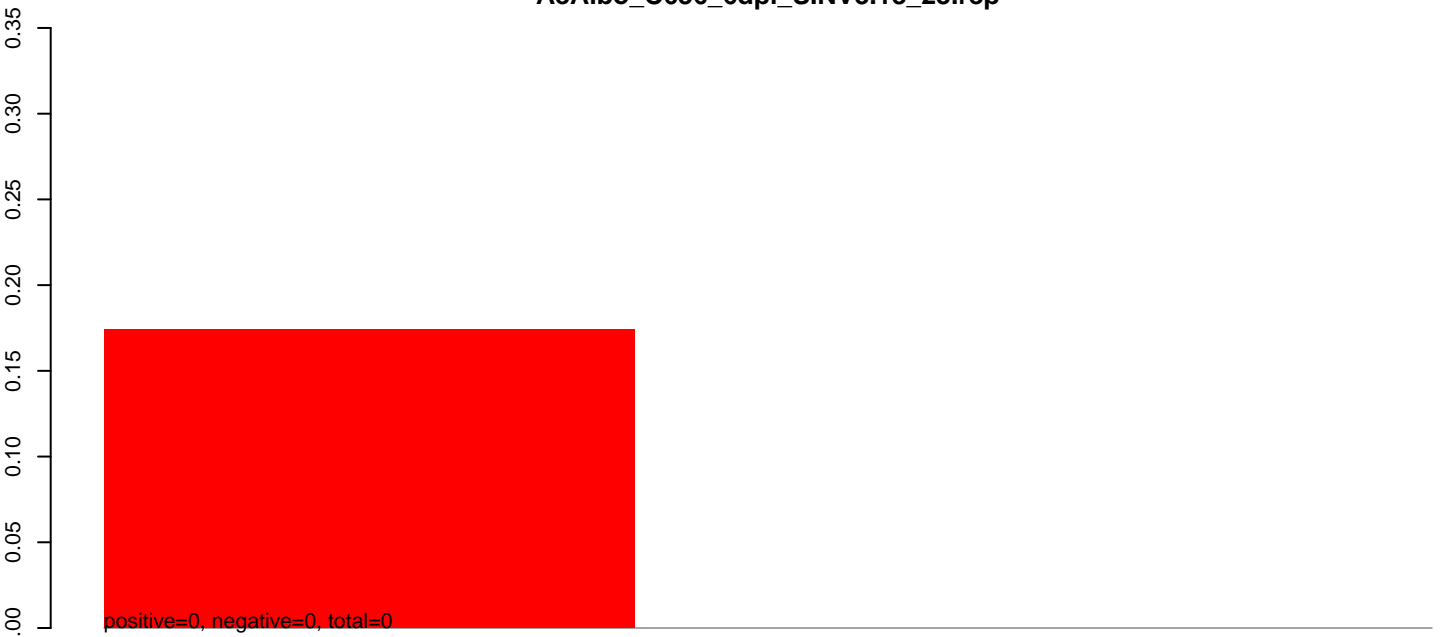
**AeAlbo\_C636\_6dpi\_SINV3.24\_35.rep**



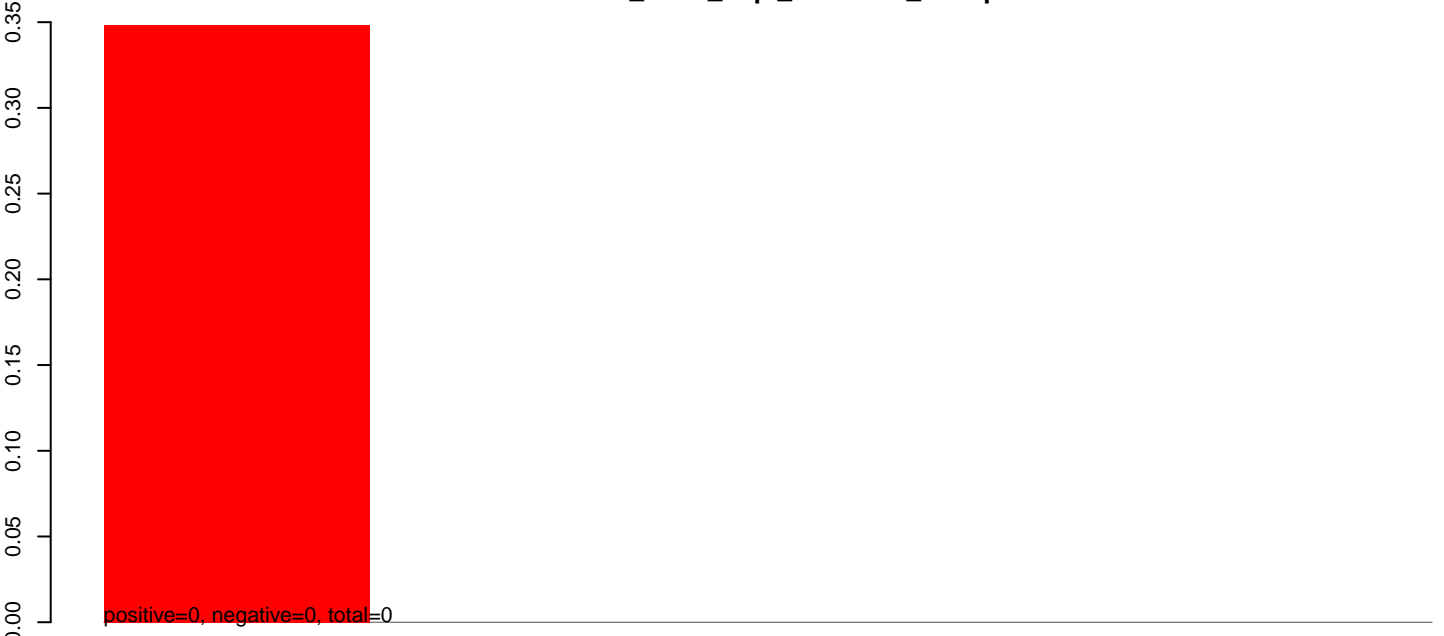
**AeAlbo\_C636\_6dpi\_SINV3.rep**



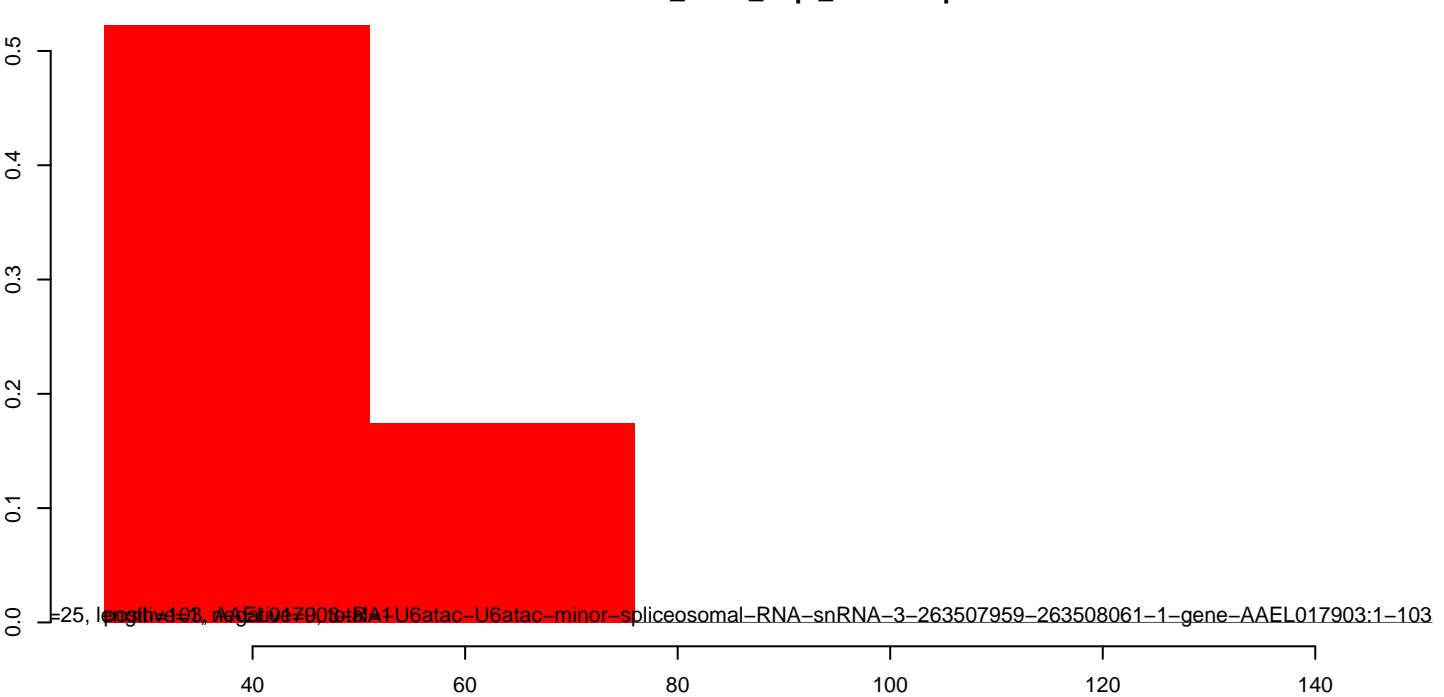
AeAlbo\_C636\_6dpi\_SINV3.18\_23.rep



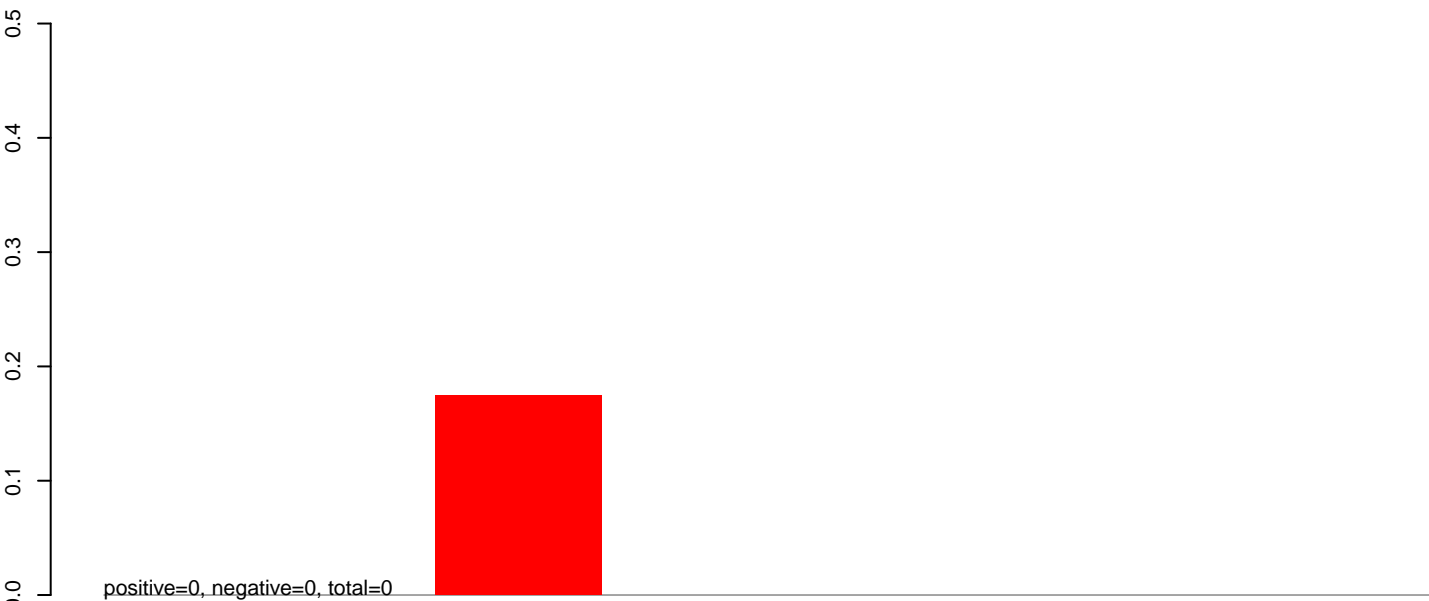
AeAlbo\_C636\_6dpi\_SINV3.24\_35.rep



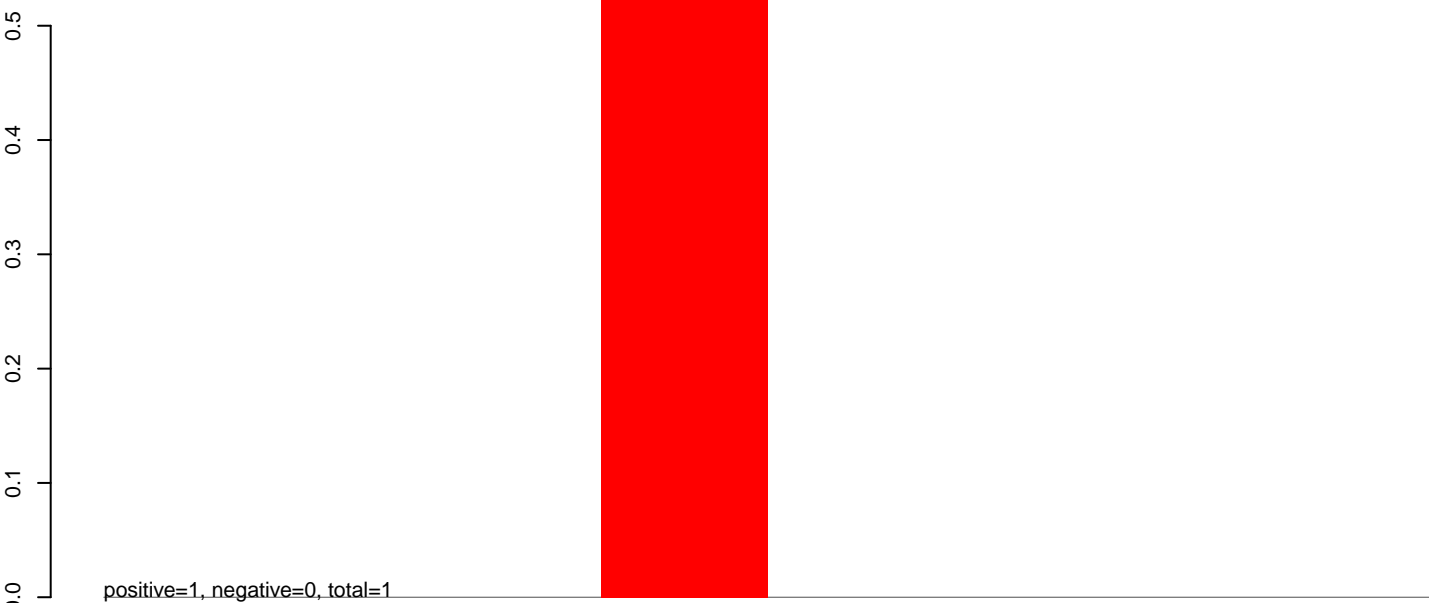
AeAlbo\_C636\_6dpi\_SINV3.rep



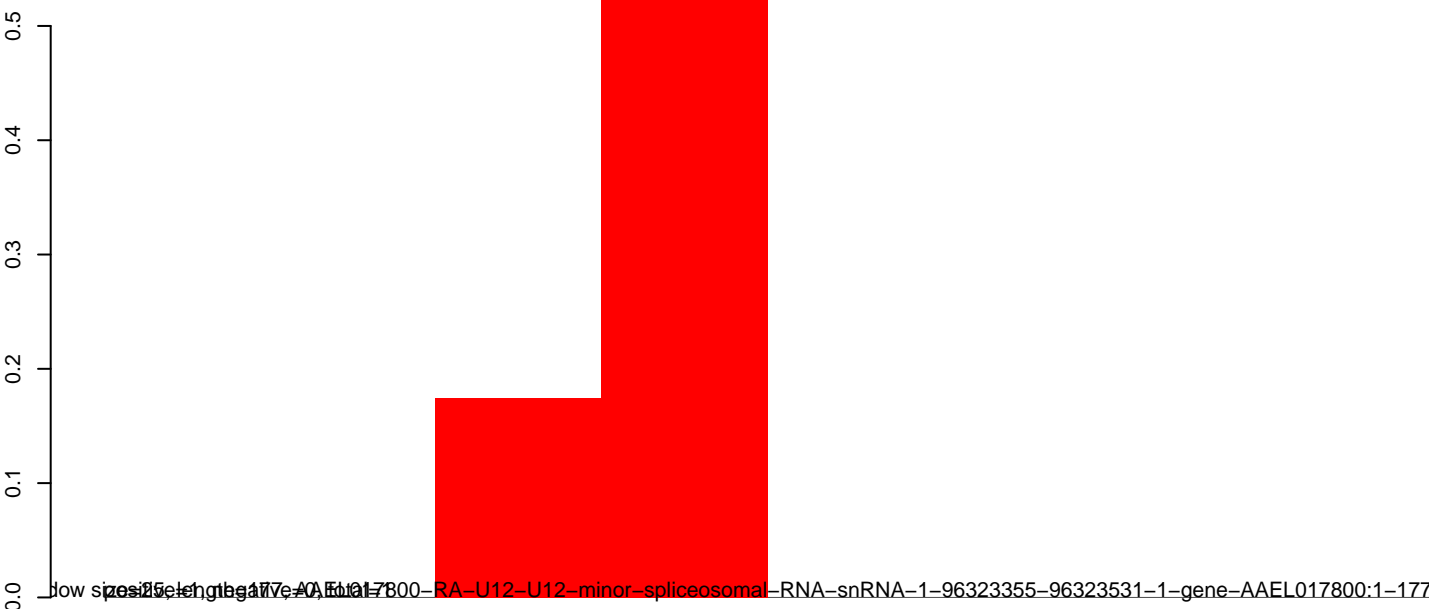
AeAlbo\_C636\_6dpi\_SINV3.18\_23.rep



AeAlbo\_C636\_6dpi\_SINV3.24\_35.rep



AeAlbo\_C636\_6dpi\_SINV3.rep



low size: 25, high: 177, gene: AAEL017800-RA-U12-U12-minor-spliceosomal-RNA-snrRNA-1-96323355-96323531-1-gene-AAEL017800:1-177

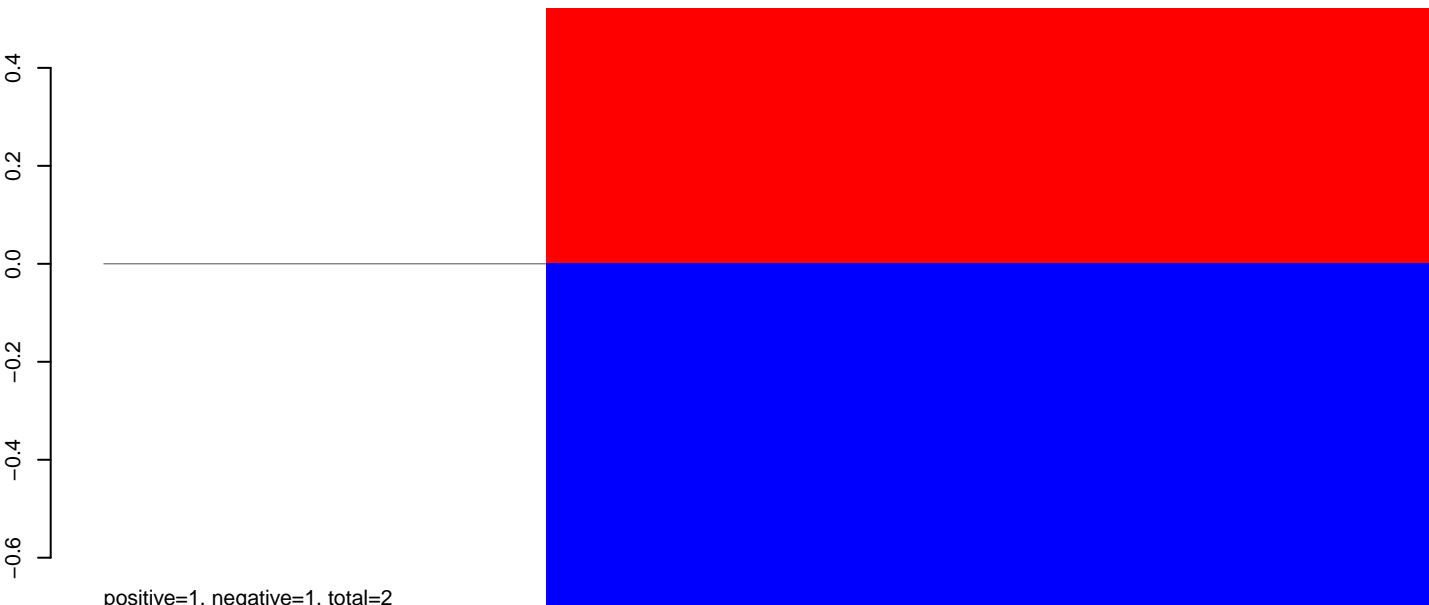
50

100

150

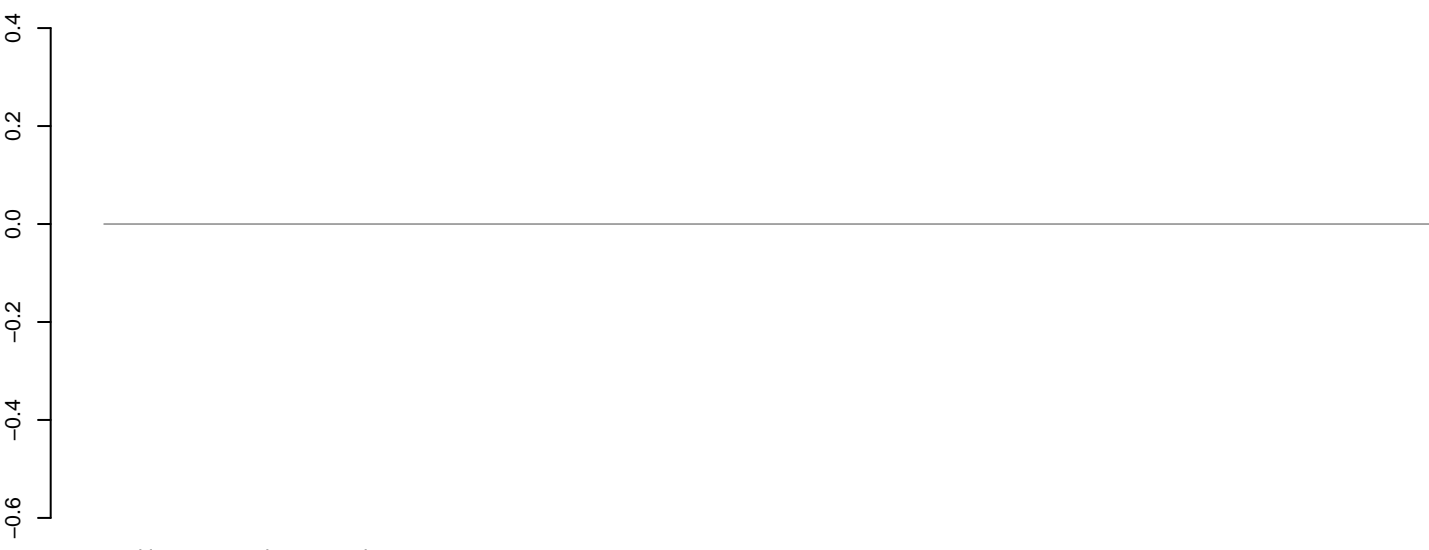
200

**AeAlbo\_C636\_6dpi\_SINV3.18\_23.rep**



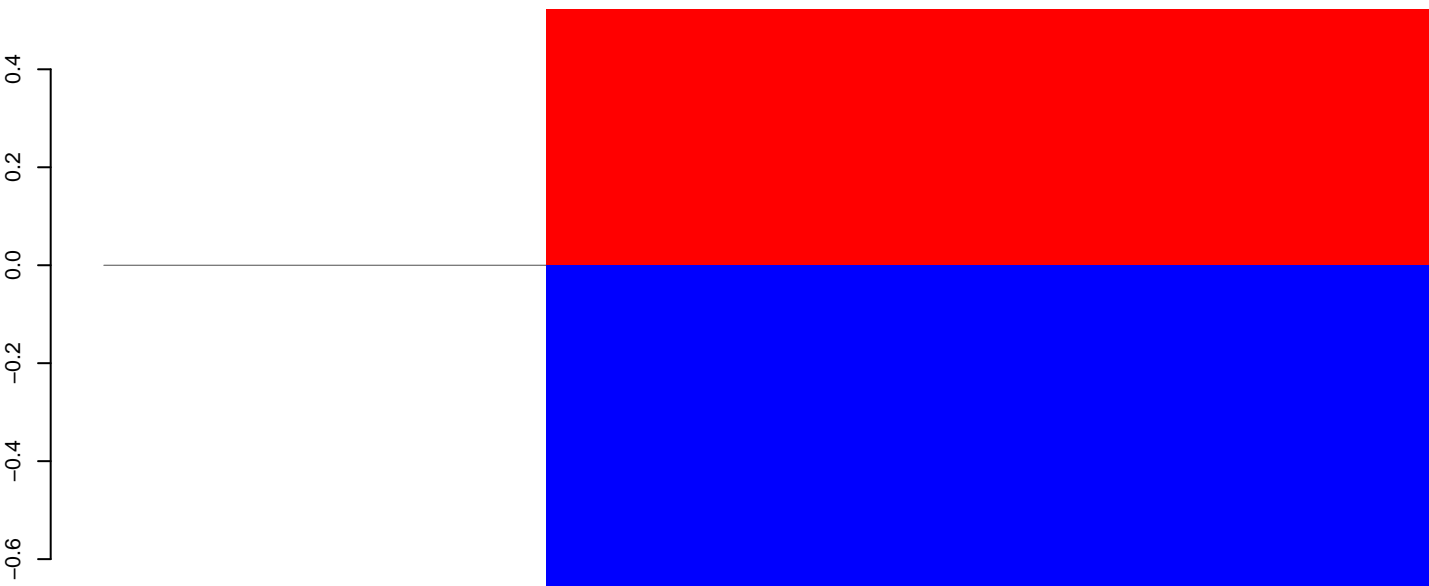
positive=1, negative=1, total=2

**AeAlbo\_C636\_6dpi\_SINV3.24\_35.rep**



positive=0, negative=0, total=0

**AeAlbo\_C636\_6dpi\_SINV3.rep**

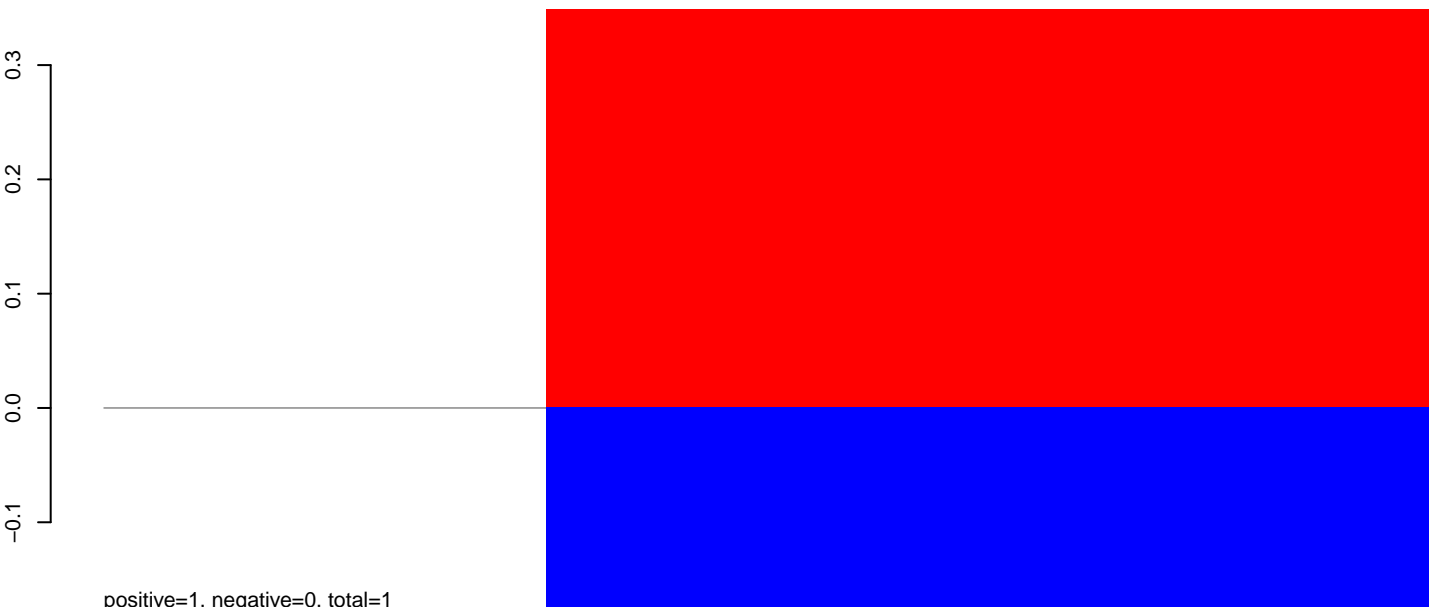


positive=1, negative=1, total=2 window size=25, length=71, ma411141-tRNA-MNAF02001503.1-1274217-1274287-1-gene-Trnat-ugu\_4:1-71

40 60 80 100

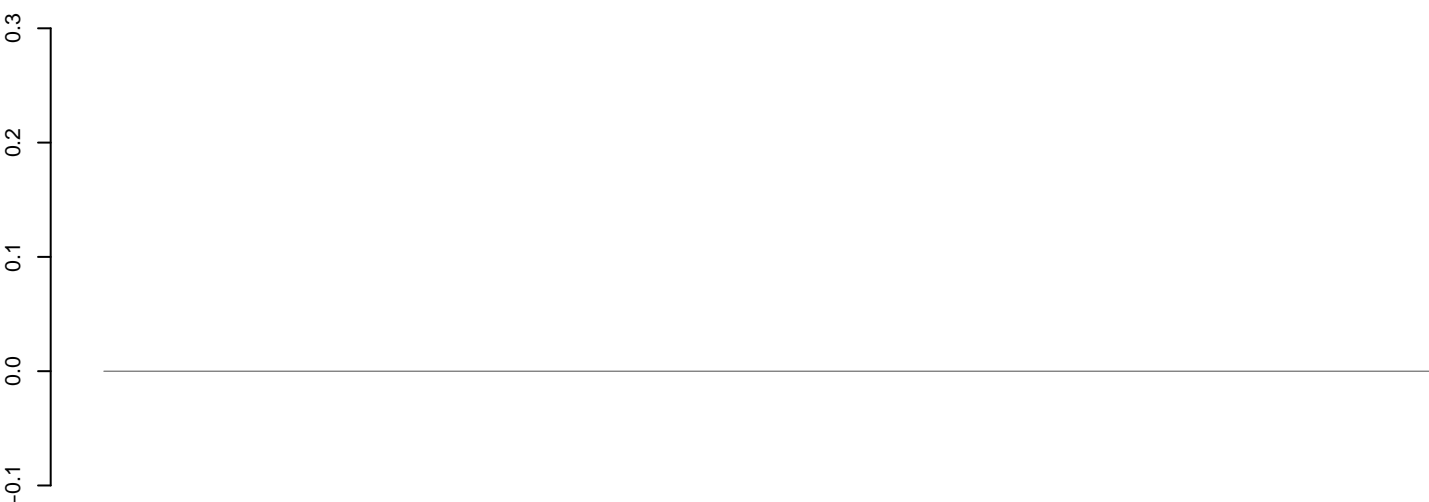


**AeAlbo\_C636\_6dpi\_SINV3.18\_23.rep**



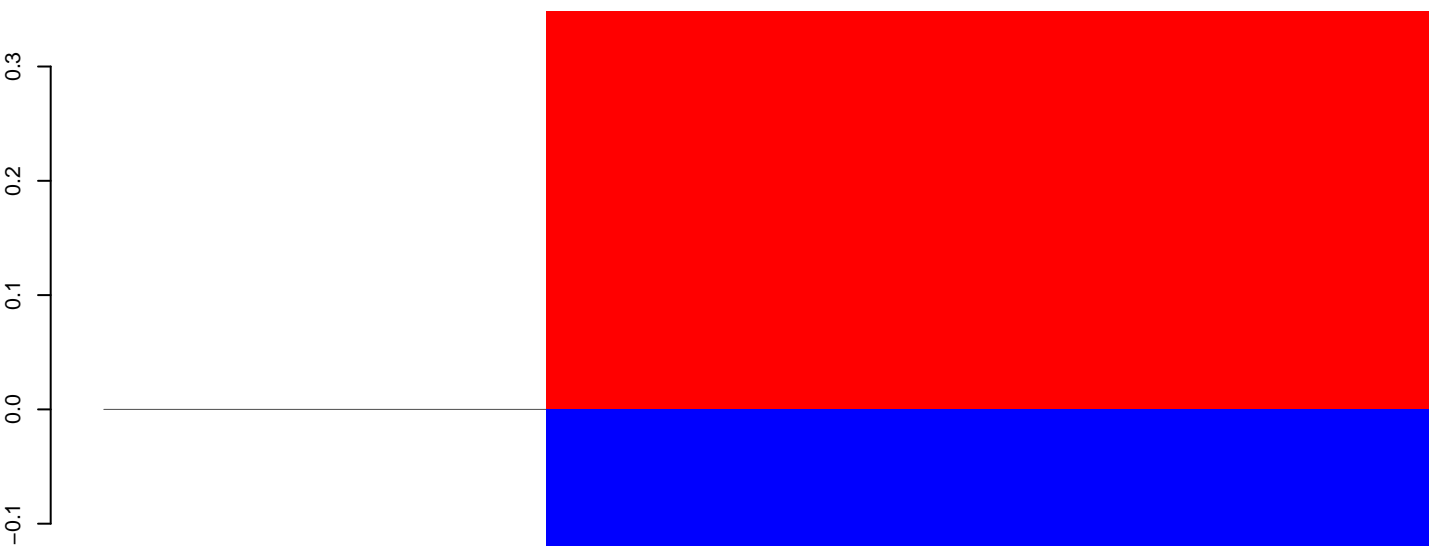
positive=1, negative=0, total=1

**AeAlbo\_C636\_6dpi\_SINV3.24\_35.rep**



positive=0, negative=0, total=0

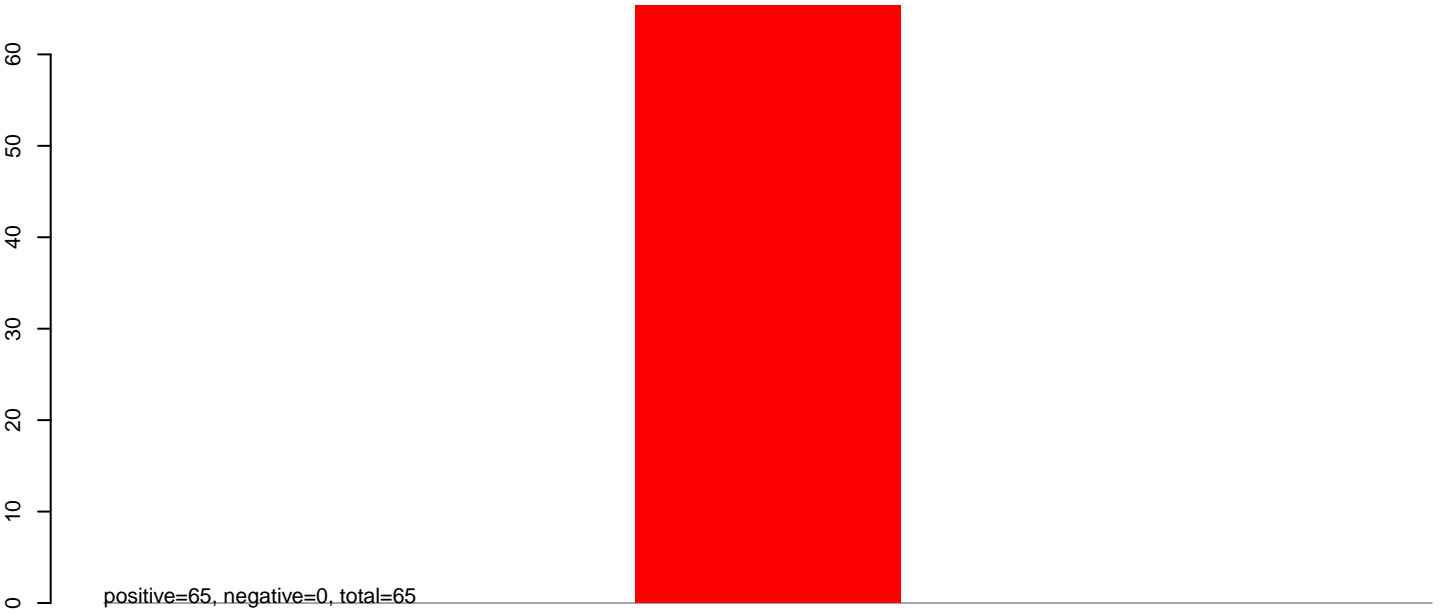
**AeAlbo\_C636\_6dpi\_SINV3.rep**



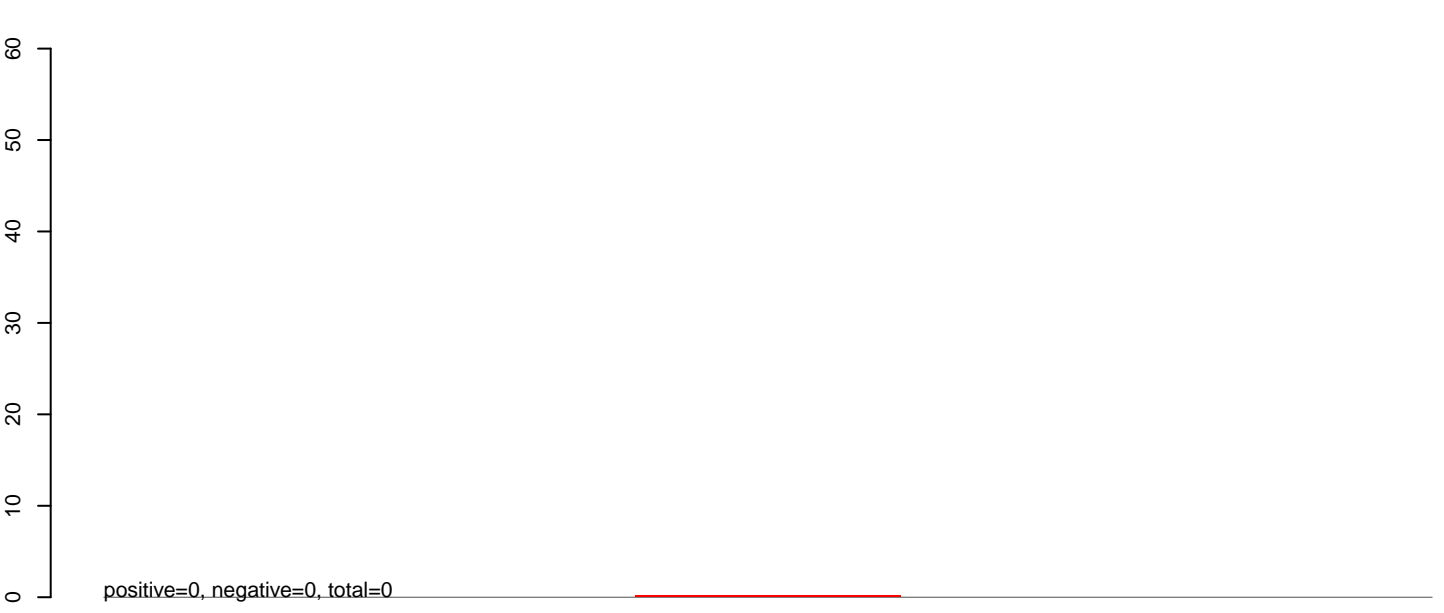
positive=1, negative=0, total=1 window size=25, length=74, rna3279-tRNA-MNAF02000112.1-1061466-1061539-1-gene-Trnad-guc\_67:1-74

40 60 80 100

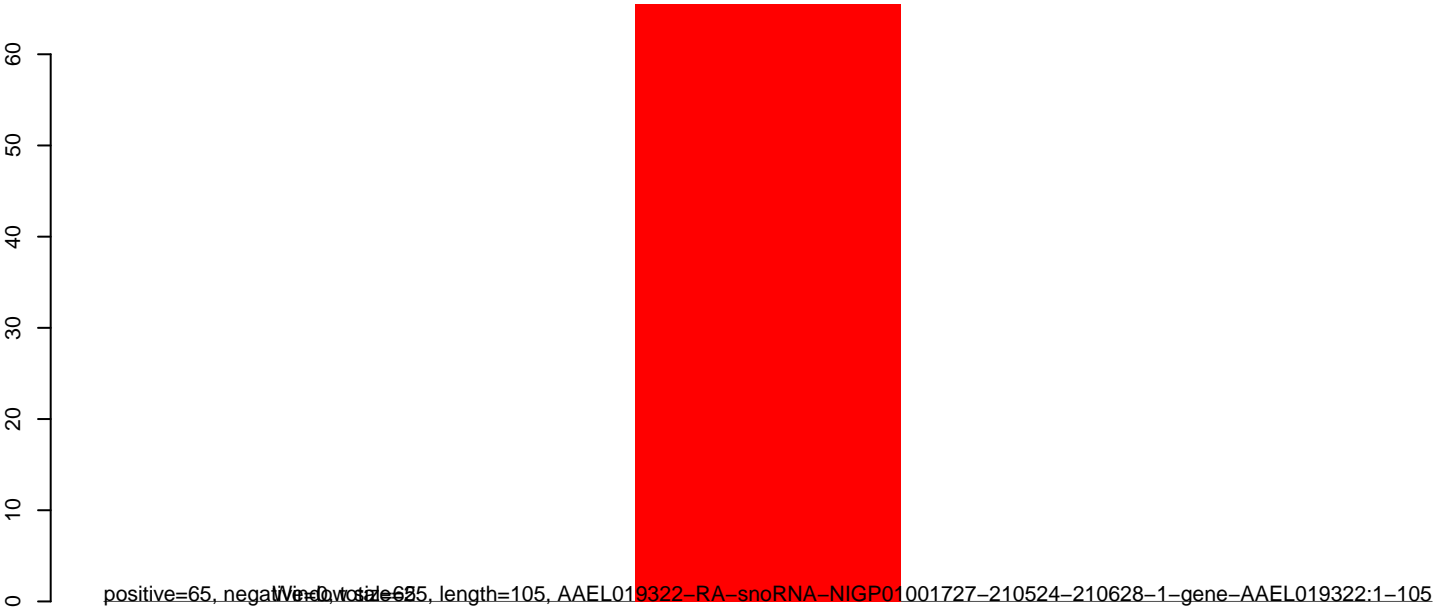
**AeAlbo\_C636\_6dpi\_SINV3.18\_23.rep**



**AeAlbo\_C636\_6dpi\_SINV3.24\_35.rep**



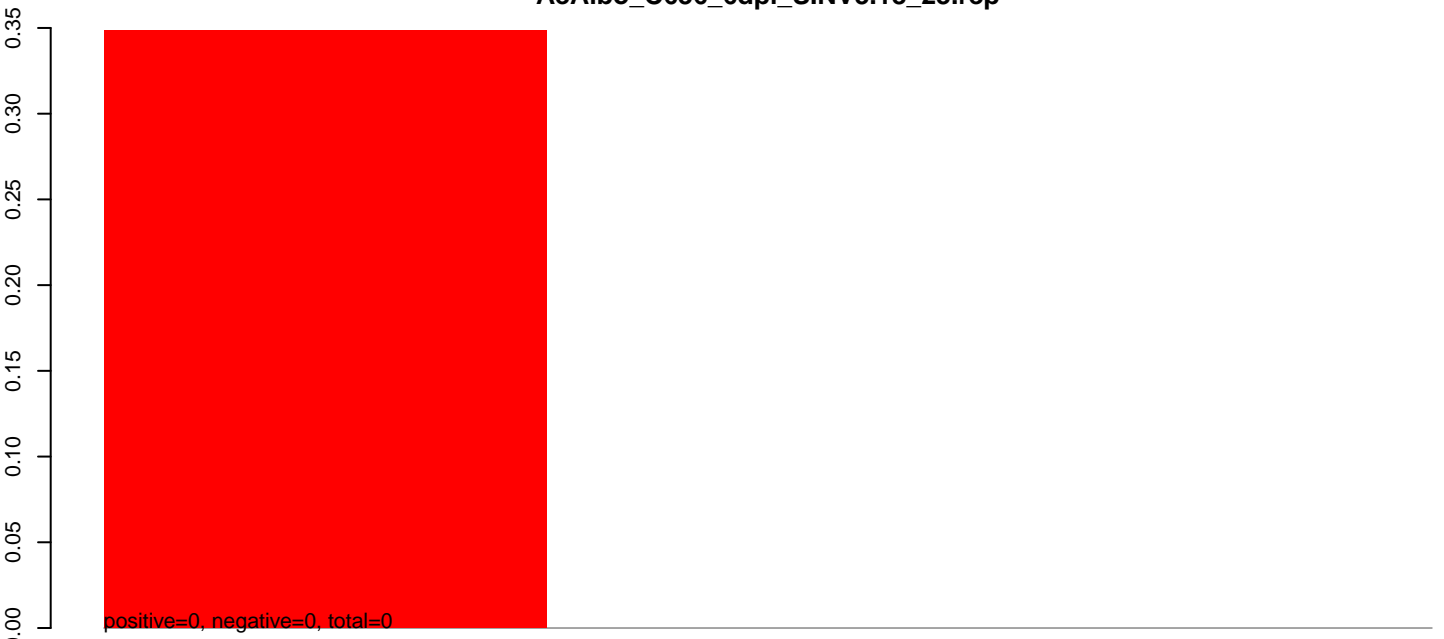
**AeAlbo\_C636\_6dpi\_SINV3.rep**



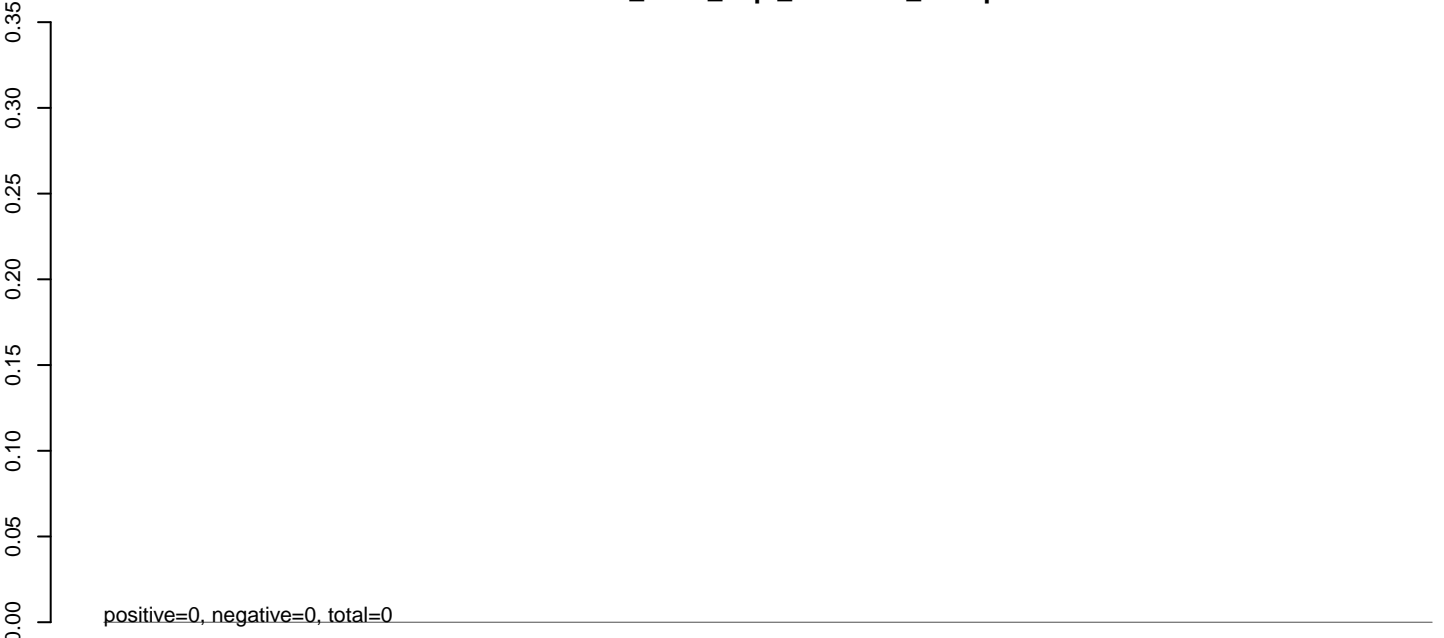
positive=65, negative=0, total=65, window size=65, length=105, AAEL019322-RA-snoRNA-NIGP01001727-210524-210628-1-gene-AAEL019322:1-105

40 60 80 100 120 140

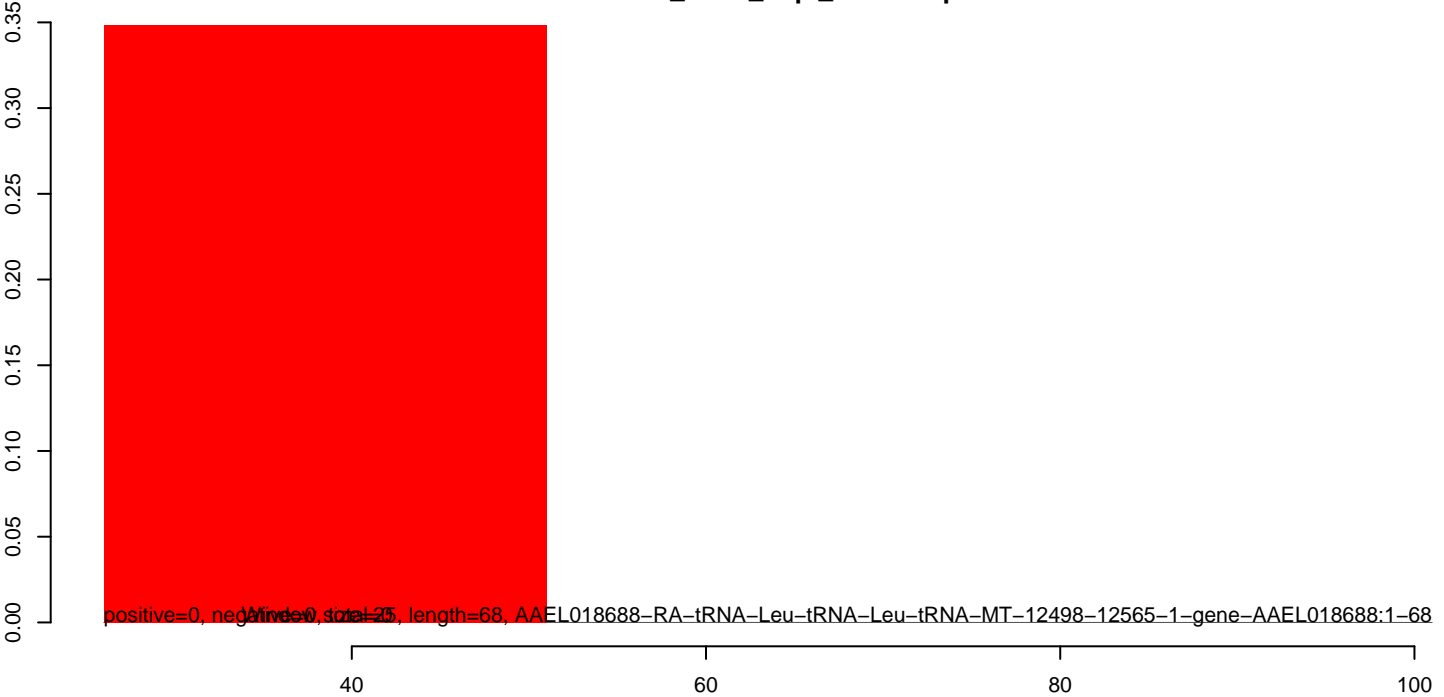
**AeAlbo\_C636\_6dpi\_SINV3.18\_23.rep**



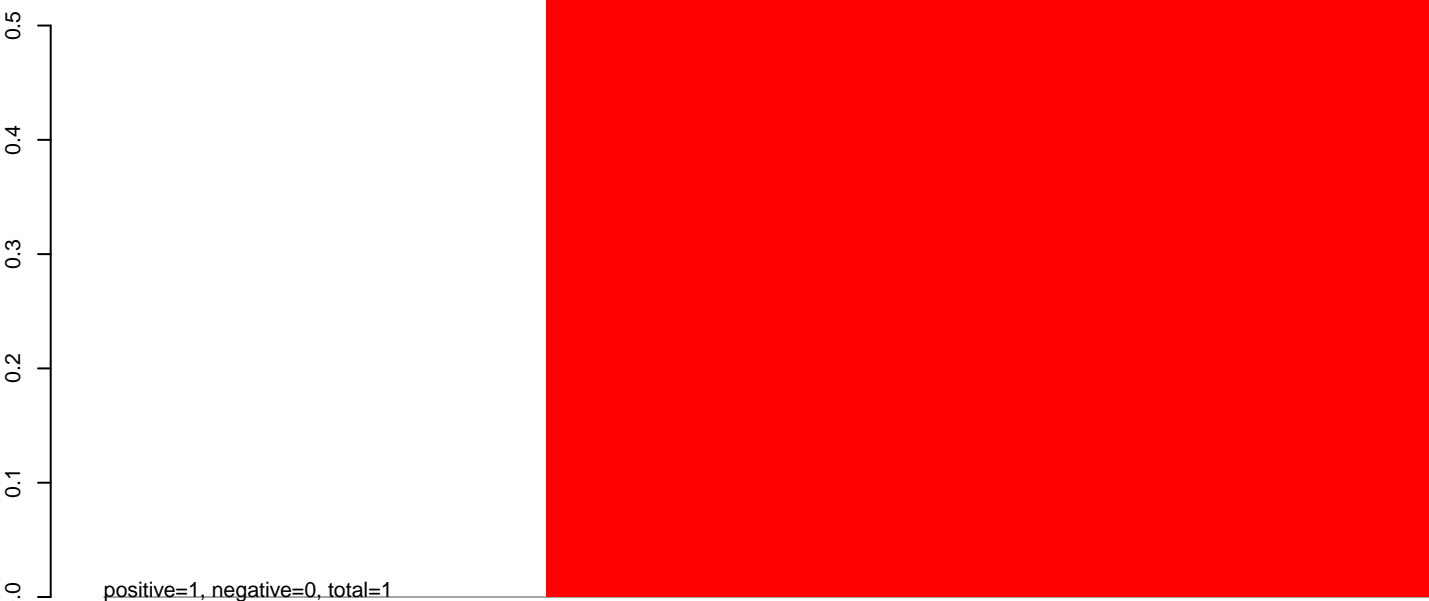
**AeAlbo\_C636\_6dpi\_SINV3.24\_35.rep**



**AeAlbo\_C636\_6dpi\_SINV3.rep**



**AeAlbo\_C636\_6dpi\_SINV3.18\_23.rep**



**AeAlbo\_C636\_6dpi\_SINV3.24\_35.rep**



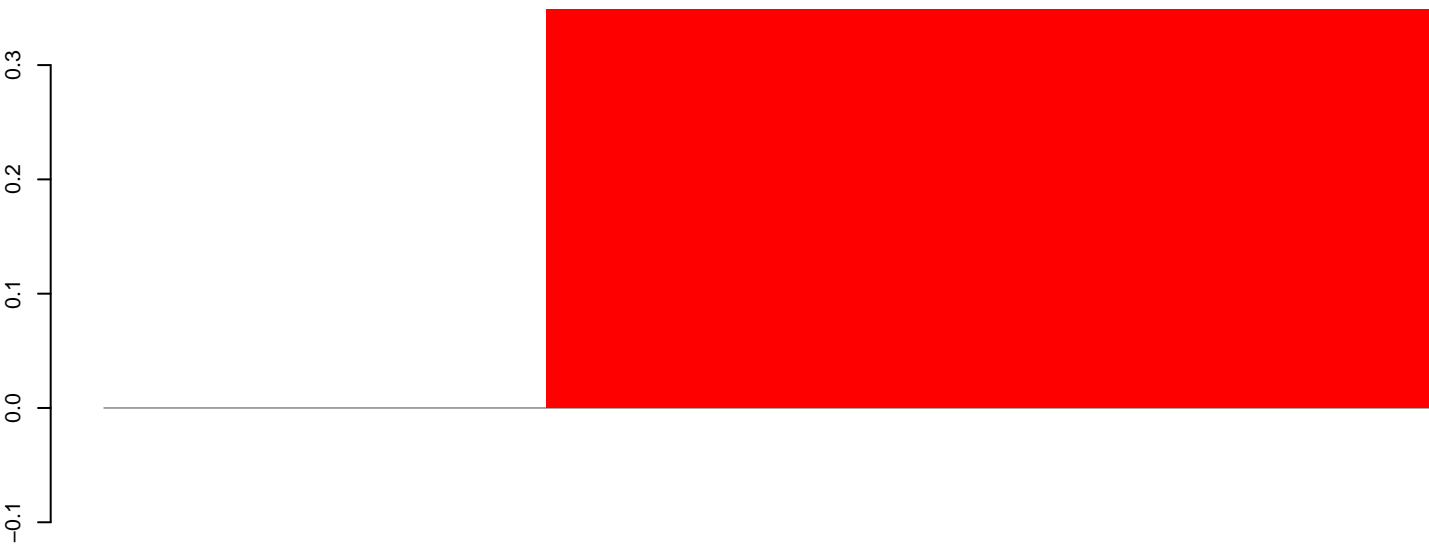
**AeAlbo\_C636\_6dpi\_SINV3.rep**



Window size=25, length=66, AAEL018686-RA-tRNA-Ser-tRNA-Ser-tRNA-MT-11458-11523-1-gene-AAEL018686:1-66

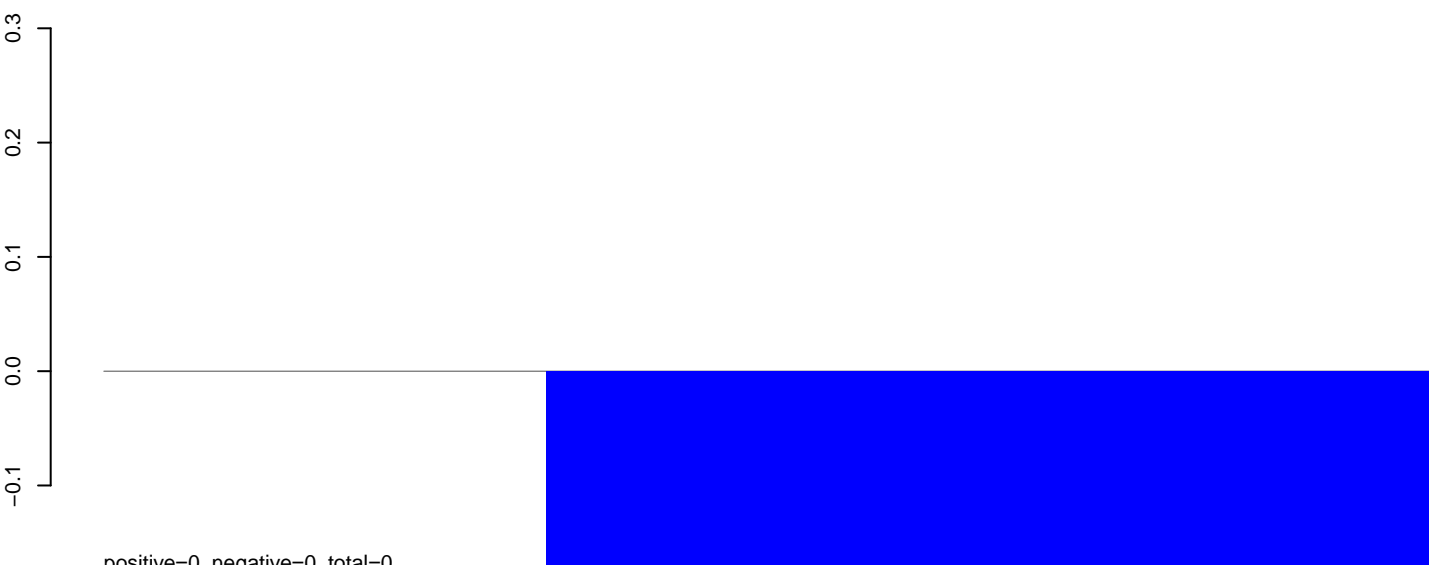
40 60 80 100

**AeAlbo\_C636\_6dpi\_SINV3.18\_23.rep**



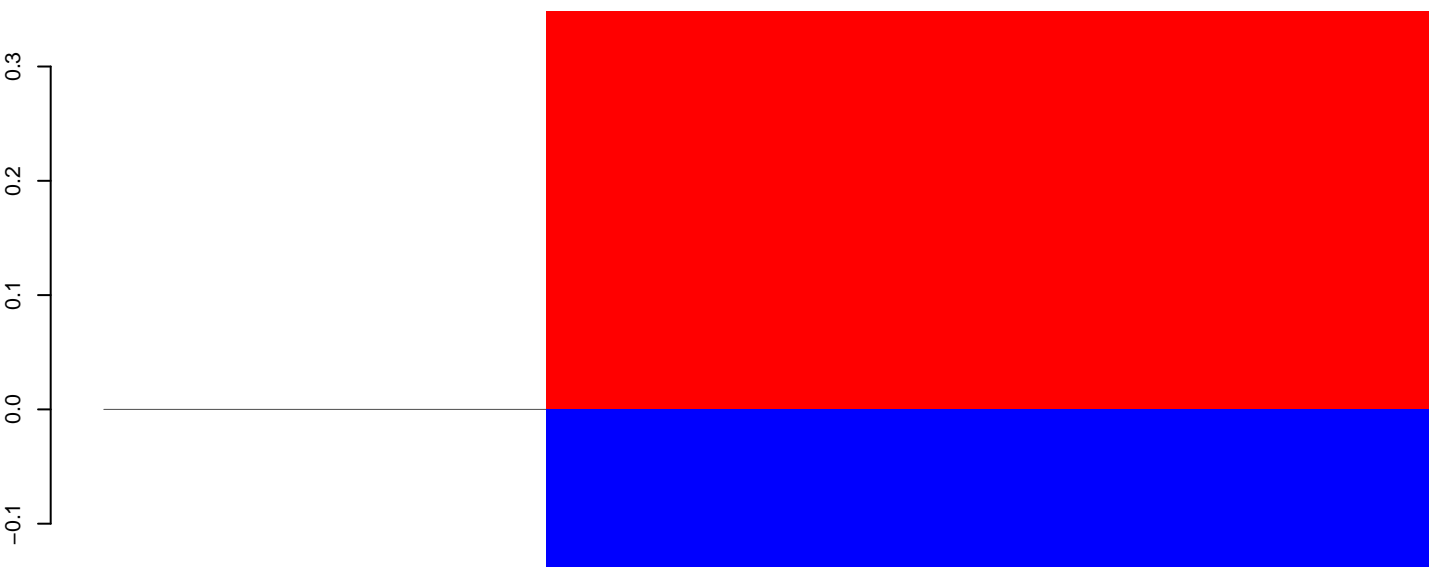
positive=1, negative=0, total=1

**AeAlbo\_C636\_6dpi\_SINV3.24\_35.rep**



positive=0, negative=0, total=0

**AeAlbo\_C636\_6dpi\_SINV3.rep**



positive=1, negative=1, total=2, length=67, AAEL018683-RA-tRNA-Pro-tRNA-Pro-tRNA-MT-9729-9795-1-gene-AAEL018683-1-67

40 60 80 100

AeAlbo\_C636\_6dpi\_SINV3.18\_23.rep

0.00  
-0.05  
-0.10  
-0.15

positive=0, negative=0, total=0

AeAlbo\_C636\_6dpi\_SINV3.24\_35.rep

0.00  
-0.05  
-0.10  
-0.15

positive=0, negative=0, total=0

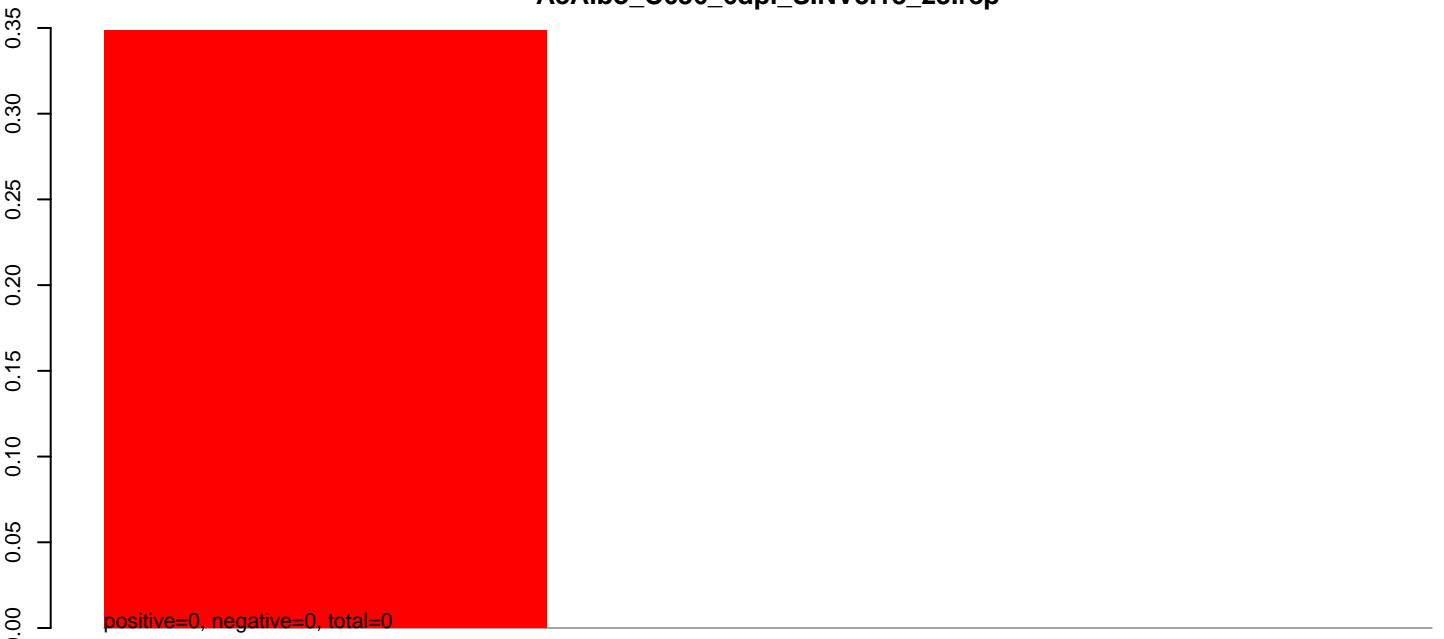
AeAlbo\_C636\_6dpi\_SINV3.rep

0.00  
-0.05  
-0.10  
-0.15

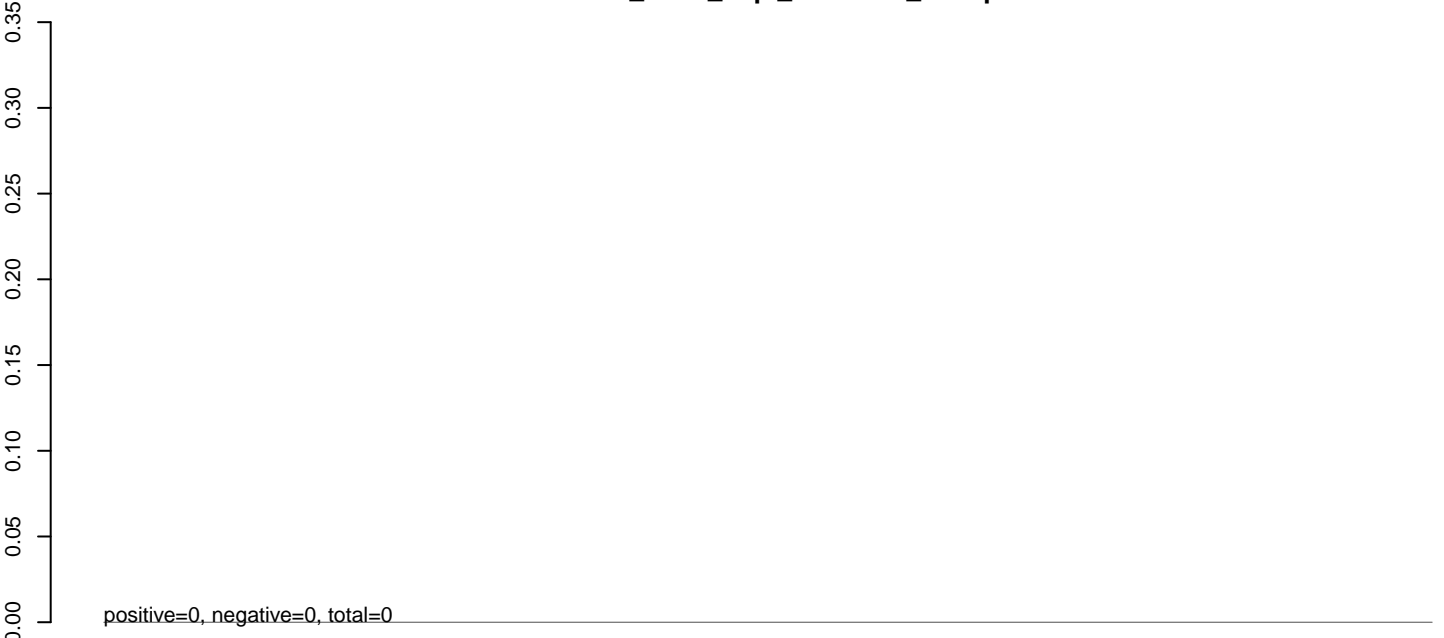
positive=0, negative=0, total=0  
Window size=925, length=67, AAEL018677-RA-tRNA-Phe-tRNA-Phe-tRNA-MT-6139-6205-1-gene-AAEL018677:1-67

40 60 80 100

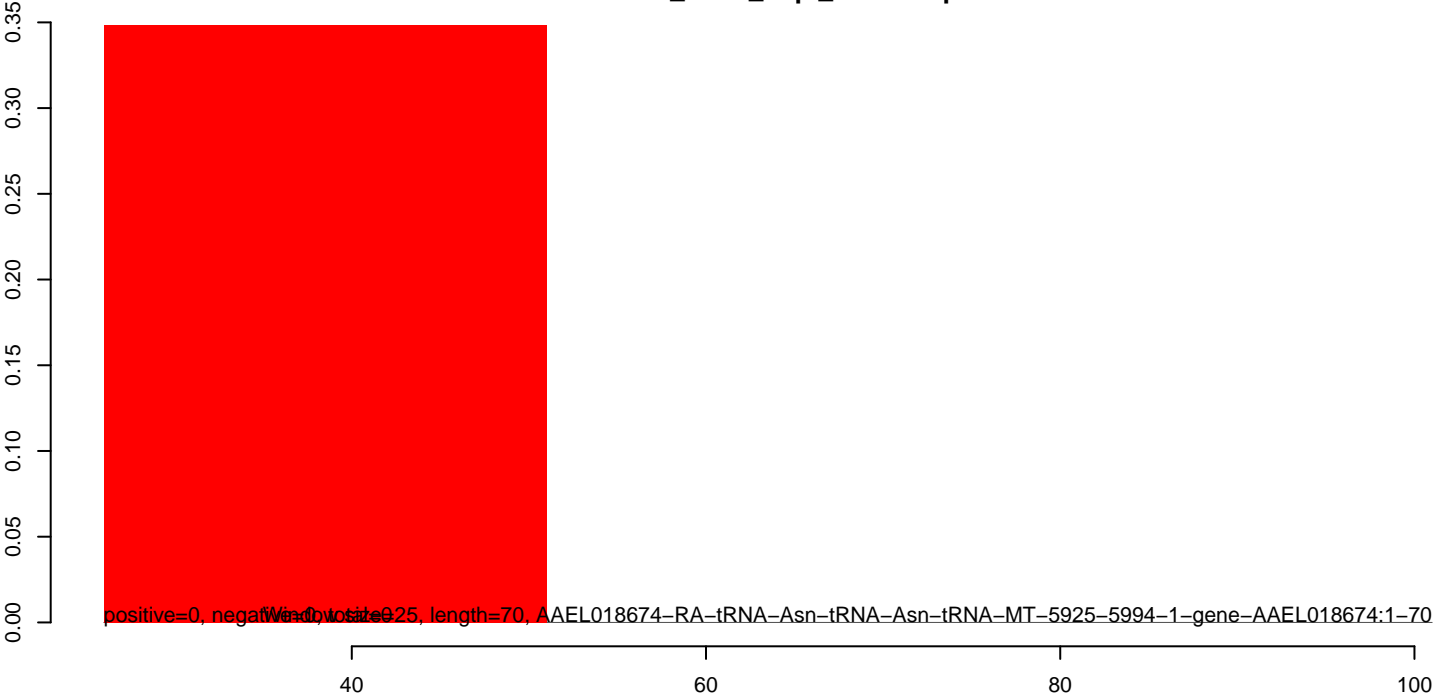
**AeAlbo\_C636\_6dpi\_SINV3.18\_23.rep**



**AeAlbo\_C636\_6dpi\_SINV3.24\_35.rep**



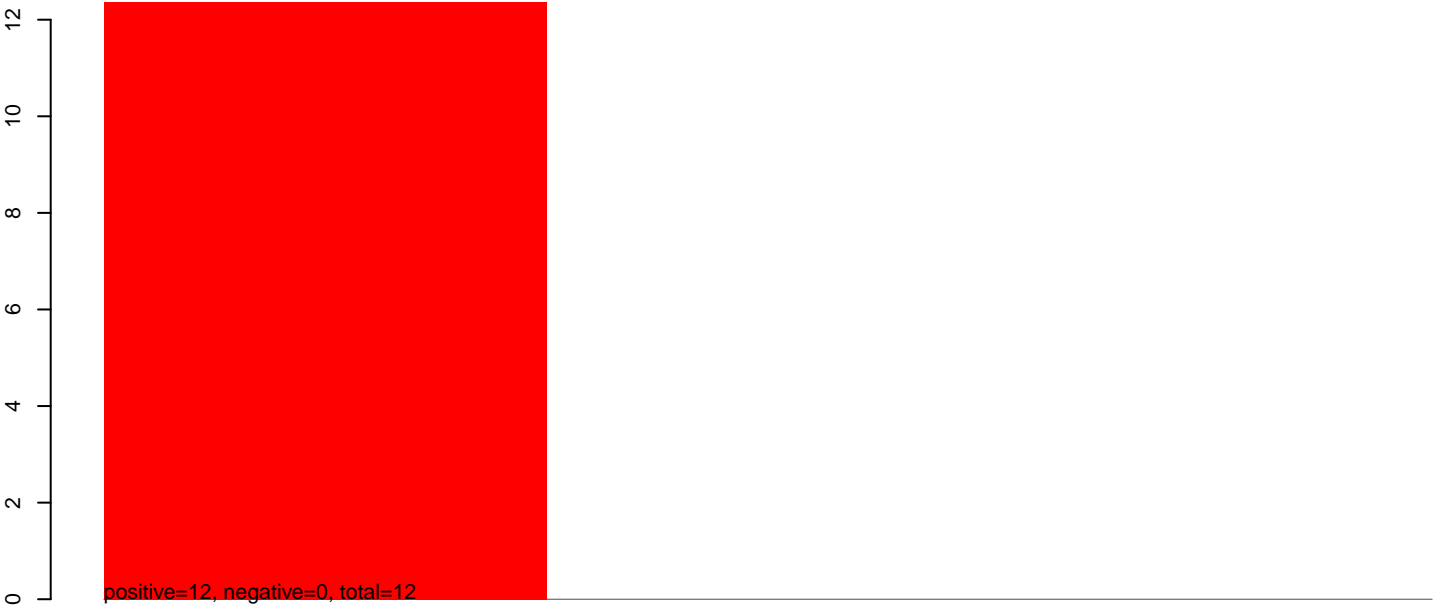
**AeAlbo\_C636\_6dpi\_SINV3.rep**



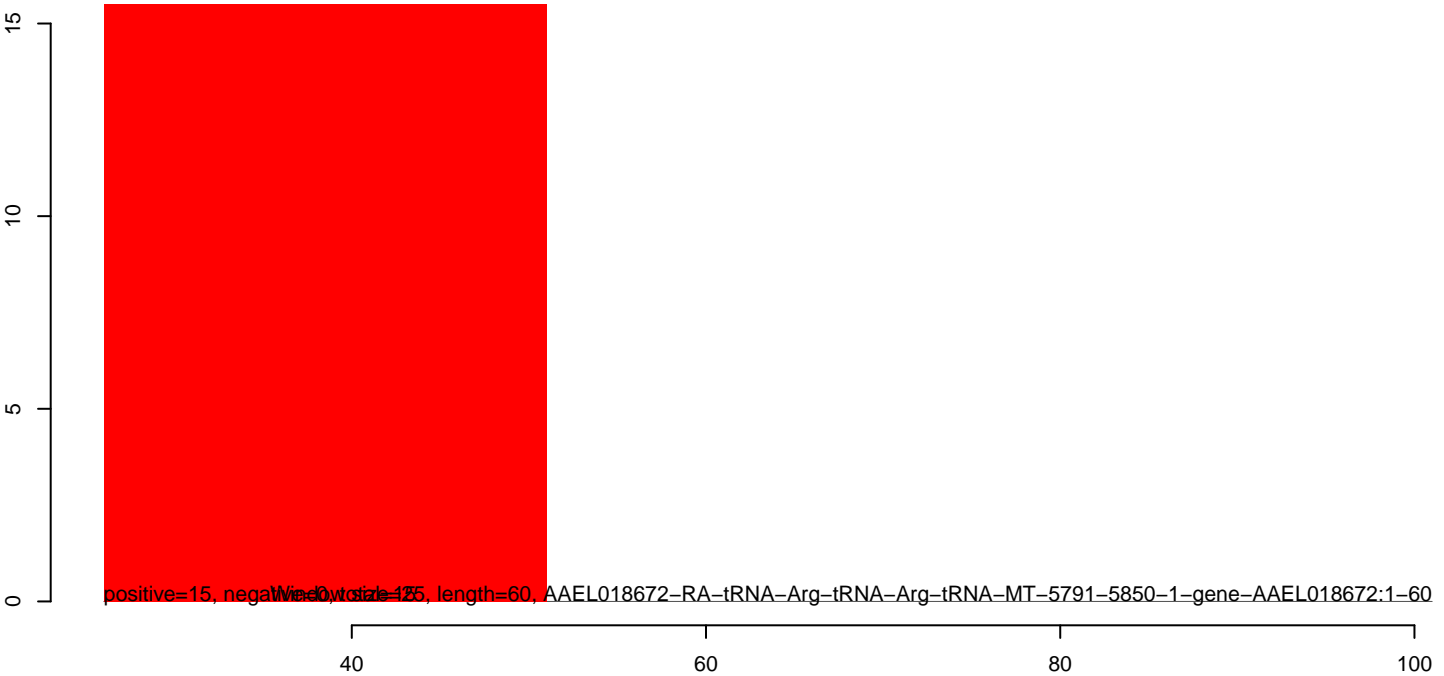
AeAlbo\_C636\_6dpi\_SINV3.18\_23.rep



AeAlbo\_C636\_6dpi\_SINV3.24\_35.rep

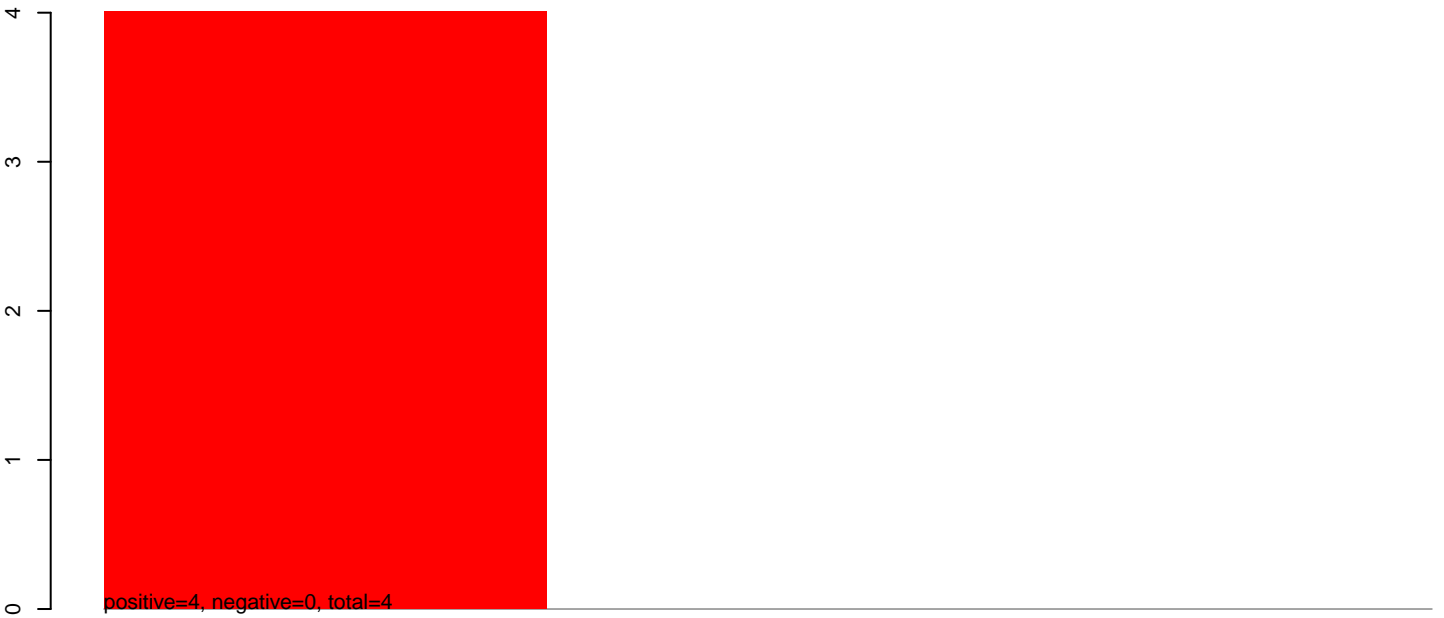


AeAlbo\_C636\_6dpi\_SINV3.rep

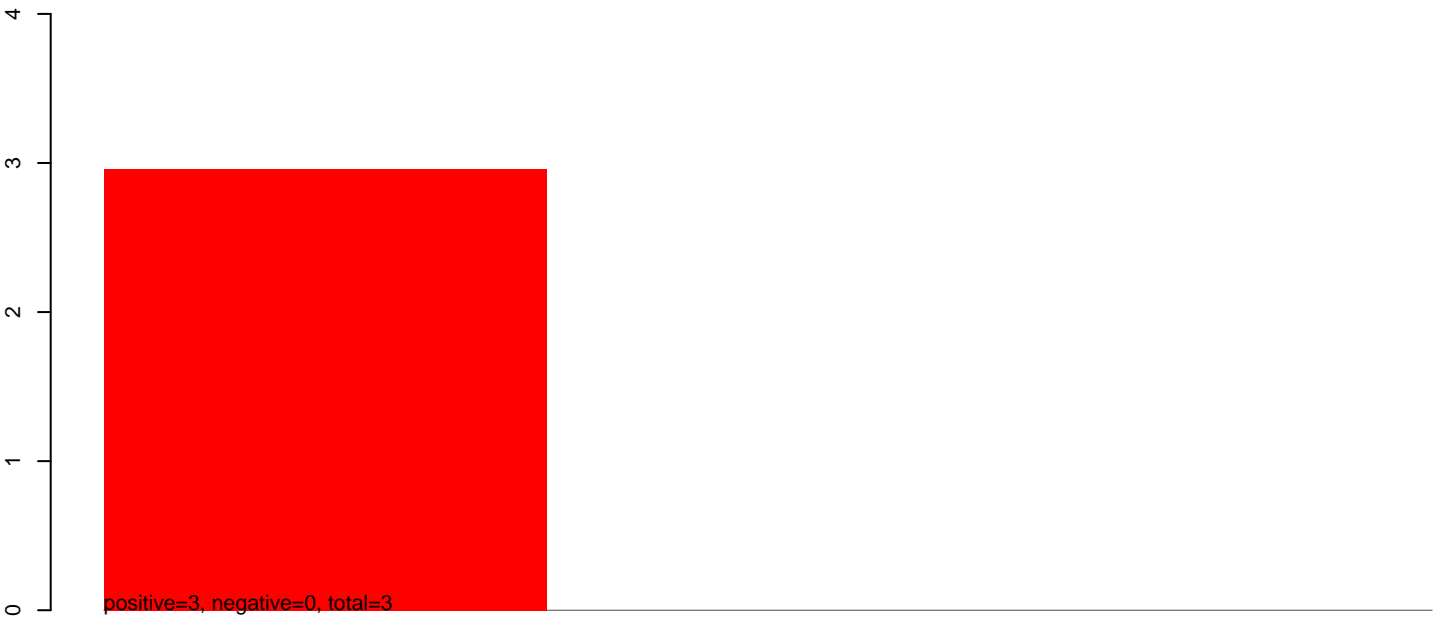




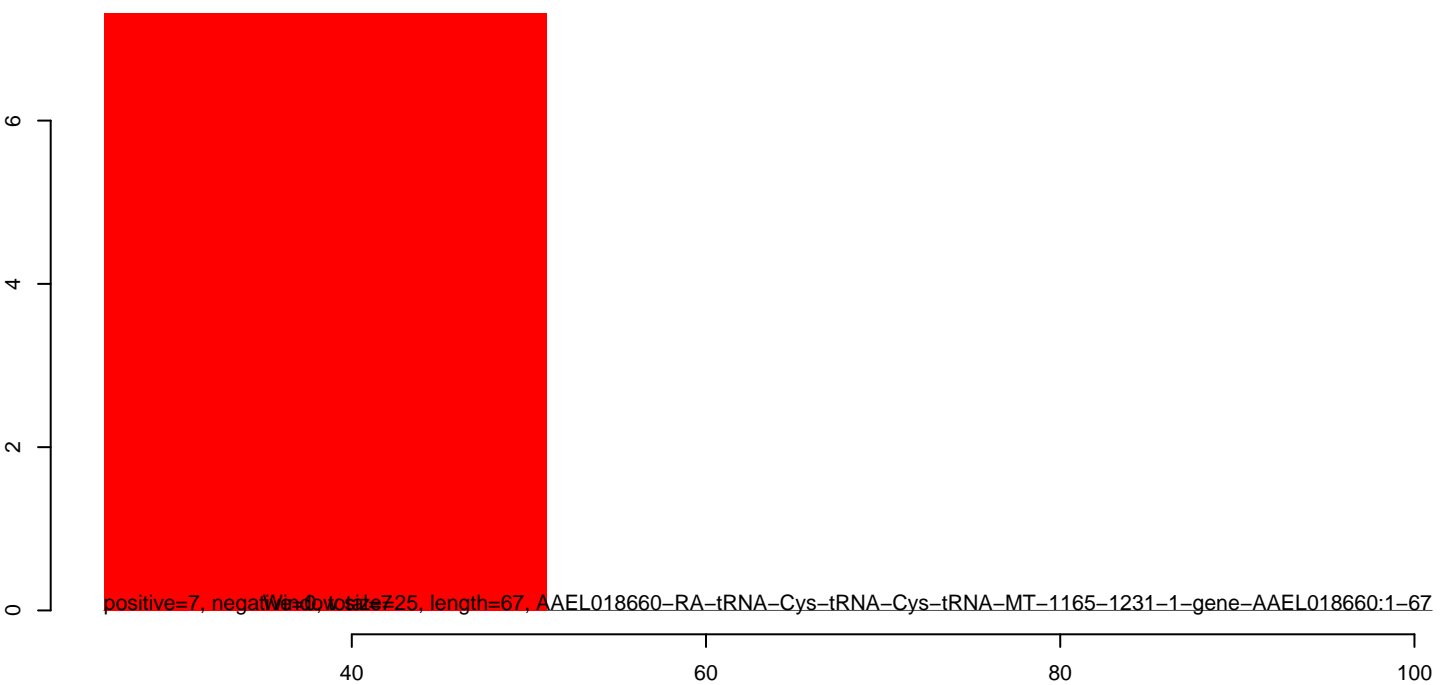
AeAlbo\_C636\_6dpi\_SINV3.18\_23.rep



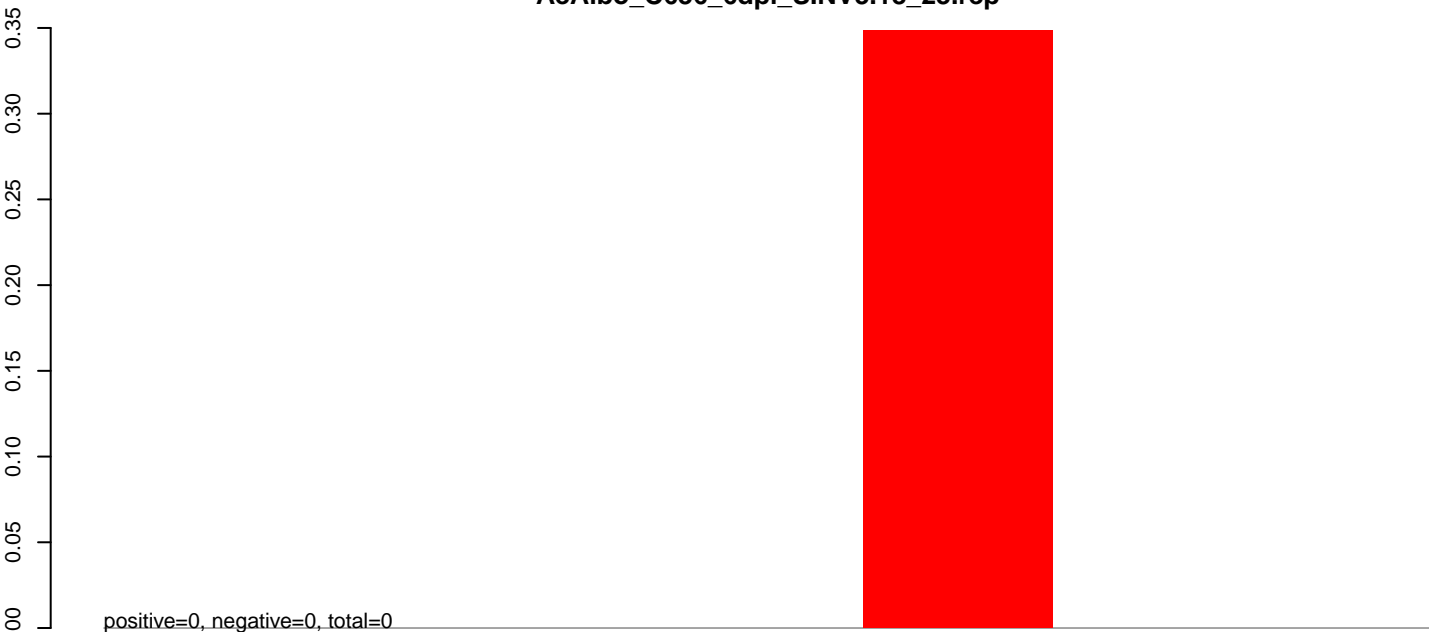
AeAlbo\_C636\_6dpi\_SINV3.24\_35.rep



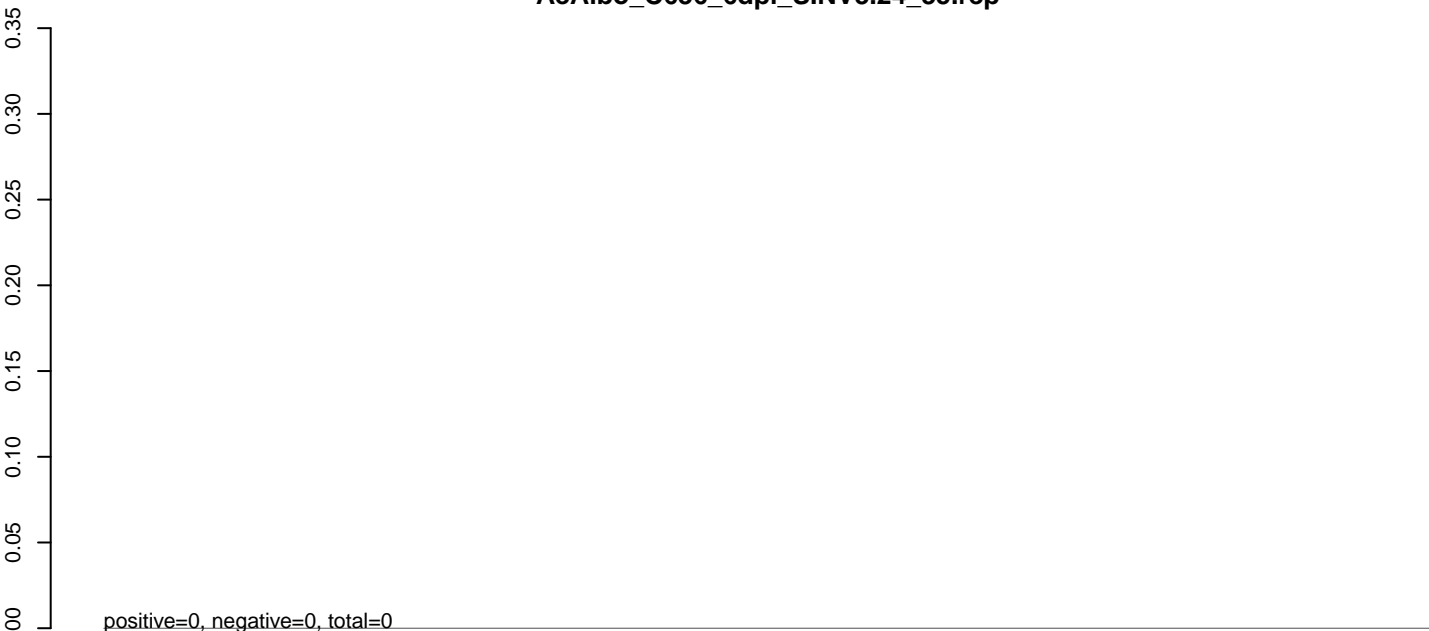
AeAlbo\_C636\_6dpi\_SINV3.rep



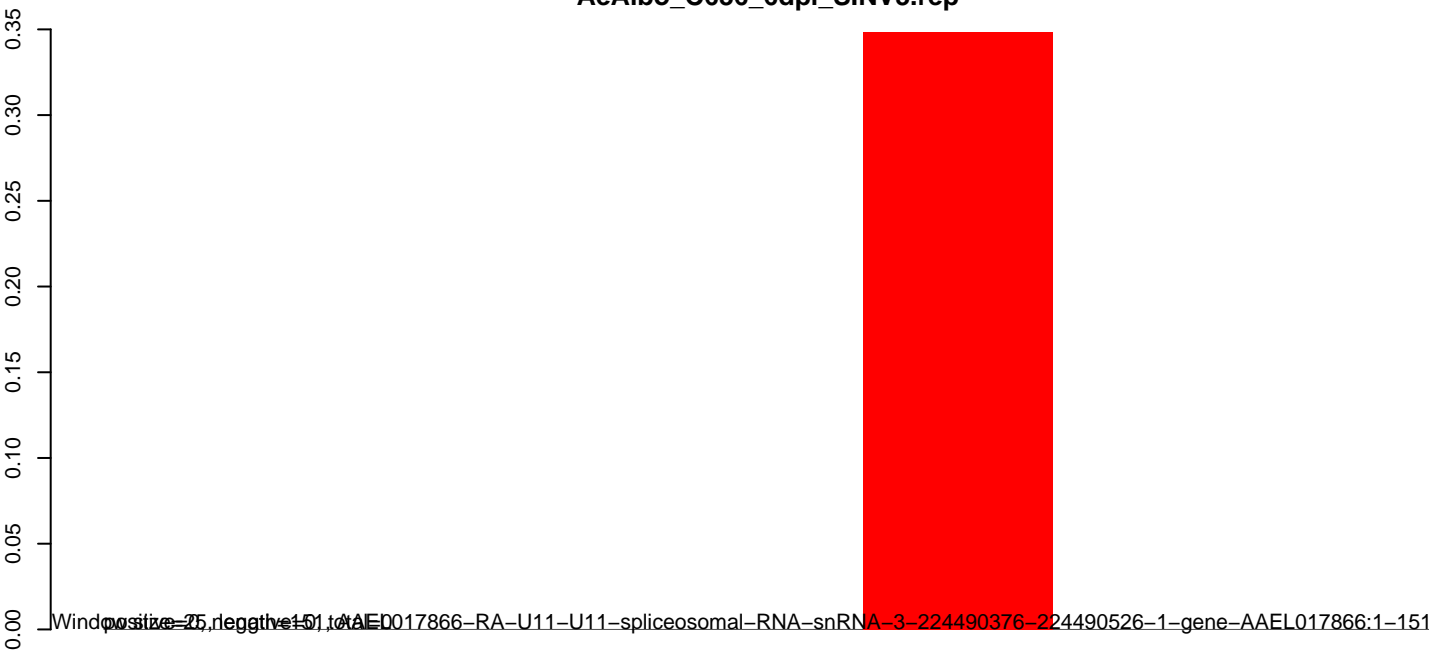
**AeAlbo\_C636\_6dpi\_SINV3.18\_23.rep**



**AeAlbo\_C636\_6dpi\_SINV3.24\_35.rep**



**AeAlbo\_C636\_6dpi\_SINV3.rep**



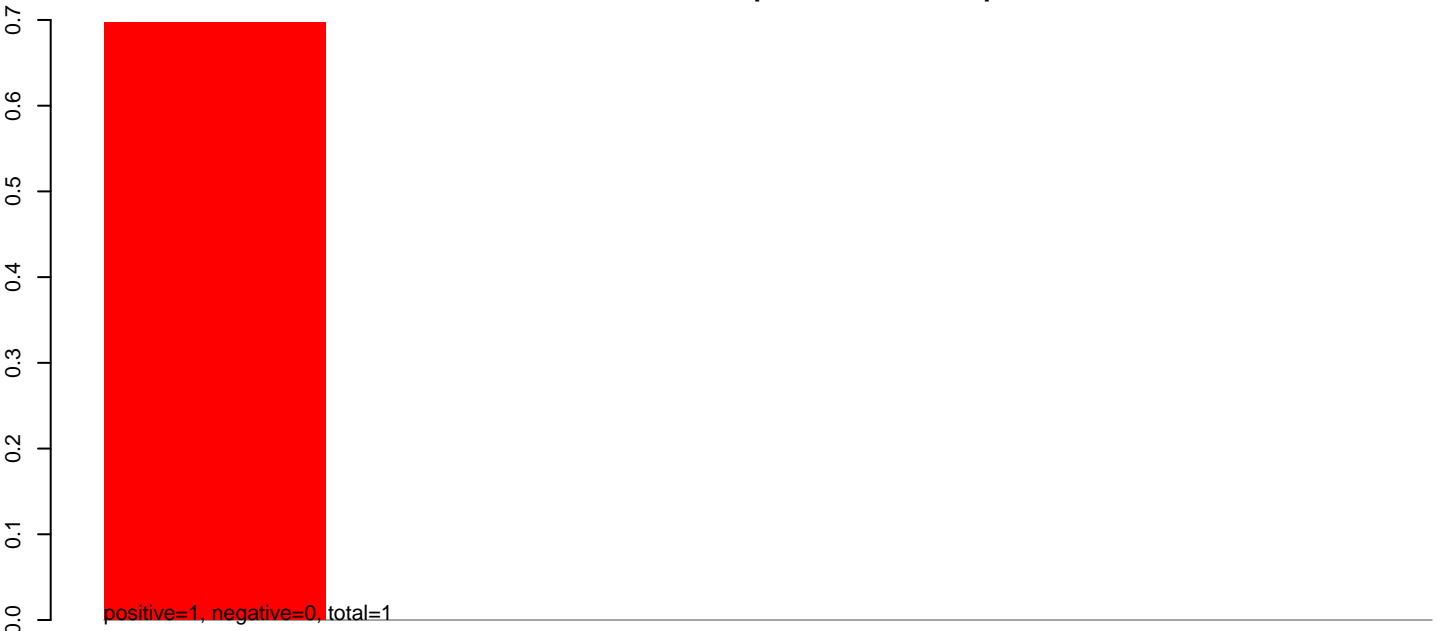
50

100

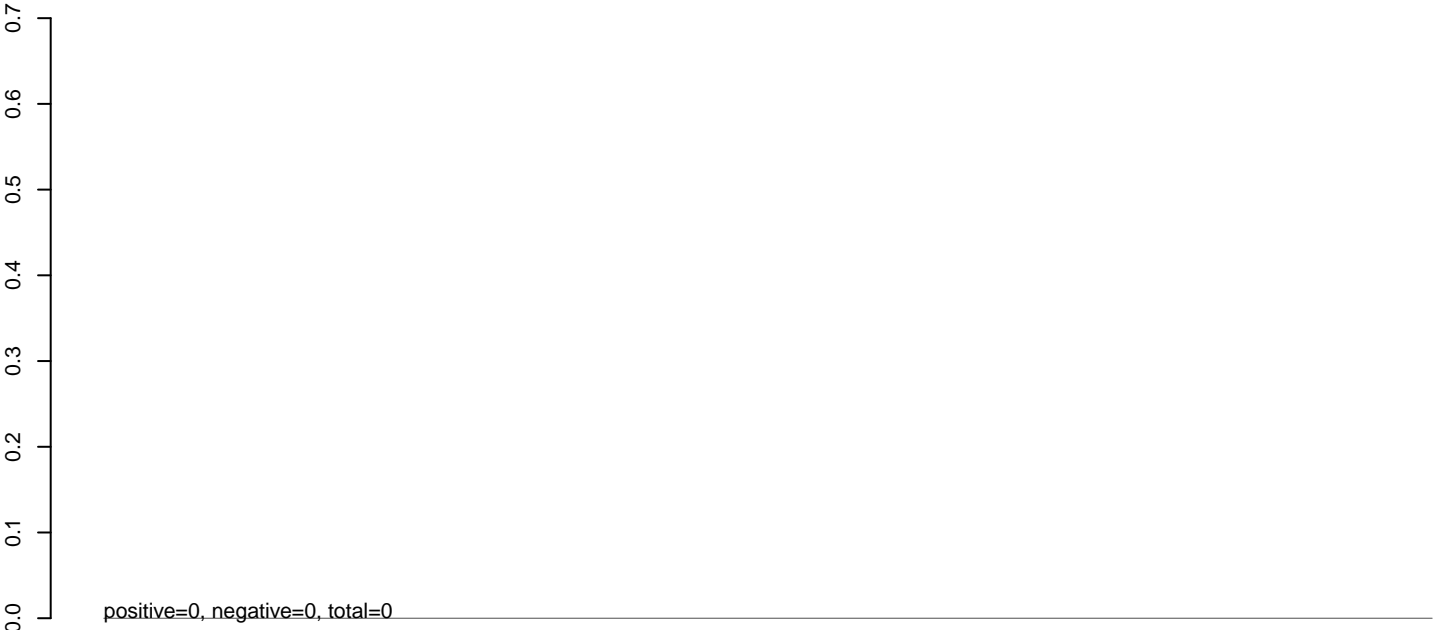
150

200

**AeAlbo\_C636\_6dpi\_SINV3.18\_23.rep**



**AeAlbo\_C636\_6dpi\_SINV3.24\_35.rep**



**AeAlbo\_C636\_6dpi\_SINV3.rep**



Wings: 26, Gating: 0, Gene: MEL017855-RA-U4-U4-spliceosomal-RNA-snRNA-3-347031618-347031750-1-gene-AAEL017855:1-133

**AeAlbo\_C636\_6dpi\_SINV3.18\_23.rep**



**AeAlbo\_C636\_6dpi\_SINV3.24\_35.rep**



**AeAlbo\_C636\_6dpi\_SINV3.rep**



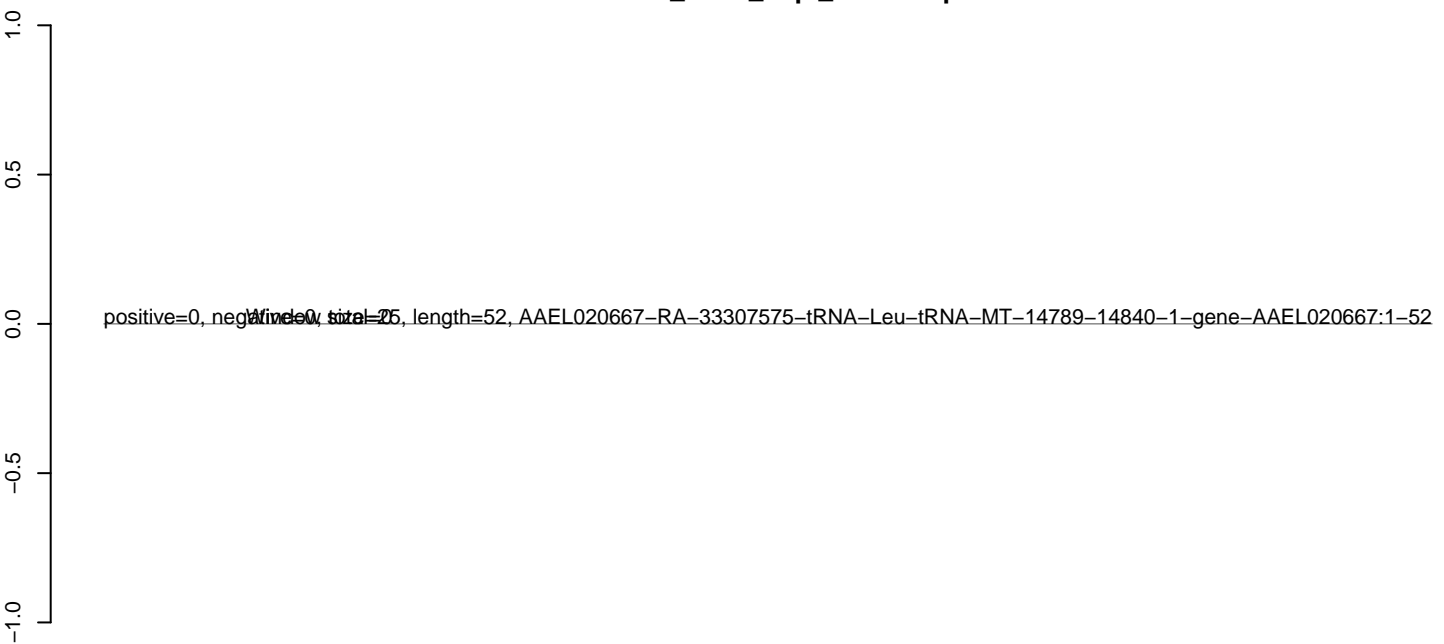
**AeAlbo\_C636\_6dpi\_SINV3.18\_23.rep**



**AeAlbo\_C636\_6dpi\_SINV3.24\_35.rep**



**AeAlbo\_C636\_6dpi\_SINV3.rep**



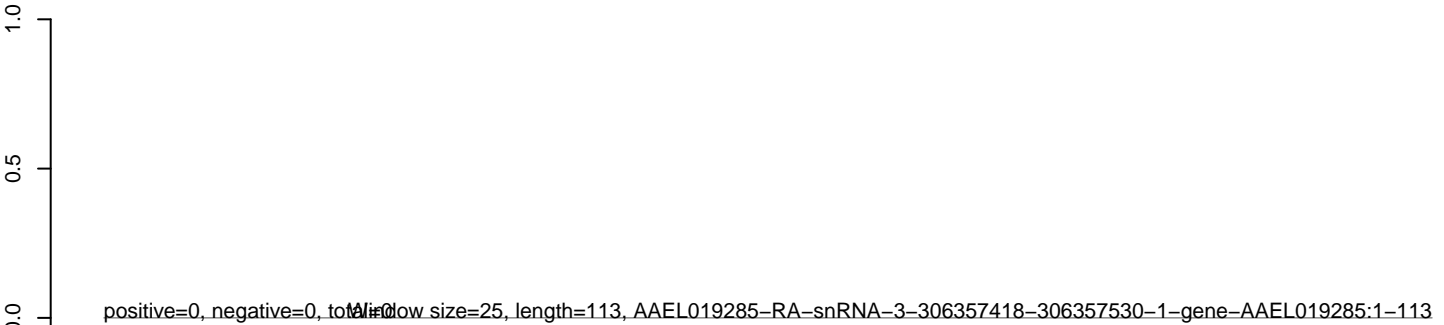
**AeAlbo\_C636\_6dpi\_SINV3.18\_23.rep**



**AeAlbo\_C636\_6dpi\_SINV3.24\_35.rep**



**AeAlbo\_C636\_6dpi\_SINV3.rep**



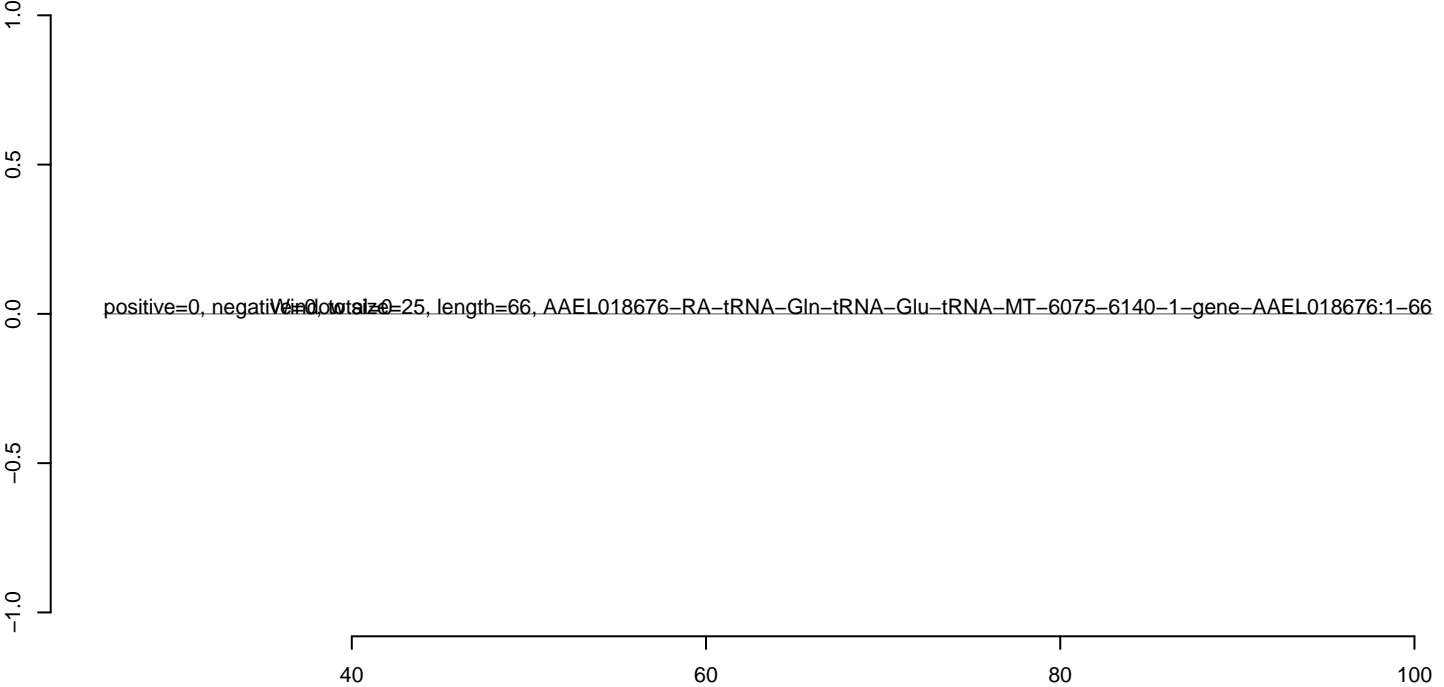
**AeAlbo\_C636\_6dpi\_SINV3.18\_23.rep**



**AeAlbo\_C636\_6dpi\_SINV3.24\_35.rep**



**AeAlbo\_C636\_6dpi\_SINV3.rep**



**AeAlbo\_C636\_6dpi\_SINV3.18\_23.rep**



**AeAlbo\_C636\_6dpi\_SINV3.24\_35.rep**



**AeAlbo\_C636\_6dpi\_SINV3.rep**





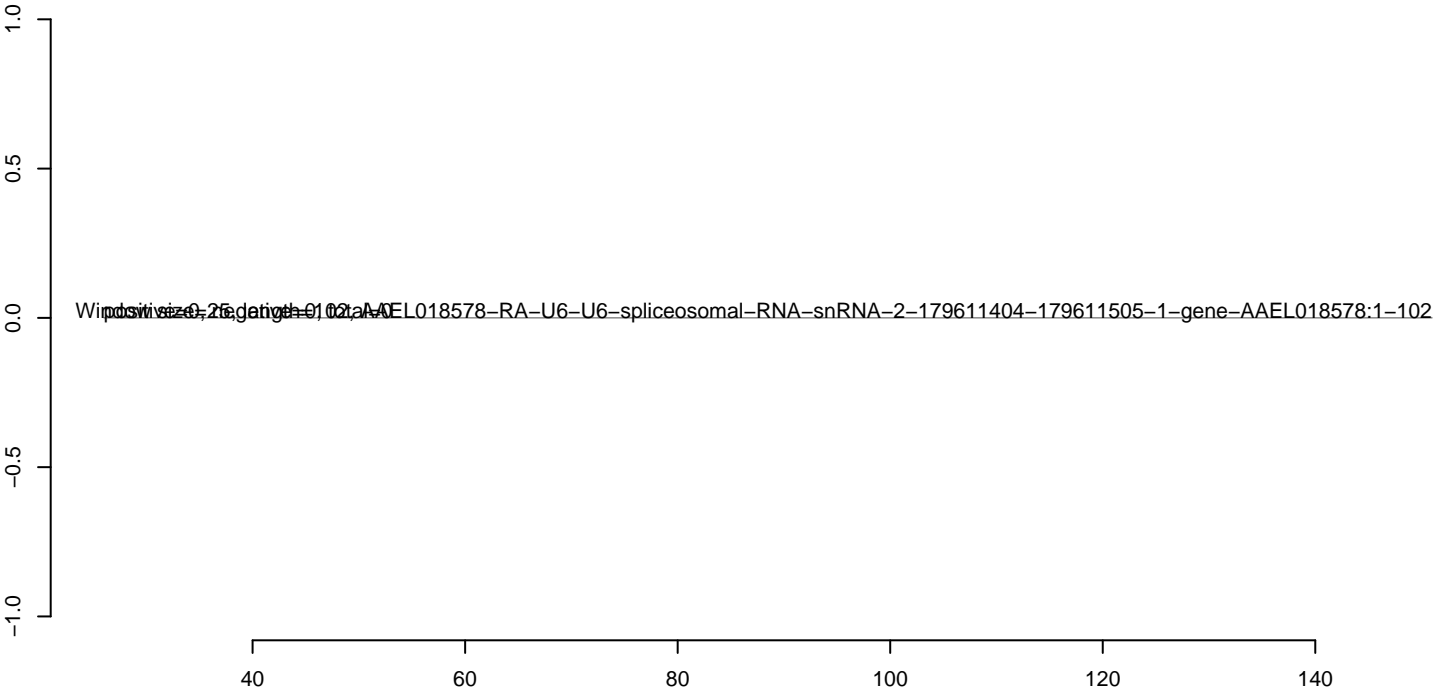
**AeAlbo\_C636\_6dpi\_SINV3.18\_23.rep**



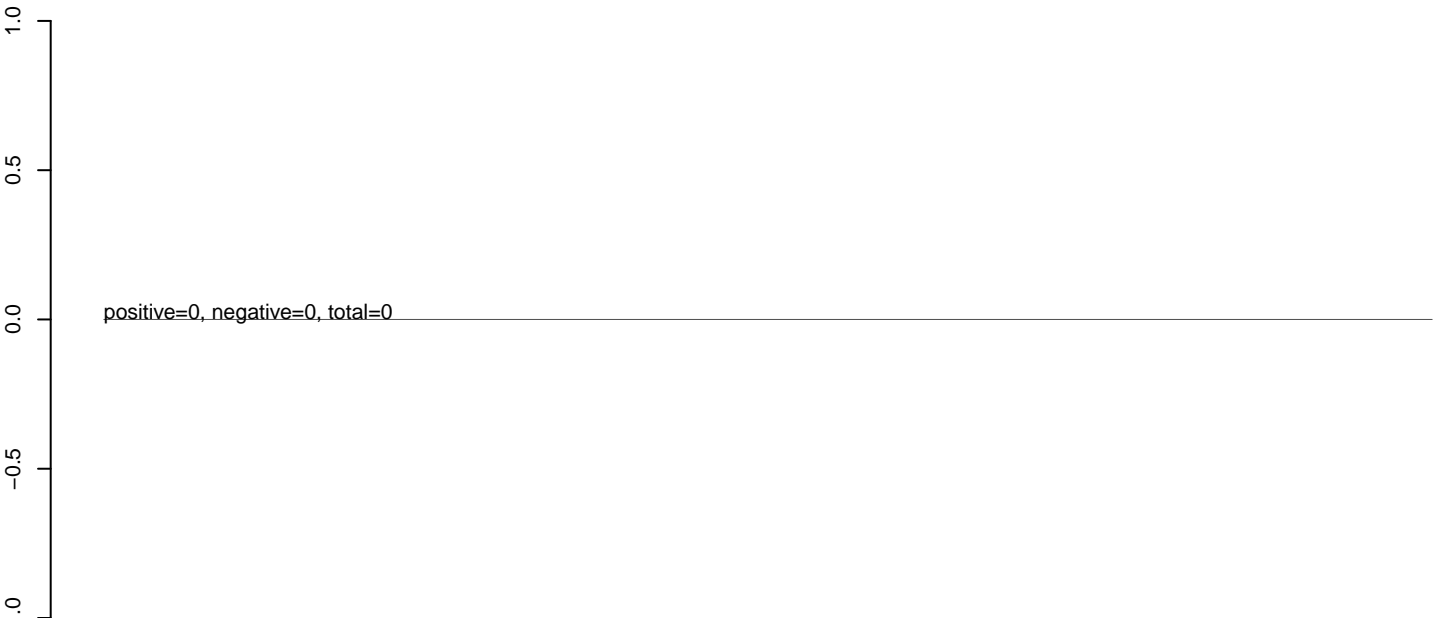
**AeAlbo\_C636\_6dpi\_SINV3.24\_35.rep**



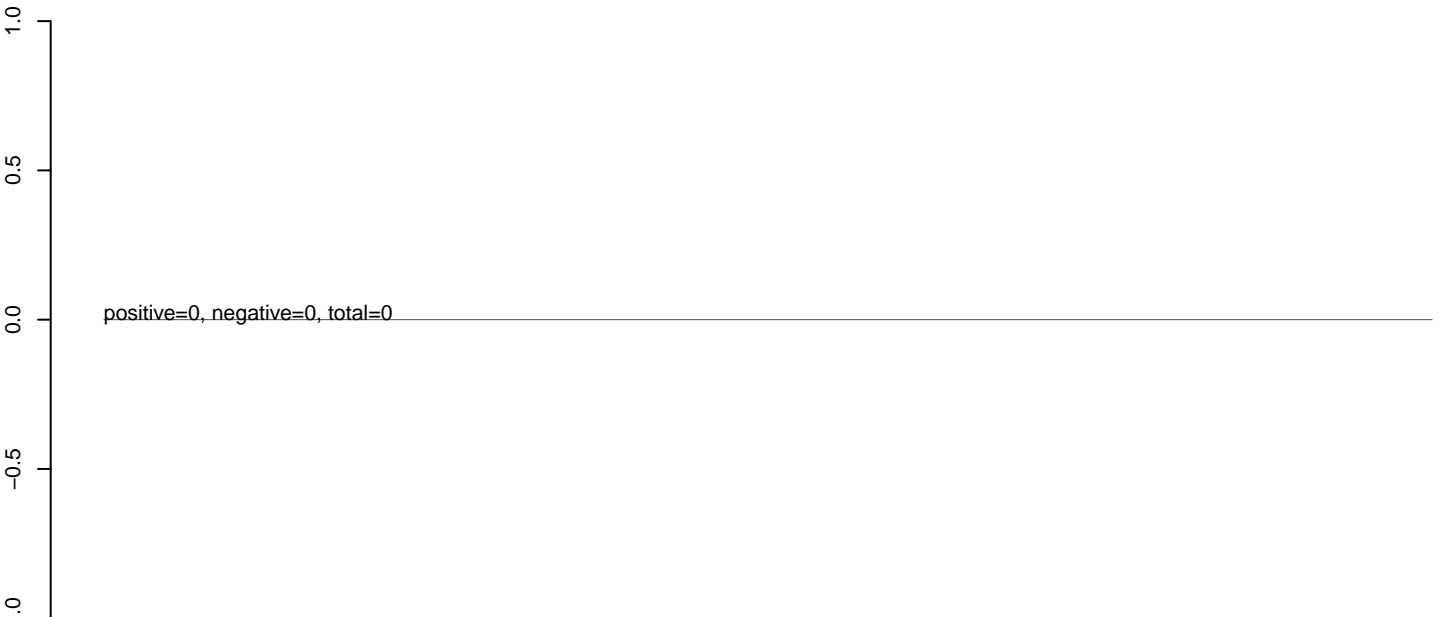
**AeAlbo\_C636\_6dpi\_SINV3.rep**



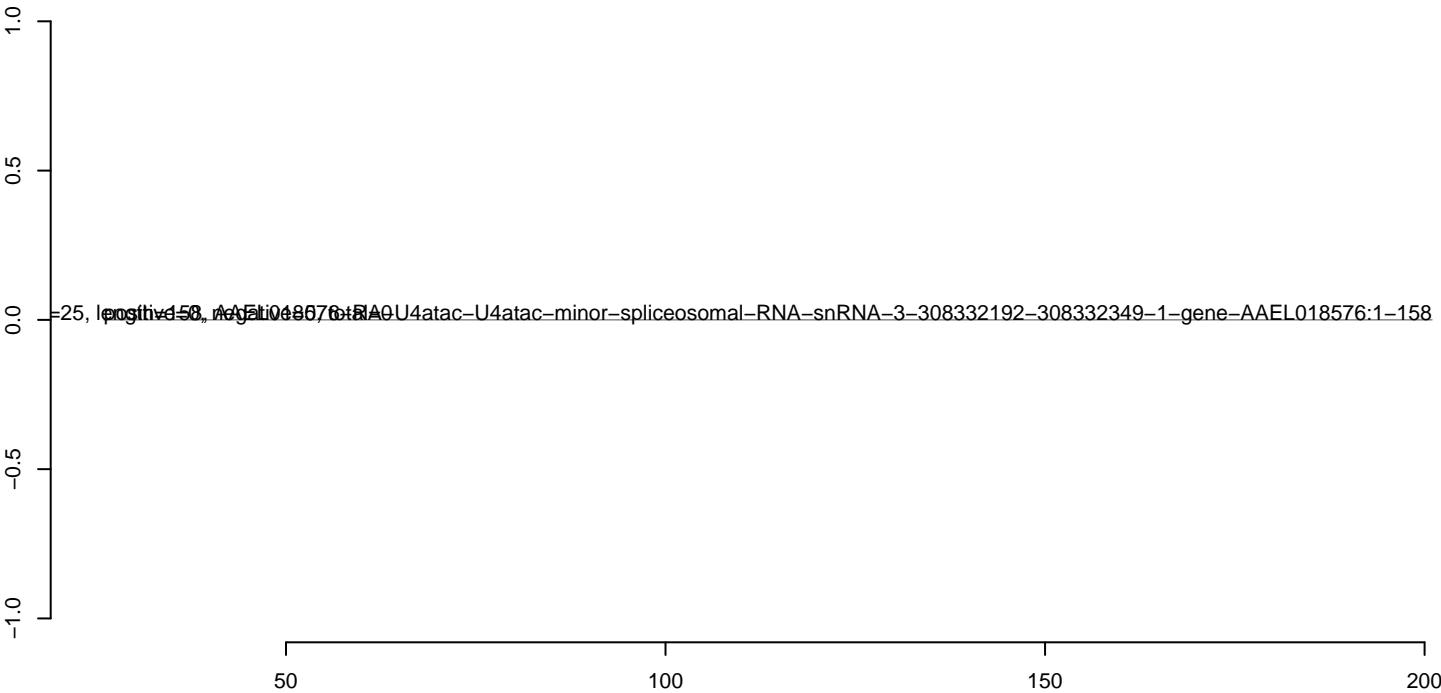
**AeAlbo\_C636\_6dpi\_SINV3.18\_23.rep**



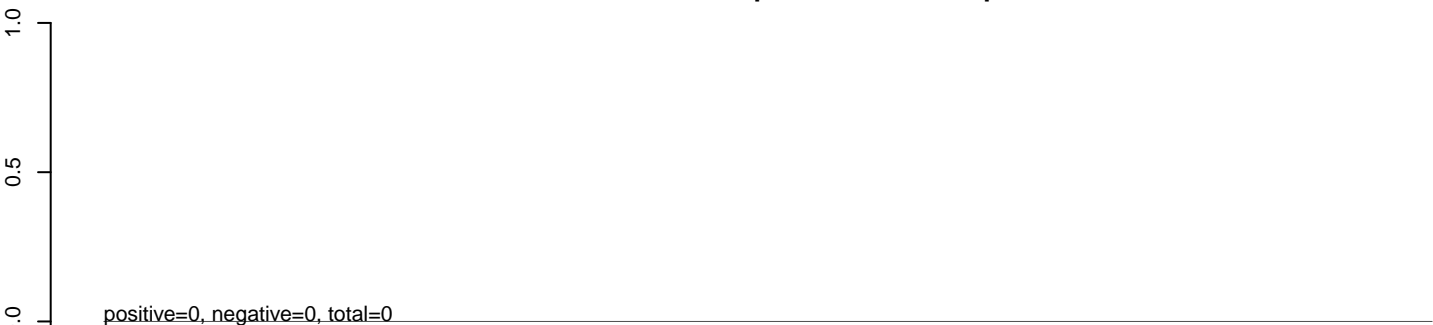
**AeAlbo\_C636\_6dpi\_SINV3.24\_35.rep**



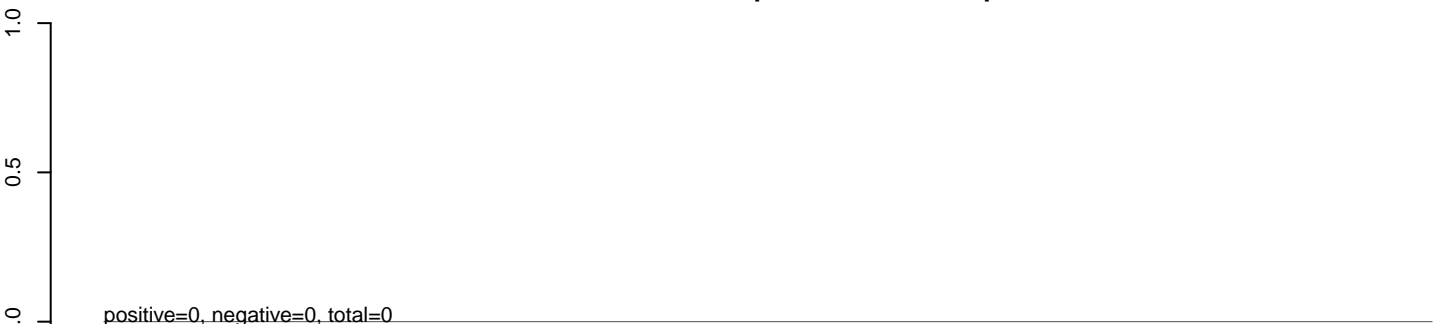
**AeAlbo\_C636\_6dpi\_SINV3.rep**



**AeAlbo\_C636\_6dpi\_SINV3.18\_23.rep**



**AeAlbo\_C636\_6dpi\_SINV3.24\_35.rep**



**AeAlbo\_C636\_6dpi\_SINV3.rep**

